

การลดความผิดพลาดของการบ่งชี้ถึงความผิดปกติในโนดโครงข่าย



นาย พิชัย วัฒนะภราดร

สถาบันวิทยบริการ

จุฬาลงกรณ์มหาวิทยาลัย

วิทยานิพนธ์นี้เป็นส่วนหนึ่งของการศึกษาตามหลักสูตรปริญญาวิศวกรรมศาสตรมหาบัณฑิต

สาขาวิชาวิศวกรรมไฟฟ้า ภาควิชาวิศวกรรมไฟฟ้า

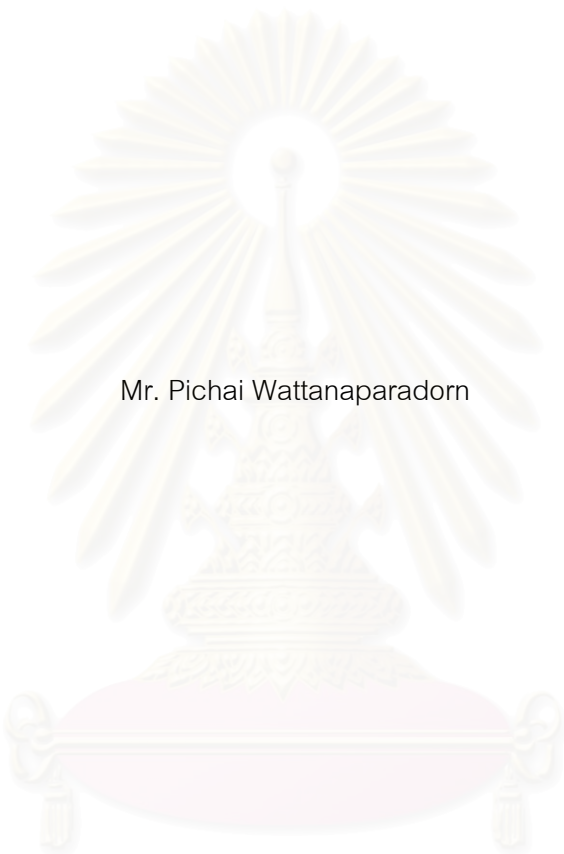
คณะวิศวกรรมศาสตร์ จุฬาลงกรณ์มหาวิทยาลัย

ปีการศึกษา 2548

ISBN 974-53-2648-8

ลิขสิทธิ์ของจุฬาลงกรณ์มหาวิทยาลัย

ALLEVIATION OF ERRONEOUS ANOMALY INDICATION IN A NETWORK NODE



Mr. Pichai Wattanaparadorn

สถาบันวิทยบริการ
จุฬาลงกรณ์มหาวิทยาลัย

A Thesis Submitted in Partial Fulfillment of the Requirements
for the Degree of Master of Engineering Program in Electrical Engineering

Department of Electrical Engineering

Faculty of Engineering

Chulalongkorn University

Academic Year 2005

ISBN 974-53-2648-8

นาย พิชัย วัฒนะภราดร :การลดความผิดพลาดของการบ่งชี้ถึงความผิดปกติในโหนด
(ALLEVIATION OF ERRONEOUS ANOMALY INDICATION IN A NETWORK
NODE) อ. ที่ปรึกษา: ผศ.ดร.ชัยเชษฐ์ สายวิจิตร, 101 หน้า. ISBN 974-53-2648-8.

วิทยานิพนธ์ฉบับนี้นำเสนอการปรับปรุงวิธีการตรวจจับความผิดปกติของระบบ
โครงข่าย 3 ส่วนคือ ในส่วนแรกเป็นการปรับปรุงวิธีการตรวจจับความผิดปกติแบบเปรียบเทียบ
รูปแบบกราฟฟิค ด้วยกัน 4 วิธีคือ การเสนอการหาค่าถ่วงน้ำหนักแบบใหม่ การปรับค่าถ่วง
น้ำหนักให้เปลี่ยนตามเวลา การใช้ข้อมูลมากกว่าหนึ่งชนิดข้อมูลร่วมกันในการตรวจจับความ
ผิดปกติ และการใช้ค่าถ่วงน้ำหนักที่เปลี่ยนแปลงตามเวลาร่วมกับการใช้ข้อมูลมากกว่าหนึ่ง
ชนิดข้อมูลในการตรวจจับความผิดปกติ อีกทั้งยังวิเคราะห์ถึงผลของขนาดหน้าต่างที่ใช้ในการ
ตรวจจับความผิดปกติที่มีผลต่อความแน่นอนในการตรวจจับความผิดปกติที่อาจเกิดขึ้นใน
อนาคต โดยการใช้โปรแกรม NS (Network Simulator) ในการก่อเกิดกราฟฟิคและทดลองใน
การตรวจจับความผิดปกติ ในส่วนที่สองทำการวิเคราะห์ผลของวิธีการตรวจจับความผิดปกติ
ของระบบโครงข่ายแบบทันทีทันใด โดยใช้กราฟฟิคที่ได้จากโครงข่ายของจุฬาลงกรณ์
มหาวิทยาลัย ที่รูทเทอร์ 7513 และนำเสนอการเลือกใช้เกณฑ์ในการบอกจากระบบโครงข่ายเกิด
ความผิดปกติหรือไม่ด้วยกัน 2 วิธี คือ การเลือกใช้ค่ากลางของค่าความผิดพลาดของเวกเตอร์
ความผิดพลาด และ การเลือกใช้ค่าเฉลี่ยของค่าความผิดพลาดของเวกเตอร์ความผิดพลาด ใน
ส่วนที่สามใช้วิธีการตรวจจับความผิดปกติของการเปรียบเทียบรูปแบบกราฟฟิค และ
เปลี่ยนแปลงทันทีทันใด ร่วมกันโดยใช้กรรมวิธีการของพีชชี ในการตัดสินใจว่าในขณะนั้นเกิด
ความผิดปกติหรือไม่โดยใช้กราฟฟิคที่ได้จากโครงข่ายของจุฬาลงกรณ์มหาวิทยาลัย ที่รูทเทอร์
7513

ซึ่งจะเห็นได้ว่าวิธีการที่นำเสนอการปรับปรุงวิธีการตรวจจับความผิดปกติของระบบ
โครงข่ายนั้นจะให้ผลดีกว่าวิธีการเดิมในบางขนาดหน้าต่าง

สถาบันวิทยบริการ
จุฬาลงกรณ์มหาวิทยาลัย

ภาควิชา.....วิศวกรรมไฟฟ้า.....ลายมือชื่อนิสิต.....
สาขาวิชา.....วิศวกรรมไฟฟ้า.....ลายมือชื่ออาจารย์ที่ปรึกษา.....
ปีการศึกษา.....2548.....

4670410821 : MAJOR ELECTRICAL ENGINEERING

KEY WORDS: NETWORK ANOMALY / PATTERN MATCHING / ABRUPT CHANGE DETECTION

PICHAJ WATTANAPARADORN : ALLEVIATION OF ERRONEOUS ANOMALY INDICATION IN A NETWORK NODE. THESIS ADVISOR : ASST. PROF. CHAIYACHET SAIVICHIT. Ph.D., 101 pp. ISBN 974-53-2648-8.

In this thesis, improving methods in detecting network anomaly have been proposed. The thesis was organized into three parts . To start with, four criterion to improve performance of network anomaly detection by Pattern Matching method are proposed; namely, finding new weighted value, time varying weighted value, multiple sets of data, and combining both techniques, respectively. Furthermore, the work also discusses on the effect of windows size in network anomaly detection process. Next, Abrupt Change Detection technique has been analyzed on its advantages and disadvantages by implementing on CUNET traffic at Router7513 and the work also proposes two methods to select appropriate threshold for anomaly detection. Two proposed methods consist of using average of fault value and using middle fault value. Finally, Pattern Matching and Abrupt Change Detection methods are used together by applying Fuzzy Logic method for proper decision on network situation. This leads to an improvement of performance in network anomaly detection which could be seen from the test with CUNET traffic at Router7513. The simulated results show that proposed methods generally give better results than the conventional methods.

สถาบันวิทยบริการ
จุฬาลงกรณ์มหาวิทยาลัย

Department.....Electrical Engineering..... Student's signature..... ^{พิชญ์ วัฒนพารอด}
Field of study.....Electrical Engineering..... Advisor's signature..... *Chaiyachet Saivichit*
Academic year2005.....

กิตติกรรมประกาศ

วิทยานิพนธ์ฉบับนี้สำเร็จลุล่วงไปด้วยคำแนะนำและความช่วยเหลืออย่างดียิ่งจากอาจารย์ที่ปรึกษาวิทยานิพนธ์ คือ ผศ. ดร. ชัยเชษฐ สายวิจิตร และคำปรึกษาที่ดีจาก ผศ. ดร. เขวณัฎศ อัสวกุล ผู้วิจัยจึงขอกราบขอบพระคุณมา ณ ที่นี้

ขอขอบคุณพี่ก่าพล ที่ให้คำปรึกษาที่ดีเสมอ ขอขอบคุณ พี่ขวัญตา พี่จันทร์จิรา นางสาวพนิดา นายจิระศักดิ์ และ พี่ๆ เพื่อนๆ น้องๆ และคนรอบตัวของผู้วิจัยทุกคน ไม่ว่าจะเป็นที่อยู่ภายในศูนย์เชี่ยวชาญเทคโนโลยีระบบโทรคมนาคม (Center of Excellence in Telecommunication System) หรือที่ได้ก็ตาม สำหรับความช่วยเหลือและกำลังใจ ขอขอบคุณทุนโครงการวิจัยร่วมภาครัฐและเอกชนที่ให้การสนับสนุนเงินทุนในการทำวิจัย

สุดท้ายนี้ ผู้วิจัยขอกราบขอบพระคุณบิดามารดาและทุกคนในครอบครัวของข้าพเจ้า ซึ่งให้การสนับสนุนด้านการศึกษา รวมถึงกำลังใจและความเข้าใจที่มีให้ข้าพเจ้าเสมอมา



สถาบันวิทยบริการ
จุฬาลงกรณ์มหาวิทยาลัย

สารบัญ

หน้า

บทคัดย่อภาษาไทย.....	ง
บทคัดย่อภาษาอังกฤษ.....	จ
กิตติกรรมประกาศ.....	ฉ
สารบัญ.....	ช
สารบัญภาพ.....	ญ
สารบัญตาราง.....	ด
บทที่	
1 บทนำ.....	1
1.1 ความเป็นมาและความสำคัญของปัญหา.....	1
1.2 แนวทางของวิทยานิพนธ์.....	3
1.3 วัตถุประสงค์ของวิทยานิพนธ์.....	4
1.4 ขอบเขตของวิทยานิพนธ์.....	4
1.5 ขั้นตอนและวิธีการดำเนินการ.....	5
1.6 ประโยชน์ที่คาดว่าจะได้รับ.....	5
2 ความรู้พื้นฐานและทฤษฎีที่เกี่ยวข้อง.....	6
2.1 ทฤษฎีการตรวจจับความผิดปกติแบบเปรียบเทียบรูปแบบทราฟฟิก(Pattern Matching).....	8
2.2 ทฤษฎีการตรวจจับความผิดปกติแบบทันทีทันใด(Abrupt Change Detection)....	11
2.3 ทฤษฎีของ Fuzzy Logic.....	15
2.3.1 โครงสร้างพื้นฐานของตัวควบคุมแบบฟัซซี่.....	16
2.3.1.1 ฟัซซี่ฟิเคชันมอดูล (Fuzzification Module).....	16
2.3.1.2 ฐานความรู้(Knowledge Base).....	17
2.3.1.3 เครื่องอนุมาน(Inference Engine).....	19
2.3.1.4 ดีฟัซซี่ฟิเคชันมอดูล(Defuzzification Module).....	20
3 การปรับปรุงวิธีการตรวจจับความผิดปกติแบบเปรียบเทียบรูปแบบทราฟฟิกที่นำเสนอ..	22
3.1 วิธีการที่เรานำเสนอในการปรับปรุงวิธีการตรวจจับความผิดปกติแบบเปรียบเทียบรูปแบบทราฟฟิก.....	22
3.1.1 การปรับเปลี่ยนการหาค่าถ่วงน้ำหนักแบบใหม่.....	22

บทที่	หน้า
3.1.2	การปรับเปลี่ยนค่าถ่วงน้ำหนักแบบเดิมให้เปลี่ยนแปลงตามเวลา.....23
3.1.3	การใช้ข้อมูล 3 ระดับในการตรวจจับความผิดปกติของระบบโครงข่ายของ การหาค่าถ่วงน้ำหนักแบบเดิม.....24
3.1.4	การใช้การปรับเปลี่ยนค่าถ่วงน้ำหนักแบบเดิมให้เปลี่ยนแปลงตามเวลา ร่วมกับการใช้ข้อมูล 3 ระดับในการตรวจจับความผิดปกติของระบบ โครงข่าย..... 25
3.2	ดัชนีชี้วัดที่ใช้ในการประเมินประสิทธิภาพของวิธีตรวจจับความผิดปกติของระบบ โครงข่าย.....25
3.3	ผลการทดลองและสรุปผลการทดลอง.....26
3.3.1	การทดลองการตรวจจับความผิดปกติของระบบโครงข่ายในส่วนที่ 1.....32
3.3.2	การทดลองการตรวจจับความผิดปกติของระบบโครงข่ายในส่วนที่ 2.....33
3.3.3	การทดลองการตรวจจับความผิดปกติของระบบโครงข่ายในส่วนที่ 3.....40
3.3.4	สรุปผลการทดลอง.....45
4	การปรับปรุงวิธีการตรวจจับความผิดปกติแบบการเปลี่ยนแปลงทันทีทันใดที่นำเสนอ....47
4.1	วิธีการที่นำเสนอในการปรับปรุงวิธีการตรวจจับความผิดปกติแบบเปลี่ยนแปลง ทันทีทันใด.....48
4.1.1	การใช้ค่าน้อยสุดของความผิดพลาด 2 ตัว ที่ใกล้กับเวกเตอร์ความ ผิดปกติ $[1 \ 1 \ 1]$ มากที่สุด.....48
4.1.2	การเลือกใช้ค่ากลางของค่าความผิดพลาดของเวกเตอร์ความผิดพลาด48
4.1.3	การเลือกใช้ค่าเฉลี่ยของค่าความผิดพลาดของเวกเตอร์ความผิดพลาด.....49
4.2	ดัชนีชี้วัดที่ใช้ในการประเมินประสิทธิภาพของวิธีตรวจจับความผิดปกติของระบบ โครงข่าย.....49
4.3	ผลการทดลองและสรุปผลการทดลอง.....50
4.3.1	ผลของการแปรเปลี่ยนขนาดหน้าต่างที่ใช้ในการตรวจจับความผิดปกติของ ระบบโครงข่ายต่อค่า threshold.....53
4.3.2	จำนวนรอบที่ใช้ในการหาค่าเมตริกซ์ A มีค่าคงที่เท่ากับ 14 รอบ แต่ ปรับเปลี่ยนค่าความกว้างของหน้าต่างในการตรวจจับความผิดปกติของ ระบบโครงข่าย.....57

บทที่	ฉ	หน้า
4.3.3	สรุปผลการทดลอง.....	60
5.	การใช้วิธีการตรวจจับความผิดปกติแบบเปรียบเทียบรูปแบบทราฟฟิกร่วมกับการเปลี่ยนแปลงทันทีทันใดโดยใช้กรรมวิธีของพีซีซีในการตัดสินใจ.....	61
5.1	วิธีการที่เรานำเสนอในการตรวจจับความผิดปกติแบบเปรียบเทียบรูปแบบทราฟฟิกร่วมกับการเปลี่ยนแปลงทันทีทันใดโดยใช้กรรมวิธีของพีซีซีในการตัดสินใจ.....	61
5.2	ดัชนีชี้วัดที่ใช้ในการประเมินประสิทธิภาพของวิธีตรวจจับความผิดปกติของระบบโครงข่าย.....	69
5.3	ผลการทดลองและสรุปผลการทดลอง.....	69
5.3.1	จำนวนรอบที่ใช้ในการหาค่าเมตริกซ์ A มีค่าคงที่เท่ากับ 14 รอบ แต่ปรับเปลี่ยนค่าความกว้างของหน้าต่างในการตรวจจับความผิดปกติของระบบโครงข่าย.....	80
5.3.2	สรุปผลการทดลอง.....	90
6	บทสรุปและข้อเสนอแนะ.....	91
6.1	สรุปผลการวิจัย.....	91
6.2	ข้อเสนอแนะสำหรับงานวิจัยในอนาคต.....	92
	รายการอ้างอิง.....	93
	ภาคผนวก.....	95
	บทความทางวิชาการที่ได้รับการเผยแพร่แล้ว.....	96
	ประวัติผู้เขียนวิทยานิพนธ์.....	101

สารบัญภาพ

ภาพประกอบ	หน้า
รูปที่ 2.1	แบบจำลองของ Pattern Matching.....8
รูปที่ 2.2	การเปรียบเทียบผลของทราฟฟิกว่าระบบโครงข่ายนั้นมีลักษณะผิดปกติหรือไม่.....10
รูปที่ 2.3	การแสดง <i>Learning Window (L(t))</i> และ <i>Test Window (S(t))</i>11
รูปที่ 2.4	โครงสร้างหลักของตัวควบคุมแบบพีซี.....16
รูปที่ 2.5	ฟังก์ชันการเป็นสมาชิกแบบสามเหลี่ยม ที่ใช้ในการแปลงค่าจุดของข้อมูลขาเข้าในโดเมน $[-2, 2]$ ให้เป็นตัวแปรเชิงภาษา.....17
รูปที่ 2.6	วิธีการอนุมานตามระเบียบวิธีการอนุมานแบบค่าสูงสุด-ต่ำสุด.....20
รูปที่ 3.1	ระบบโครงข่ายที่ใช้ในการทดลอง.....26
รูปที่ 3.2	ipIR pastfriday26
รูปที่ 3.3	ipIR monday.....26
รูปที่ 3.4	ipIR Tuesday27
รูปที่ 3.5	ipIR wendsday.....27
รูปที่ 3.6	ipIR Thursday.....27
รูปที่ 3.7	ipIR Friday.....27
รูปที่ 3.8	ipIDE Pastfriday27
รูปที่ 3.9	ipIDE Monday.....27
รูปที่ 3.10	ipIDE Tuesday28
รูปที่ 3.11	ipIDE Wendsday.....28
รูปที่ 3.12	ipIDE Thursday28
รูปที่ 3.13	ipIDE Friday.....28
รูปที่ 3.14	ipOR pastfriday.....28
รูปที่ 3.15	ipOR Monday.....28
รูปที่ 3.16	ipOR Tuesday.....29
รูปที่ 3.17	ipOR Wendsday.....29
รูปที่ 3.18	ipOR Thursday.....29
รูปที่ 3.19	ipOR Friday.....29
รูปที่ 3.20	ทราฟฟิก ipIDE ในส่วนที่ 230
รูปที่ 3.21	ทราฟฟิก ipIR ในส่วนที่ 2.....30
รูปที่ 3.22	ทราฟฟิก ipOR ในส่วนที่ 230

ภาพประกอบ	หน้า
รูปที่ 3.39 ความสัมพันธ์ระหว่างความน่าจะเป็นที่จะตรวจจับความผิดปกติได้และขนาดของหน้าต่าง เมื่อเกิดความผิดปกติในระบบโครงข่ายในส่วนที่ 3.....	41
รูปที่ 3.40 ความสัมพันธ์ระหว่างความน่าจะเป็นที่จะตรวจจับความผิดปกติได้และขนาดของหน้าต่าง เมื่อเกิดความผิดปกติในระบบโครงข่ายในส่วนที่ 3.....	42
รูปที่ 3.41 ความสัมพันธ์ระหว่าง false negative rate และขนาดของหน้าต่าง เมื่อเกิดความผิดปกติในระบบโครงข่ายในส่วนที่ 3.....	43
รูปที่ 3.42 ความสัมพันธ์ระหว่าง false negative rate และขนาดของหน้าต่าง เมื่อเกิดความผิดปกติในระบบโครงข่ายในส่วนที่ 3.....	43
รูปที่ 3.43 ความสัมพันธ์ระหว่าง false positive rate และขนาดของหน้าต่าง เมื่อเกิดความผิดปกติในระบบโครงข่ายในส่วนที่ 3.....	44
รูปที่ 3.44 ความสัมพันธ์ระหว่าง false positive rate และขนาดของหน้าต่าง เมื่อเกิดความผิดปกติในระบบโครงข่ายในส่วนที่ 3.....	44
รูปที่ 3.45 ความสัมพันธ์ระหว่าง false positive rate และขนาดของหน้าต่าง เมื่อเกิดความผิดปกติในระบบโครงข่ายในส่วนที่ 3.....	45
รูปที่ 4.1 ดัชนีชี้วัดที่ใช้ในการประเมินประสิทธิภาพของการตรวจจับความผิดปกติของระบบโครงข่าย.....	49
รูปที่ 4.2 ระบบโครงข่ายของจุฬาลงกรณ์มหาวิทยาลัย ที่รูทเทอร์ หมายเลข 7513 และ รูทเทอร์หมายเลข 7206.....	50
รูปที่ 4.3 ลักษณะของทราฟฟิกที่โปรแกรม NETFLOW บันทึกในรูทเทอร์ 7513.....	51
รูปที่ 4.4 ข้อมูล ipIDE ของรูทเทอร์ 7513 ในวันที่ 24/10/2005.....	51
รูปที่ 4.5 ข้อมูล ipIR ของรูทเทอร์ 7513 ในวันที่ 24/10/2005.....	52
รูปที่ 4.6 ข้อมูล ipOR ของรูทเทอร์ 7513 ในวันที่ 24/10/2005.....	52
รูปที่ 4.7 ความสัมพันธ์ระหว่างค่า <i>Threshold</i> และขนาดหน้าต่างที่ใช้ในการตรวจจับความผิดปกติของระบบโครงข่าย.....	54
รูปที่ 4.8 ความสัมพันธ์ระหว่างค่า <i>threshold</i> และขนาดหน้าต่างที่ใช้ในการตรวจจับความผิดปกติของระบบโครงข่ายโดยการเลือกค่า <i>threshold</i> จากวิธีการเปลี่ยนแปลงทันทีทันใด.....	55
รูปที่ 4.9 ความสัมพันธ์ระหว่างค่า <i>threshold</i> และขนาดหน้าต่างที่ใช้ในการตรวจจับความผิดปกติของระบบโครงข่ายโดยการเลือกค่า <i>threshold</i> จากค่าเฉลี่ยของค่าความ	

ภาพประกอบ	หน้า
	55
รูปที่ 4.10	56
รูปที่ 4.11	57
รูปที่ 4.12	58
รูปที่ 4.13	58
รูปที่ 4.14	59
รูปที่ 4.15	60
รูปที่ 5.1	62
รูปที่ 5.2	62
รูปที่ 5.3	63
รูปที่ 5.4	63
รูปที่ 5.5	64
รูปที่ 5.6	64

ภาพประกอบ	หน้า
	เปรียบเทียบรูปแบบกราฟฟิกแบบสามเหลี่ยม แบบ B..... 64
รูปที่ 5.7	ฟังก์ชันการเป็นสมาชิกของวิธีการตรวจจับความผิดปกติของระบบโครงข่ายแบบ เปลี่ยนแปลงทันทีทันใดแบบสามเหลี่ยม แบบ B..... 65
รูปที่ 5.8	ฟังก์ชันการเป็นสมาชิกของวิธีการตรวจจับความผิดปกติของระบบโครงข่ายแบบ เปรียบเทียบรูปแบบกราฟฟิก แบบสี่เหลี่ยมคางหมู แบบ B..... 65
รูปที่ 5.9	ฟังก์ชันการเป็นสมาชิกของวิธีการตรวจจับความผิดปกติของระบบโครงข่ายแบบ เปลี่ยนแปลงทันทีทันใด แบบสี่เหลี่ยมคางหมู แบบ B..... 66
รูปที่ 5.10	การดำเนินงานของการตรวจจับความผิดปกติโดยใช้พีซี..... 68
รูปที่ 5.11	ข้อมูล ipIDE ของรุตเตอร์ 7513 ในวันที่ 17/10/2005..... 69
รูปที่ 5.12	ข้อมูล ipIR ของรุตเตอร์ 7513 ในวันที่ 17/10/2005..... 70
รูปที่ 5.13	ข้อมูล ipOR ของรุตเตอร์ 7513 ในวันที่ 17/10/2005..... 70
รูปที่ 5.14	ข้อมูล ipIDE ของรุตเตอร์ 7513 ในวันที่ 18/10/2005..... 71
รูปที่ 5.15	ข้อมูล ipIR ของรุตเตอร์ 7513 ในวันที่ 18/10/2005..... 71
รูปที่ 5.16	ข้อมูล ipOR ของรุตเตอร์ 7513 ในวันที่ 18/10/2005..... 72
รูปที่ 5.17	ข้อมูล ipIDEของรุตเตอร์ 7513 ในวันที่ 19/10/2005..... 72
รูปที่ 5.18	ข้อมูล ipIRของรุตเตอร์ 7513 ในวันที่ 19/10/2005..... 73
รูปที่ 5.19	ข้อมูล ipORของรุตเตอร์ 7513 ในวันที่ 19/10/2005..... 73
รูปที่ 5.20	ข้อมูล ipIDEของรุตเตอร์ 7513 ในวันที่ 20/10/2005..... 74
รูปที่ 5.21	ข้อมูล ipIRของรุตเตอร์ 7513 ในวันที่ 20/10/2005..... 74
รูปที่ 5.22	ข้อมูล ipORของรุตเตอร์ 7513 ในวันที่ 20/10/2005..... 75
รูปที่ 5.23	ข้อมูล ipIDEของรุตเตอร์ 7513 ในวันที่ 21/10/2005..... 75
รูปที่ 5.24	ข้อมูล ipIRของรุตเตอร์ 7513 ในวันที่ 21/10/2005..... 76
รูปที่ 5.25	ข้อมูล ipORของรุตเตอร์ 7513 ในวันที่ 21/10/2005..... 76
รูปที่ 5.26	ข้อมูล ipIDEของรุตเตอร์ 7513 ในวันที่ 24/10/2005..... 77
รูปที่ 5.27	ข้อมูล ipIRของรุตเตอร์ 7513 ในวันที่ 24/10/2005..... 77
รูปที่ 5.28	ข้อมูล ipORของรุตเตอร์ 7513 ในวันที่ 24/10/2005..... 78
รูปที่ 5.29	ความสัมพันธ์ระหว่างเวลาที่สามารตรวจจับความผิดปกติในระบบโครงข่ายก่อน เกิดความเสียหายและขนาดหน้าต่างที่ใช้ในการตรวจจับความผิดปกติในระบบ โครงข่าย แบบ A..... 80

ภาพประกอบ	หน้า
รูปที่ 5.41 ความสัมพันธ์ระหว่าง value of S และขนาดความกว้างของหน้าต่างที่ใช้ในการ ตรวจจับความผิดปกติ แบบ A.....	88
รูปที่ 5.42 ความสัมพันธ์ระหว่าง value of S และขนาดความกว้างของหน้าต่างที่ใช้ในการ ตรวจจับความผิดปกติ แบบ B.....	89
รูปที่ 5.43 ความสัมพันธ์ระหว่าง value of S และขนาดความกว้างของหน้าต่างที่ใช้ในการ ตรวจจับความผิดปกติ แบบ B.....	89



สถาบันวิทยบริการ
จุฬาลงกรณ์มหาวิทยาลัย

สารบัญตาราง

ตารางประกอบ	หน้า
ตารางที่ 3.1 ค่าเฉลี่ยของความน่าจะเป็นของการเกิดสัญญาณเตือนที่ผิดพลาด เมื่อไม่เกิดความผิดปกติในระบบโครงข่าย.....	33
ตารางที่ 3.2 ค่าเฉลี่ยของความน่าจะเป็นของการเกิดสัญญาณเตือนที่ผิดพลาด เมื่อเกิดความผิดปกติในระบบโครงข่ายในสถานการณ์ที่ 2.....	34
ตารางที่ 3.3 ค่าเฉลี่ยของความน่าจะเป็นที่สามารถตรวจจับความผิดปกติได้ เมื่อเกิดความผิดปกติในระบบโครงข่ายในสถานการณ์ที่ 2.....	36
ตารางที่ 3.4 ค่าเฉลี่ยของปริมาณของ <i>false negative rate</i> เมื่อเกิดความผิดปกติในระบบโครงข่ายในสถานการณ์ที่ 2.....	37
ตารางที่ 3.5 ค่าเฉลี่ยของปริมาณของ <i>false positive rate</i> เมื่อเกิดความผิดปกติในระบบโครงข่ายในสถานการณ์ที่ 2.....	39
ตารางที่ 3.6 ค่าเฉลี่ยของความน่าจะเป็นของการเกิดสัญญาณเตือนที่ผิดพลาด เมื่อเกิดความผิดปกติในระบบโครงข่ายในสถานการณ์ที่ 3.....	41
ตารางที่ 3.7 ค่าเฉลี่ยของความน่าจะเป็นที่สามารถตรวจจับความผิดปกติได้ เมื่อเกิดความผิดปกติในระบบโครงข่ายในสถานการณ์ที่ 3.....	42
ตารางที่ 3.8 ค่าเฉลี่ยของปริมาณของ <i>false negative rate</i> เมื่อเกิดความผิดปกติในระบบโครงข่ายในสถานการณ์ที่ 3.....	43
ตารางที่ 3.9 ค่าเฉลี่ยของปริมาณของ <i>false positive rate</i> เมื่อเกิดความผิดปกติในระบบโครงข่ายในสถานการณ์ที่ 3.....	45
ตารางที่ 5.1 การเปลี่ยนสถานะของโนดเมื่อมีการใช้ข้อมูลแสดงสถานะความผิดปกติของตรวจจับความผิดปกติแบบเปรียบเทียบรูปแบบทราฟฟิก และ เปลี่ยนแปลงทันทีทันใดในกรณีที่เชื่อในวิธีของการเปลี่ยนแปลงทันทีทันใด.....	66
ตารางที่ 5.2 การเปลี่ยนสถานะของโนดเมื่อมีการใช้ข้อมูลแสดงสถานะความผิดปกติของวิธีตรวจจับความผิดปกติแบบเปรียบเทียบรูปแบบทราฟฟิก และ เปลี่ยนแปลงทันทีทันใดในกรณีที่เชื่อในวิธีของการเปรียบเทียบรูปแบบทราฟฟิก.....	67
ตารางที่ 5.3 การเปลี่ยนสถานะของโนดเมื่อมีการใช้ข้อมูลแสดงสถานะความผิดปกติของวิธีตรวจจับความผิดปกติแบบเปรียบเทียบรูปแบบทราฟฟิก และ เปลี่ยนแปลงทันทีทันใด ในกรณีที่เชื่อในวิธีของการเปรียบเทียบรูปแบบทราฟฟิกและเปลี่ยนแปลงทันทีทันใด.....	67

ภาพประกอบ

ตารางที่ 5.4	การเปลี่ยนสถานะของโนดเมื่อมีการใช้ข้อมูลแสดงสถานะความผิดปกติของวิธี ตรวจจับความผิดปกติแบบเปรียบเทียบรูปแบบกราฟฟิก และ เปลี่ยนแปลง ทันทีทันใดในกรณีที่จะเกิดความผิดปกติขึ้นถ้าสถานะความผิดปกติของวิธี ของการเปรียบเทียบรูปแบบกราฟฟิกและเปลี่ยนแปลงทันทีทันใดมีสถานะผิดปกติ	67
ตารางที่ 5.5	เวลาที่สามารถตรวจจับความผิดปกติก่อนระบบโครงข่ายเกิดความเสียหาย ของ วิธีการตรวจจับความผิดปกติแบบเปรียบเทียบรูปแบบกราฟฟิก	82
ตารางที่ 5.6	เวลาที่สามารถตรวจจับความผิดปกติหลังระบบโครงข่ายเกิดความเสียหาย ของ วิธีการตรวจจับความผิดปกติแบบเปรียบเทียบรูปแบบกราฟฟิก	84
ตารางที่ 5.7	ค่าเฉลี่ยของช่วงเวลาที่เกิดสัญญาณเตือนที่ผิดพลาด ของวิธีการตรวจจับความ ผิดปกติแบบเปรียบเทียบรูปแบบกราฟฟิก	86
ตารางที่ 5.8	จำนวนสัญญาณเตือนที่ผิดพลาดต่อจำนวนหน้าต่างข้อมูล ของวิธีการตรวจจับ ความผิดปกติแบบเปรียบเทียบรูปแบบกราฟฟิก	88
ตารางที่ 5.9	ค่า S ของวิธีการตรวจจับความผิดปกติแบบเปรียบเทียบรูปแบบกราฟฟิก	90

บทที่ 1

บทนำ

เทคโนโลยีของระบบสื่อสารในปัจจุบันได้ถูกรวบรวมให้เป็นส่วนหนึ่งในชีวิตประจำวันของมนุษย์ ดังนั้นการพัฒนาศักยภาพของเทคโนโลยีของระบบสื่อสารจึงเป็นหัวข้อที่ได้รับความสนใจทั้งในเชิงปริมาณและเชิงคุณภาพจากนักวิจัยและผู้เชี่ยวชาญมากมาย วิทยานิพนธ์ฉบับนี้เป็นส่วนหนึ่งที่ได้นำเสนอแนวทางในการพัฒนารูปแบบ และวิธีการซึ่งมีส่วนช่วยพัฒนาเทคโนโลยีของระบบสื่อสารให้มีคุณภาพดีขึ้น โดยเนื้อหาในบทนี้ได้กล่าวถึงความเป็นมาและความสำคัญของปัญหาที่นำมาศึกษา จากนั้นได้เสนอแนวทางของวิทยานิพนธ์ วัตถุประสงค์ของวิทยานิพนธ์ ขอบเขตของวิทยานิพนธ์ รวมไปถึงขั้นตอนดำเนินงาน และประโยชน์ที่คาดว่าจะได้รับ

1.1 ความเป็นมาและความสำคัญของปัญหา

เทคโนโลยีของระบบสื่อสารในปัจจุบันมีความก้าวหน้าอย่างมากเมื่อเปรียบเทียบกับในอดีต เป็นผลให้ระบบโครงข่ายในปัจจุบันมีขนาดใหญ่และมีจำนวนของอุปกรณ์สื่อสารเพิ่มมากขึ้น ซึ่งทำให้ระบบการจัดการภายในโครงข่ายมีความซับซ้อนสูงขึ้น อุปกรณ์ในระบบโครงข่ายประกอบไปด้วย รูทเทอร์ สวิตช์ ซึ่งมีหน้าที่ในการส่งข้อมูลจากต้นทางไปยังปลายทางผ่านเส้นทางที่เหมาะสม พฤติกรรมของแต่ละอุปกรณ์ในโครงข่ายสามารถบ่งบอกถึงพฤติกรรมโดยรวมของระบบโครงข่ายว่า ในขณะนั้นระบบโครงข่ายอยู่ในสถานะใด

ในงานวิจัยการตรวจจับความผิดปกติในระบบโครงข่ายโดยการวิเคราะห์ถึงพฤติกรรมของทราฟฟิกนั้น พฤติกรรมของทราฟฟิกในโครงข่ายอินเทอร์เน็ตได้รับความนิยมเป็นอย่างมาก เห็นได้จากบทความต่างๆมากมาย พฤติกรรมของทราฟฟิกในโครงข่ายอินเทอร์เน็ตมีการเปลี่ยนแปลงตลอดเวลาจึงเป็นการยากที่จะเข้าใจพฤติกรรมที่แท้จริงเหล่านี้ โดยที่ Leland et al [1] เป็นผู้แสดงถึงรูปแบบส่วนตัวและความซับซ้อนของทราฟฟิกในโครงข่ายอินเทอร์เน็ต ข้อมูลการใช้งานของระบบโครงข่ายไม่สามารถนำมาใช้ในการบ่งบอกถึงประสิทธิภาพและพฤติกรรมของโครงข่ายได้โดยตรง ต้องมีการนำข้อมูลที่ได้มาสังเคราะห์และวิเคราะห์ เพื่อที่จะได้เข้าใจถึงพฤติกรรมของระบบโครงข่ายได้ดียิ่งขึ้น

ความผิดปกติที่เกิดขึ้นภายในโครงข่ายและนำมาซึ่งความล้มเหลวของโครงข่ายโดยที่ระบบการจัดการภายในโครงข่ายไม่สามารถตรวจสอบได้ว่าเกิดความผิดปกติเกิดขึ้น จะส่งผลให้เกิดความเสียหายต่อระบบโครงข่ายนั้นทั้งในด้านเวลาที่ต้องสูญเสียไป และค่าใช้จ่ายที่เกิดขึ้นในภายหลัง

ด้วยเหตุดังกล่าวก่อให้เกิดความสนใจเพื่อการค้นคว้าและวิจัยมากมายเกี่ยวกับวิธีในการตรวจจับความผิดปกติของระบบโครงข่ายก่อนที่ระบบโครงข่ายจะเกิดความเสียหาย เพื่อที่จะช่วยเตือนผู้ควบคุมดูแลระบบโครงข่าย ทำการตรวจสอบและแก้ไขได้ทันที่ มีวิธีการตรวจจับความผิดปกติของระบบโครงข่ายหลายวิธีได้ถูกพัฒนาขึ้นเพื่อใช้ในการตรวจจับความผิดปกติ เช่น

- วิธี *Rule-Based* [3] จะบันทึกลักษณะความผิดปกติที่เกิดขึ้นของโครงข่ายในอดีตเก็บไว้ในฐานข้อมูล และนำข้อมูลในปัจจุบันมาเปรียบเทียบกับข้อมูลลักษณะความผิดปกติที่ถูกบันทึกไว้ในฐานข้อมูล ถ้าตรงกันแสดงว่าเกิดความผิดปกติเกิดขึ้นในระบบโครงข่าย ซึ่งวิธีการนี้มีข้อจำกัดคือ การทำงานช้ามากในการนำไปใช้จริง วิธีการนี้ขึ้นอยู่กับข้อมูลความผิดพลาดที่บันทึกในฐานข้อมูล ทำให้เมื่อมีความผิดพลาดในลักษณะใหม่ๆเกิดขึ้นจะทำให้ไม่สามารถตรวจจับได้ ไม่สามารถเรียนรู้จากประสบการณ์ได้และยากในการปรับปรุงการตรวจจับความผิดปกติของระบบโครงข่ายที่มีการเปลี่ยนแปลงอย่างรวดเร็ว เช่น *Heterogeneous Networks*
- วิธี *Case-Base Reasoning* [4] การตรวจจับความผิดปกติของข่ายเชื่อมโยงวิธีนี้จะมีการเก็บลักษณะข้อมูลที่บรรจุพฤติกรรมของความผิดปกติ ที่เกิดขึ้นอยู่ก่อนแล้วเก็บอยู่ในฐานข้อมูลเช่นเดียวกับวิธี *Rule-Based* โดยหลักการตรวจจับความผิดปกติจะมีลักษณะคล้ายกับวิธี *Rule-Based* แต่วิธีนี้จะมีการปรับปรุงฐานข้อมูลความผิดปกติคือเมื่อเกิดลักษณะความผิดปกติแบบใหม่ๆ จะมีการเรียนรู้และทำการปรับปรุงฐานข้อมูลลักษณะความผิดปกติเดิมที่มีอยู่ วิธีนี้มีข้อดีคือสามารถเรียนรู้จากประสบการณ์และสามารถตรวจจับความผิดพลาดลักษณะใหม่ๆได้บนพื้นฐานของประสบการณ์ในอดีต
- วิธีการตรวจจับความผิดปกติแบบเปรียบเทียบรูปแบบทราฟฟิก [7] (*Pattern Matching*) การตรวจจับความผิดปกติของข่ายเชื่อมโยงวิธีนี้ จะมีการเก็บค่าข้อมูล เช่น การใช้ประโยชน์ของข่ายเชื่อมโยง (*Link Utilization*) การสูญหายของแพ็กเก็ต (*Packet Loss*) อัตราของจำนวนไบนารีของข้อมูล (*Rate of Byte Counts*) หรือ จำนวนการชนกันของข้อมูล (*Number of Collision*) ซึ่งการเก็บข้อมูลนี้จะเก็บเป็นข้อมูลของแต่ละวัน แล้วนำข้อมูลนี้มาใช้ในการทำนายข้อมูลปัจจุบันเพื่อใช้ในการตรวจจับความผิดปกติในช่วงเวลานั้น ในการทำงานของระบบโครงข่ายจะนำเอาข้อมูลจริงที่ได้มาเทียบกับข้อมูลที่เราได้ทำนายไว้แล้วภายในเวลาที่กำหนด แล้วพิจารณาว่าเกิดความผิดปกติหรือไม่ โดยมีระดับของช่วงของค่ามากที่สุดและน้อยที่สุดซึ่งยอมรับได้ว่าระบบจะไม่ผิดปกติ เป็นช่วงในการเปรียบเทียบ ถ้าค่าที่ได้ไม่อยู่ในช่วงนี้แสดงว่ามีความผิดปกติเกิดขึ้น เป็นผลให้ระบบการจัดการส่งสัญญาณว่าเกิดความผิดปกติ

เกิดขึ้น ประสิทธิภาพของวิธีนี้ขึ้นอยู่กับวิธีที่ใช้ในการทำนายกราฟฟิคปัจจุบัน และเวลาในการเก็บข้อมูลที่เพียงพอ

- วิธีการตรวจจับความผิดปกติแบบเปลี่ยนแปลงทันทีทันใด [3, 9, 10] (*Abrupt Change Detection*) การตรวจจับของข่ายเชื่อมโยงวิธีนี้ จะใช้ชุดข้อมูลของ 2 หน้าต่างมาเปรียบเทียบกัน ซึ่งประกอบด้วย *Learning Window* และ *Test Window* โดยใช้สมมุติฐานว่าถ้าการกระจายของความผิดพลาดของ 2 หน้าต่างมีลักษณะที่คล้ายกัน แสดงว่าไม่เกิดความผิดปกติของระบบโครงข่าย แต่ถ้าการกระจายของความผิดพลาดมีลักษณะที่แตกต่างกันถึงระดับหนึ่ง แสดงว่าเกิดความผิดปกติเกิดขึ้นในระบบโครงข่าย

โดยที่แต่ละวิธีของการตรวจจับความผิดปกติของระบบโครงข่ายนั้นมีข้อจำกัดหลายประการเช่น การไม่สามารถตรวจจับความผิดปกติของระบบโครงข่ายที่มีลักษณะใหม่ๆได้ หรือที่เรียกว่า *False Negative Rate* และ อีกทั้งยังมีกรณีที่มีการส่งสัญญาณเตือนที่ผิดพลาดว่ามีความผิดปกติของระบบโครงข่ายเกิดขึ้นทั้งที่ระบบโครงข่ายยังอยู่ในสภาวะที่ปกติ หรือที่เรียกว่า *False Positive Rate*

ดังนั้นปัญหาที่กล่าวมาทั้งสองประการนี้จึงเป็นสิ่งที่น่าสนใจในการนำไปสู่การปรับปรุงวิธีการแก้ไขปัญหา เพื่อประสิทธิภาพและความสามารถในการเฝ้าระวังและการตรวจสอบที่ถูกต้องของโครงข่าย

จากเหตุผลที่ได้กล่าวมาข้างต้นนี้ เราจึงได้มีการทำการศึกษาและพัฒนาวิธีการตรวจจับความผิดปกติของระบบโครงข่ายให้มีประสิทธิภาพที่ดียิ่งขึ้นโดยใช้ข้อมูลหลายๆส่วนร่วมกัน โดยใช้วิธีการของการตรวจจับความผิดปกติแบบเปรียบเทียบเทียบรูปแบบกราฟฟิค และ แบบทันทีทันใด ร่วมกันในการตรวจจับความผิดปกติ โดยใช้กรรมวิธีของพีซีในการตัดสินใจว่าในในระบบโครงข่ายเกิดความผิดปกติหรือไม่ ข้อมูลที่จะใช้ในการพิจารณาความผิดปกติของระบบโครงข่ายนั้นเราจะใช้ข้อมูลของ *MIB (Management Information Base)* ในโพรโทคอลของ *SNMP* ในการพิจารณาความผิดปกติของระบบโครงข่าย

1.2 แนวทางของวิทยานิพนธ์

ในวิทยานิพนธ์ฉบับนี้นำเสนอการปรับปรุงวิธีการตรวจจับความผิดปกติของระบบโครงข่าย 3 ส่วนคือ ในส่วนแรกเป็นการปรับปรุงวิธีการตรวจจับความผิดปกติแบบเปรียบเทียบรูปแบบกราฟฟิคด้วยกัน 4 วิธีคือ การหาค่าถ่วงน้ำหนักแบบใหม่ การปรับค่าถ่วงน้ำหนักให้เปลี่ยนแปลงตามเวลา การใช้ข้อมูลมากกว่าหนึ่งชนิดข้อมูลร่วมกันในการตรวจจับความผิดปกติ และการใช้ค่า

ถ่วงน้ำหนักที่เปลี่ยนแปลงตามเวลาร่วมกับการใช้ข้อมูลมากกว่าหนึ่งชนิดข้อมูลในการตรวจจับความผิดปกติ โดยการใช้โปรแกรม *NS (Network Simulator)* ก่อเกิดกราฟฟิกและทดลองในการตรวจจับความผิดปกติ ในส่วนที่สองได้ทำการเสนอการใช้ค่าเกณฑ์แบบใหม่ในวิธีการตรวจจับความผิดปกติของระบบโครงข่ายแบบทันทีทันใด ในส่วนที่สามเป็นการเสนอการใช้วิธีการตรวจจับความผิดปกติแบบเปรียบเทียบรูปแบบกราฟฟิก กับการเปลี่ยนแปลงทันทีทันใด ร่วมกันโดยใช้กรรมวิธีการของพีชชี ในการตัดสินใจว่าในขณะนั้นเกิดความผิดปกติหรือไม่ โดยใช้กราฟฟิกที่ได้จากโครงข่าย *CUNET* ที่รัฐเทอร์หมายเลข 7513 อีกทั้งยังวิเคราะห์ถึงผลกระทบของขนาดหน้าต่างที่ใช้ในการจับความผิดปกติที่มีผลต่อความแน่นอนในการตรวจจับความผิดปกติที่อาจจะเกิดขึ้นในอนาคต

1.3 วัตถุประสงค์ของงานวิทยานิพนธ์

เพื่อศึกษาและพัฒนาวิธีการตรวจจับความผิดปกติของระบบโครงข่าย (*Network Anomaly*) ก่อนที่ระบบโครงข่ายจะเกิดความเสียหาย และ นำเสนอวิธีลดจำนวนสัญญาณเตือนที่ผิดพลาด (*False Alarm*) ในเน็ต วิธีการตรวจจับความผิดปกติของระบบโครงข่ายที่นำเสนอนี้ จะใช้ข้อมูลร่วมจากหลายๆส่วนมาใช้พิจารณาร่วมกันเพื่อใช้ลดความผิดพลาดของสัญญาณเตือน และสามารถรู้ได้ว่าความผิดปกติของระบบโครงข่ายเกิดมาจากตำแหน่งใด โดยจะส่งผลให้ผู้ดูแลระบบโครงข่าย (*Network Administrator*) รับผิดชอบและแก้ไขปัญหาของระบบโครงข่ายที่เกิดขึ้นก่อนที่ความเสียหายจะเกิดขึ้น

1.4 ขอบเขตวิทยานิพนธ์

วิทยานิพนธ์ฉบับนี้เสนอการปรับปรุงวิธีการตรวจจับความผิดปกติแบบเปรียบเทียบรูปแบบกราฟฟิก (*Pattern Matching*) โดยใช้กราฟฟิกที่ก่อกำเนิดจากโปรแกรม *NS(Network Simulator)* ในการทดสอบ เสนอวิธีการใช้ค่าเกณฑ์แบบใหม่ในการตรวจจับความผิดปกติในระบบโครงข่ายแบบทันทีทันใด (*Abrupt Change*) และ เสนอการใช้การตรวจจับความผิดปกติของระบบโครงข่ายแบบเปรียบเทียบรูปแบบกราฟฟิก กับวิธีการตรวจจับแบบทันทีทันใดร่วมกัน โดยใช้กรรมวิธีของพีชชี ในการตัดสินใจว่าเกิดความผิดปกติหรือไม่ในระบบโครงข่าย โดยใช้กราฟฟิกที่ได้จากโครงข่าย *CUNET* ที่รัฐเทอร์ 7513 ในการตรวจจับความผิดปกติในระบบโครงข่าย

1.5 ขั้นตอนการทำงาน

1. ศึกษางานวิจัยที่เกี่ยวข้อง พร้อมทั้งความรู้และทฤษฎีพื้นฐานที่ต้องใช้ในงานวิจัย
2. ศึกษาวิธีการของการตรวจจับความผิดปกติแบบเปรียบเทียบรูปแบบทราฟฟิก การเปลี่ยนแปลงทันทีทันใด และพีชชี ในการตรวจจับความผิดปกติในระบบโครงข่าย
3. กำหนดแบบจำลองที่ต้องการศึกษา
4. เขียนโปรแกรมทดสอบวิธีที่เสนอ
5. วิเคราะห์และประเมินผลการทดลองและเปรียบเทียบผลกับวิธีที่มีอยู่
6. สรุป วิจาร์ณ และรวบรวมข้อมูลทั้งหมด พร้อมทั้งจัดทำรูปเล่มวิทยานิพนธ์

1.6 ประโยชน์ที่คาดว่าจะได้รับ

สามารถนำวิธีการตรวจจับความผิดปกติ ของระบบโครงข่ายนี้ ไปใช้ในการช่วยผู้ดูแลระบบโครงข่ายเพื่อเตือนว่าระบบโครงข่ายกำลังมีความผิดปกติเกิดขึ้น ซึ่งจะส่งผลให้ระบบโครงข่ายสามารถตรวจสอบและแก้ไขปัญหาได้ทัน่วงที่ก่อนที่ความเสียหายจะเกิดขึ้น

สถาบันวิทยบริการ
จุฬาลงกรณ์มหาวิทยาลัย

บทที่ 2

ความรู้พื้นฐานและทฤษฎีที่เกี่ยวข้อง

การแยกแยะพฤติกรรมของระบบโครงข่ายประกอบไปด้วย 2 วิธี คือ 1. การศึกษาที่พฤติกรรมของระบบโครงข่ายโดยรวม และ 2. การศึกษาที่พฤติกรรมของแต่ละอุปกรณ์ในระบบโครงข่าย

ข้อมูลที่ใช้ในการวิเคราะห์เพื่อบอกถึงสถานะของระบบโครงข่ายว่าเกิดความผิดปกติหรือไม่สามารถได้จากข้อมูลของ *End-User-Based* และ *Network-Based*

ข้อมูล *End-User-Based* เกี่ยวข้องกับข้อมูลของ *Transmission Control Protocol (TCP)* และ *User Datagram Protocol (UDP)* ส่วนข้อมูล *Network-Based* นั้นเกี่ยวข้องกับหน้าที่ของแต่ละอุปกรณ์รวมถึงข้อมูลที่ถูกรวบรวมจากทุกๆการเชื่อมต่อทางกายภาพของรouters การตรวจจับความผิดปกติในระบบโครงข่ายโดยทั่วไปจะใช้ข้อมูลของผลรวมของทราฟฟิกในแต่ละช่วงเวลา อย่างไรก็ตามในบางกรณีเราจะใช้ จำนวนการเชื่อมต่อของ *TCP* คู่ที่อยู่ของต้นทางและปลายทาง และจำนวนพอร์ตในการตรวจจับความผิดปกติในระบบโครงข่าย

ความผิดปกติโครงข่ายทั่วไปจะเป็นสถานการณ์เมื่อการปฏิบัติการของโครงข่ายเบี่ยงเบนไปจากพฤติกรรมที่ปกติ ความผิดปกติของระบบโครงข่ายสามารถเกิดขึ้นได้จากหลายๆสาเหตุ เช่น อุปกรณ์ในโครงข่ายทำงานผิดพลาด การใช้งานที่มากเกินไปในโครงข่าย และการโจมตีโครงข่ายโดยผู้ที่ไม่ประสงค์ดี เหตุการณ์ที่ผิดปกติเหล่านี้จะรบกวนพฤติกรรมปกติของบางข้อมูลโครงข่ายที่ถูกวัด

ความผิดปกติของระบบโครงข่ายสามารถแบ่งแยกได้ 2 กรณีคือ

1. ความผิดปกติที่เกี่ยวข้องกับความล้มเหลวและปัญหาประสิทธิภาพของระบบโครงข่าย ตัวอย่างเช่น *File Server Failures*, *Paging Across The Network*, *Broadcast Storms*, *Babbling Node* และ *Transient Congestion* โดยที่ *File Server Failures* เช่น *Web Server Failure* ปรากฏเมื่อมีการเพิ่มขึ้นของจำนวนของความถี่ความต้องการ *FTP* ถึง *Server Broadcast Storm* เป็นสถานะซึ่ง *Broadcast Packet* ถูกส่งเป็นจำนวนมากจนโครงข่ายไม่สามารถทำงานได้ *Babbling Node* เป็นสถานการณ์ที่โนดส่งออกแพ็กเก็ตเล็กๆออกมาในลูปไม่สิ้นสุด

2. ความผิดปกติที่เกี่ยวข้องกับปัญหาของความปลอดภัย ตัวอย่างเช่น *Denial of Service Attack (DoS)* ปรากฏเมื่อระบบที่ให้บริการถูกใช้งานอย่างหนักโดยผู้ประสงค์ร้าย จนการให้บริการไม่สามารถทำงานได้ เช่น การโจมตี *DNS (Domain Name Server)* โดยผู้ประสงค์ร้ายจนทำให้ผู้ต้องการใช้บริการจริงๆไม่สามารถได้รับ ไอพี ที่แสดงที่อยู่ของเว็บที่ต้องการใช้งานได้

แหล่งข้อมูลโครงข่ายที่ใช้ในการตรวจจับความผิดปกติของระบบโครงข่ายประกอบไปด้วย

- *Network Probe* เป็นเครื่องมือที่ใช้กันอย่างกว้างขวางในการบอกสถานะของระบบโครงข่ายอย่างคร่าวๆเช่น *Ping* และ *Traceroute* ซึ่งสามารถบอกถึงสถานะของโครงข่ายในขณะนั้นว่ามีค่าหน่วงเวลาระหว่างต้นทางและปลายทาง และจำนวนแพ็กเก็ตที่สูญหายเป็นเท่าใด

- *Packet Filtering For Flow-Based Statistics* เป็นการกรองแพ็กเก็ตโดยการสุ่ม *IP Header* ของแพ็กเก็ตที่จุดแตกต่างกันในโครงข่าย ข้อมูลที่ถูกรวบรวมจาก *IP Header* บอกถึงประสิทธิภาพโครงข่าย สำหรับการวัดนั้นจะถูกจำแนกโดยที่อยู่ของต้นทางและปลายทาง หมายเลขพอร์ตของต้นทางและปลายทาง วิธีการกรองแพ็กเก็ตต้องการเทคนิคการสุ่มที่ซับซ้อนเช่นเดียวกับฮาร์ดแวร์ที่มีประสิทธิภาพ

- *Data From Routing Protocols*

เป็นข้อมูลเกี่ยวกับเหตุการณ์ที่เกิดขึ้นในโครงข่ายจากการใช้ข้อมูลของ *Routing Protocol* ตัวอย่างเช่นการใช้ *Open Shortest Path First (OSPF)* จะรวมการปรับปรุงตารางเส้นทางทั้งหมด ซึ่งเป็นการถูกส่งโดยรูทเทอร์ ข้อมูลที่ถูกสะสมนี้สามารถถูกใช้ในการบอกถึงสถานะการเชื่อมต่อของโครงข่ายและใช้ในการจัดสรรการปรับปรุงสถานะข่ายเชื่อมโยง

- *Data from Network Management Protocol*

เป็นโปรโตคอลการจัดการโครงข่ายทางสถิติของทราฟฟิกในโครงข่าย โปรโตคอลเหล่านี้จะเก็บค่าตัวแปรหลายๆค่าที่เกี่ยวข้องกับการนับทราฟฟิกที่วิ่งผ่านอุปกรณ์ ซึ่งข้อมูลที่ได้อาจจะไม่สามารถนำไปใช้อย่างตรงไปตรงมา แต่เราสามารถนำข้อมูลนั้นมาวิเคราะห์ และจำแนกพฤติกรรมของโครงข่าย ซึ่งต้องอาศัยซอฟต์แวร์การจัดการโครงข่าย อย่างไรก็ตามโปรโตคอลเหล่านี้สามารถบอกคุณสมบัติของข้อมูลได้ทุกระดับความละเอียด

- *Simple Network Management Protocol (SNMP)*

SNMP ทำงานในแบบแม่ข่ายลูกข่าย ซึ่งโปรโตคอลนี้จะจัดสรรการสื่อสารระหว่าง *SNMP MANAGER* และ *SNMP AGENT* โดยที่ *SNMP MANAGER* 1 ตัว สามารถรับข้อมูลการให้บริการจาก *SNMP AGENT* ที่เป็นลูกข่ายได้ถึง 100 ตัว *SNMP MANAGER* มีความสามารถในการสะสมข้อมูลการจัดการซึ่งถูกส่งโดย *SNMP AGENT* แต่ไม่มีความสามารถในการประมวลผลข้อมูลการจัดการ ข้อมูลที่เก็บใน *SNMP MANAGER* นี้จะถูกเรียกว่า *Management Information Base (MIB)* ซึ่งบรรจุชนิดข้อมูลที่แตกต่างกันขึ้นอยู่กับชนิดของ *MIB* ตัวอย่างเช่น *Bridges* ซึ่งเป็นอุปกรณ์ที่อยู่ในชั้น *Data Link Layer* จะวัดข้อมูลทราฟฟิกระดับข่ายเชื่อมโยง รูทเทอร์ซึ่งเป็นอุปกรณ์ในชั้น *Network Layer* จะวัดข้อมูลในชั้น *Network Layer* ข้อได้เปรียบของการใช้ *SNMP* คือเป็นโปรโตคอลที่ใช้กัน

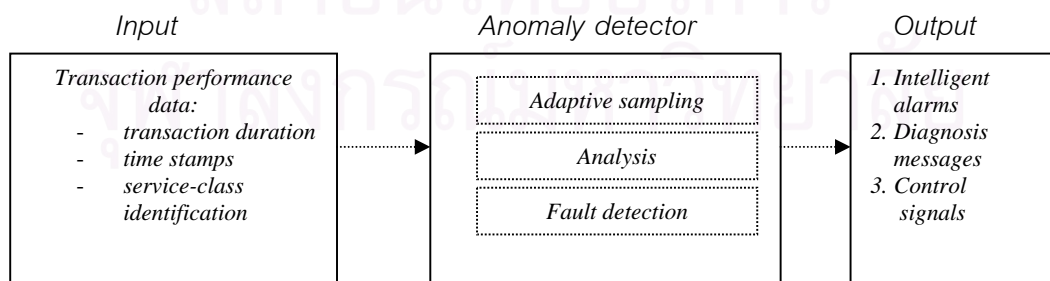
อย่างกว้างขวางและเป็นมาตรฐานสำหรับทุกๆ อุปกรณ์เครือข่ายที่แตกต่างกัน เนื่องจากเราสามารถได้ข้อมูลที่ละเอียดจาก SNMP ดังนั้น SNMP จึงเป็นแหล่งข้อมูลเชิงอุดมคติสำหรับการตรวจจับความผิดปกติในระบบเครือข่าย

- SNMP-MIB Variables

MIB ประกอบด้วยในโปรโตคอลเหล่านี้คือ System, Interfaces (If), Address Translation (AT), Internet Protocol (IP), Internet Control Message Protocol (ICMP), Transmission Control Protocol (TCP), User Datagram Protocol (UDP), Exterior Gateway Protocol (EGP) และ Simple Network Management Protocol (SNMP) อุปกรณ์ในระบบเครือข่ายจะมีชนิดของข้อมูลที่เหมาะ เช่น ถ้าโนดที่ถูกวัดเป็นรูทเทอร์ เมื่อมัน IP GROUP ของตัวแปร MIB จะถูกนำมาใช้ ตัวแปร IP อธิบายลักษณะทราฟฟิกในชั้น Network Layer

2.1 ทฤษฎีการตรวจจับความผิดปกติแบบเปรียบเทียบรูปแบบทราฟฟิก (Pattern Matching)

หลักการการตรวจจับความผิดปกติของข่ายเชื่อมโยงโดยวิธีนี้ จะมีการเก็บค่าข้อมูล เช่น การใช้ประโยชน์ของข่ายเชื่อมโยง (Link Utilization) การสูญหายของแพ็กเก็ต (Packet Loss) อัตราของจำนวนไบนารีของข้อมูล (Rate of Byte Counts) หรือ จำนวนการชนกันของข้อมูล (Number of Collision) ซึ่งการเก็บข้อมูลนี้จะเก็บเป็นข้อมูลของแต่ละวัน แล้วนำข้อมูลนี้มาใช้ในการทำนายข้อมูลปัจจุบันเพื่อใช้ในการตรวจจับความผิดปกติในช่วงเวลานั้น ในการทำงานจริงระบบเครือข่ายจะนำเอาข้อมูลจริงที่ได้มาเทียบกับข้อมูลที่เราได้ทำนายไว้แล้วภายในเวลาที่กำหนด แล้วพิจารณาว่าเกิดความผิดปกติหรือไม่ โดยมีช่วงของค่ามากที่สุดและน้อยที่สุดที่ยอมรับได้ว่าระบบไม่มีความผิดปกติ เป็นช่วงที่ใช้ในการเปรียบเทียบ ถ้าค่าที่ได้ไม่อยู่ในช่วงนี้ แสดงว่ามีความผิดปกติเกิดขึ้น เป็นผลให้ระบบการจัดการส่งสัญญาณว่าเกิดความผิดปกติเกิดขึ้น ประสิทธิภาพของวิธีนี้ขึ้นกับวิธีที่ใช้ในการทำนายทราฟฟิกปัจจุบัน และเวลาในการเก็บข้อมูลที่เพียงพอ ดังรูปที่ 2.1



รูปที่ 2.1 แบบจำลองของ pattern matching [5]

กำหนดให้ $I(t)$ คือ ค่าเฉลี่ยของกราฟฟีกที่ใช้ในการทำนายลักษณะกราฟฟีกในปัจจุบันเพื่อใช้ในการเปรียบเทียบกับกราฟฟีกทางปฏิบัติ

$$\text{โดยที่} \quad I(t) = \alpha(t) + \beta(t) + \varepsilon(t) \quad (2.1)$$

ซึ่ง $\alpha(t)$ คือ ค่าเฉลี่ยของกราฟฟีกของช่วงเวลาในแต่ละวัน

$\beta(t)$ คือ ค่าเฉลี่ยของกราฟฟีกของช่วงเวลาในวันเสาร์ วันอาทิตย์ หรือ วันหยุดพิเศษ เช่น วันปีใหม่ วันสงกรานต์ วันลงทะเลเบียน ฯลฯ

$\varepsilon(t)$ คือ เป็นค่าเบี่ยงเบนเฉลี่ยของกราฟฟีกของ $\alpha(t)$ และ $\beta(t)$

โดยที่ $\alpha_j(t)$ นั้นสามารถหาค่าได้จากการถ่วงน้ำหนักของข้อมูลกราฟฟีกของวันจันทร์ถึงวันศุกร์ในสัปดาห์ที่แล้วโดยไม่รวมวันที่เราสนใจ ดังสมการที่ (2.2)

$$\alpha_j(t) = \sum_{k \in \{1, \dots, 5\} - \{j\}} c_{j,k}' \alpha_k(t) \quad (2.2)$$

ซึ่ง $j = \{1, 2, 3, 4, 5\}$ โดยที่ 1 แทนวันจันทร์ 2 แทนวันอังคาร และ อื่นๆ

$k \in \{1, \dots, 5\} - \{j\}$ โดยที่ 1 แทนวันจันทร์ 2 แทนวันอังคาร และ อื่นๆ

$c_{j,k}'$ คือค่าถ่วงน้ำหนักของวันที่ j เทียบกับวันที่ k

$$\text{และ} \quad \sum_k c_{j,k}' = 1 \quad (2.3)$$

$\beta_j(t)$ นั้นสามารถหาค่าได้จากการถ่วงน้ำหนักของข้อมูลกราฟฟีกของวันเสาร์ วันอาทิตย์ หรือ วันหยุดพิเศษ ใน 4 สัปดาห์ที่แล้ว โดยไม่รวมสัปดาห์ที่สนใจ

$$\beta_j(t) = \sum_{k \in \{1, \dots, 4\} - \{j\}} d_{j,k}' \beta_k(t) \quad (2.4)$$

ซึ่ง $j = \{1, 2, 3, 4\}$ โดยที่ 1 แทน หลังจากสัปดาห์ปัจจุบัน 1 สัปดาห์ 2 แทน หลังจากสัปดาห์ปัจจุบัน 2 สัปดาห์ เป็นต้น

$k \in \{1, \dots, 4\} - \{j\}$ โดยที่ 1 แทน หลังจากสัปดาห์ปัจจุบัน 1 สัปดาห์ 2 แทน หลังจากสัปดาห์ปัจจุบัน 2 สัปดาห์ เป็นต้น

$d_{j,k}'$ คือค่าถ่วงน้ำหนักของสัปดาห์ที่ j เทียบกับสัปดาห์ที่ k

$$\text{และ} \quad \sum_k d_{j,k}' = 1 \quad (2.5)$$

ค่าของ $c_{m,n}$ หาได้จากค่าเฉลี่ยของอัตราส่วนของกราฟฟีกในแต่ละเวลาของกราฟฟีกของวันที่ m กับกราฟฟีกรวมของวันที่ n ส่วนค่าของ $d_{m,n}$ หาได้จากค่าเฉลี่ยของอัตราส่วนของกราฟฟีกในแต่ละเวลาของกราฟฟีกของวันหยุดสุดสัปดาห์ของสัปดาห์ที่ m กับกราฟฟีกรวมของวันหยุดสุดสัปดาห์ของสัปดาห์ที่ n ดังสมการที่ (2.6) และ (2.7) ตามลำดับ

$$c_{m,n}' = \sum_{\forall t} \alpha_m(t) / \alpha_n(t) \quad (2.6)$$

$$d_{m,n}' = \sum_{\forall t} \beta_m(t) / \beta_n(t) \quad (2.7)$$

ค่าของ $\varepsilon_{wk,j}(t), \varepsilon_{wked,j}(t)$ สามารถหาได้จากสมการที่ (2.8) และ (2.9) ตามลำดับ

$$\{<[\varepsilon_{wk,j}(t)]^2 >_t\}^{\frac{1}{2}} = \sum_{k \in \{1, \dots, 5\} - \{j\}} c_{j,k}' \{<[\varepsilon_{wk,k}(t)]^2 >_t\}^{\frac{1}{2}} \quad (2.8)$$

$$\{<[\varepsilon_{wked,j}(t)]^2 >_t\}^{\frac{1}{2}} = \sum_{k \in \{1, \dots, 4\} - \{j\}} d_{j,k}' \{<[\varepsilon_{wked,k}(t)]^2 >_t\}^{\frac{1}{2}} \quad (2.9)$$

โดยที่ $\varepsilon_{wk,j}(t)$ คือ ค่าการเบี่ยงเบนของทราฟฟิกของวันที่ j ของวันธรรมดา

$\varepsilon_{wked,j}(t)$ คือค่าการเบี่ยงเบนของทราฟฟิกของสัปดาห์ที่ j ของวันหยุดสุดสัปดาห์

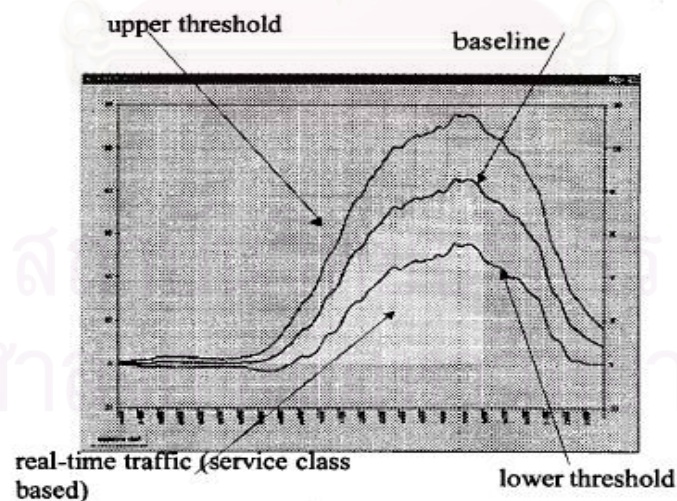
ค่าขอบเขตบนและขอบเขตล่างที่ได้จากการทำนายเพื่อใช้ในการตรวจจับความผิดปกติของระบบโครงข่าย แสดงในสมการที่ (2.10) (2.11) และ (2.12) ตามลำดับ

$$\text{ค่าขอบเขตบน} = I(T_n) + 2\sigma(T_n) \quad (2.10)$$

$$\text{ค่ากลาง} = I(T_n) \quad (2.11)$$

$$\text{ค่าขอบเขตล่าง} = I(T_n) - 2\sigma(T_n) \quad (2.12)$$

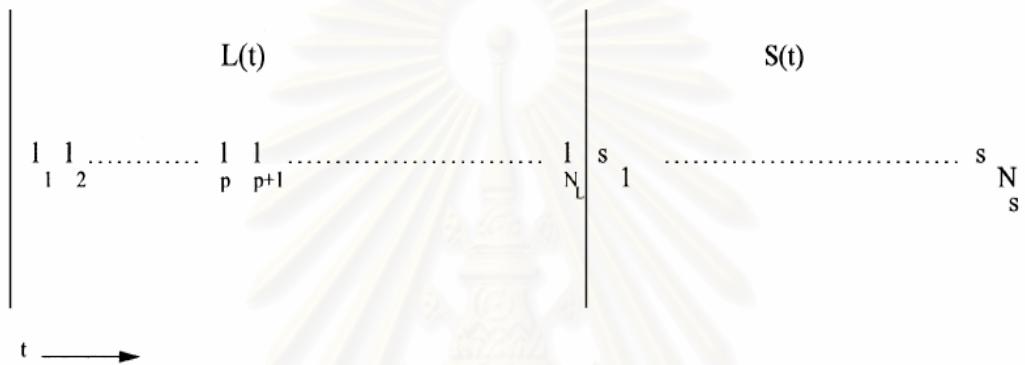
ความผิดปกติของระบบโครงข่ายจะเกิดขึ้นเมื่อค่าเฉลี่ยของทราฟฟิกจริงที่วัดได้ไม่อยู่ภายในขอบเขตบนและขอบเขตล่างของทราฟฟิกที่ทำนายได้แสดงดังรูปที่ 2.2



รูปที่ 2.2 การเปรียบเทียบผลของทราฟฟิกว่าระบบโครงข่ายนั้นมีลักษณะผิดปกติหรือไม่ [7]

2.2 ทฤษฎีการตรวจจับความผิดปกติแบบทันทีทันใด (Abrupt Change Detection)

การตรวจจับความผิดปกติแบบทันทีทันใดนั้น จะใช้การทดสอบสมมติฐานบน *Generalized Likelihood Ratio (GLR)* โดยที่การตรวจจับการเปลี่ยนแปลงทันทีทันใดนั้นจะใช้ค่าเบี่ยงเบนมาตรฐาน (*Standard Deviation*) [6] ของหน้าต่าง (*Window*) 2 ชุดเปรียบเทียบกับกันคือในช่วง *Learning Window (L(t))* และ *Test Window (S(t))* ดังรูปที่ 2.3



รูปที่ 2.3 *Learning Window (L(t))* และ *Test Window (S(t))* [3]

โดยที่ภายในหน้าต่างของ *Learning Window* และ *Test Window* นั้นประกอบด้วย ข้อมูลที่เรียงกันตามเวลาจำนวน N_L ค่า และ N_S ค่าตามลำดับ

เรากำหนดให้ $\tilde{r}_i(t)$ คือ ความผิดพลาดของจุดข้อมูลที่ตำแหน่งที่ i จากค่าเฉลี่ยของข้อมูลทั้งหมด ดังสมการที่ (2.13)

$$\tilde{r}_i(t) = r_i(t) - \mu \quad (2.13)$$

โดยที่ $r_i(t)$ คือ ค่าของข้อมูลที่ตำแหน่งที่ i
 μ คือ ค่าเฉลี่ยของข้อมูลทั้งหมดในช่วงเวลา t

ดังนั้นความผิดพลาดของจุดของข้อมูลที่ปรากฏนั้นเราสามารถที่จะประมาณด้วยวิธีการของ *Auto Regressive (AR)* ดังสมการที่ (2.14)

$$\varepsilon_i(t) = \sum_{k=0}^p \alpha_k \tilde{r}_i(t-k) \quad (2.14)$$

ซึ่ง $\varepsilon_i(t)$ คือ ความผิดพลาดของข้อมูลที่ตำแหน่งที่ i ส่วน α_k นั้นเป็นค่าตัวแปรที่ใช้ในการ

ถ่วงน้ำหนักในการประมาณค่า $\varepsilon_i(t)$ และ p เป็นจำนวนข้อมูลในอดีตที่เราจะใช้ในการประมาณค่า $\varepsilon_i(t)$ ของวิธี *Auto Regressive*

ถ้าเราใช้วิธีการทดสอบสมมติฐาน (*Hypothesis Testing*) ในการบอกถึงความผิดปกติที่เกิดขึ้นระหว่าง 2 หน้าต่าง คือ *Test Window* และ *Learning Window* โดยที่ กำหนดให้ H_0 แสดงถึงสมมติฐานซึ่งไม่มีการเปลี่ยนแปลงเกิดขึ้นระหว่าง 2 หน้าต่าง เราจะได้ *Likelihood*, LI_0 มีค่าเท่ากับ

$$LI_0 = \left(\frac{1}{\sqrt{2\pi\sigma_p^2}} \right)^{N_L + N_S'} \exp\left(\frac{-(N_L' + N_S')\hat{\sigma}_p^2}{2\sigma_p^2} \right) \quad (2.15)$$

และกำหนดให้ H_1 แสดงถึงสมมติฐานซึ่งมีความเปลี่ยนแปลงเกิดขึ้นระหว่าง 2 หน้าต่าง เราจะได้ *Likelihood*, LI_1 มีค่าเท่ากับ

$$LI_1 = \left(\frac{1}{\sqrt{2\pi\sigma_L^2}} \right)^{N_L'} \left(\frac{1}{\sqrt{2\pi\sigma_S^2}} \right)^{N_S'} \exp\left(\frac{-N_L'\hat{\sigma}_L^2}{2\sigma_L^2} \right) \exp\left(\frac{-N_S'\hat{\sigma}_S^2}{2\sigma_S^2} \right) \quad (2.16)$$

โดยที่ σ_L คือ ค่าเบี่ยงเบนมาตรฐานของข้อมูลที่ปรากฏใน *Learning Window*

σ_S คือ ค่าเบี่ยงเบนมาตรฐานของข้อมูลที่ปรากฏใน *Test Window*

σ_p คือ ค่าเบี่ยงเบนมาตรฐานรวมของข้อมูลที่ปรากฏใน *Learning* และ *Test*

Window

$\hat{\sigma}_L$ คือ ค่าเบี่ยงเบนมาตรฐานของค่าความผิดพลาดของจุดข้อมูลที่ปรากฏใน

Learning Window

$\hat{\sigma}_S$ คือ ค่าเบี่ยงเบนมาตรฐานของค่าความผิดพลาดของจุดข้อมูลที่ปรากฏใน

Test Window

$\hat{\sigma}_p$ คือ ค่าเบี่ยงเบนมาตรฐานรวมของค่าความผิดพลาดของจุดข้อมูลที่ปรากฏใน

Learning และ *Test Window*

$$\text{ซึ่ง} \quad N_L' = N_L - p \quad (2.17)$$

$$N_S' = N_S - p \quad (2.18)$$

ดังนั้นเราจะกำหนดให้ *Likelihood Ratio* η [7],[8] ซึ่งมีค่าอยู่ในช่วง (0,1) ซึ่ง 0 หมายถึงปกติ ในขณะที่ 1 หมายถึง ผิดปกติ โดยที่ η นั้นเป็นตัวบ่งชี้ความผิดปกติของข้อมูลที่ใช้วิเคราะห์ ดังสมการที่ (2.19)

$$\eta = \frac{LI_1}{LI_1 + LI_0} \quad (2.19)$$

โดยการใช้วิธีของ *Maximum Likelihood Estimate* เพื่อประมาณค่าของความแปรปรวนของข้อมูลในสมการที่ (2.15) และ สมการที่ (2.16) เราจะได้ว่า $\sigma_L^2 = \hat{\sigma}_L^2$ $\sigma_P^2 = \hat{\sigma}_P^2$ และ $\sigma_S^2 = \hat{\sigma}_S^2$ ดังนั้นเราจะได้

$$\eta = \frac{\hat{\sigma}_L^{-N_L'} \hat{\sigma}_S^{-N_S'}}{\hat{\sigma}_L^{-N_L'} \hat{\sigma}_S^{-N_S'} + \hat{\sigma}_P^{-(N_L'+N_S')}} \quad (2.20)$$

ในกรณีที่เรามีการใช้ข้อมูลหลายระดับในการตรวจจับความผิดปกตินั้น เราจะมีกำหนดถึง $\vec{\psi}(t)$ เป็นเวกเตอร์ความผิดปกติ โดยที่ความผิดปกติของข้อมูลหลายระดับจะถูกจัดเก็บ ในเวกเตอร์ความผิดปกตินี้ ดังสมการที่ (2.21)

$$\vec{\psi}(t) = [\eta_1(t) \dots \eta_m(t)] \quad (2.21)$$

จากผลของเวกเตอร์ความผิดปกติที่ได้จากความผิดปกติของชนิดข้อมูลหลายระดับ เราจะมีกรนิยามฟังก์ชันสุขภาพของโครงข่าย (*Network Health Function*) เป็น $(f(\vec{\psi}(t)))$ ดังสมการที่ (2.22)

$$f(\vec{\psi}(t)) = \vec{\psi}(t) A \vec{\psi}^T(t) \quad (2.22)$$

โดยที่ฟังก์ชันสุขภาพของโครงข่ายนั้น เป็นตัวบ่งชี้ถึงความผิดปกติของระบบโครงข่าย ซึ่ง 0 แสดงว่าระบบโครงข่ายเป็นปกติ และ 1 แสดงถึงระบบโครงข่ายเกิดความผิดปกติแน่นอน

โดยเมตริกซ์ A เป็นเมตริกซ์ที่แสดงถึงความสัมพันธ์กันของความผิดปกติของข้อมูลหลายระดับ มีขนาด $M \times M$ โดยที่ M เป็นจำนวนของข้อมูลที่ใช้ในการตรวจจับความผิดปกติ ดังสมการที่ (2.23)

$$A = \begin{bmatrix} a_{11} & a_{12} & \cdot & \cdot & a_{1(M-1)} & a_{1M} \\ a_{21} & a_{22} & \cdot & \cdot & a_{2(M-1)} & a_{2M} \\ \cdot & \cdot & \cdot & \cdot & \cdot & \cdot \\ \cdot & \cdot & \cdot & \cdot & \cdot & \cdot \\ a_{M1} & a_{M2} & a_{M3} & a_{M.} & a_{M(M-1)} & a_{MM} \end{bmatrix} \quad (2.23)$$

การหาค่าของเมตริกซ์ A เราสามารถแบ่งได้เป็น 2 กรณีคือ

กรณีที่ $i \neq j$

$$\begin{aligned} A(i, j) &= |\langle \eta_i(t), \eta_j(t) \rangle| \\ &= \frac{1}{T} \left| \sum_{t=1}^T \eta_i(t) \eta_j(t) \right| \end{aligned} \quad (2.24)$$

กรณีนี้ที่ $i = j$

$$A(i, i) = 1 - \sum_{j \neq i} A(i, j) \quad (2.25)$$

ซึ่งเมตริกซ์ A นั้นสามารถหาค่าจำนวน M ค่าของ *Orthogonal Eigenvectors* และจำนวน M ค่าของ *Eigenvalues* ที่เป็นค่าจริง ดังสมการที่ (2.26) โดยที่ A นั้นเป็นเมตริกซ์ที่สมมาตร (*Symmetric*)

$$A\bar{\phi} = \lambda\bar{\phi} \quad (2.26)$$

ในกรณีที่เวกเตอร์ความผิดปกติ $\bar{\psi}(t)$ ขึ้นอยู่กับค่า *Orthogonal Eigenvectors*, $\bar{\phi}$ ตั้งแต่เวกเตอร์ที่ N ถึง M ดังสมการที่ (2.27)

$$\bar{\psi}^{-T}(t) = \sum_{i=N}^M c_i \bar{\phi}_i \quad (2.27)$$

Orthogonal Eigenvector ในกรณีนี้จะถูกเรียกว่า *เวกเตอร์ความผิดพลาด (Fault vector)* และค่า *Eigenvalues* ของเวกเตอร์ความผิดพลาดจะถูกเรียกว่า *ค่าความผิดพลาด (Fault value)* ซึ่งเวกเตอร์ความผิดพลาดและค่าความผิดพลาดนี้จะเป็นตัวบอกถึงขอบเขตของความผิดพลาดของระบบโครงข่าย โดยที่

$$\sum_{i=1}^M c_i^2 = 1 \quad (2.28)$$

c_i คือ ขนาดของระดับซึ่งเวกเตอร์ความผิดปกติตกอยู่ใน *Eigenvector* ที่ i

c_i^2 คือ ความน่าจะเป็นของการอยู่ใน *Eigenstate* ที่ i

กำหนดให้ λ_N และ λ_M คือค่าน้อยที่สุดและค่ามากที่สุดของค่าความผิดพลาด โดยที่ค่าความผิดพลาด λ_N ถึง λ_M มีค่าเวกเตอร์ความผิดพลาดที่อยู่ใกล้กับเวกเตอร์ความผิดปกติ $[1 \ 1 \ 1]$ มากกว่าค่าความผิดพลาด λ_i

ในการพิจารณาค่าของฟังก์ชันสุขภาพของโครงข่ายนั้นจะมีค่า α เป็น *Normalization Constant* เพื่อที่จะทำให้ค่าของฟังก์ชันสุขภาพของโครงข่ายมีค่าอยู่ในช่วง $(0, 1)$ ดังสมการที่ (2.29)

$$\bar{\psi}(t) = \alpha[\eta_1(t) \dots \eta_m(t)] \quad (2.29)$$

จากคุณสมบัติของค่า *Eigenvalues* และ *Eigenvector* เราจะเห็นได้ว่าค่าของฟังก์ชันสุขภาพของโครงข่ายมีค่าเท่ากับค่าเฉลี่ยของค่าความผิดพลาดดังสมการที่ (2.30)

$$\begin{aligned} \bar{\psi}(t) A \bar{\psi}^{-T}(t) &= \sum_{i=N}^M c_i^2 \lambda_i \\ &= E(\lambda) \end{aligned} \quad (2.30)$$

โดยที่ $E(\lambda)$ คือตัวบอกถึงค่าเฉลี่ยความผิดปกติของโครงข่าย และจะได้

$$\min_{\lambda_i \in \{\lambda_N, \lambda_{N+1}, \dots, \lambda_M\}}(\lambda_i) \leq E(\lambda) \leq \max_{\lambda_i \in \{\lambda_N, \lambda_{N+1}, \dots, \lambda_M\}}(\lambda_i) \quad (2.31)$$

เพราะฉะนั้นการตรวจจับความผิดปกติของโครงข่ายนี้จะเกิดสัญญาณเตือนโดยเงื่อนไขคือ

$$E(\lambda) > \min_{\lambda_i \in \{\lambda_N, \lambda_{N+1}, \dots, \lambda_M\}}(\lambda_i) \quad (2.32)$$

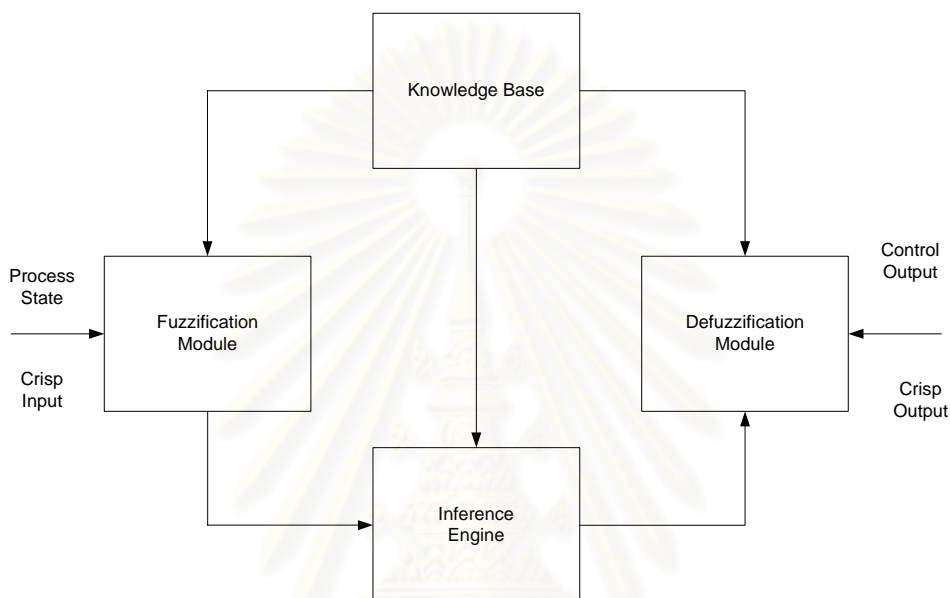
2.3 ทฤษฎีของ Fuzzy Logic

ในปี 1965 L.A.Zadeh ได้เสนอบทความเรื่องฟัซซีเซต (Fuzzy Sets) โดยให้เหตุผลว่า มนุษย์ทำการตัดสินใจและแก้ปัญหาได้ดีกว่าเครื่องจักร เพราะการตัดสินใจสามารถกระทำอย่างมีประสิทธิภาพบนพื้นฐานของสารสนเทศเชิงบรรยายที่ไม่เที่ยงตรง และการแก้ไขปัญหาก็จะกระทำโดยอาศัยความรู้และประสบการณ์ ซึ่งแนวทางการตัดสินใจและวิเคราะห์ปัญหาจะอยู่ในรูปแบบตรรกที่คลุมเคลือ (Fuzzy)

ตัวควบคุมแบบฟัซซีถูกตีพิมพ์ครั้งแรกในปี 1974 โดย E.H.Mamdani แทนการใช้ตัวควบคุมพีไอแบบดั้งเดิม โดยตัวควบคุมแบบฟัซซีจะทำงานบนพื้นฐานของแบบจำลองเชิงตรรกที่แสดงกระบวนการทางความคิดของผู้ปฏิบัติการ และถูกอธิบายเป็นชุดกฎการอนุมานที่อยู่ในรูปของ “ถ้าตัวแปรเชิงพฤติกรรม B (สัญญาณเข้าตัวควบคุม) ถูกสังเกตว่าอยู่ในสถานะ x ดังนั้นเปลี่ยนพารามิเตอร์ควบคุม C (สัญญาณออกจากตัวควบคุม) ด้วยจำนวน y แบบจำลองดังกล่าวเป็นฟัซซีเนื่องจากการกำหนดจำนวน x และ y ให้อยู่ในเทอมของภาษาเช่น ใหญ่บวก ปานกลางบวก เล็กบวก ไม่มีการเปลี่ยนแปลง เล็กลบ ฯลฯ โดยพจน์แต่ละพจน์เป็นเซตย่อยของฟัซซีโดเมนของการวัดที่เกี่ยวข้อง การควบคุมจะกระทำโดยการนำฐานกฎมาผ่านการอนุมานผลประกอบ (Compositional rule of inference) โดยผลลัพธ์ที่ได้จะเป็นเซตย่อยของฟัซซีเซตของสัญญาณควบคุมในช่วงที่พิจารณา จากนั้นจึงทำการพิจารณาผลที่ได้จากการอนุมานว่าค่าใดสอดคล้องกับกฎการควบคุมที่ตั้งไว้มากที่สุด ให้สรุปค่าสัญญาณออกว่าเป็นค่านั้น แต่ถ้ามีค่าสัญญาณออกที่สอดคล้องกับกฎที่กำหนดสูงสุดหลายค่าให้ทำการหาค่าเฉลี่ย ซึ่งค่าสัญญาณออกจากตัวควบคุมจะเป็นค่าคงที่ค่าหนึ่งไม่ใช่ค่าฟัซซี ส่วนของการปรับปรุงการทำงานของระบบควบคุมแบบฟัซซีนั้นสามารถกระทำได้โดยการตรวจสอบและปรับปรุงกฎต่างๆ รวมทั้งจัดการกับกฎที่มีความน่าจะเป็นการเกิดความขัดแย้งกันเองระหว่างกฎที่ตั้งขึ้น

2.3.1 โครงสร้างพื้นฐานของตัวควบคุมแบบฟัซซี

โครงสร้างพื้นฐานของตัวควบคุมแบบฟัซซีประกอบด้วย ฟัซซิฟิเคชันมอดูล (*Fuzzification Module*), ฐานความรู้ (*Knowledge Base*), เครื่องอนุมาน (*Inference Engine*) และดีฟัซซิฟิเคชันมอดูล (*Defuzzification Module*) โครงสร้างหลักของตัวควบคุมแบบฟัซซีแสดงในรูปที่ 2.4



รูปที่ 2.4 โครงสร้างหลักของตัวควบคุมแบบฟัซซี

2.3.1.1 ฟัซซิฟิเคชันมอดูล (*Fuzzification Module*) มีหน้าที่ดังต่อไปนี้

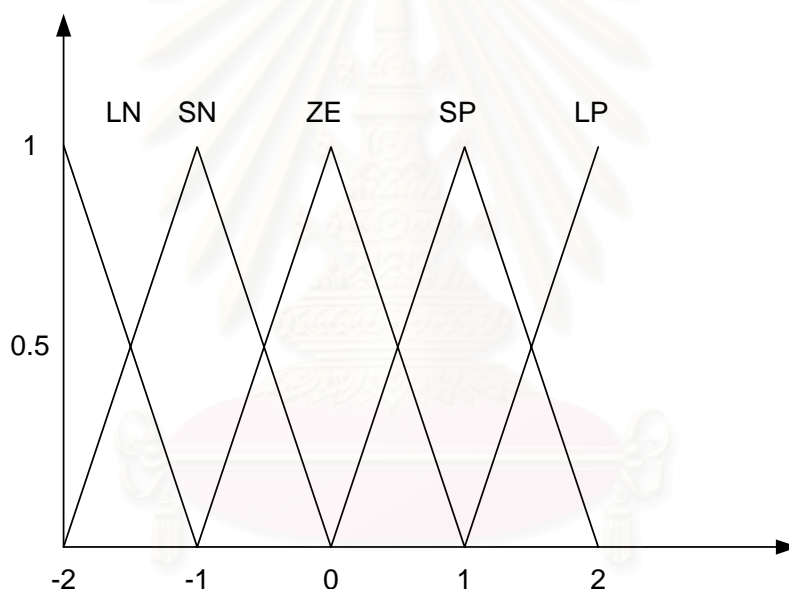
1. ทำการนอมอลไลซ์ค่าทางกายภาพของตัวแปรเดตของกระบวนการ ให้อยู่ในช่วงพิจารณา
2. แปลงค่าจุด (*Crisp*) แต่ละจุดของข้อมูลขาเข้าที่เป็นตัวแปรเดตของกระบวนการ ให้เป็นฟัซซีเซต เพื่อให้เข้ากันได้กับการแสดงฟัซซีเซตของตัวแปรเดตของกระบวนการแล้วส่งต่อไปยังเครื่องอนุมาน

2.3.1.2 ฐานความรู้ (Knowledge Base) ประกอบด้วย

1. ฐานข้อมูล (Data Base) เป็นสารสนเทศที่จำเป็นที่ทำให้พีซีพีเคชันมอดูล, เครื่องอนุমান และดีพีซีพีเคชันมอดูลทำงานได้ถูกต้อง ในการออกแบบฐานข้อมูลต้องคำนึงถึง

- การเลือกฟังก์ชันการเป็นสมาชิก (Membership Function)

รูปร่างของฟังก์ชันการเป็นสมาชิกที่นิยมมากได้แก่ รูปสามเหลี่ยม รูปสี่เหลี่ยมคางหมู และรูปประฆัง เนื่องจากสามารถอธิบายได้ในรูปของฟังก์ชันและพารามิเตอร์ได้ง่าย ทั้งยังใช้หน่วยความจำในการเก็บข้อมูลและประมวลผลน้อย ฟังก์ชันการเป็นสมาชิกจะถูกใช้ในการแปลงค่าจุดของข้อมูลขาเข้าให้เป็นตัวแปรเชิงภาษาดังรูปที่ 2.5



รูปที่ 2.5 ฟังก์ชันการเป็นสมาชิกแบบสามเหลี่ยม ที่ใช้ในการแปลงค่าจุดของข้อมูลขาเข้าในโดเมน $[-2, 2]$ ให้เป็นตัวแปรเชิงภาษา

- การเลือกตัวประกอบมาตรฐาน

ตัวประกอบมาตรฐาน เป็นตัวกำหนดมาตรฐานในการแปลงค่าตัวแปรกระบวนการให้อยู่ในนอมอลไลซ์โดเมน และทำการแปลงค่าในนอมอลไลซ์โดเมนของตัวแปรควบคุมเป็นค่าทางกายภาพ นั่นคือทำหน้าที่คล้ายอัตราขยายในเครื่องควบคุมแบบดั้งเดิม ดังนั้นการกำหนด

ตัวประกอบมาตราส่วนจึงมีความสำคัญต่อสมรรถนะของเครื่องควบคุม และเสถียรภาพของระบบ เพราะเป็นสาเหตุที่ทำให้เกิดการเสียเสถียรภาพ การแกว่ง และการหน่วงของระบบควบคุม

การกำหนดตัวประกอบมาตราส่วนสามารถกระทำได้ 2 วิธีคือ การลองผิดลองถูก และการหาความสัมพันธ์ระหว่างตัวประกอบมาตราส่วนและพฤติกรรมของกระบวนการซึ่งการกำหนดตัวประกอบมาตราส่วนด้วยวิธีหลังในบางกรณีกระทำได้ค่อนข้างยาก

2. ฐานกฎ (Rule Base) มีหน้าที่ควบคุมกระบวนการเกี่ยวกับความชำนาญในรูปของ Production Rule เช่นกรณีที่มีระบบหนึ่งมีฐานกฎ m กฎ ที่กฎที่ k ใดๆ แสดงในรูปของ IF (สภาวะของกระบวนการ)^(k) THEN (กริยาควบคุม)^(k)

โดยในส่วนของสภาวะของกระบวนการแสดงด้วย $x_1^{(k)}$ เป็น $A_1^{(k)}$ และ...และ $x_n^{(k)}$ เป็น $A_n^{(k)}$ ส่วนของกริยาควบคุมแสดงด้วย $u^{(k)}$ เป็น $B^{(k)}$ โดยที่ $A_1^{(k)}$ และ $B^{(k)}$ เป็นค่าเชิงภาษาที่กำหนดไว้สำหรับตัวแปรเชิงภาษา $x_1^{(k)}$ และ $u^{(k)}$ ตามลำดับ หรืออาจเขียนกริยาควบคุมในรูปของฟังก์ชัน $u^{(k)} = f^{(k)}(x_1^{(k)}, \dots, x_n^{(k)})$ และในการสร้างฐานกฎจะต้องทำการเลือกพารามิเตอร์ต่างๆต่อไปนี้

- การเลือกตัวแปรกระบวนการ และตัวแปรควบคุม

ตัวควบคุมแบบพีซีพีไอ (Proportion-plus -Integral Fuzzy Controller) จะมีตัวแปรกระบวนการคือ ความผิดพลาด (Error: e) และการเปลี่ยนแปลงความผิดพลาด (Δe) ตัวแปรควบคุม (u) ที่เป็นข้อมูลขาออกของตัวควบคุม เมื่อ k เป็นเวลาของการชักตัวอย่าง e และ Δe

$$e(k) = \text{ค่าสัญญาณออกที่ต้องการ} - \text{ค่าสัญญาณออกที่วัด} \quad (2.33)$$

$$\Delta e(k) = (e \text{ ในรอบการชักตัวอย่างที่ } k) - (e \text{ ในรอบการชักตัวอย่างที่ } (k-1)) \quad (2.34)$$

- การเลือกเนื้อหาของกฎ

ถ้าตัวควบคุมเป็นแบบพีซีพีไอ การแสดงกฎจะอยู่ในรูป IF (e เป็น A_1 และ Δe เป็น B_1) THEN (u เป็น C_1) โดย A_1 , B_1 และ C_1 เป็นเทอมเซตใดๆของพีซีซี

- การเลือกเทอมเซต

เทอมเซตของตัวแปรเชิงภาษา x ประกอบด้วยจำนวนจำกัดของค่าที่แสดงด้วยอักษรซึ่ง x เป็นไปได้ เช่นการกรณีที่ตัวแปรสแตตเป็นค่าความผิดพลาด เทอมเซตที่เลือกใช้มักเป็นเทอมเซตที่แสดงเครื่องหมายบวก-ลบ และขนาดได้ เช่น ใหญ่บวก เล็กบวก ไม่มีความผิดพลาด เล็กลบ ใหญ่ลบ เป็นต้น โดยขนาดของเทอมเซตจะเป็นตัวกำหนดความละเอียดของตัวควบคุมแบบพีซีซี แต่การเพิ่มจำนวนของเทอมเซตก็จะส่งผลให้การออกแบบกฎต้องกระทำเพิ่มขึ้นตามไปด้วย

2.3.1.3 เครื่องอนุมาน (Inference Engine)

เป็นกลไกสำคัญที่นำสถานะของระบบที่ตรวจวัดได้มาเทียบกับกฎการควบคุมที่กำหนดเพื่อสรุปการควบคุมที่ทำให้กระบวนการดำเนินไปในลักษณะที่ต้องการ เครื่องอนุมานสำหรับพีชชีแบ่งได้ 2 ประเภท คือ

1. การอนุมานแบบพิจารณาทุกกฎพร้อมกัน (*Composition Based Inference*) เป็นการอนุมานโดยรวมความสัมพันธ์ของพีชชีทั้งหมดในแต่ละกฎเข้าไว้ด้วยกัน แล้วทำการหาการควบคุมที่เหมาะสมกับสถานะของกระบวนการจากความสัมพันธ์รวมนั้น ผลลัพธ์ที่ได้จะเป็นพีชชีเซตที่บอกค่าพีชชีของตัวแปรควบคุมทั้งหมด

2. การอนุมานแบบพิจารณาทีละกฎ (*Individual Rule Based Inference*) เป็นกาอนุมานกฎทีละกฎเพื่อให้ได้พีชชีเซตที่อธิบายความหมายของส่วนการควบคุมของกฎนั้นๆ แล้ว นำค่าพีชชีเซตที่ได้จากแต่ละกฎมาทำการรวมกันเป็นค่าตัวแปรควบคุมทั้งหมด โดยการอนุมานแบบนี้จะมีประสิทธิภาพในการคำนวณดีกว่า และประหยัดหน่วยความจำกว่าวิธีการอนุมานแบบพิจารณาทุกกฎพร้อมกัน

วิธีการอนุมานของตัวควบคุมพีชชีนั้น ได้มีการวิจัยสรุปออกมาเป็นวิธีการทำงานหลายรูปแบบดังนี้เช่น วิธีของ Mamdani, Sugeno และ Tsukamoto โดยทั้งสามวิธีนี้เป็นที่นิยมใช้งานอย่างแพร่หลาย ในแต่ละวิธีก็จะมีการทำงานที่แตกต่างกัน ในที่นี้จะกล่าวถึงการอนุมานตามระเบียบวิธีการอนุมานของ Mamdani ซึ่งมีชื่อเรียกว่าวิธีการอนุมานแบบค่าสูงสุด-ต่ำสุด (*Max-Min Inference*) ซึ่งเป็นวิธีการอนุมานที่เลือกใช้ในวิธีการควบคุมกำลังที่เสนอ การทำงานของวิธีการอนุมานแบบค่าสูงสุด-ต่ำสุดจะประกอบด้วย 2 ส่วนคือ

- Aggregation

ทำหน้าที่ประมวลผลในส่วนของ "If" ในฐานกฎที่อยู่ในรูป *If-Then Rule* ซึ่งก็คือการหาค่าผลลัพธ์ในส่วนเงื่อนไข *If* ที่แทนสถานะของระบบ ที่อยู่ในฐานกฎข้อเดียวกัน มีวิธีการทำโดยใช้ตัวดำเนินการ *min* (*Intersection, AND*) เขียนได้ในรูปของสมการที่ 2.35

$$\mu_{A \cap B}(u) = \min\{\mu_A(u), \mu_B(u)\} \quad (2.35)$$

โดยที่ *A* และ *B* เป็นพีชชีเซตใน *U* และ $u \in U$ (*Universe of Discourse*)

- Composition

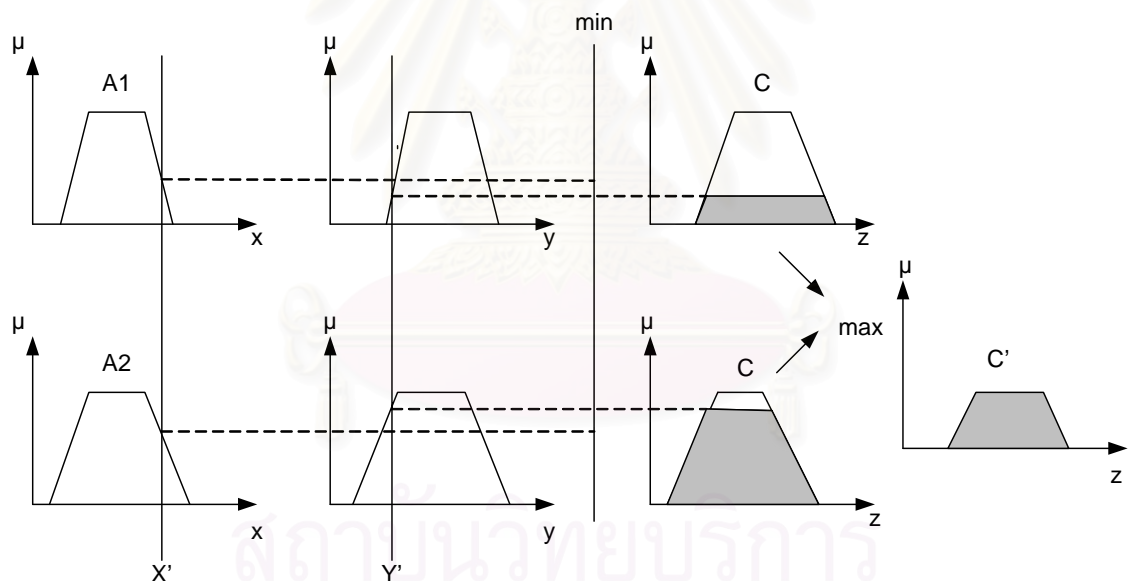
ทำหน้าที่ประมวลผลในส่วนของ "Then" ในฐานกฎที่อยู่ในรูป *If-Then Rule* ซึ่งก็คือการหาค่าผลลัพธ์ในส่วนเงื่อนไข *Then* ที่แทนการควบคุม ที่อยู่ในเทอมเซตเดียวกันของตัวแปรภาษา

ของข้อมูลขาออก มีวิธีการทำโดยใช้ตัวดำเนินการ \max (Union, OR) เขียนได้ในรูปของสมการที่ (2.36)

$$\mu_{A \cup B}(u) = \max\{\mu_A(u), \mu_B(u)\} \quad (2.36)$$

โดยที่ A และ B เป็นฟัซซีเซตใน U และ $u \in U$ (Universe of Discourse)

จากการทำงานของวิธีการอนุมานทั้งสองส่วน จะได้ข้อมูลขาออกที่เป็นค่าทางฟัซซีที่อยู่ในรูปของเทอมเซตต่างๆ ของตัวแปรภาษาของข้อมูลขาออก ซึ่งเครื่องอนุมานจะส่งค่าเหล่านี้ไปยังกระบวนการ *Defuzzification* เพื่อแปลงค่าทางฟัซซีให้เป็นค่าจริงที่สามารถนำไปใช้ในการควบคุมระบบได้ รูปที่ 6 แสดงตัวอย่างการอนุมานตามระเบียบวิธีการอนุมานแบบค่าสูงสุด-ต่ำสุด เทียบกับฐานกฎสองข้อ โดยมีค่าจุดของข้อมูลขาเข้าเป็นค่า x' และ y' ส่วนข้อมูลขาออกเป็นค่า C' ที่เป็นค่าทางฟัซซี เมื่อกำหนดให้ $A1, A2$ และ $B1, B2$ เป็นเทอมเซตของตัวแปรเชิงภาษาของข้อมูลขาเข้า A และ B ตามลำดับ และ C เป็นเทอมเซตของตัวแปรเชิงภาษาของข้อมูลขาออก



รูปที่ 2.6 วิธีการอนุมานตามระเบียบวิธีการอนุมานแบบค่าสูงสุด-ต่ำสุด

2.3.1.4 ดีฟัซซิฟิเคชันมอดูล (Defuzzification Module) มีหน้าที่คือ

1. แปลงฟัซซีเซตของค่าตัวแปรควบคุมที่ได้จากการอนุมานตามกฎต่างๆ ให้เป็นค่าคงตัวค่าหนึ่ง
 2. แปลงค่าจุดของตัวแปรควบคุมเป็นค่าทางกายภาพ
- ตัวอย่างของวิธีดีฟัซซิฟิเคชัน เช่น

- วิธีการหาค่าเฉลี่ยของค่าสูงสุดของค่าสนับสนุน (*Mean of Maximum Method: MOM*) กระทำโดยการหาค่าเฉลี่ยของค่าสนับสนุน (*Support Value*) ที่ทำให้ฟังก์ชันการเป็นสมาชิกมีค่ามากที่สุดในพื้นที่แต่ละเขตของตัวแปรกริยาหรือข้อมูลขาออกของตัวควบคุม ซึ่งสามารถคำนวณได้จากสมการที่ (2.37)

$$u^* = \sum_{i=1}^r \frac{u_i}{r} \quad (2.37)$$

โดย $\{u_1, \dots, u_r\}$ เป็นค่าสนับสนุน ที่ทำให้ฟังก์ชันการเป็นสมาชิกมีค่ามากที่สุดในพื้นที่แต่ละเขตของตัวแปรกริยาหรือข้อมูลขาออกของตัวควบคุม และ r คือจำนวนพื้นที่ของตัวแปรกริยาหรือข้อมูลขาออกของตัวควบคุม

- วิธีจุดศูนย์กลาง (*Central of Gravity*) เป็นวิธีการเฉลี่ยผลที่ได้จากเครื่องอนุมานวิธีหนึ่งที่ยอมรับในปัจจุบัน โดยคำนวณจากสมการที่ (2.38)

$$u^* = \frac{\sum_{i=1}^r \mu_i \cdot u_i}{\sum_{i=1}^r \mu_i} \quad (2.38)$$

โดย μ_i เป็นระดับการเป็นสมาชิกของพื้นที่เขตที่ i และ $\{u_1, \dots, u_r\}$ เป็นค่าสนับสนุน (*Support Value*) ที่ทำให้ฟังก์ชันการเป็นสมาชิกมีค่ามากที่สุดในพื้นที่แต่ละเขตของตัวแปรกริยา หรือข้อมูลขาออกของตัวแปรควบคุม และ r คือ จำนวนพื้นที่ของตัวแปรกริยาหรือข้อมูลขาออกของตัวแปรควบคุม

บทที่ 3

การปรับปรุงวิธีการตรวจจับความผิดปกติแบบเปรียบเทียบรูปแบบกราฟฟิก

ในบทที่ผ่านมาเราได้มีการนำเสนอเนื้อหาทางทฤษฎีของการตรวจจับความผิดปกติแบบเปรียบเทียบรูปแบบกราฟฟิก ซึ่งจะเห็นได้ว่าวิธีการนี้นั้นค่าถ่วงน้ำหนักมีค่าคงที่ตลอดเวลา และใช้ข้อมูลเพียง 1 ชนิด ในการตรวจจับความผิดปกติ ถ้าเราทำการเปลี่ยนให้วิธีการตรวจจับความผิดปกตินี้มีการเปลี่ยนแปลงค่าถ่วงน้ำหนักตามเวลา และใช้ชนิดข้อมูลมากขึ้นในการตรวจจับความผิดปกติ น่าจะให้ผลที่ดีกว่าวิธีการดั้งเดิม ดังนั้นเราจึงเสนอการปรับปรุงการหาค่าถ่วงน้ำหนักแบบใหม่โดยใช้ผลรวมของค่าสมบรูณ์ของความแตกต่างของข้อมูล 2 วัน และนำวิธีการหาค่าถ่วงน้ำหนักแบบเดิมและการหาค่าถ่วงน้ำหนักแบบใหม่มาปรับปรุงใช้กับวิธีการที่เรานำเสนอ 3 วิธีคือ

1. การปรับค่าถ่วงน้ำหนักให้เปลี่ยนตามเวลา
2. การใช้ข้อมูลมากกว่าหนึ่งชนิดข้อมูลร่วมกันในการตรวจจับความผิดปกติ
3. การใช้ค่าถ่วงน้ำหนักที่เปลี่ยนแปลงตามเวลาร่วมกับการใช้ข้อมูลมากกว่าหนึ่งชนิดข้อมูลในการตรวจจับความผิดปกติ

อีกทั้งยังวิเคราะห์ถึงผลกระทบของขนาดหน้าต่างที่ใช้ในการตรวจจับความผิดปกติซึ่งมีผลต่อความแน่นอนในการตรวจจับความผิดปกติที่อาจจะเกิดขึ้นในอนาคต

เนื้อหาในบทที่ 3 นี้จะแบ่งเป็น 3 ส่วน ในส่วนที่ 1 เกี่ยวข้องกับวิธีการที่เราแนะนำเสนอในการปรับปรุงวิธีการตรวจจับความผิดปกติแบบเปรียบเทียบรูปแบบกราฟฟิก ส่วนที่ 2 แสดงถึงดัชนีชี้วัดที่ใช้ในการประเมินประสิทธิภาพของวิธีตรวจจับความผิดปกติของระบบโครงข่าย ส่วนที่ 3 จะแสดงถึงผลการทดลองและสรุปผลการทดลอง

3.1 วิธีการที่เราแนะนำเสนอในการปรับปรุงวิธีการตรวจจับความผิดปกติแบบเปรียบเทียบรูปแบบกราฟฟิก

จากวิธีการเปรียบเทียบรูปแบบกราฟฟิก ที่กล่าวมานั้นเราจึงได้มีการเสนอการปรับปรุงการตรวจจับความผิดปกติของวิธีการนี้ดังนี้

3.1.1 การปรับเปลี่ยนการหาค่าถ่วงน้ำหนักแบบใหม่

วิธีการหาค่าถ่วงน้ำหนักแบบใหม่นั้นจะใช้สมมุติฐานที่ว่าถ้าผลรวมของผลต่างของค่าเฉลี่ยกราฟฟิกของวันที่ i และ กราฟฟิกวันที่ j ภายในช่วงเวลาหนึ่งมีค่าน้อยแสดงว่าลักษณะของกราฟฟิกระหว่างสองวันนี้มีลักษณะคล้ายกันมาก ดังนั้นค่าถ่วงน้ำหนักระหว่างวันทั้งสองนี้จะมีค่ามาก ซึ่งการหาค่าถ่วงน้ำหนักแบบใหม่แสดงดังสมการที่ (3.1) และ (3.2)

$$c_{m,n} = \sum_{t=1}^T |\alpha_m(t) - \alpha_n(t)| \quad (3.1)$$

$$c_{m,n}' = \frac{1/c_{m,n}}{\sum_{i \neq m} 1/c_{m,i}} \quad (3.2)$$

โดยที่ $c_{m,n}'$ คือ ค่าถ่วงน้ำหนักของวันที่ m กับวันที่ n

$\alpha_m(t)$ คือ ค่าเฉลี่ยของกราฟฟิกของวันที่ m ที่เวลาที่ t

$\alpha_n(t)$ คือ ค่าเฉลี่ยของกราฟฟิกของวันที่ n ที่เวลาที่ t

T คือ เวลาทั้งหมดของข้อมูลในแต่ละวัน

N คือ จำนวนข้อมูลทั้งหมดใน 1 หน้าต่างที่ใช้ในการตรวจจับความผิดปกติ

D คือ จำนวนข้อมูลทั้งหมดใน 1 วัน

ซึ่งค่า T นั้นสามารถหาค่าได้จากสมการที่ (3.3)

$$T = \frac{D}{N} \quad (3.3)$$

ซึ่งค่าถ่วงน้ำหนักแบบใหม่ที่น่าเสนอน่าจะให้ผลของประสิทธิภาพในการตรวจจับความผิดปกติดีกว่าค่าถ่วงน้ำหนักแบบเดิม เนื่องจากค่าถ่วงน้ำหนักแบบเดิมมีความคลาดเคลื่อนที่มาก ถ้ากราฟฟิกของวันที่ต้องการทำนายมีค่ามากกว่าวันที่ต้องการใช้เทียบ แต่วิธีการของการหาค่าถ่วงน้ำหนักแบบใหม่สามารถแก้ปัญหาในกรณีนี้ได้

3.1.2 การปรับเปลี่ยนค่าถ่วงน้ำหนักแบบเดิมและแบบใหม่ให้เปลี่ยนแปลงตามเวลา

เนื่องจากค่าถ่วงน้ำหนักแบบเดิมและแบบใหม่ของวิธีการตรวจจับความผิดปกติของระบบโครงข่ายแบบเปรียบเทียบรูปแบบกราฟฟิกมีค่าคงที่ ดังนั้นเราจึงมีแนวคิดที่ว่าถ้าเราทำให้ค่าถ่วงน้ำหนักทั้งแบบเดิมและแบบใหม่สามารถเปลี่ยนแปลงตามเวลาของหน้าต่างในการตรวจจับความผิดปกติที่เปลี่ยนไป น่าจะให้ผลของประสิทธิภาพการตรวจจับความผิดปกติที่ดีกว่า ดังนั้นการหาค่าถ่วงน้ำหนักแบบเดิมเปลี่ยนตามเวลาแสดงดังสมการ (3.4) และ (3.5)

$$c_{m,n}(t) = \sum_{i=1}^N \frac{\alpha_{m,i}(t)}{\alpha_{n,i}(t)} \quad (3.4)$$

$$c_{m,n}'(t) = \frac{c_{m,n}(t)}{\sum_{i \neq m} c_{m,i}(t)} \quad (3.5)$$

ส่วนการหาค่าถ่วงน้ำหนักแบบใหม่เปลี่ยนแปลงตามเวลาแสดงดังสมการที่ (3.6) และ (3.7)

$$c_{m,n}(t) = \sum_{i=1}^N |\alpha_{m,i}(t) - \alpha_{n,i}(t)| \quad (3.6)$$

$$c_{m,n}'(t) = \frac{1/c_{m,n}(t)}{\sum_{i \neq m} 1/c_{m,i}(t)} \quad (3.7)$$

โดยที่ $c_{m,n}'(t)$ คือ ค่าถ่วงน้ำหนักของวันที่ m กับวันที่ n ที่เวลา t

$\alpha_{m,i}'(t)$ คือ ค่าเฉลี่ยของกราฟฟิสิกของวันที่ m ของชุดข้อมูลตำแหน่งที่ i ที่เวลาที่ t

$\alpha_{n,i}'(t)$ คือ ค่าเฉลี่ยของกราฟฟิสิกของวันที่ n ของชุดข้อมูลตำแหน่งที่ i ที่เวลาที่ t

3.1.3 การใช้ข้อมูล 3 ระดับในการตรวจจับความผิดปกติของระบบโครงข่าย

การใช้ข้อมูลเพียง 1 ชนิดในการตรวจจับความผิดปกติของระบบโครงข่ายนั้นอาจให้ผลที่ไม่ดีนัก ถ้าความผิดปกติในระบบโครงข่ายเกิดขึ้นที่ตำแหน่งที่ข้อมูลที่เราใช้ในการตรวจจับความผิดปกติของระบบโครงข่ายไม่สามารถตรวจจับได้ ดังนั้นจึงมีแนวคิดที่ว่าถ้าใช้ข้อมูลหลากหลายชนิดมากขึ้นพร้อมกันในการตรวจจับความผิดปกติที่จำทำให้ประสิทธิภาพในการตรวจจับความผิดปกติในระบบโครงข่ายดีขึ้น ในที่นี้จึงนำเสนอการใช้ข้อมูล 3 ระดับประกอบไปด้วย *ipIDE*, *ipOR* และ *ipIR* ในการตรวจจับความผิดปกติของระบบโครงข่าย

ซึ่ง *ipIR* คือ จำนวนไบต์ของกราฟฟิสิกทั้งหมดที่เข้าสู่รูทเทอร์ในช่วงเวลาหนึ่ง

ipOR คือ จำนวนไบต์ของกราฟฟิสิกที่ผ่านจากอุปกรณ์ที่ต่อกับรูทเทอร์ เข้าสู่รูทเทอร์ เพื่อส่งออกไปในช่วงเวลาหนึ่ง

ipIDE คือ จำนวนไบต์ของกราฟฟิสิกที่ผ่านจากรูทเทอร์เพื่อเข้าสู่อุปกรณ์ที่ต่อกับรูทเทอร์ในช่วงเวลาหนึ่ง

โดยเงื่อนไขที่ระบบโครงข่ายจะไม่ผิดปกติเป็นดังสมการที่ (3.8)

$$\sum_{i=1}^3 (\bar{I}_i - 2\bar{\sigma}_i) \leq \sum_{i=1}^3 I_i \leq \sum_{i=1}^3 (\bar{I}_i + 2\bar{\sigma}_i) \quad (3.8)$$

i คือ จำนวนชนิดข้อมูลที่ใช้ในการตรวจจับความผิดปกติในระบบโครงข่าย

\bar{I} คือ ค่าเฉลี่ยของกราฟฟิสิกที่ถูกทำนายโดยข้อมูลในอดีตที่ใช้ในการตรวจจับความผิดปกติของระบบโครงข่าย

$\bar{\sigma}$ คือ ค่าเบี่ยงเบนมาตรฐานของกราฟฟิสิกที่ถูกทำนายโดยข้อมูลในอดีตที่ใช้ในการตรวจจับความผิดปกติของระบบโครงข่าย

I คือ ค่าเฉลี่ยของกราฟฟีกจริงที่วัดได้ที่ใช้ในการตรวจจับความผิดปกติของระบบ
โครงข่าย

3.1.4 การใช้การปรับเปลี่ยนค่าถ่วงน้ำหนักให้เปลี่ยนแปลงตามเวลาร่วมกับการ ใช้ข้อมูล 3 ระดับในการตรวจจับความผิดปกติของระบบโครงข่าย

ในส่วนนี้จะเป็นการนำวิธีการเปลี่ยนค่าถ่วงน้ำหนักตามเวลามาใช้ร่วมกับการใช้ข้อมูล 3
ระดับ ซึ่งประกอบไปด้วย $ipOR$ $ipIR$ และ $ipIDE$ ในการตรวจจับความผิดปกติ โดยมีแนวคิดที่ว่า
ถ้าเราใช้วิธีการทั้งสองพร้อมกันน่าจะทำให้ประสิทธิภาพในการตรวจจับความผิดปกติของระบบ
โครงข่ายดีขึ้น

3.2 ดัชนีชี้วัดที่ใช้ในการประเมินประสิทธิภาพของวิธีตรวจจับความผิดปกติของระบบ โครงข่าย

ดัชนีที่ใช้วัดประสิทธิภาพในวิธีการตรวจจับความผิดปกติของระบบโครงข่ายแบบ
เปรียบเทียบรูปแบบกราฟฟีกประกอบด้วย 4 ดัชนีชี้วัด ดังต่อไปนี้

ความน่าจะเป็นที่จะเกิดสัญญาณเตือนที่ผิดพลาด (P_f) โดย

$$P_f = \frac{\text{Total number of false alarms}}{\text{Total number of data samples}} \quad (3.9)$$

ความน่าจะเป็นที่สามารถตรวจจับความผิดปกติได้ถูกต้อง (P_p) โดย

$$P_p = \frac{\text{Total number of true alarms}}{\text{Total number of know faults}} \quad (3.10)$$

นอกจากนี้ยังมีการตรวจจับที่ผิดพลาด 2 รูปแบบคือ

- *False positive rate* คือ อัตราที่ระบบตรวจจับความผิดปกติจะตรวจจับกราฟ
ฟีกที่ปกติว่าผิดปกติ โดยที่

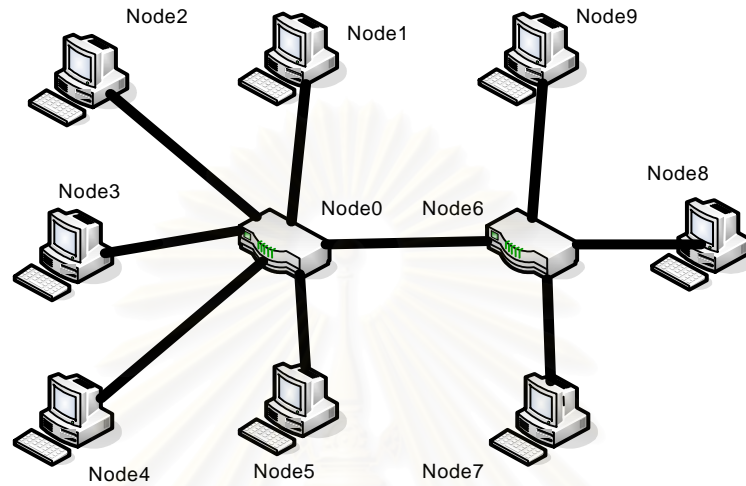
$$\text{False positive rate} = \frac{\text{Total number of false alarms}}{\text{Total number of alarms}} \quad (3.11)$$

- *False negative rate* คือ อัตราที่ระบบตรวจจับความผิดปกติจะตรวจจับกราฟ
ฟีกที่ผิดปกติว่าปกติ โดยที่

$$\text{False negative rate} = \frac{\text{Number of un detected alarms}}{\text{Number of errors}} \quad (3.12)$$

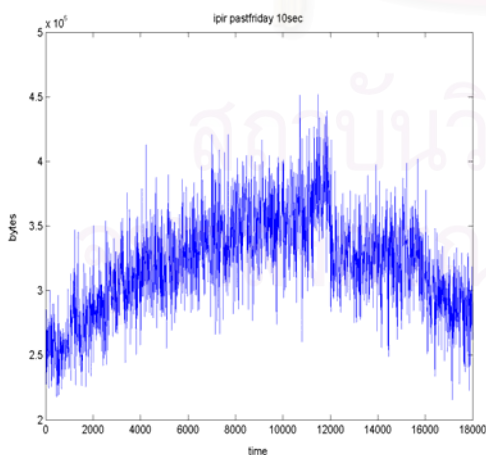
3.3 ผลการทดลองและสรุปผลการทดลอง

ในการทดลองนี้เราจะใช้ระบบโครงข่ายที่ประกอบไปด้วย 10 โหนด 9 ข่ายเชื่อมโยง เป็นโครงข่ายที่ใช้ในการทดลองดังรูปที่ 3.1

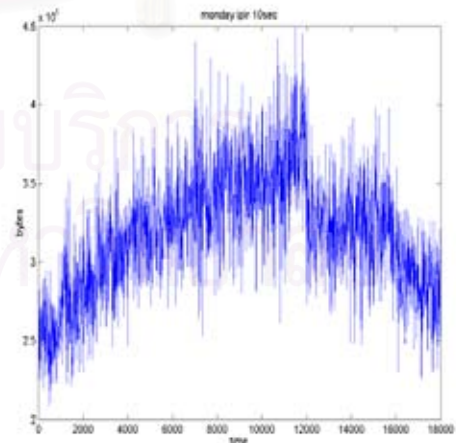


รูปที่ 3.1 ระบบโครงข่ายที่ใช้ในการทดลอง

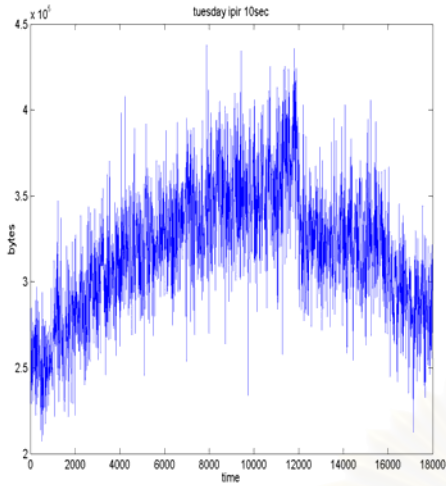
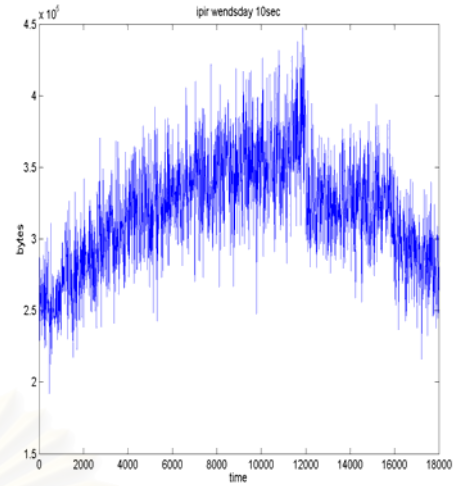
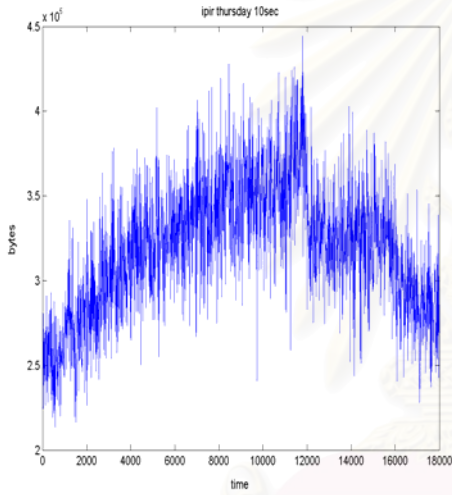
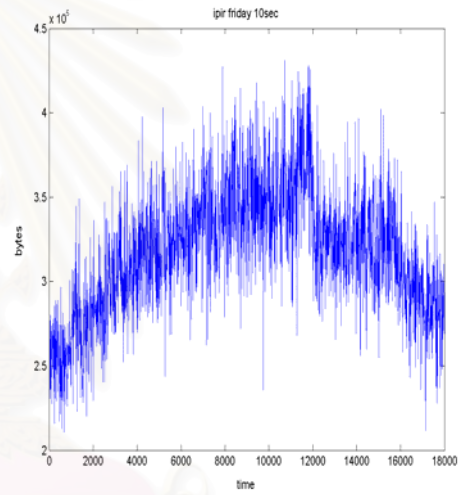
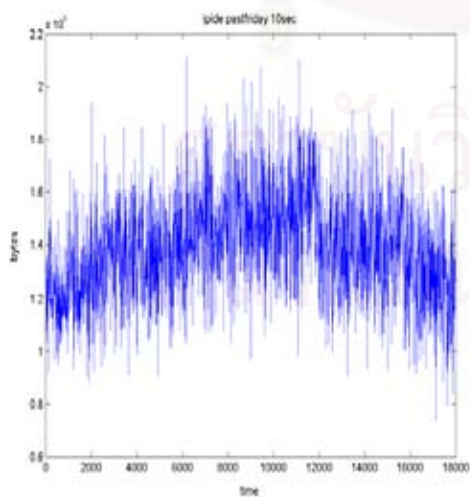
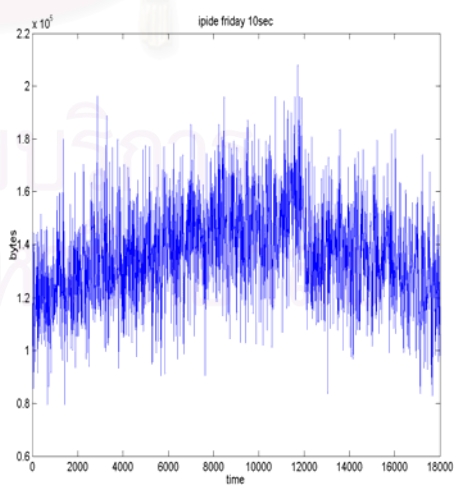
ในการทดลองนี้เราจะทำการกำเนิดกราฟฟิกในระบบโครงข่ายนี้โดยใช้โปรแกรม NS(Network Simulator) โดยให้การส่งข้อมูลแบบ UDP (User Datagram Protocol) ด้วยแบบจำลอง On-Off โดยที่การกระจายของการส่งข้อมูลเป็นแบบ Exponential จำนวนทั้งสิ้น 6 วัน จากช่วงเวลา 0 วินาทีถึงช่วงเวลา 18,000 วินาที ดังรูปที่ 3.2-3.19 ตามลำดับ

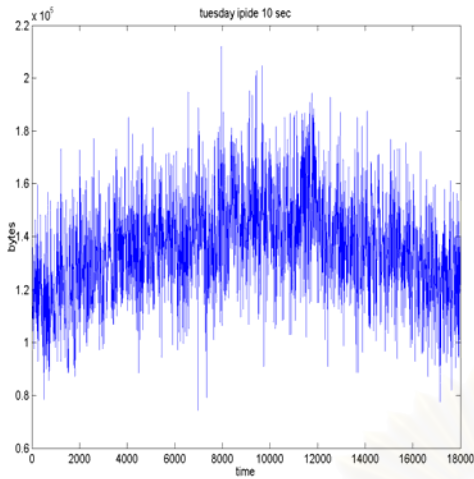


รูปที่ 3.2 ipIR PastFriday

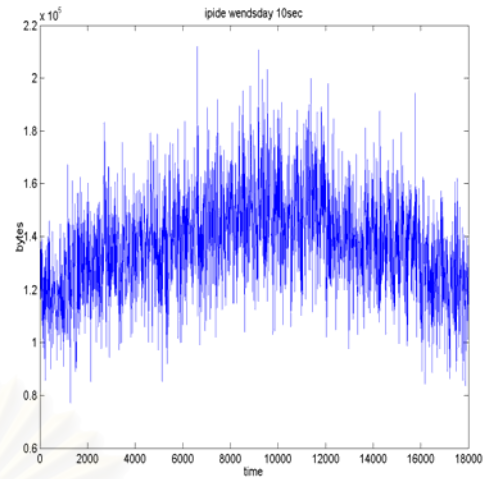


รูปที่ 3.3 ipIR Monday

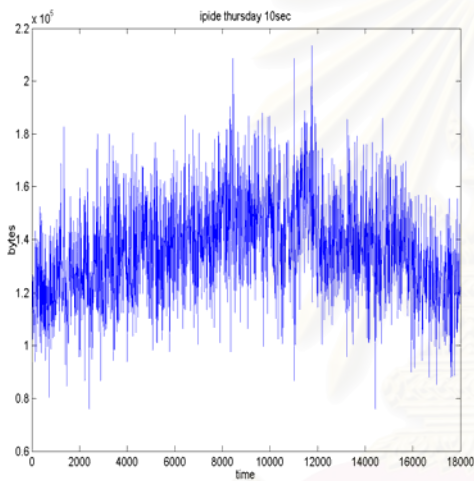
รูปที่ 3.4 *ipIR Tuesday*รูปที่ 3.5 *ipIR Wednesday*รูปที่ 3.6 *ipIR Thursday*รูปที่ 3.7 *ipIR Friday*รูปที่ 3.8 *ipIDE Pastfriday*รูปที่ 3.9 *ipIDE Monday*



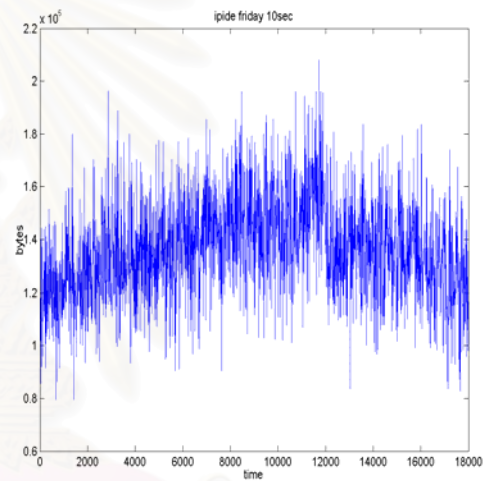
รูปที่ 3.10 ipIDE Tuesday



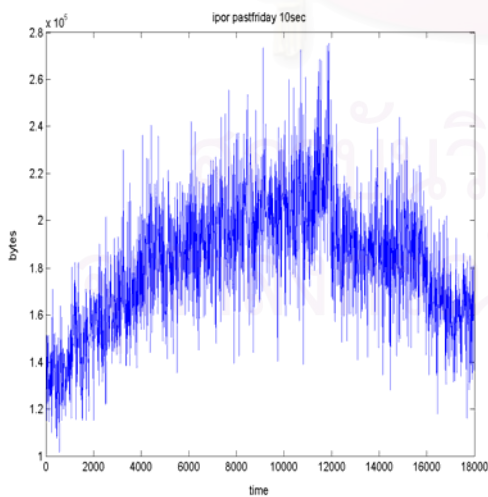
รูปที่ 3.11 ipIDE Wenesday



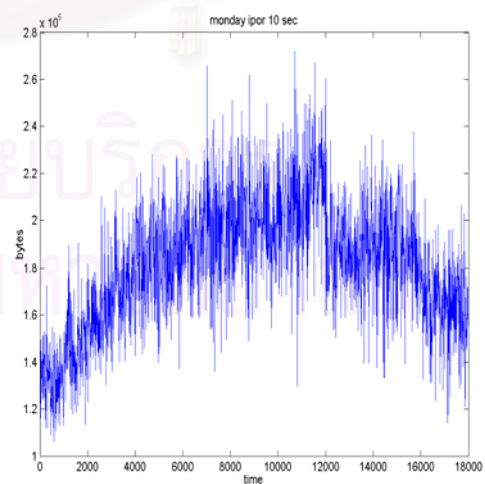
รูปที่ 3.12 ipIDE Thursday



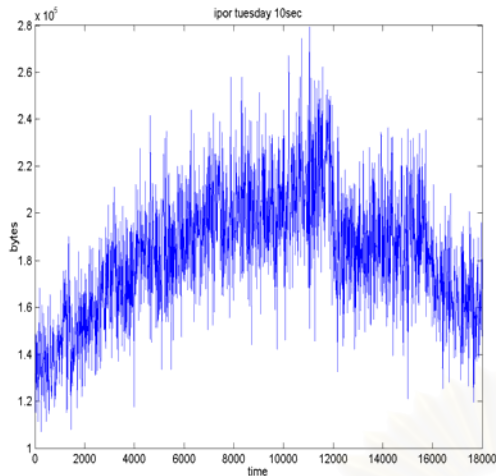
รูปที่ 3.13 ipIDE Friday



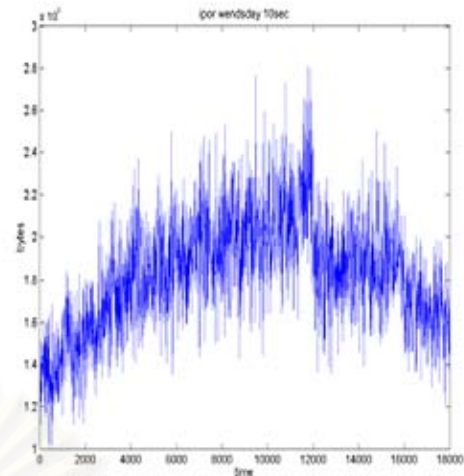
รูปที่ 3.14 ipOR PastFriday



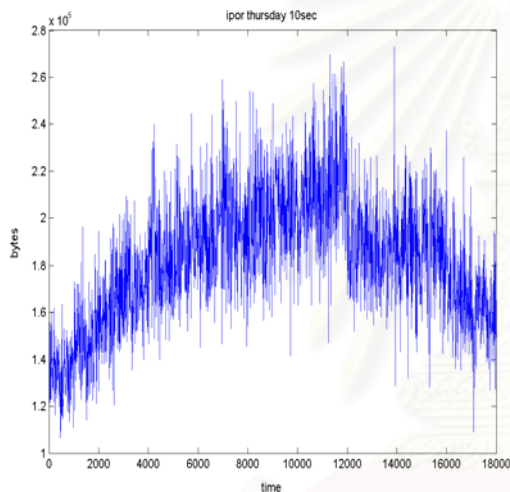
รูปที่ 3.15 ipOR Monday



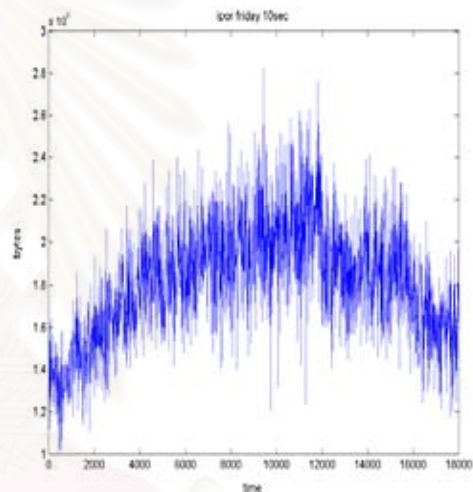
รูปที่ 3.16 ipOR Tuesday



รูปที่ 3.17 ipOR Wednesday



รูปที่ 3.18 ipOR Thursday



รูปที่ 3.19 ipOR Friday

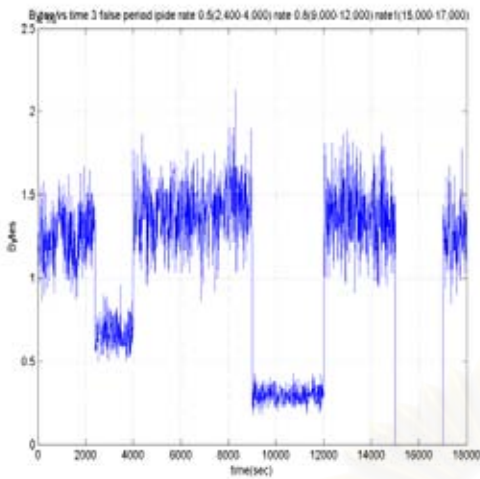
วิธีการตรวจจับทั้งหลายที่ได้นำเสนอมานั้นได้นำมาทดสอบใน 3 สถานการณ์ดังนี้

สถานการณ์ที่ 1. ไม่มีความผิดปกติเกิดขึ้นในระบบโครงข่าย

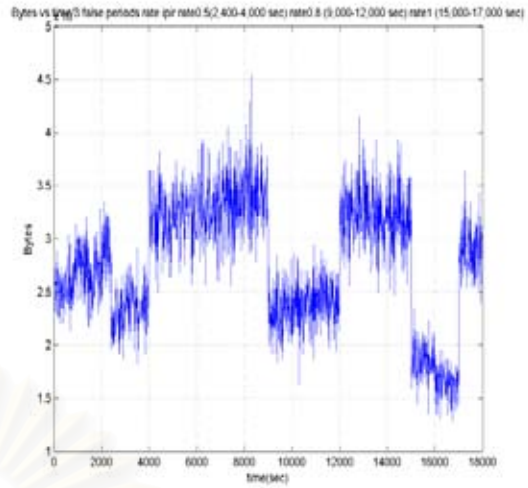
สถานการณ์ที่ 2. มีความผิดปกติเกิดขึ้นที่สายเชื่อมโยงระหว่าง โหนด 0 และ โหนด 6 ซึ่งแพ็กเก็ตที่ผ่านสายเชื่อมโยงคู่นี้จะสูญหาย 50 เปอร์เซ็นต์ ในช่วงเวลา(2,400-4,000) 80 เปอร์เซ็นต์ในช่วงเวลา (9,000-12,000) และ 100 เปอร์เซ็นต์ในช่วงเวลา (15,000-17,000)

สถานการณ์ที่ 3. มีความผิดปกติเกิดขึ้นที่โหนด 0 และ โหนด 1 ที่เวลา (3,000-3,100) โดยที่โหนด 1 ส่งข้อมูลไปยังโหนด 0 มากผิดปกติในช่วงเวลานี้ และความผิดปกติที่เกิดขึ้นที่ทุกโหนดในกรณีนี้ อัตราส่วนระหว่างช่วงเวลากการส่งและหยุดส่งคงที่ แต่ค่าของสองค่านี้เปลี่ยนไปในช่วงเวลา(7,000-8,000)

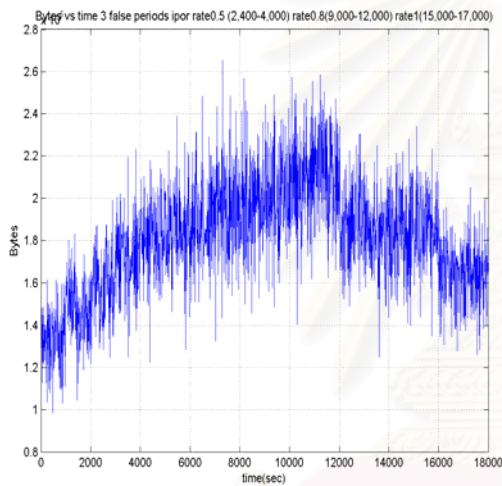
โดยที่ลักษณะของกราฟฟิคที่ผิดปกติของการทดลองในสถานการณ์ที่ 2 และสถานการณ์ที่ 3 แสดงดังรูปที่ 3.20-3.25 ตามลำดับ



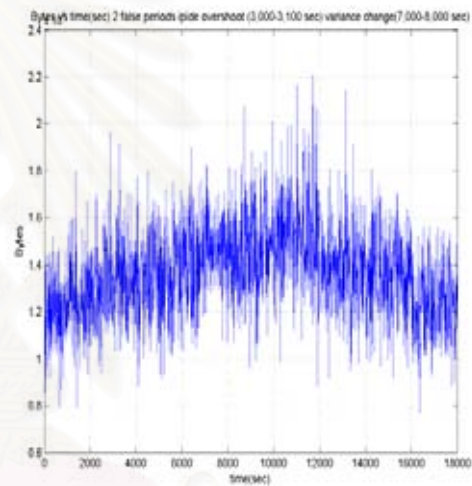
รูปที่ 3.20 ทราฟฟิก *ipIDE* ในสถานการณ์ที่ 2



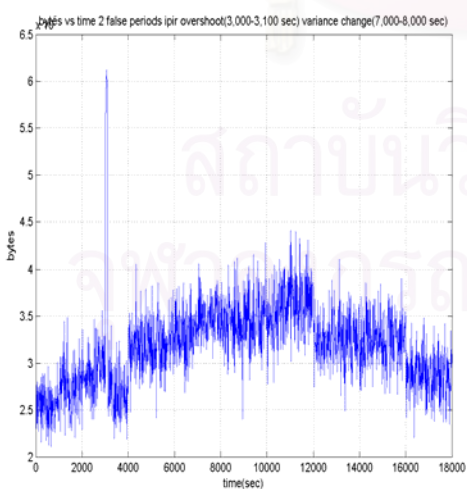
รูปที่ 3.21 ทราฟฟิก *ipIR* ในสถานการณ์ที่ 2



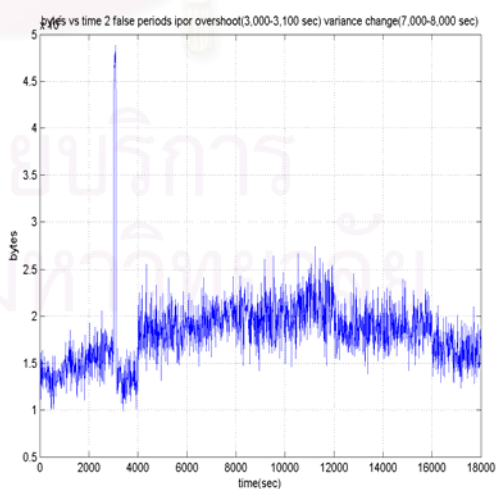
รูปที่ 3.22 ทราฟฟิก *ipOR* ในสถานการณ์ที่ 2



รูปที่ 3.23 ทราฟฟิก *ipIDE* ในสถานการณ์ที่ 3



รูปที่ 3.24 ทราฟฟิก *ipIR* ในสถานการณ์ที่ 3



รูปที่ 3.25 ทราฟฟิก *ipOR* ในสถานการณ์ที่ 3

ในการทดลองนั้นเราได้มีการกำหนดตัวแปรในการแสดงผลของแต่ละวิธีในการตรวจจับความผิดปกติของระบบโครงข่ายดังนี้

method1ide หมายถึง การใช้ค่าถ่วงน้ำหนักแบบเดิมไม่เปลี่ยนแปลงตามเวลาโดยใช้ข้อมูลชนิด *ipIDE*

method1ir หมายถึง การใช้ค่าถ่วงน้ำหนักแบบเดิมไม่เปลี่ยนแปลงตามเวลาโดยใช้ข้อมูลชนิด *ipIR*

method1or หมายถึง การใช้ค่าถ่วงน้ำหนักแบบเดิมไม่เปลี่ยนแปลงตามเวลาโดยใช้ข้อมูลชนิด *ipOR*

method2ide หมายถึง การใช้ค่าถ่วงน้ำหนักแบบเดิมเปลี่ยนแปลงตามเวลาโดยใช้ข้อมูลชนิด *ipIDE*

method2ir หมายถึง การใช้ค่าถ่วงน้ำหนักแบบเดิมเปลี่ยนแปลงตามเวลาโดยใช้ข้อมูลชนิด *ipIR*

method2or หมายถึง การใช้ค่าถ่วงน้ำหนักแบบเดิมเปลี่ยนแปลงตามเวลาโดยใช้ข้อมูลชนิด *ipOR*

method3 หมายถึง การใช้ค่าถ่วงน้ำหนักแบบเดิมไม่เปลี่ยนแปลงตามเวลาโดยใช้ข้อมูล 3 ชนิดพร้อมกันคือ *ipIR ipOR และ ipIDE*

method4 หมายถึง การใช้ค่าถ่วงน้ำหนักแบบเดิมเปลี่ยนแปลงตามเวลาโดยใช้ข้อมูล 3 ชนิดพร้อมกันคือ *ipIR ipOR และ ipIDE*

method1idenewidea หมายถึง การใช้ค่าถ่วงน้ำหนักแบบใหม่ไม่เปลี่ยนแปลงตามเวลาโดยใช้ข้อมูลชนิด *ipIDE*

method1irnewidea หมายถึง การใช้ค่าถ่วงน้ำหนักแบบใหม่ไม่เปลี่ยนแปลงตามเวลาโดยใช้ข้อมูลชนิด *ipIR*

method1ornewidea หมายถึง การใช้ค่าถ่วงน้ำหนักแบบใหม่ไม่เปลี่ยนแปลงตามเวลาโดยใช้ข้อมูลชนิด *ipOR*

method2idenewidea หมายถึง การใช้ค่าถ่วงน้ำหนักแบบใหม่เปลี่ยนแปลงตามเวลาโดยใช้ข้อมูลชนิด *ipIDE*

method2irnewidea หมายถึง การใช้ค่าถ่วงน้ำหนักแบบใหม่เปลี่ยนแปลงตามเวลาโดยใช้ข้อมูลชนิด *ipIR*

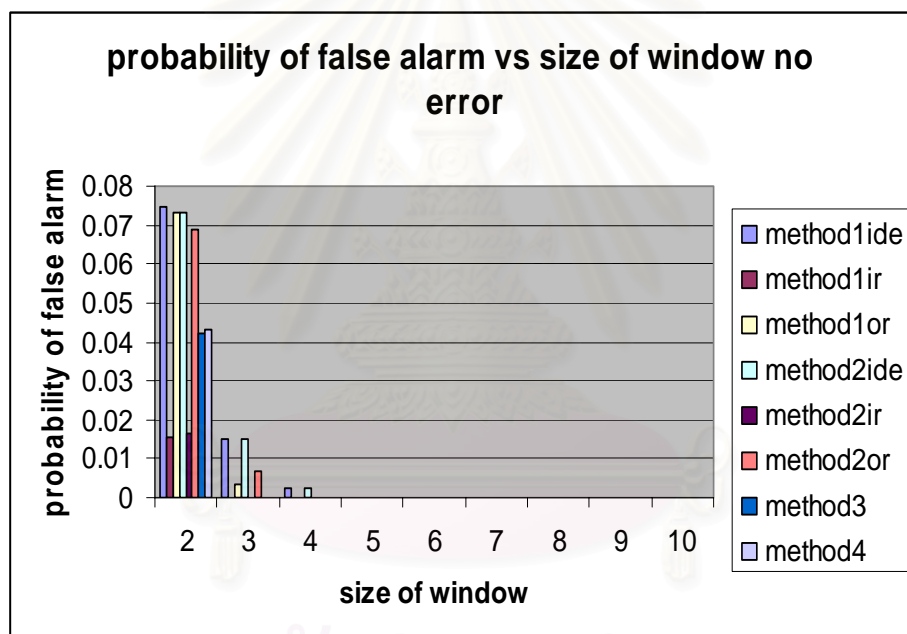
method2ornewidea หมายถึง การใช้ค่าถ่วงน้ำหนักแบบใหม่เปลี่ยนแปลงตามเวลาโดยใช้ข้อมูลชนิด *ipOR*

method3newidea หมายถึง การใช้ค่าถ่วงน้ำหนักแบบใหม่ไม่เปลี่ยนแปลงตามเวลาโดยใช้ข้อมูล 3 ชนิดพร้อมกันคือ *ipIR ipOR* และ *ipIDE*

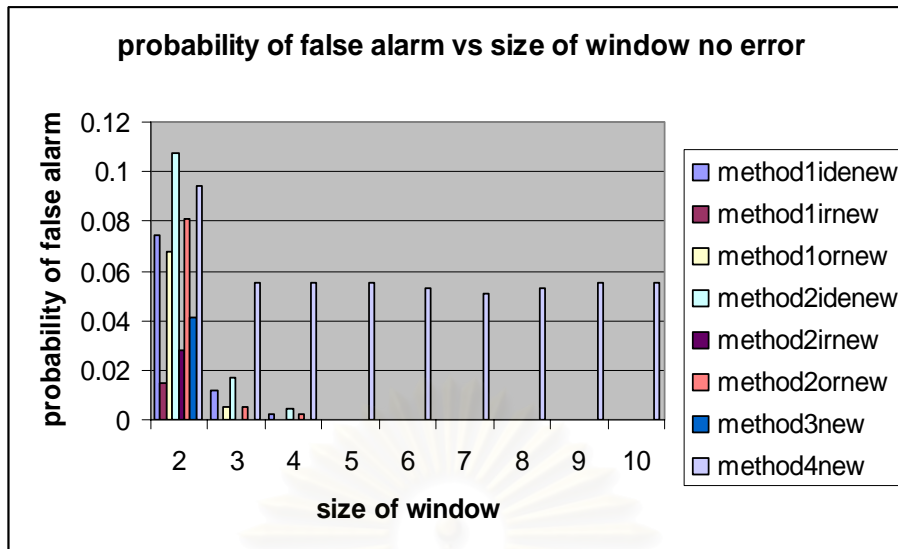
method4newidea หมายถึง การใช้ค่าถ่วงน้ำหนักแบบใหม่เปลี่ยนแปลงตามเวลาโดยใช้ข้อมูล 3 ชนิดพร้อมกันคือ *ipIR ipOR* และ *ipIDE*

3.3.1 การทดลองการตรวจจับความผิดปกติของระบบโครงข่ายในสถานการณ์ที่ 1

ในการทดลองเพื่อทดสอบประสิทธิภาพของวิธีการตรวจจับความผิดปกติแบบเปรียบเทียบรูปแบบกราฟิกที่นำเสนอทั้งสิ้น 16 วิธี ในสถานการณ์ที่ 1 นั้นได้ผลการทดลองดังรูปที่ 3.26 และ 3.27



รูปที่ 3.26 ความสัมพันธ์ระหว่างความน่าจะเป็นของการเกิดสัญญาณเตือนที่ผิดพลาดและขนาดของหน้าต่างต่าง เมื่อไม่เกิดความผิดปกติในระบบโครงข่าย



รูปที่ 3.27 ความสัมพันธ์ระหว่างความน่าจะเป็นของการเกิดสัญญาณเตือนที่ผิดพลาดและขนาดของหน้าต่างต่าง เมื่อไม่เกิดความผิดปกติในระบบโครงข่าย

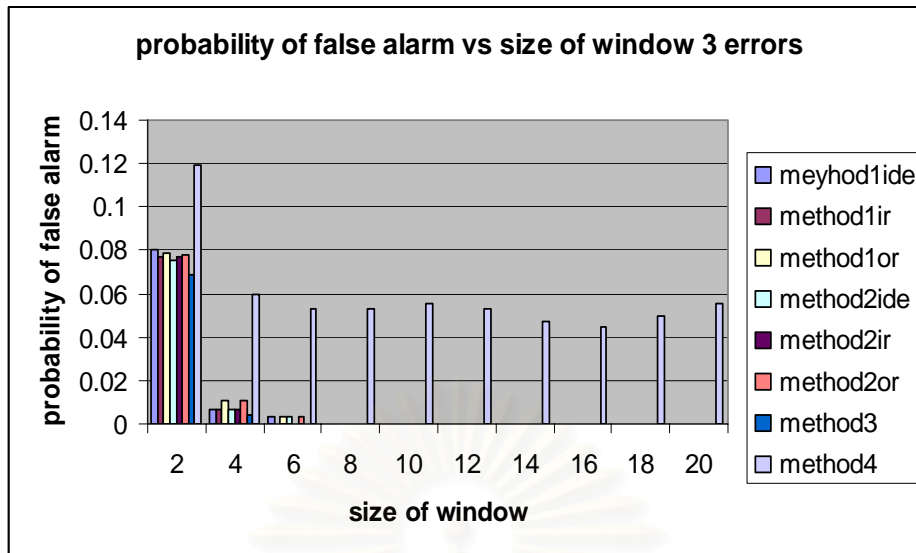
<i>m1ide</i>	<i>m1idenew</i>	<i>m1ir</i>	<i>m1irnew</i>	<i>m1or</i>	<i>m1ornew</i>	<i>m2ide</i>	<i>m2idenew</i>
0.0032	0.003	5.36E-04	4.98E-04	0.0026	0.0025	0.0031	0.0044
<i>m2ir</i>	<i>m2irnew</i>	<i>m2or</i>	<i>m2ornew</i>	<i>m3</i>	<i>m3new</i>	<i>m4</i>	<i>m4new</i>
5.75E-04	9.58E-04	0.0026	0.003	0.0015	0.0014	0.0015	0.0509

ตารางที่ 3.1 ค่าเฉลี่ยของความน่าจะเป็นของการเกิดสัญญาณเตือนที่ผิดพลาด เมื่อไม่เกิดความผิดปกติในระบบโครงข่าย

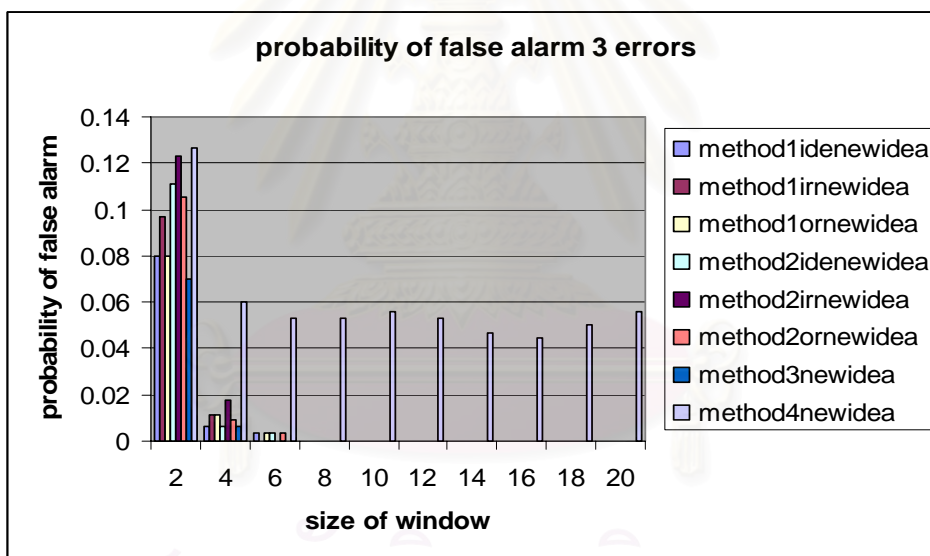
จากผลการทดลองในรูปที่ 3.26 และ 3.27 จะเห็นว่าการใช้ค่าถ่วงน้ำหนักแบบเดิมและค่าถ่วงน้ำหนักแบบใหม่นั้น ขนาดหน้าต่างที่ลดลงจะมีผลให้ความน่าจะเป็นที่จะเกิดสัญญาณเตือนที่ผิดพลาดสูงขึ้น เช่นขนาดหน้าต่างที่เท่ากับ 2 และ 3 ที่เป็นเช่นนี้เนื่องจากจำนวนจุดข้อมูลที่ใช้ในการทำนายค่าเฉลี่ยและความแปรปรวนมีน้อยเกินไปทำให้เกิดความผิดพลาด และแต่ละชนิดข้อมูลที่ใช้ในการตรวจจับความผิดปกติให้ผลของประสิทธิภาพในการตรวจจับความผิดปกติไม่เท่ากัน ที่เป็นเช่นนี้เนื่องจากบางชนิดข้อมูลการกระจายของกราฟฟิกไม่สอดคล้องกับการทำนายกราฟฟิก ในกรณีนี้วิธีการตรวจจับความผิดปกติแบบการใช้ค่าถ่วงน้ำหนักแบบใหม่ไม่เปลี่ยนแปลงตามเวลาโดยใช้ข้อมูลชนิด *ipIR* ให้ผลที่ดีที่สุด

3.3.2 การทดลองการตรวจจับความผิดปกติของระบบโครงข่ายในสถานการณ์ที่ 2

ในการทดลองเพื่อทดสอบประสิทธิภาพของวิธีการตรวจจับความผิดปกติแบบเปรียบเทียบรูปแบบกราฟฟิกที่น่าเสนอทั้งสิ้น 16 วิธี ในสถานการณ์ที่ 2 นั้นได้ผลการทดลองดังรูปที่ 3.28-3.36



รูปที่ 3.28 ความสัมพันธ์ระหว่างความน่าจะเป็นของการเกิดสัญญาณเตือนที่ผิดพลาดและขนาดของหน้าต่าง เมื่อเกิดความผิดปกติในระบบโครงข่ายในสถานการณ์ที่ 2

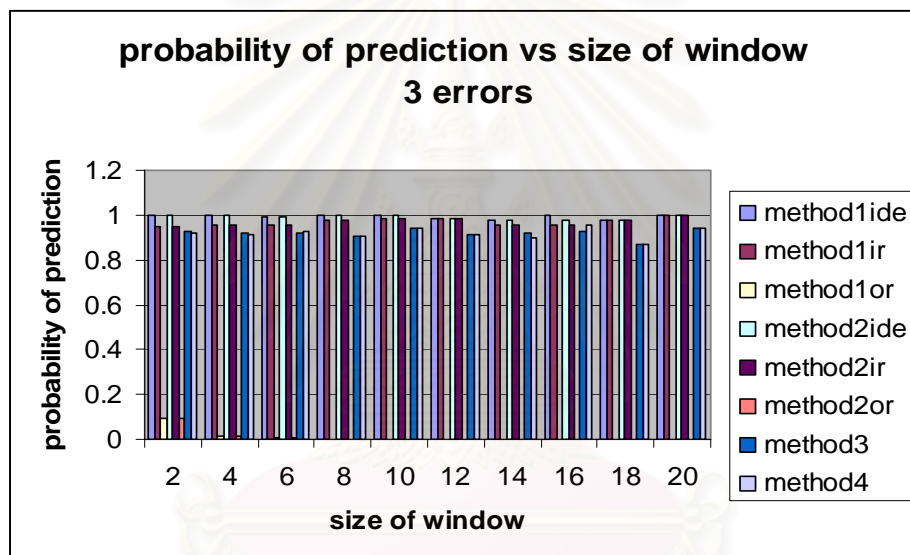


รูปที่ 3.29 ความสัมพันธ์ระหว่างความน่าจะเป็นของการเกิดสัญญาณเตือนที่ผิดพลาดและขนาดของหน้าต่าง เมื่อเกิดความผิดปกติในระบบโครงข่ายในสถานการณ์ที่ 2

<i>m1ide</i>	<i>m1idenew</i>	<i>m1ir</i>	<i>m1irnew</i>	<i>m1or</i>	<i>m1ornew</i>	<i>m2ide</i>	<i>m2idenew</i>
0.004	0.004	4.00E-03	5.10E-03	0.0039	0.0041	0.0037	0.0054
<i>m2ir</i>	<i>m2irnew</i>	<i>m2or</i>	<i>m2ornew</i>	<i>m3</i>	<i>m3new</i>	<i>m4</i>	<i>m4new</i>
4.00E-03	6.60E-03	0.0038	0.005	0.0028	0.003	0.053	0.0526

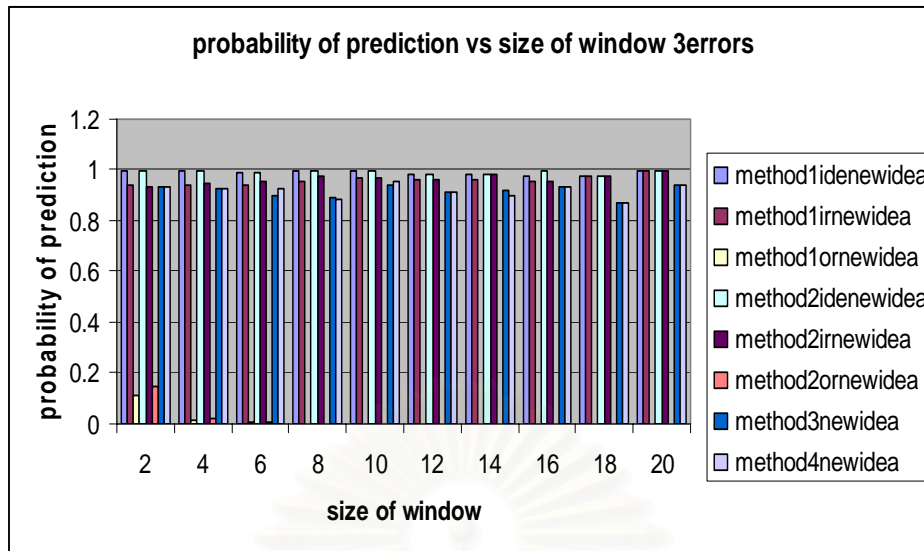
ตารางที่ 3.2 ค่าเฉลี่ยของความน่าจะเป็นของการเกิดสัญญาณเตือนที่ผิดพลาด เมื่อเกิดความผิดปกติในระบบโครงข่ายในสถานการณ์ที่ 2

จากผลการทดลองขนาดหน้าต่างที่สั้นลงของการหาค่าถ่วงน้ำหนักแบบเดิมและการหาค่าถ่วงน้ำหนักแบบใหม่ จากผลการทดลองในรูปที่ 3.28 และ 3.29 จะเห็นว่าการใช้ค่าถ่วงน้ำหนักแบบเดิมและค่าถ่วงน้ำหนักแบบใหม่นั้น ขนาดหน้าต่างที่สั้นลงจะมีผลให้ความน่าจะเป็นที่จะเกิดสัญญาณเตือนที่ผิดพลาดสูงขึ้น เช่นขนาดหน้าต่างที่เท่ากับ 2 และ 3 ที่เป็นเช่นนี้เนื่องจากจำนวนจุดข้อมูลที่ใช้ในการทำนายค่าเฉลี่ยและความแปรปรวนมีน้อยเกินไปทำให้เกิดความผิดพลาด และแต่ละชนิดข้อมูลที่ใช้ในการตรวจจับความผิดปกติให้ผลของประสิทธิภาพในการตรวจจับความผิดปกติไม่เท่ากัน ที่เป็นเช่นนี้เนื่องจากบางชนิดข้อมูลการกระจายของกราฟฟิกไม่สอดคล้องกับการทำนายกราฟฟิก ในกรณีนี้วิธีการตรวจจับความผิดปกติแบบการใช้ค่าถ่วงน้ำหนักแบบเดิมไม่เปลี่ยนแปลงตามเวลาโดยใช้ข้อมูล 3 ชนิดพร้อมกันคือ *ipIR ipOR* และ *ipIDE* ให้ผลดีที่สุด



รูปที่ 3.30 ความสัมพันธ์ระหว่างความน่าจะเป็นที่สามารถตรวจจับความผิดปกติได้และขนาดของหน้าต่าง เมื่อเกิดความผิดปกติในระบบโครงข่ายในสถานการณ์ที่ 2

สถาบันวิทยบริการ
จุฬาลงกรณ์มหาวิทยาลัย

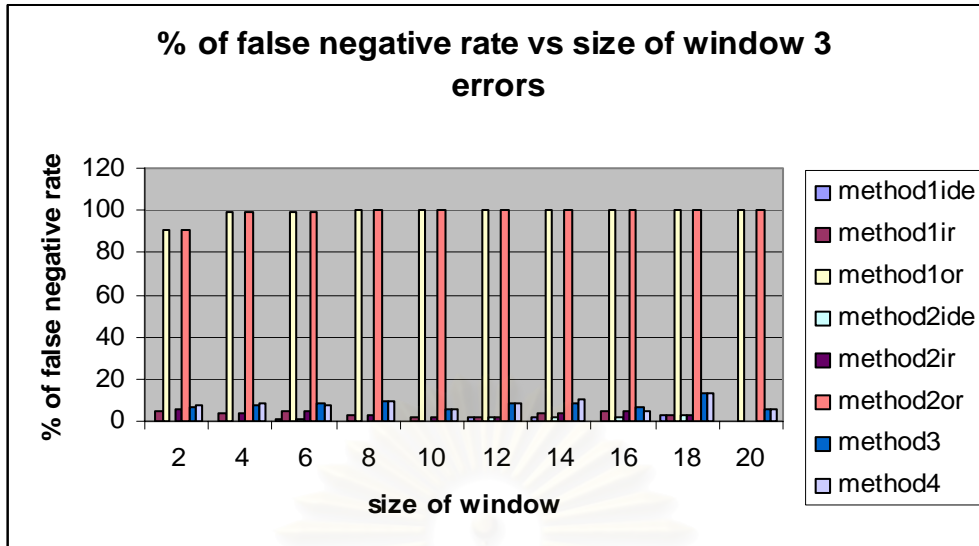


รูปที่ 3.31 ความสัมพันธ์ระหว่างความน่าจะเป็นที่สามารถตรวจจับความผิดปกติได้และขนาดของหน้าต่าง เมื่อเกิดความผิดปกติในระบบโครงข่ายในสถานการณ์ที่ 2

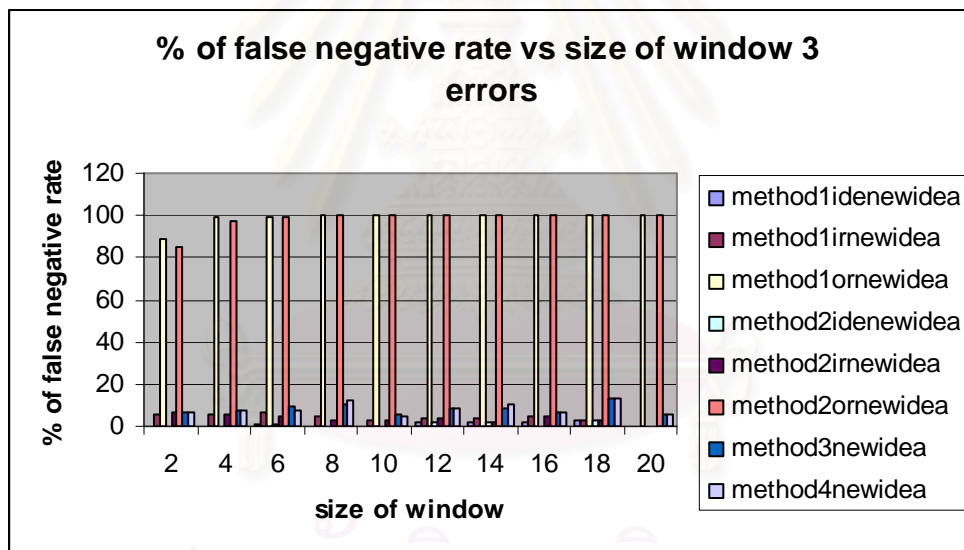
<i>m1ide</i>	<i>m1idenew</i>	<i>m1ir</i>	<i>m1irnew</i>	<i>m1or</i>	<i>m1ornew</i>	<i>m2ide</i>	<i>m2idenew</i>
0.9671	0.9663	9.34E-01	9.31E-01	0.006	0.0071	0.9663	0.9671
<i>m2ir</i>	<i>m2irnew</i>	<i>m2or</i>	<i>m2ornew</i>	<i>m3</i>	<i>m3new</i>	<i>m4</i>	<i>m4new</i>
9.34E-01	9.31E-01	0.0063	0.0094	0.8852	0.8828	0.8848	0.8831

ตารางที่ 3.3 ค่าเฉลี่ยของความน่าจะเป็นที่สามารถตรวจจับความผิดปกติได้ เมื่อเกิดความผิดปกติในระบบโครงข่ายในสถานการณ์ที่ 2

จากผลการทดลองจะเห็นว่าการหาค่าถ่วงน้ำหนักแบบเดิมและแบบใหม่นั้น ความน่าจะเป็นที่จะตรวจจับความผิดปกติได้ ดังรูปที่ 3.30 และ 3.31 ข้อมูลชนิด *ipOR* นั้นจะให้ความน่าจะเป็นที่จะตรวจจับความผิดปกติได้มีค่าต่ำมากเนื่องจากว่าความผิดปกติของระบบโครงข่ายเกิดขึ้นที่ข่ายเชื่อมโยงระหว่างโนด 0 และ โหนด 6 ซึ่งข้อมูลของ *ipOR* นั้นจะเก็บค่าทราฟฟิกที่ไหลจากโนด 1, 2, 3, 4, 5 ไปยังโนด 0 ในกรณีนี้นั้น วิธีการตรวจจับความผิดปกติซึ่งใช้ค่าถ่วงน้ำหนักแบบใหม่เปลี่ยนแปลงตามเวลาโดยใช้ข้อมูลชนิด *ipIDE* ให้ผลดีที่สุด



รูปที่ 3.32 ความสัมพันธ์ระหว่างปริมาณของ false negative rate และขนาดของหน้าต่าง เมื่อเกิดความผิดปกติในระบบโครงข่ายในสถานการณ์ที่ 2

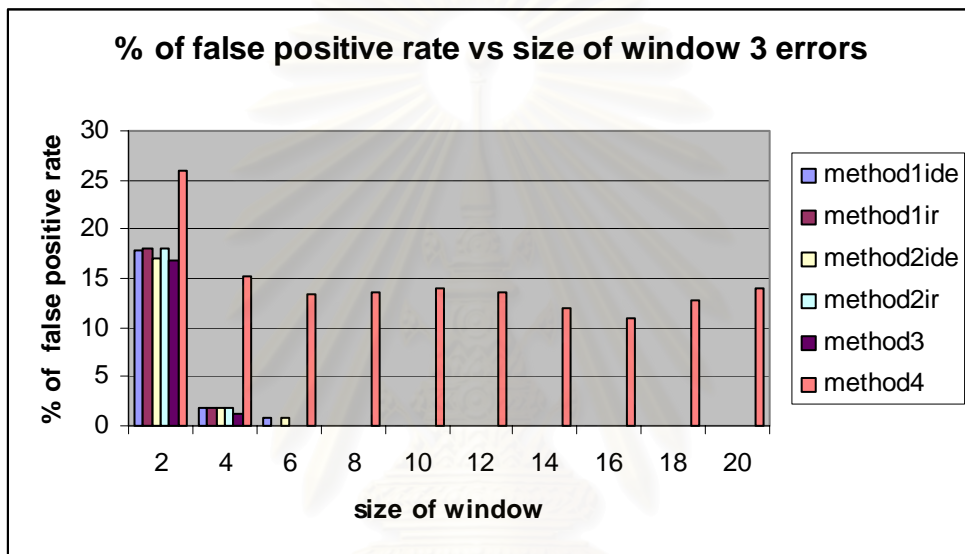


รูปที่ 3.33 ความสัมพันธ์ระหว่างปริมาณของ false negative rate และขนาดของหน้าต่าง เมื่อเกิดความผิดปกติในระบบโครงข่ายในสถานการณ์ที่ 2

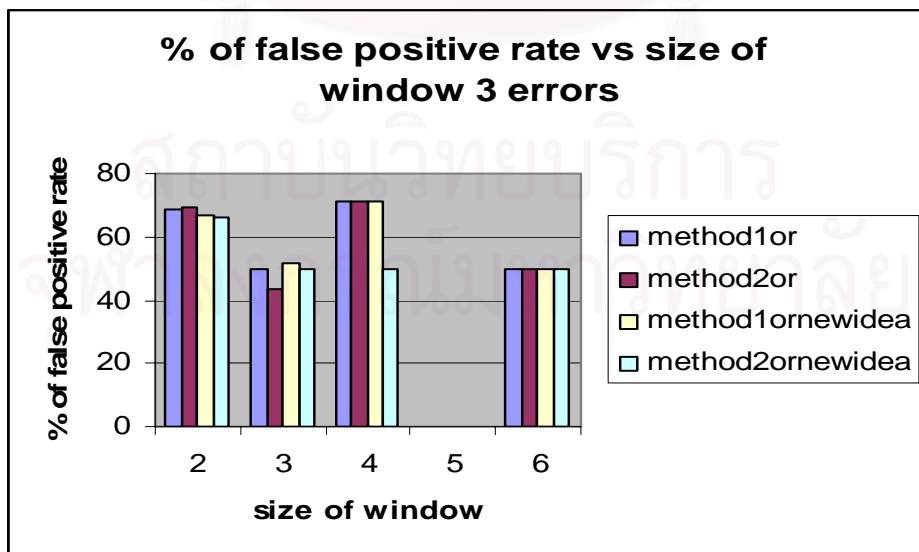
<i>m1ide</i>	<i>m1idenew</i>	<i>m1ir</i>	<i>m1irnew</i>	<i>m1or</i>	<i>m1ornew</i>	<i>m2ide</i>	<i>m2idenew</i>
3.2861	3.3663	6.61E+00	6.87E+00	99.395	99.2864	3.3663	3.2861
<i>m2ir</i>	<i>m2irnew</i>	<i>m2or</i>	<i>m2ornew</i>	<i>m3</i>	<i>m3new</i>	<i>m4</i>	<i>m4new</i>
6.62E+00	6.91E+00	99.3742	99.0568	11.48	11.7158	11.522	11.6876

ตารางที่ 3.4 ค่าเฉลี่ยของปริมาณของ false negative rate เมื่อเกิดความผิดปกติในระบบโครงข่ายในสถานการณ์ที่ 2

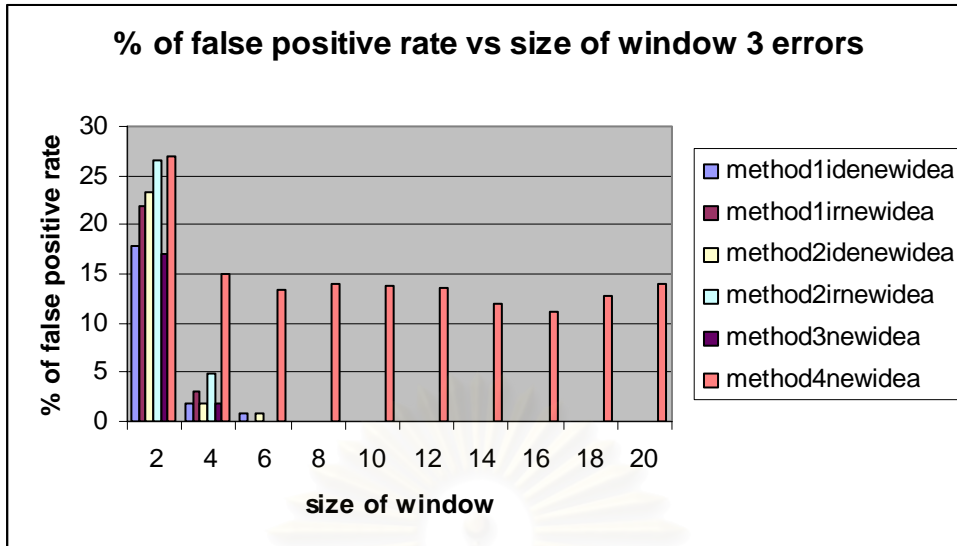
ในส่วนขอปริมาณของ *false negative rate* ของการหาค่าถ่วงน้ำหนักแบบเดิมและแบบใหม่ ในรูปที่ 3.32 และ 3.33 นั้น จะเห็นได้ว่าข้อมูลชนิด *ipOR* นั้นจะให้ความผิดพลาดที่สูงมาก เนื่องจากว่าความผิดปกติของระบบโครงข่ายเกิดขึ้นที่ชายเชื่อมโยงระหว่างโนด 0 และ โนด 6 ซึ่งข้อมูลของ *ipOR* นั้นจะเก็บค่ากราฟฟิกที่ไหลจากโนด 1, 2, 3, 4, 5 ไปยังโนด 0 ซึ่งไม่มีความเกี่ยวข้องกัน ซึ่งถ้านำข้อมูลชนิดนี้มาตรวจจับจะเกิดความผิดพลาดอย่างมาก ในกรณีนี้นั้น วิธีการตรวจจับความผิดปกติซึ่งใช้ค่าถ่วงน้ำหนักแบบใหม่เปลี่ยนแปลงตามเวลาโดยใช้ข้อมูลชนิด *ipIDE* ให้ผลดีที่สุด



รูปที่ 3.34 ความสัมพันธ์ระหว่างปริมาณของ *false positive rate* และขนาดของหน้าต่าง เมื่อเกิดความผิดปกติในระบบโครงข่ายในสถานการณ์ที่ 2



รูปที่ 3.35 ความสัมพันธ์ระหว่างปริมาณของ *false positive rate* และขนาดของหน้าต่าง เมื่อเกิดความผิดปกติในระบบโครงข่ายในสถานการณ์ที่ 2



รูปที่ 3.36 ความสัมพันธ์ระหว่างปริมาณของ false positive rate และขนาดของหน้าต่าง เมื่อเกิดความผิดปกติในระบบโครงข่ายในสถานการณ์ที่ 2

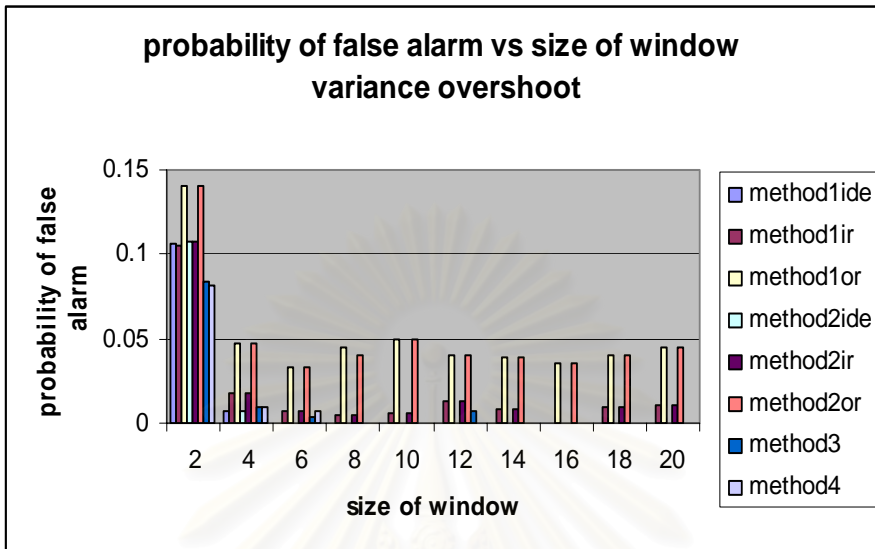
m1ide	m1idenew	m1ir	m1irnew	m1or	m1ornew	m2ide	m2idenew
0.9501	0.9359	9.84E-01	1.22E+00	48.072	39.9912	0.8788	1.2034
m2ir	m2irnew	m2or	m2ornew	m3	m3new	m4	m4new
9.86E-01	1.53E+00	46.8428	36.0723	0.6902	0.7529	13.37	13.2639

ตารางที่ 3.5 ค่าเฉลี่ยของปริมาณของ false positive rate เมื่อเกิดความผิดปกติในระบบโครงข่ายในสถานการณ์ที่ 2

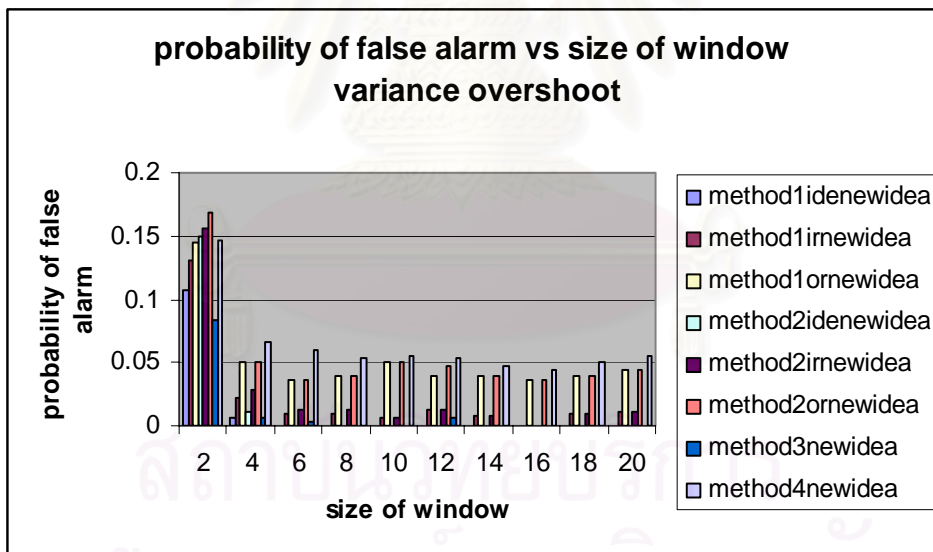
จากผลการทดลอง ขนาดหน้าต่างที่ลดลงของการหาค่าถ่วงน้ำหนักแบบเดิมและการหาค่าถ่วงน้ำหนักแบบใหม่ จะมีผลให้ปริมาณของ false positive rate สูงขึ้น เช่นขนาดหน้าต่างที่เท่ากับ 2 และ 3 ดังรูปที่ 3.34-3.36 ที่เป็นเช่นนี้เนื่องจากจำนวนจุดข้อมูลที่ใช้ในการทำนายค่าเฉลี่ยและความแปรปรวนมีน้อยเกินไปส่งผลให้เกิดความผิดพลาด ในกรณีนี้เน้นการตรวจจับความผิดปกติซึ่งใช้ค่าถ่วงน้ำหนักแบบเดิมไม่เปลี่ยนแปลงตามเวลาโดยใช้ข้อมูล 3 ชนิดพร้อมกัน คือ ipIR ipOR และ ipIDE ให้ผลดีที่สุด

3.3.3 การทดลองการตรวจจับความผิดปกติของระบบโครงข่ายในสถานการณ์ที่ 3

ในการทดลองเพื่อทดสอบประสิทธิภาพของวิธีการตรวจจับความผิดปกติแบบเปรียบเทียบรูปแบบทราฟฟิกที่นำเสนอทั้งสิ้น 16 วิธี ในสถานการณ์ที่ 3 นั้นได้ผลการทดลองดังรูปที่ 3.37-3.45



รูปที่ 3.37 ความสัมพันธ์ระหว่างความน่าจะเป็นของการเกิดสัญญาณเตือนที่ผิดพลาดและขนาดของหน้าต่าง เมื่อเกิดความผิดปกติในระบบโครงข่ายในสถานการณ์ที่ 3

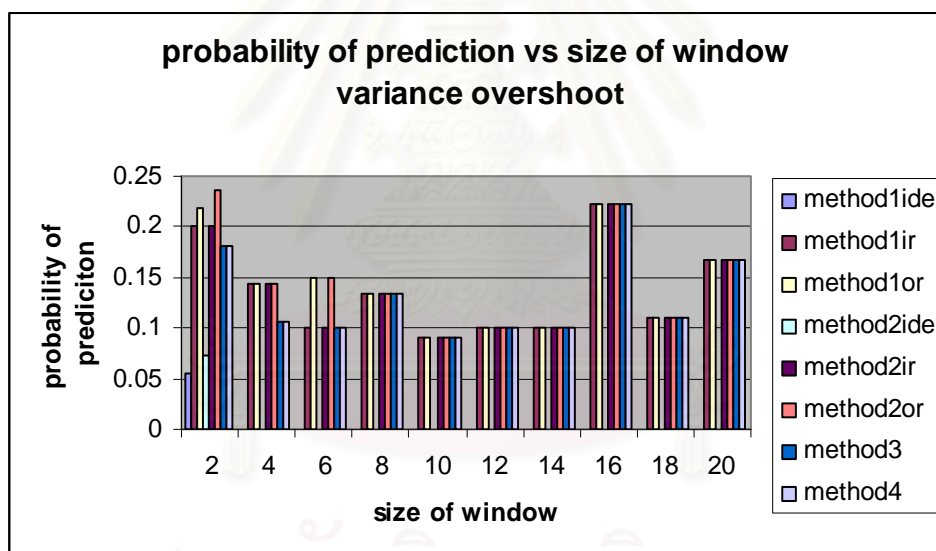


รูปที่ 3.38 ความสัมพันธ์ระหว่างความน่าจะเป็นของการเกิดสัญญาณเตือนที่ผิดพลาดและขนาดของหน้าต่าง เมื่อเกิดความผิดปกติในระบบโครงข่ายในสถานการณ์ที่ 3

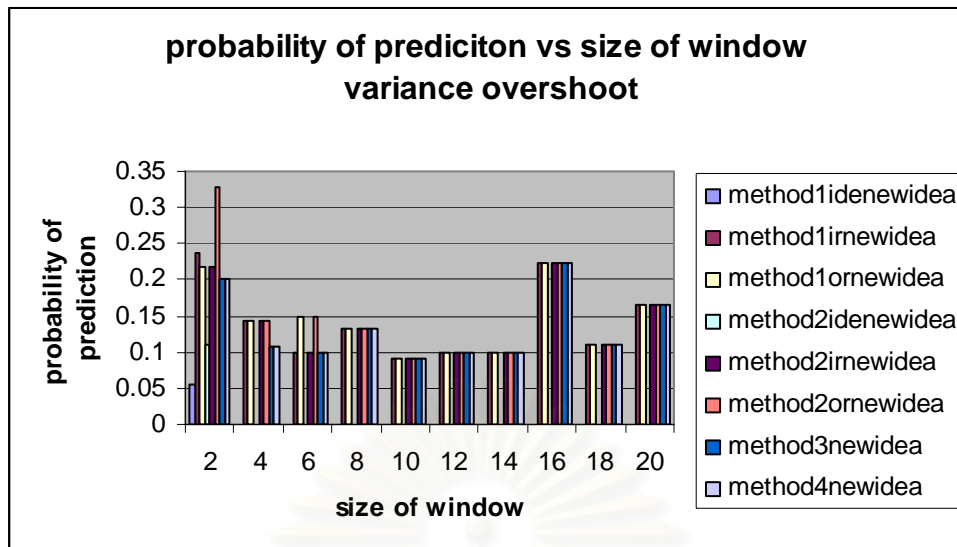
<i>m1ide</i>	<i>m1idenew</i>	<i>m1ir</i>	<i>m1irnew</i>	<i>m1or</i>	<i>m1ornew</i>	<i>m2ide</i>	<i>m2idenew</i>
0.0053	0.0053	1.02E-02	1.02E-02	0.0429	0.0433	0.0052	0.007
<i>m2ir</i>	<i>m2irnew</i>	<i>m2or</i>	<i>m2ornew</i>	<i>m3</i>	<i>m3new</i>	<i>m4</i>	<i>m4new</i>
1.03E-02	1.51E-02	0.0427	0.0446	0.0052	0.0052	0.005	0.0552

ตารางที่ 3.6 ค่าเฉลี่ยของความน่าจะเป็นของการเกิดสัญญาณเตือนที่ผิดพลาด เมื่อเกิดความผิดปกติในระบบโครงข่ายในสถานการณ์ที่ 3

จากผลของการหาค่าถ่วงน้ำหนักแบบเดิมและแบบใหม่ ซึ่งขนาดหน้าต่างที่ลดลงจะมีผลให้ความน่าจะเป็นของสัญญาณเตือนที่ผิดพลาดสูงขึ้น เช่นขนาดหน้าต่างที่เท่ากับ 2 และ 3 ดังรูปที่ 3.37 และ 3.38 ที่เป็นเช่นนี้เนื่องจากจำนวนจุดข้อมูลที่ใช้ในการทำนายค่าเฉลี่ยและความแปรปรวนมีน้อยเกินไปทำให้เกิดความผิดพลาด ในกรณีนี้ การตรวจจับความผิดปกติซึ่งใช้ค่าถ่วงน้ำหนักแบบเดิมเปลี่ยนแปลงตามเวลาโดยใช้ข้อมูล 3 ชนิดพร้อมกันคือ *ipIR* *ipOR* และ *ipIDE* ให้ผลดีที่สุด



รูปที่ 3.39 ความสัมพันธ์ระหว่างความน่าจะเป็นที่สามารถตรวจจับความผิดปกติได้และขนาดของหน้าต่าง เมื่อเกิดความผิดปกติในระบบโครงข่ายในสถานการณ์ที่ 3

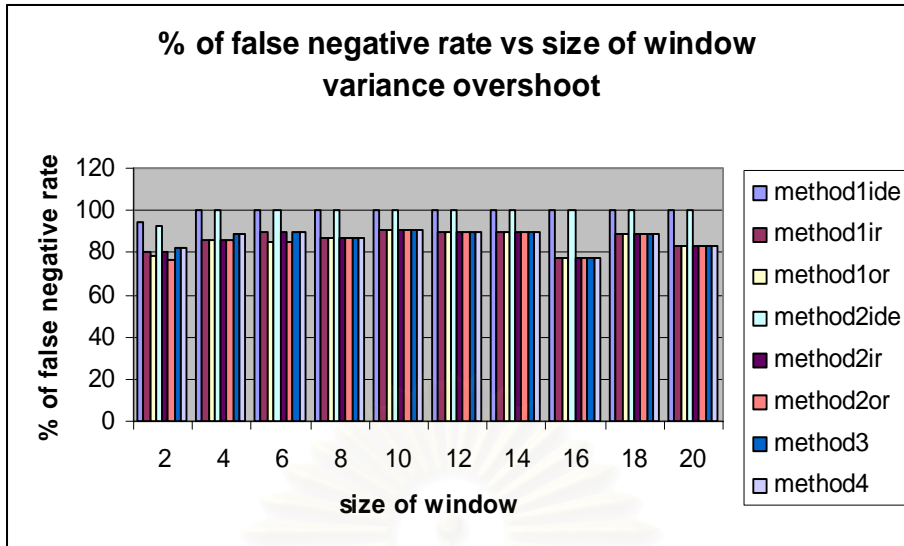


รูปที่ 3.40 ความสัมพันธ์ระหว่างความน่าจะเป็นที่สามารถตรวจจับความผิดปกติได้และขนาดของหน้าต่าง เมื่อเกิดความผิดปกติในระบบโครงข่ายในสถานการณ์ที่ 3

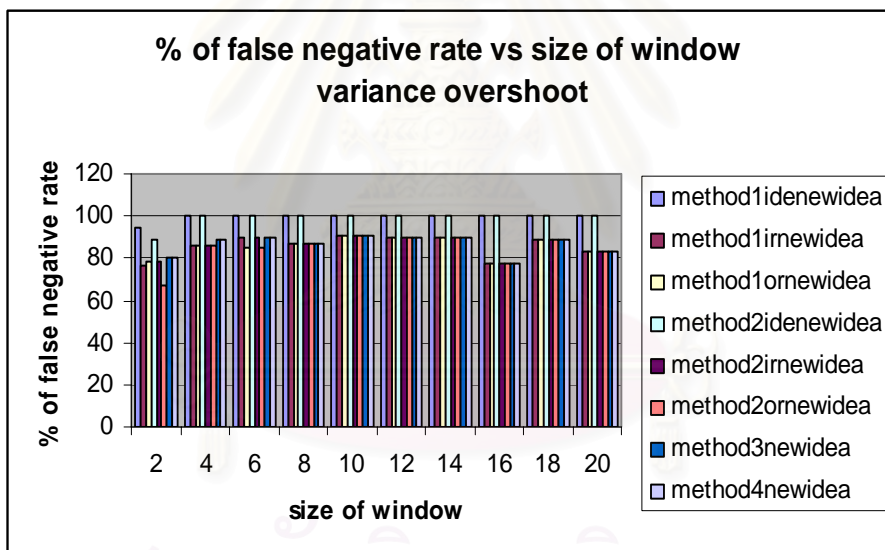
<i>m1ide</i>	<i>m1idenew</i>	<i>m1ir</i>	<i>m1irnew</i>	<i>m1or</i>	<i>m1ornew</i>	<i>m2ide</i>	<i>m2idenew</i>
0.0028	0.0028	1.44E-01	1.45E-01	0.1497	0.1497	0.1497	0.0056
<i>m2ir</i>	<i>m2irnew</i>	<i>m2or</i>	<i>m2ornew</i>	<i>m3</i>	<i>m3new</i>	<i>m4</i>	<i>m4new</i>
1.44E-01	1.44E-01	0.1503	0.1544	0.1401	0.1407	0.1401	0.1407

ตารางที่ 3.7 ค่าเฉลี่ยของความน่าจะเป็นที่สามารถตรวจจับความผิดปกติได้ เมื่อเกิดความผิดปกติในระบบโครงข่ายในสถานการณ์ที่ 3

ในส่วนของความน่าจะเป็นที่จะตรวจจับความผิดปกติได้ นั้นมีค่าต่ำมากเนื่องจากวิธีการเปรียบเทียบรูปแบบทราฟฟิก ไม่สามารถที่จะตรวจจับความผิดปกติเนื่องจากค่าความแปรปรวนที่เปลี่ยนแปลงได้ ในกรณีนี้ การใช้ค่าถ่วงน้ำหนักแบบใหม่เปลี่ยนแปลงตามเวลาโดยใช้ข้อมูลชนิด ipOR ให้ผลดีที่สุด



รูปที่ 3.41 ความสัมพันธ์ระหว่างปริมาณของ false negative rate และขนาดของหน้าต่าง เมื่อเกิดความผิดปกติในระบบโครงข่ายในสถานการณ์ที่ 3

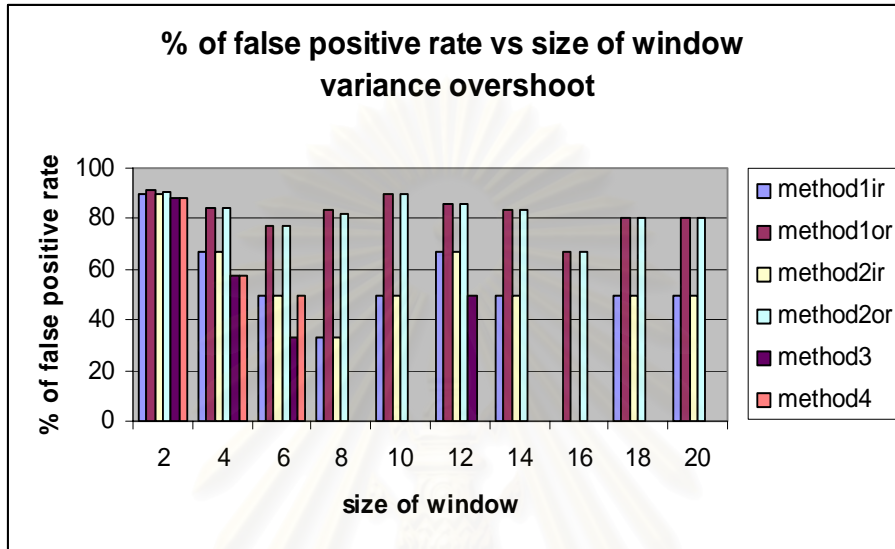


รูปที่ 3.42 ความสัมพันธ์ระหว่างปริมาณของ false negative rate และขนาดของหน้าต่าง เมื่อเกิดความผิดปกติในระบบโครงข่ายในสถานการณ์ที่ 3

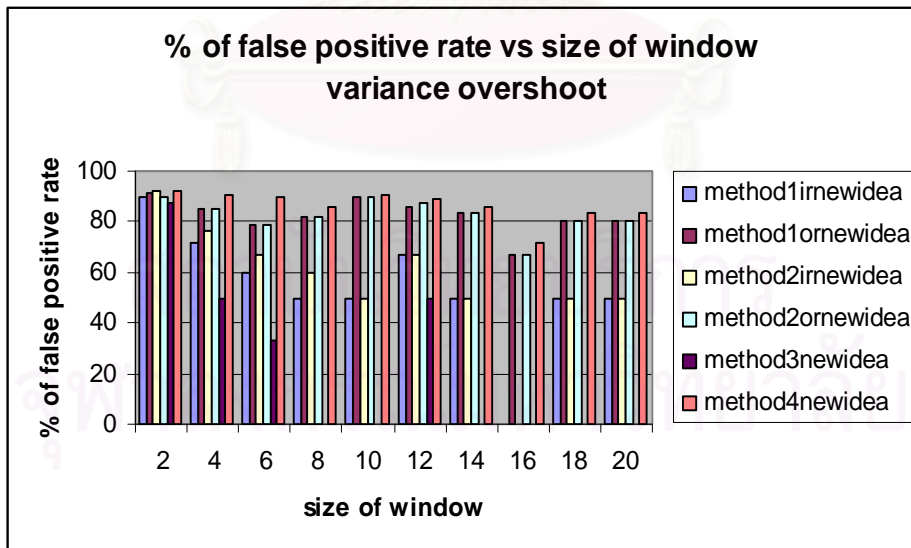
m1ide	m1idenew	m1ir	m1irnew	m1or	m1ornew	m2ide	m2idenew
99.7212	99.7212	8.56E+01	8.55E+01	85.029	85.0286	99.659	99.4423
m2ir	m2irnew	m2or	m2ornew	m3	m3new	m4	m4new
8.56E+01	8.56E+01	84.9659	84.5616	85.989	85.9267	85.989	85.9267

ตารางที่ 3.8 ค่าเฉลี่ยของปริมาณของ false negative rate เมื่อเกิดความผิดปกติในระบบโครงข่ายในสถานการณ์ที่ 3

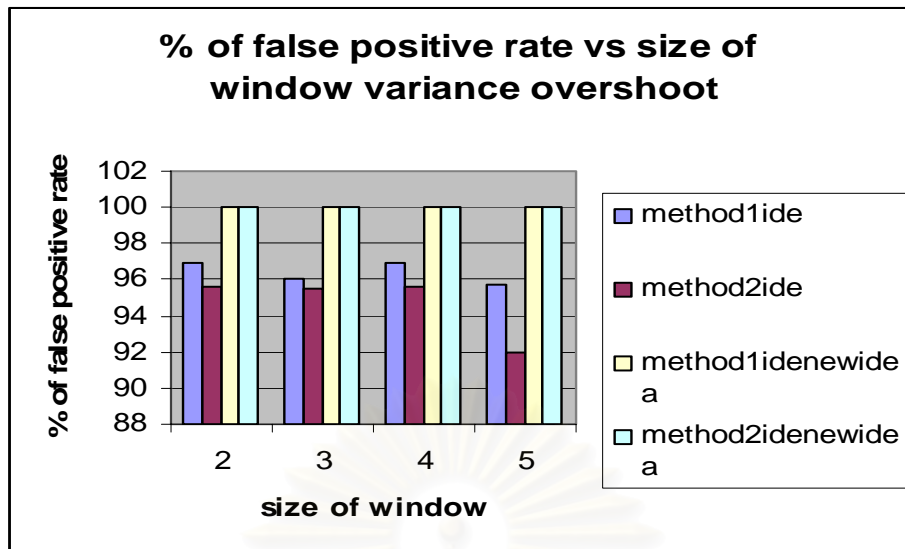
ในส่วนของปริมาณของ *false negative rate* มีค่าของความผิดพลาดในการตรวจจับความผิดปกติของระบบโครงข่ายที่สูงมาก เนื่องจากวิธีการเปรียบเทียบรูปแบบกราฟฟิก ไม่สามารถที่จะตรวจจับความปกติเนื่องจากค่าความแปรปรวนที่เปลี่ยนแปลงไปได้ ในกรณีนี้ การใส่ค่าถ่วงน้ำหนักแบบใหม่เปลี่ยนแปลงตามเวลาโดยใช้ข้อมูลชนิด *ipOR* ให้ผลดีที่สุด



รูปที่ 3.43 ความสัมพันธ์ระหว่างปริมาณของ *false positive rate* และขนาดของหน้าต่าง เมื่อเกิดความผิดปกติในระบบโครงข่ายในสถานการณ์ที่ 3



รูปที่ 3.44 ความสัมพันธ์ระหว่างปริมาณของ *false positive rate* และขนาดของหน้าต่าง เมื่อเกิดความผิดปกติในระบบโครงข่ายในสถานการณ์ที่ 3



รูปที่ 3.45 ความสัมพันธ์ระหว่างปริมาณของ *false positive rate* และขนาดของหน้าต่าง เมื่อเกิดความผิดปกติในระบบโครงข่ายในสถานการณ์ที่ 3

<i>m1ide</i>	<i>m1idenew</i>	<i>m1ir</i>	<i>m1irnew</i>	<i>m1or</i>	<i>m1ornew</i>	<i>m2ide</i>	<i>m2idenew</i>
98.1555	98.1555	3.35E+01	3.54E+01	78.028	78.028	97.874	96.9362
<i>m2ir</i>	<i>m2irnew</i>	<i>m2or</i>	<i>m2ornew</i>	<i>m3</i>	<i>m3new</i>	<i>m4</i>	<i>m4new</i>
3.35E+01	3.83E+01	77.9412	78.0467	17.729	17.5103	16.76	82.6364

ตารางที่ 3.9 ค่าเฉลี่ยของปริมาณของ *false positive rate* เมื่อเกิดความผิดปกติในระบบโครงข่ายในสถานการณ์ที่ 3

ในส่วนของปริมาณของ *false positive rate* มีค่าของความผิดพลาดในการตรวจจับความผิดปกติของระบบโครงข่ายที่สูงมาก เนื่องจากวิธีการเปรียบเทียบรูปแบบกราฟฟิกไม่สามารถที่จะตรวจจับความผิดปกติเนื่องจากค่าความแปรปรวนที่เปลี่ยนแปลงไปได้ ในกรณีนี้วิธีการตรวจจับความผิดปกติโดยใช้ค่าถ่วงน้ำหนักแบบเดิมเปลี่ยนแปลงตามเวลาโดยใช้ข้อมูล 3 ชนิดพร้อมกันคือ *ipIR*, *ipOR* และ *ipIDE* ให้ผลดีที่สุด

3.3.4 สรุปผลการทดลอง

การใช้ขนาดหน้าต่างที่สั้นเกินไปในการตรวจจับความผิดปกติของระบบโครงข่าย จะส่งผลให้ประสิทธิภาพในการตรวจจับความผิดปกติลดลง ที่เป็นเช่นนี้เนื่องจากจำนวนจุดข้อมูลที่ใช้ในการทำนายค่าเฉลี่ยและความแปรปรวนมีน้อยเกินไปส่งผลให้เกิดความผิดพลาด และชนิดของข้อมูลที่ใช้ในการตรวจจับความผิดปกติที่แตกต่างกันให้ผลของประสิทธิภาพในการตรวจจับความ

ผิดปกติที่แตกต่างกันที่เป็นเช่นนี้เนื่องจากแต่ละชนิดข้อมูลมีความคล้ายคลึงกันระหว่างข้อมูลในอดีตและปัจจุบันที่แตกต่างกัน วิธีการตรวจจับความผิดปกติของระบบโครงข่ายแบบเปรียบเทียบรูปแบบกราฟิกนั้นเหมาะสำหรับตรวจจับความผิดปกติที่เป็นแบบค่าเฉลี่ยของกราฟิกเกิดการเปลี่ยนแปลง ซึ่งเกิดในกรณีของ ข่ายเชื่อมโยงเกิดความเสียหาย แต่ไม่เหมาะสำหรับความผิดปกติที่กราฟิกมีลักษณะค่าเบี่ยงเบนกราฟิกเฉลี่ยเปลี่ยนแปลง เนื่องจากวิธีการตรวจจับความผิดปกติแบบเปรียบเทียบรูปแบบกราฟิกใช้ข้อมูลค่าเฉลี่ยของกราฟิกในการตรวจจับ และวิธีการที่นำเสนอในการปรับปรุงวิธีการตรวจจับความผิดปกติแบบเปรียบเทียบรูปแบบกราฟิกให้ประสิทธิภาพในการตรวจจับความผิดปกติที่ดีขึ้นกว่าวิธีการเดิม



สถาบันวิทยบริการ
จุฬาลงกรณ์มหาวิทยาลัย

บทที่ 4

การปรับปรุงวิธีการตรวจจับความผิดปกติแบบการเปลี่ยนแปลงทันทีทันใด (Abrupt Change)

ในบทที่ผ่านมา เราได้มีการนำเสนอเนื้อหาทางทฤษฎีของการตรวจจับความผิดปกติแบบการเปลี่ยนแปลงทันทีทันใด (Abrupt Change) ซึ่งจะเห็นได้ว่าวิธีการนี้นั้นจะใช้ข้อมูล 3 ชนิดพร้อมกัน ในการตรวจจับความผิดปกติของระบบโครงข่าย ซึ่งประกอบไปด้วยข้อมูลจาก *ipIR*, *ipOR* และ *ipIDE* ซึ่งค่าที่ใช้ในการตัดสินใจว่าระบบโครงข่ายเกิดความผิดปกติหรือไม่นั้นหาได้จากค่าความผิดพลาดของเวกเตอร์ความผิดพลาดของข้อมูล [*ipIR ipOR ipIDE*] ที่มีทิศทางที่ใกล้กับเวกเตอร์ความผิดปกติ $[1 \ 1 \ 1]$ มากที่สุด ซึ่งหมายความว่า เวกเตอร์นั้นให้ผลที่ค่าความผิดพลาดของ 3 ชนิดข้อมูลมีการแปรผันตรงกันมากที่สุด โดยวิธีการนี้จะเลือกค่าความผิดพลาดของเวกเตอร์ความผิดพลาดที่มีทิศทางใกล้กับเวกเตอร์ $[1 \ 1 \ 1]$ มา 2 ค่า แล้วเลือกค่าที่ต่ำที่สุดเป็นค่าที่ใช้เป็นเกณฑ์สำหรับการบ่งชี้ว่าขณะนี้ระบบโครงข่ายของเราเกิดความผิดปกติหรือไม่ ดังนั้นเราจึงเสนอวิธีการเลือกค่าที่ใช้เป็นเกณฑ์ในการบ่งชี้ถึงความผิดปกติในโครงข่ายของวิธีการตรวจจับความผิดปกติแบบทันทีทันใด ด้วยกัน 2 วิธีคือ 1) การเลือกใช้ค่ากลางของค่าความผิดพลาดของเวกเตอร์ความผิดพลาด และ 2) การเลือกใช้ค่าเฉลี่ยของค่าความผิดพลาดของเวกเตอร์ความผิดพลาด นอกจากนี้ในบทนี้จะวิเคราะห์ถึงผลของขนาดหน้าต่างที่ใช้ในการตรวจจับความผิดปกติที่มีผลต่อความแน่นอนในการตรวจจับความผิดปกติที่อาจเกิดขึ้นในอนาคต ผลของจำนวนรอบที่ใช้ในการหาค่าเมตริกซ์ที่แสดงถึงความสัมพันธ์กันของความผิดปกติของข้อมูลหลายระดับต่อผลของการตรวจจับความผิดปกติของระบบโครงข่าย และผลของค่า *Threshold* ของแต่ละวิธีที่มีความสัมพันธ์ถึงขนาดหน้าต่างที่ใช้ในการตรวจจับความผิดปกติของระบบโครงข่าย

เนื้อหาในบทที่ 4 นี้จะแบ่งเป็น 3 ส่วน ซึ่งส่วนที่ 1 จะเกี่ยวข้องกับวิธีการที่เราแนะนำเสนอในการปรับปรุงวิธีการตรวจจับความผิดปกติแบบเปลี่ยนแปลงทันทีทันใด ส่วนที่ 2 แสดงถึงดัชนีชี้วัดที่ใช้ในการประเมินประสิทธิภาพของวิธีตรวจจับความผิดปกติของระบบโครงข่าย และส่วนที่ 3 จะกล่าวถึงผลการทดลองและสรุปผลการทดลอง

4.1 วิธีการที่นำเสนอในการปรับปรุงวิธีการตรวจจับความผิดปกติแบบเปลี่ยนแปลงทันทีทันใด

ในที่นี้เราจะอธิบายถึงวิธีที่ใช้การหาค่าเกณฑ์ในการตัดสินใจว่าเกิดความผิดปกติในระบบโครงข่ายหรือไม่ด้วยกัน 3 วิธี คือ 1) การใช้ค่าน้อยสุดของความผิดพลาด 2 ตัว ที่ใกล้กับเวกเตอร์ความผิดปกติ $[1 \ 1 \ 1]$ มากที่สุด 2) การเลือกใช้ค่ากลางของค่าความผิดพลาดของเวกเตอร์ความผิดพลาด และ 3) การเลือกใช้ค่าเฉลี่ยของค่าความผิดพลาดของเวกเตอร์ความผิดพลาด

4.1.1 การใช้ค่าน้อยสุดของความผิดพลาด 2 ตัว ที่ใกล้กับเวกเตอร์ความผิดปกติ $[1 \ 1 \ 1]$ มากที่สุด

ในวิธีการของการตรวจจับความผิดปกติของระบบโครงข่ายแบบเปลี่ยนแปลงทันทีทันใด นั้นในกรณีที่เรานำชนิดข้อมูลในการตรวจจับความผิดปกติของระบบโครงข่ายเป็น 3 ชนิด จะได้ค่า *Eigenvalue* และ *Eigenvector* อย่างละ 3 ค่า ซึ่ง จะนำค่า *Eigenvector* แต่ละค่านี้มาตรวจสอบว่า *Eigenvector* 2 ค่าไหนที่มีทิศทางไปทางเดียวกับเวกเตอร์ความผิดปกติ $[1 \ 1 \ 1]$ มากที่สุด แล้วนำค่า *Eigenvalue* ของ *Eigenvector* 2 ค่านั้นมาพิจารณาค่าที่ใช้ในการบอกว่าระบบโครงข่ายของเราตอนนี้เกิดความผิดปกติหรือไม่ ดังสมการที่ (4.1)

$$Th = \min_{i=1}^2 (\lambda_i (\max(\frac{[111] * \vec{\phi}}{|\vec{\phi}|}))) \quad (4.1)$$

ซึ่ง $1 < N < M$ โดยที่ M เป็นจำนวนชนิดข้อมูลที่ใช้ในการตรวจจับความผิดปกติของระบบโครงข่าย ซึ่งถ้าค่าความผิดปกติของระบบโครงข่ายเกินค่าเกณฑ์ จะถือว่าระบบโครงข่ายเกิดความผิดปกติขึ้น

4.1.2 การเลือกใช้ค่ากลางของค่าความผิดพลาดของเวกเตอร์ความผิดพลาด

ในวิธีการของการตรวจจับความผิดปกติของระบบโครงข่ายแบบเปลี่ยนแปลงทันทีทันใด นั้น ในกรณีที่เรานำชนิดข้อมูลในการตรวจจับความผิดปกติของระบบโครงข่าย 3 ชนิด จะได้ *Eigenvalue* และ *Eigenvector* อย่างละ 3 ค่า ซึ่งค่าที่ใช้เป็นเกณฑ์ในการบอกว่าระบบเกิดความผิดปกติหรือไม่ เราจะเลือกใช้ค่าความผิดพลาดค่ากลาง ซึ่ง $\lambda_1 < \lambda_2 < \lambda_3$ ดังสมการที่ (4.2)

$$Th = \lambda_2 \quad (4.2)$$

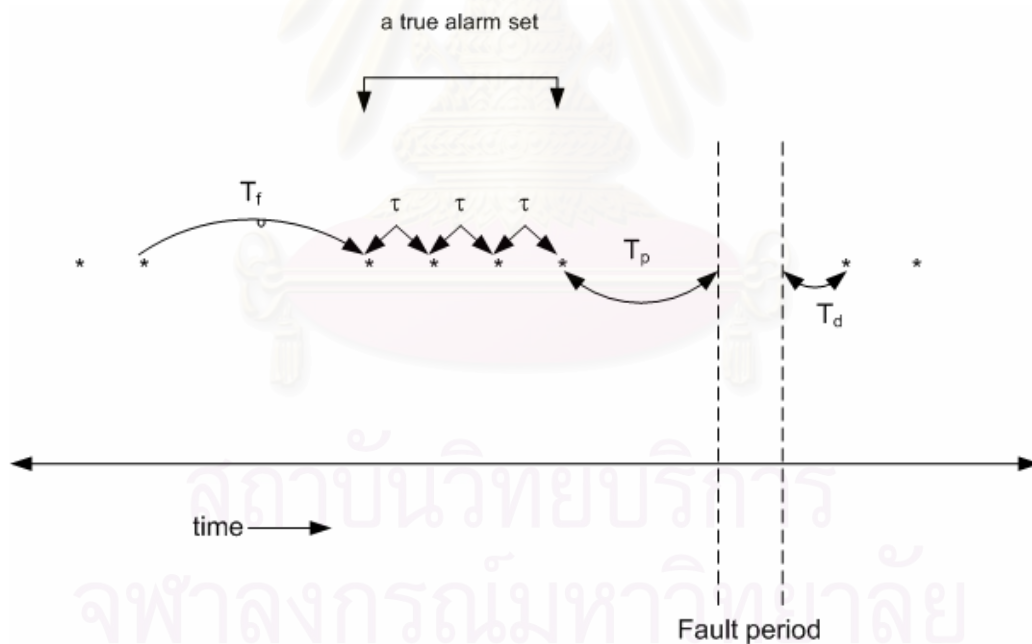
4.1.3 การเลือกใช้ค่าเฉลี่ยของค่าความผิดพลาดของเวกเตอร์ความผิดพลาด

ในวิธีการของการตรวจจับความผิดปกติของระบบโครงข่ายแบบเปลี่ยนแปลงทันทีทันใด นั้น ในกรณีที่เราใช้ชนิดข้อมูลในการตรวจจับความผิดปกติของระบบโครงข่ายเป็น 3 ชนิด จะได้ค่า *Eigenvalue* และ *Eigenvector* อย่างละ 3 ค่า ซึ่งค่าที่ใช้เป็นเกณฑ์ในการบอกว่าระบบเกิดความผิดปกติหรือไม่เราจะเลือกใช้เฉลี่ยเลขคณิตของค่าความผิดพลาดของ $\lambda_1, \lambda_2, \lambda_3$ ซึ่ง $\lambda_1 < \lambda_2 < \lambda_3$ ดังสมการที่ (4.3)

$$Th = \frac{\lambda_1 + \lambda_2 + \lambda_3}{3} \tag{4.3}$$

4.2 ดัชนีชี้วัดที่ใช้ในการประเมินประสิทธิภาพของวิธีตรวจจับความผิดปกติของระบบโครงข่าย

ในการประเมินว่าวิธีการตรวจจับความผิดปกติของระบบโครงข่ายแบบเปลี่ยนแปลงทันทีทันใดมีประสิทธิภาพหรือไม่นั้น เราจะใช้ดัชนีชี้วัดที่ประกอบไปด้วย T_f, T_p, T_d, τ ดังรูปที่ 4.1



รูปที่ 4.1 ดัชนีชี้วัดที่ใช้ในการประเมินประสิทธิภาพของการตรวจจับความผิดปกติของระบบโครงข่าย

ซึ่ง N_f คือ จำนวนสัญญาณเตือนที่ผิดพลาดต่อจำนวนหน้าต่างข้อมูล

T_f คือ ช่วงเวลาที่เกิดความผิดพลาดในการทำนายความผิดปกติของระบบโครงข่าย

T_p คือ ช่วงเวลาที่สามารถทำนายความผิดปกติได้ก่อนเกิดความผิดปกติในระบบ

โครงข่าย

T_d คือ เวลาที่สามารถตรวจจับความผิดปกติได้หลังจากเกิดความผิดปกติในระบบ
โครงข่ายไปแล้ว

τ คือ ช่วงเวลาที่สัญญาณเตือนความผิดปกติยังคงเป็นสัญญาณเตือนที่ถูกต้องใน
การตรวจจับความผิดปกติในระบบโครงข่าย

โดยที่มีเงื่อนไขที่ว่า $\tau < 15 \text{ min}$ (4.4)

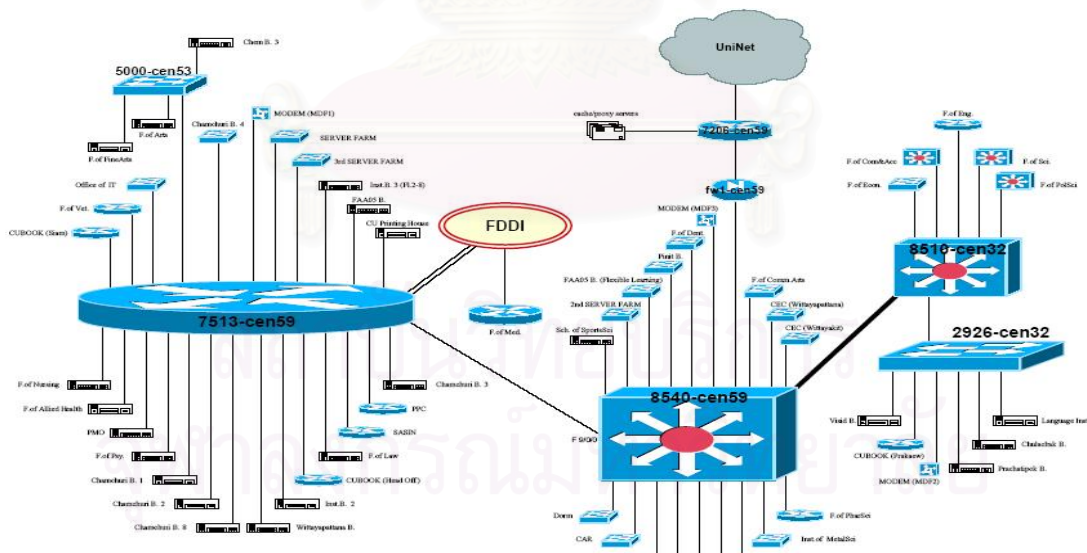
ในที่นี้เราได้นิยามตัวแปร S ซึ่งใช้เป็นตัวบอกว่าระบบโครงข่ายของเราควรเลือกใช้ค่า
ขนาดหน้าต่างเท่าใดในการตรวจจับความผิดปกติของระบบโครงข่าย โดยที่ ค่าตัวแปร S มีค่าดัง
สมการที่ (4.5)

$$S = T_f * N_f \tag{4.5}$$

ซึ่งถ้าค่า S ยิ่งมีค่ามากแสดงว่าขนาดหน้าต่างนั้นให้ค่าการตรวจจับความผิดปกติ
โครงข่ายที่มีประสิทธิภาพสูงขึ้น

4.3 ผลการทดลองและสรุปผลการทดลอง

ในการทดลองเพื่อทดสอบประสิทธิภาพของวิธีการตรวจจับความผิดปกติของระบบ
โครงข่ายแบบทันทีทันใดที่น่าเสนอนั้น จะใช้ข้อมูลกราฟฟิคที่ได้จากโครงข่ายของจุฬาลงกรณ์
มหาวิทยาลัยที่รูทเทอร์ 7513 ซึ่งแสดงดังรูปที่ 4.2



รูปที่ 4.2 ระบบโครงข่ายของจุฬาลงกรณ์มหาวิทยาลัย ที่รูทเทอร์ หมายเลข 7513 และ รูทเทอร์
หมายเลข 7206

ข้อมูลของการส่งข้อมูลที่ได้จากรูทเทอร์ 7513 นั้นถูกเก็บโดยใช้โปรแกรม *NETFLOW* ซึ่ง
การเก็บข้อมูลของโปรแกรม *NETFLOW* นี้แสดงดังรูปที่ 4.3

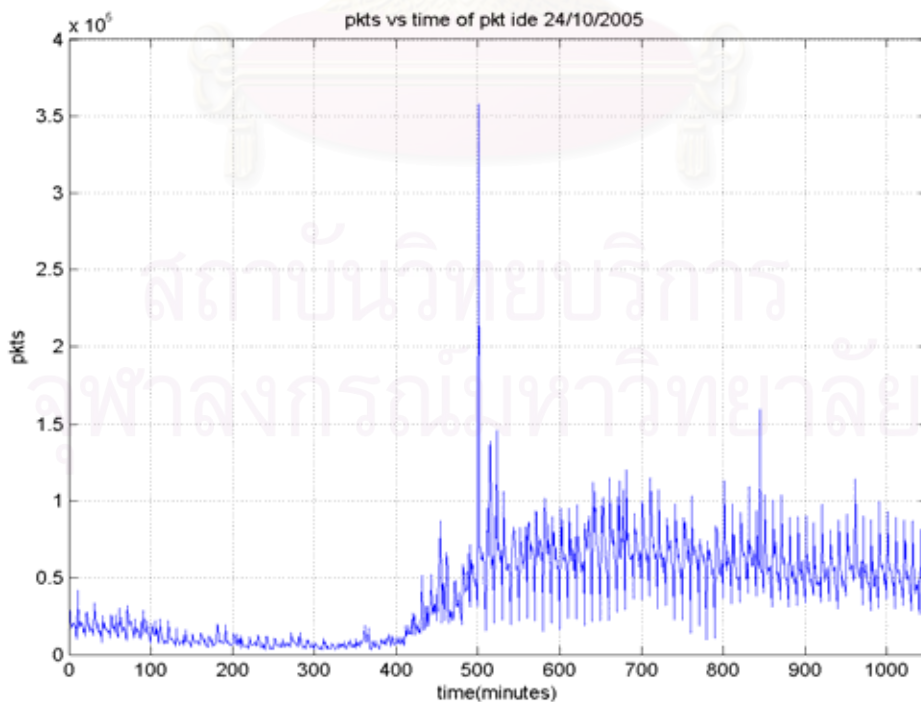
```

161.200.255.3_2005_02_11 - Notepad
File Edit Format View Help
srcaddr|dstaddr|srcport|dstport|prot|tos|pkts|octets|flows|starttime|endtime|activetime
2.66|24.94.238.58|30955|6346|17|0|5|205|1|1108054764|1108054788|24144161.200.192.4|158.
17|0|3|230|1|1108055322|1108055325|2800161.200.192.4|64.73.138.72|50562|53|17|0|2|146|1
1.200.129.102|203.121.145.116|3330|80|6|0|5|540|1|1108055063|1108055065|2092161.200.129
|2|1108055063|1108055217|94796161.200.129.102|203.121.145.116|3339|80|6|0|6|538|1|11080
|1|1108055124|1108055125|768203.121.145.116|161.200.129.102|80|3345|6|0|6|1685|1|110805
|2|1108055127|1108055211|18804161.200.192.6|129.49.1.4|25|56926|6|0|6|500|6|1108054814|
|161.200.129.102|80|3366|6|0|8|3576|1|1108055336|1108055339|3260161.200.192.66|82.228.1
2|203.121.145.116|3371|80|6|0|7|1000|1|1108055343|1108055345|1808203.121.145.116|161.20
20|161.200.192.4|53|50562|17|0|1|185|1|1108054815|1108054815|0161.200.129.102|203.121.1
|205|1|1108055182|1108055206|24176161.200.192.4|202.59.252.13|50562|53|17|0|2|146|2|110
6.111|161.200.192.10|25|3582|6|0|4|280|1|1108055036|1108055037|784194.67.18.130|161.200
1108055051|1108055091|40612161.200.192.17|209.134.28.4|2297|25|6|0|2|96|1|1108055040|11
1|1108055163|242463.150.131.26|161.200.129.204|80|49496|6|0|6|437|1|1108055161|11080551
28055168|197263.150.131.26|161.200.129.204|80|49504|6|0|5|403|1|1108055167|1108055169|2
161.200.129.106|80|3644|6|0|6|288|1|1108055228|1108055250|22352203.121.145.37|161.200.1
52|17|0|6|1131|3|1108054971|1108055084|11780203.121.145.37|161.200.129.106|80|3669|6|0|
1.200.192.4|200.160.0.10|50562|53|17|0|1|56|1|1108055003|1108055003|0200.160.0.10|161.2
0|1|1108055042|1108055043|764203.121.145.182|161.200.129.106|80|3565|6|0|4|1133|1|11080
.200.192.66|82.42.159.51|30955|6346|17|0|10|526|1|1108055294|1108055319|24840202.44.52.
.129.100|80|1085|6|0|25|24436|2|1108054951|1108055011|41760161.200.129.100|202.44.52.4|
|1093|80|6|0|21|2051|2|1108054957|1108055030|5744068.142.79.21|161.200.129.141|80|1251|
|0|20|10376|2|1108055051|1108055149|27192161.200.129.100|202.44.52.4|1119|80|6|0|22|404
588|2|1108055051|1108055219|106644202.44.52.4|161.200.129.100|80|1125|6|0|22|11683|2|11
5166|1516161.200.192.10|128.227.64.7|2984|25|6|0|1|52|1|1108054985|1108054985|0128.227.
33|2232161.200.192.1|202.176.83.147|80|26294|6|0|72|96533|1|1108054831|1108054833|22121
|1|52|1|1108054987|1108054987|0161.200.129.100|202.44.52.4|1161|80|6|0|9|2228|1|1108055
59.224|161.200.129.172|80|1514|6|0|17|9256|9|1108054766|1108055278|4161.200.129.100|202

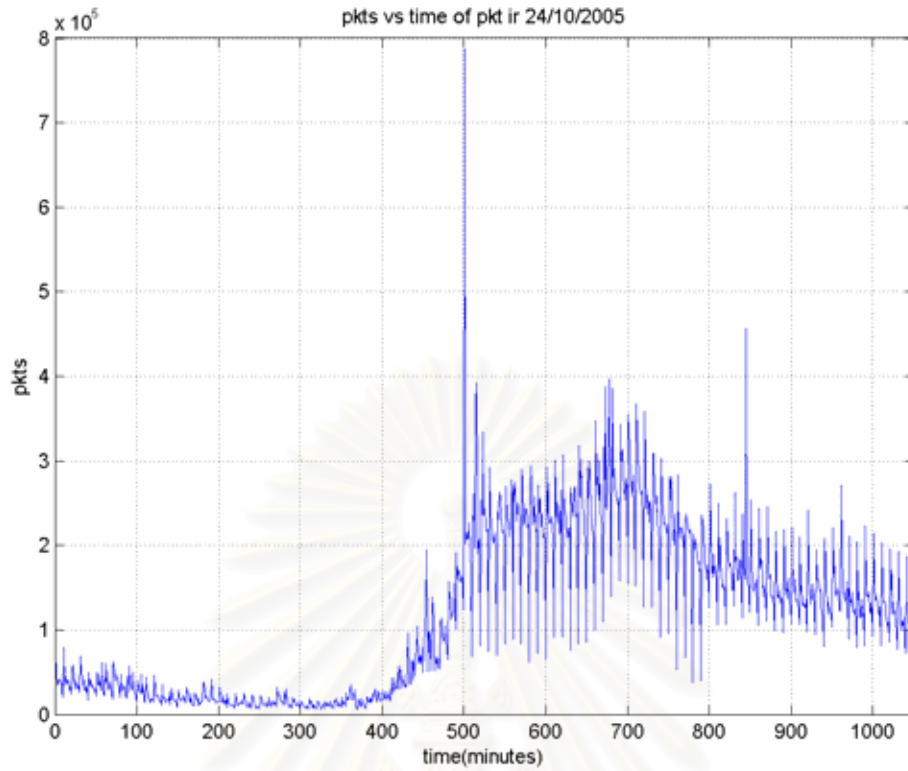
```

รูปที่ 4.3 ลักษณะของกราฟฟีกที่โปรแกรม NETFLOW บันทึกในรูทเทอร์ 7513

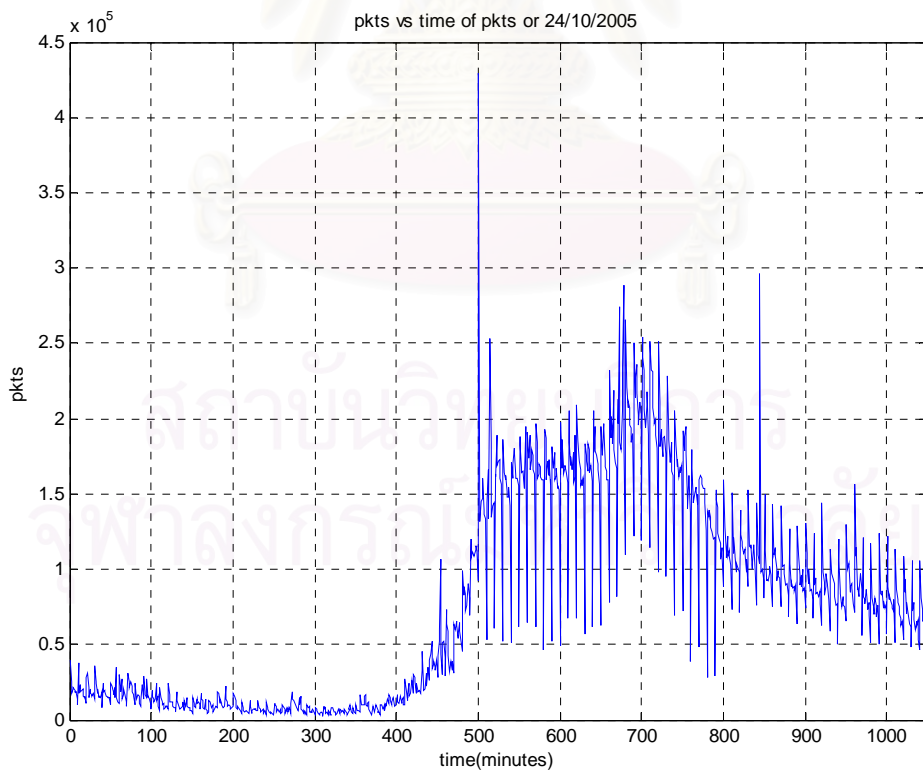
จากผลของข้อมูลที่ได้จากโปรแกรม NETFLOW นี้เราจึงต้องนำข้อมูลนี้มาทำการแบ่งแยกเป็นชนิดของข้อมูล *ipIR*, *ipIDE* และ *ipOR* โดยใช้โปรแกรม PERL ในการแบ่งแยกชนิดข้อมูล ซึ่งในการทดลองนี้เราจะใช้ข้อมูลของวันที่ 24 ตุลาคม 2548 ในการตรวจจับความผิดปกติของระบบโครงข่าย แสดงดังรูปที่ 4.4-4.6



รูปที่ 4.4 ข้อมูล *ipIDE* ของรูทเทอร์ 7513 ในวันที่ 24/10/2005



รูปที่ 4.5 ข้อมูล *ipIR* ของรูดทเทอร์ 7513 ในวันที่ 24/10/2005



รูปที่ 4.6 ข้อมูล *ipOR* ของรูดทเทอร์ 7513 ในวันที่ 24/10/2005

เราได้แบ่งการทดลองออกเป็น 2 ส่วนคือ ส่วนแรก เราได้ศึกษาถึงผลของการเปลี่ยนขนาดหน้าต่างและจำนวนรอบในการคำนวณเมตริกซ์ A ที่ใช้ในการตรวจจับความผิดปกติของระบบโครงข่ายต่อค่า *Threshold* ส่วนที่สอง เรากำหนดให้จำนวนรอบที่ใช้ในการหาค่าเมตริกซ์ A มีค่าคงที่เท่ากับ 14 รอบ แต่ปรับเปลี่ยนค่าความกว้างของหน้าต่างในการตรวจจับความผิดปกติของระบบโครงข่าย

เนื่องจากข้อมูลทราฟฟิกที่บันทึกได้จากโปรแกรม *NETFLOW* ที่ได้จากโครงข่ายจุฬาลงกรณ์มหาวิทยาลัยนั้น ไม่ได้มีการบันทึกว่าในช่วงเวลาที่ผ่านมามีความผิดปกติขึ้นเมื่อใดด้วยสาเหตุใด เป็นเวลานานเท่าใด ดังนั้นจากรูปที่ 4.4-4.6 ของทราฟฟิกวันที่ 24 ตุลาคม 2548 เราจึงได้กำหนดให้มีความผิดปกติเกิดขึ้นที่ระบบโครงข่ายที่เวลา 500 นาที ด้วยเหตุผลที่ว่าที่เวลานี้จำนวนแพ็กเก็ตมีความเปลี่ยนแปลงอย่างมากเมื่อเทียบกับช่วงเวลาที่ติดกัน

ในการทดลองนั้นเราได้มีการกำหนดตัวแปรในการแสดงผลของแต่ละวิธีในการตรวจจับความผิดปกติของระบบโครงข่ายดังนี้

useabruptchange หมายถึง การใช้ค่าน้อยสุดของความผิดพลาด 2 ตัว ที่ใกล้กับเวกเตอร์ความผิดปกติ $[1 \ 1 \ 1]$ มากที่สุด เป็นค่า *Threshold*

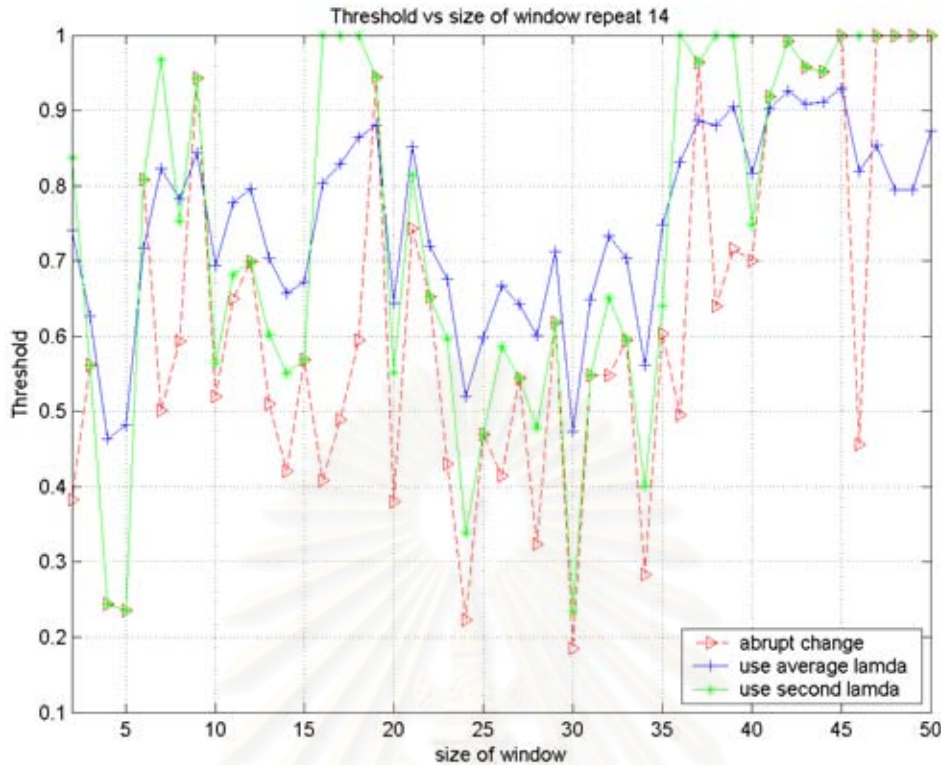
useaveragelamda หมายถึง การเลือกใช้ค่าเฉลี่ยของค่าความผิดพลาดของเวกเตอร์ความผิดพลาด เป็นค่า *Threshold*

usesecndlamda หมายถึง การเลือกใช้ค่ากลางของค่าความผิดพลาดของเวกเตอร์ความผิดพลาด เป็นค่า *Threshold*

4.3.1 ผลของการแปรเปลี่ยนขนาดหน้าต่างที่ใช้ในการตรวจจับความผิดปกติของระบบโครงข่ายต่อค่า *Threshold*

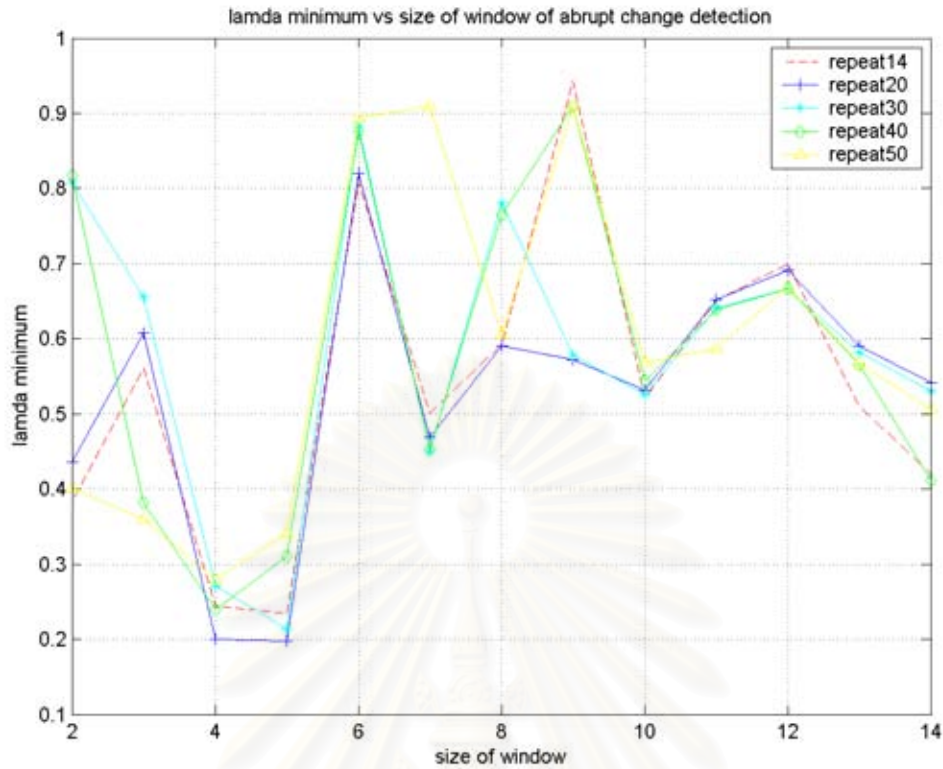
ในการทดลองเพื่อทดสอบประสิทธิภาพของวิธีการตรวจจับความผิดปกติแบบทันทีทันใดที่นำเสนอทั้งสิ้น 3 วิธี ในส่วนแรกนั้นได้ผลการทดลองดังรูปที่ 4.7-4.10

จุฬาลงกรณ์มหาวิทยาลัย

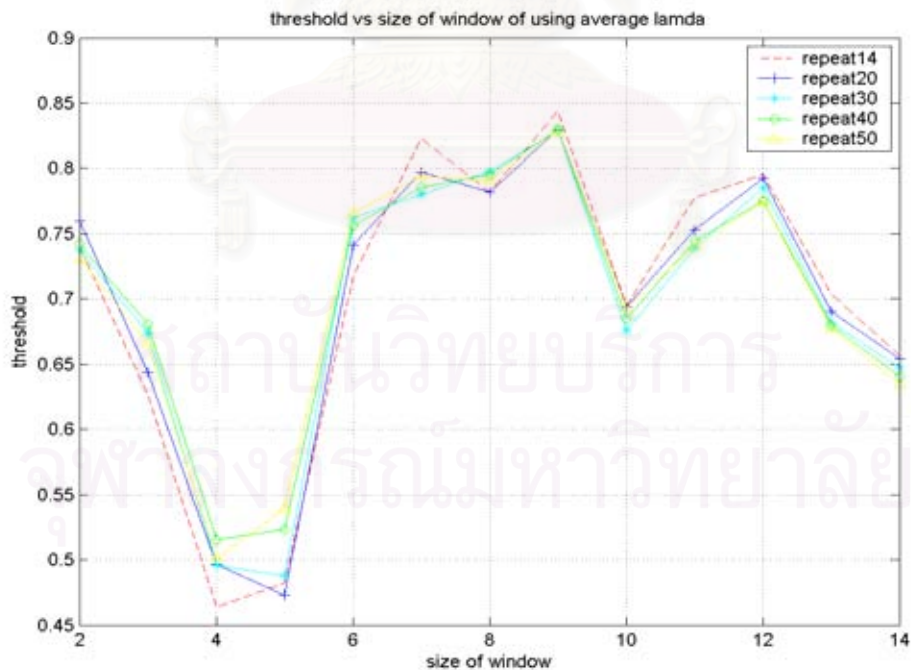


รูปที่ 4.7 ความสัมพันธ์ระหว่างค่า *Threshold* และขนาดหน้าต่างที่ใช้ในการตรวจจับความผิดปกติของระบบโครงข่าย

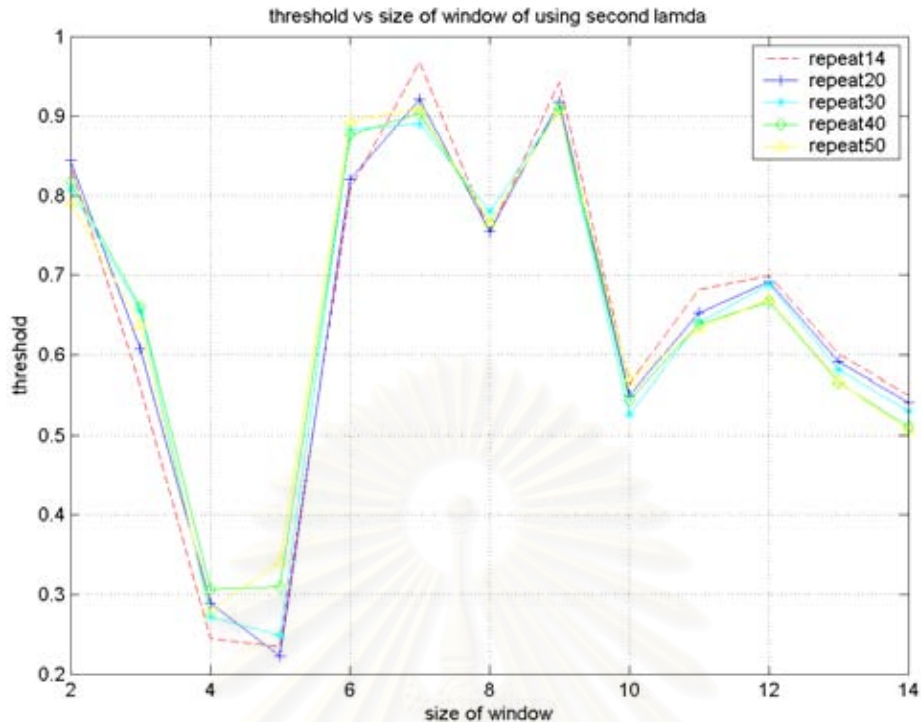
จากผลการทดลองจะเห็นได้ว่าค่าเกณฑ์ในการตัดสินใจว่าระบบโครงข่ายเกิดความผิดปกติหรือไม่ของวิธีการตรวจจับความผิดปกติของระบบโครงข่ายแบบทันทีทันใด วิธีการที่เรานำเสนอโดยการเลือกใช้ค่ากลางของค่าความผิดพลาดของเวกเตอร์ความผิดพลาด และการเลือกใช้ค่าเฉลี่ยของค่าความผิดพลาดของเวกเตอร์ความผิดพลาด เมื่อมีการเปลี่ยนขนาดหน้าต่างในการตรวจจับความผิดปกติของระบบโครงข่ายไปเรื่อยๆ มีค่าเปลี่ยนไปตามขนาดหน้าต่างที่เปลี่ยนไป และไม่มีแนวโน้ม ดังนั้นการตรวจจับความผิดปกติของโครงข่ายโดยใช้วิธีการทั้ง 3 วิธีนี้ จะต้องมีการทดสอบและเลือกค่าขนาดหน้าต่างที่เหมาะสมเพื่อที่จะทำให้ระบบการตรวจจับความผิดปกติมีประสิทธิภาพที่ดี ซึ่งขนาดหน้าต่างในทางปฏิบัติที่ควรใช้ควรอยู่ในช่วง 5 ถึง 20 นาที เนื่องจากถ้าใช้ขนาดหน้าต่างที่ยาวเกินไป จะทำให้ระบบการตรวจจับความผิดปกติไม่สามารถตรวจจับความผิดปกติได้ทัน่วงที



รูปที่ 4.8 ความสัมพันธ์ระหว่างค่า *Threshold* และขนาดหน้าต่างที่ใช้ในการตรวจจับความผิดปกติของระบบโครงข่ายโดยการเลือกค่า *Threshold* จากวิธีการเปลี่ยนแปลงทันทีทันใด



รูปที่ 4.9 ความสัมพันธ์ระหว่างค่า *Threshold* และขนาดหน้าต่างที่ใช้ในการตรวจจับความผิดปกติของระบบโครงข่ายโดยการเลือกค่า *Threshold* จากค่าเฉลี่ยของค่าความผิดพลาดของเวกเตอร์ความผิดพลาด

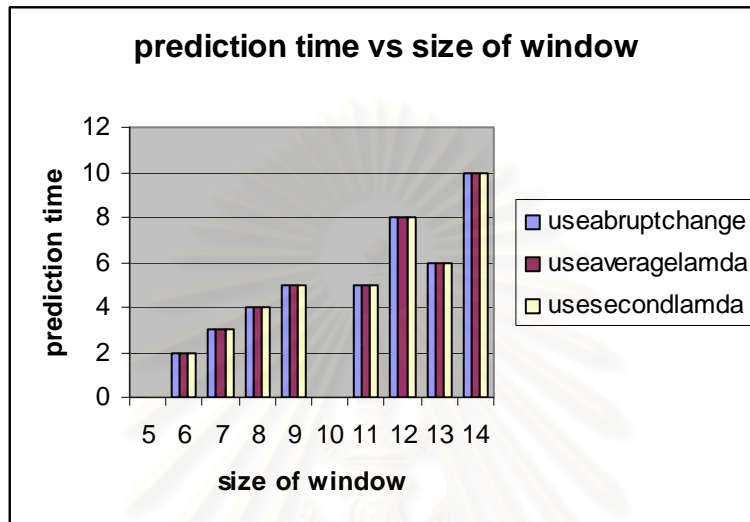


รูปที่ 4.10 ความสัมพันธ์ระหว่างค่า *Threshold* และขนาดหน้าต่างที่ใช้ในการตรวจจับความผิดปกติของระบบโครงข่ายโดยการเลือกค่า *Threshold* จากค่ากลางของค่าความผิดพลาดของเวกเตอร์ความผิดพลาด

จากผลการทดลองจะเห็นได้ว่าค่าเกณฑ์ในการตัดสินใจว่าระบบโครงข่ายเกิดความผิดปกติหรือไม่ของวิธีการตรวจจับความผิดปกติของระบบโครงข่ายแบบทันทีทันใด วิธีการที่เรานำเสนอโดยการเลือกใช้ค่ากลางของค่าความผิดพลาดของเวกเตอร์ความผิดพลาด และการเลือกใช้ค่าเฉลี่ยของค่าความผิดพลาดของเวกเตอร์ความผิดพลาด จะมีค่าแปรเปลี่ยนไปตามจำนวนรอบที่ใช้ในการคำนวณหาค่าเมตริกซ์ A ซึ่งค่าเกณฑ์ในการตัดสินใจว่าระบบโครงข่ายเกิดความผิดปกติของวิธีการตรวจจับความผิดปกติของระบบโครงข่ายแบบทันทีทันใดในแต่ละรอบของการคำนวณหาค่าเมตริกซ์ A นั้นมีค่าที่ต่างกันอย่างมาก เพราะฉะนั้นจำนวนรอบที่ใช้ในการคำนวณหาค่าเมตริกซ์ A มีผลอย่างมาก ในกรณีที่จำนวนรอบในการคำนวณหาค่าเมตริกซ์ A ถูกเลือกไม่เหมาะสม จะส่งผลให้ระบบโครงข่ายของเราเกิดสัญญาณเตือนที่ผิดพลาดบ่อยครั้ง ในส่วนของการเลือกใช้ค่ากลางของค่าความผิดพลาดของเวกเตอร์ความผิดพลาด การเลือกใช้ค่าเฉลี่ยของค่าความผิดพลาดของเวกเตอร์ความผิดพลาด จำนวนรอบในการคำนวณหาค่าเมตริกซ์ A ไม่ค่อยมีผลมากนักต่อค่าเกณฑ์ในการตัดสินใจว่าระบบโครงข่ายเกิดความผิดปกติ

4.3.2 จำนวนรอบที่ใช้ในการหาค่าเมตริกซ์ A มีค่าคงที่เท่ากับ 14 รอบ แต่ปรับเปลี่ยนค่าความกว้างของหน้าต่างในการตรวจจับความผิดปกติของระบบโครงข่าย

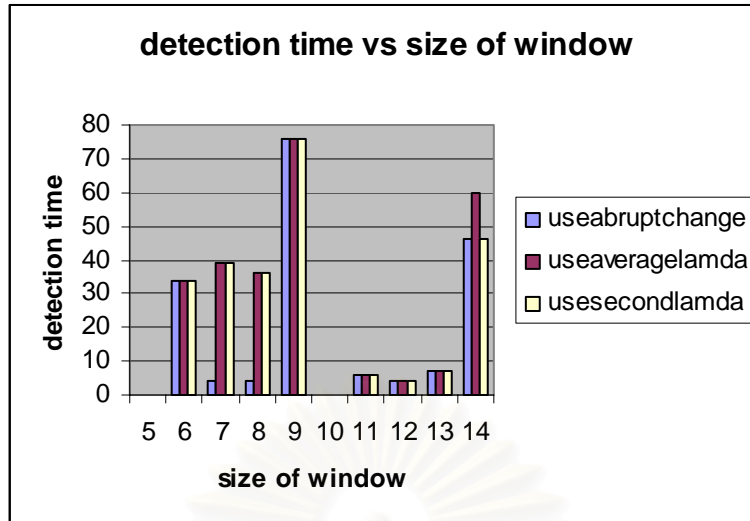
ในการทดลองเพื่อทดสอบประสิทธิภาพของวิธีการตรวจจับความผิดปกติแบบทันทีทันใดที่นำเสนอทั้งสิ้น 3 วิธี ในส่วนแรกนั้นได้ผลการทดลองดังรูปที่ 4.11-4.15



รูปที่ 4.11 ความสัมพันธ์ระหว่างเวลาที่สามารถตรวจจับความผิดปกติก่อนเกิดความเสียหายและขนาดความกว้างของหน้าต่างที่ใช้ในการตรวจจับความผิดปกติ

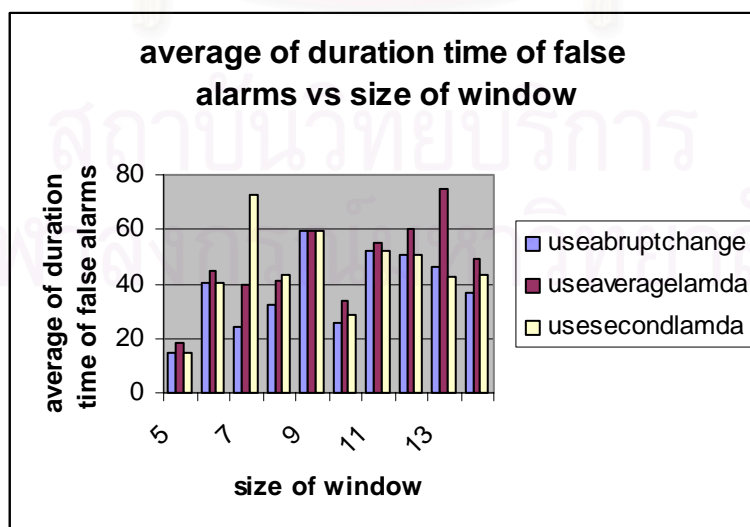
จากผลการทดลองดังรูปที่ 4.11 ขนาดของหน้าต่างที่ใช้ในการตรวจจับความผิดปกติของระบบโครงข่ายที่แตกต่างกันจะให้ผลของเวลาที่สามารถตรวจจับความผิดปกติก่อนเกิดความเสียหายที่แตกต่างกัน โดยที่ทั้ง 3 วิธีที่ทดสอบนั้นให้ผลของเวลาที่สามารถตรวจจับความผิดปกติก่อนเกิดความเสียหายเท่ากันทุกขนาดหน้าต่างที่ใช้ในการตรวจจับความผิดปกติ ที่เป็นเช่นนี้เนื่องจากกราฟฟีกที่ใกล้กับช่วงเวลาที่ 500 มีการเกิดการเปลี่ยนแปลงเป็นอย่างมากเป็นผลให้ค่าความผิดปกติในช่วงนี้มีค่าที่สูงมาก ดังนั้นค่าเกณฑ์ของทั้ง 3 วิธีซึ่งให้ค่าเกณฑ์ที่แตกต่างกัน ไม่มีผลเพราะ ค่าความผิดปกติของโนดเกินค่าเกณฑ์ของทั้ง 3 วิธี

จุฬาลงกรณ์มหาวิทยาลัย



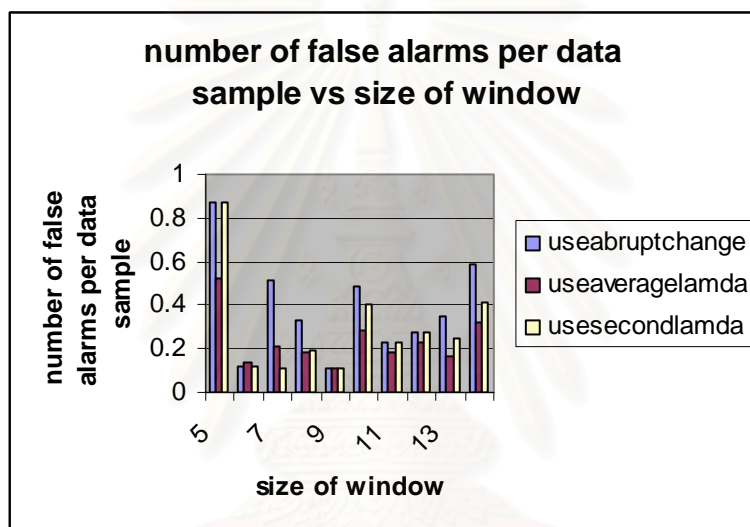
รูปที่ 4.12 ความสัมพันธ์ระหว่างค่าเฉลี่ยของเวลาที่สามารถตรวจจับความผิดปกติหลังเกิดความเสียหายและขนาดความกว้างของหน้าต่างที่ใช้ในการตรวจจับความผิดปกติ

จากผลการทดลองดังรูปที่ 4.12 จะเห็นได้ว่าขนาดของหน้าต่างที่ใช้ในการตรวจจับความผิดปกติของระบบโครงข่ายที่แตกต่างกันและการเลือกใช้วิธีที่หาค่าเกณฑ์แตกต่างกัน จะให้ผลของเวลาที่สามารถตรวจจับความผิดปกติหลังเกิดความเสียหายที่แตกต่างกัน ซึ่งเป็นผลมาจากค่าเกณฑ์ที่เลือกใช้เพื่อระบุว่าระบบโครงข่ายเกิดความผิดปกติหรือไม่มีค่าที่ต่างกัน และที่ขนาดหน้าต่างเท่ากันนั้น บางขนาดหน้าต่างเวลาที่สามารถตรวจจับความผิดปกติหลังเกิดความเสียหายมีค่าต่างกัน ที่เป็นเช่นนั้นเนื่องจากค่าความผิดปกติของโหนดอาจไม่มากเกินค่าเกณฑ์ของบางวิธีทำให้เวลาที่สามารถตรวจจับความผิดปกติหลังเกิดความเสียหายที่แตกต่างกัน



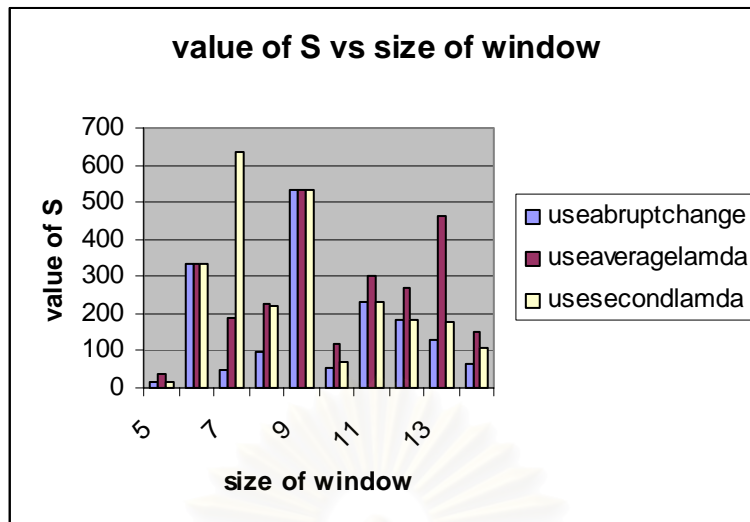
รูปที่ 4.13 ความสัมพันธ์ระหว่างค่าเฉลี่ยของช่วงเวลาที่เกิดสัญญาณเตือนที่ผิดพลาดและขนาดความกว้างของหน้าต่างที่ใช้ในการตรวจจับความผิดปกติ

จากผลการทดลองดังรูปที่ 4.13 จะเห็นได้ว่า ขนาดหน้าต่างที่ใช้ในการตรวจจับความผิดปกติของระบบโครงข่ายที่แตกต่างกันจะให้ผลของค่าเฉลี่ยของช่วงสัญญาณเตือนที่ผิดพลาดที่แตกต่างกัน ซึ่งเป็นผลมาจากค่าเกณฑ์ที่เลือกใช้เพื่อระบุว่าจะระบบโครงข่ายเกิดความผิดปกติหรือไม่ค่าที่ต่างกัน และวิธีที่นำเสนอทั้ง 2 วิธีคือ การเลือกใช้ค่ากลางของค่าความผิดพลาดของเวกเตอร์ความผิดพลาด และการเลือกใช้ค่าเฉลี่ยของค่าความผิดพลาดของเวกเตอร์ความผิดพลาด ให้ผลของค่าเฉลี่ยของช่วงสัญญาณเตือนที่ผิดพลาดที่สูงกว่าวิธีการตรวจจับความผิดปกติของระบบโครงข่ายแบบทันทีทันใด ที่เป็นเช่นนี้เนื่องจากค่าเกณฑ์ของทั้ง 2 วิธีมีค่าที่สูงกว่า



รูปที่ 4.14 ความสัมพันธ์ระหว่างจำนวนสัญญาณเตือนที่ผิดพลาดต่อจำนวนหน้าต่างข้อมูลและขนาดความกว้างของหน้าต่างที่ใช้ในการตรวจจับความผิดปกติ

จากผลการทดลองดังรูปที่ 4.14 จะเห็นได้ว่าขนาดหน้าต่างที่ใช้ในการตรวจจับความผิดปกติของระบบโครงข่ายที่แตกต่างกันจะให้ผลของจำนวนสัญญาณเตือนที่ผิดพลาดต่อจำนวนหน้าต่างข้อมูลที่แตกต่างกัน ซึ่งเป็นผลมาจากค่าเกณฑ์ที่เลือกใช้เพื่อระบุว่าจะระบบโครงข่ายเกิดความผิดปกติหรือไม่ค่าที่ต่างกัน และวิธีที่นำเสนอทั้ง 2 วิธีคือ การเลือกใช้ค่ากลางของค่าความผิดพลาดของเวกเตอร์ความผิดพลาด และการเลือกใช้ค่าเฉลี่ยของค่าความผิดพลาดของเวกเตอร์ความผิดพลาด ให้ผลของจำนวนสัญญาณเตือนที่ผิดพลาดต่อจำนวนหน้าต่างข้อมูลที่ต่ำกว่าวิธีการตรวจจับความผิดปกติของระบบโครงข่ายแบบทันทีทันใด ที่เป็นเช่นนี้เนื่องจากค่าเกณฑ์ของทั้ง 2 วิธีมีค่าที่สูงกว่า



รูปที่ 4.15 ความสัมพันธ์ระหว่าง *value of S* และขนาดหน้าต่างที่ใช้ในการตรวจจับความผิดปกติของระบบโครงข่าย

จากผลการทดลองในกรณีนี้จะเห็นได้ว่า ขนาดหน้าต่างที่ใช้ในการตรวจจับความผิดปกติที่เปลี่ยนไป จะให้ผลของค่า *S* ที่แตกต่างกัน และวิธีที่น่าเสนอทั้ง 2 วิธีคือ การเลือกใช้ค่ากลางของค่าความผิดพลาดของเวกเตอร์ความผิดพลาด และการเลือกใช้ค่าเฉลี่ยของค่าความผิดพลาดของเวกเตอร์ความผิดพลาด ให้ผลของค่า *S* ที่สูงกว่าวิธีการตรวจจับความผิดปกติของระบบโครงข่ายแบบทันทีทันใด ในทุกขนาดหน้าต่าง ที่เป็นเช่นนี้เนื่องจากค่าเกณฑ์ของทั้ง 2 วิธีมีค่าที่สูงกว่า

4.3.3 สรุปผลการทดลอง

จากผลการทดลองจะเห็นได้ว่าจำนวนหน้าต่างที่ใช้ในการตรวจจับความผิดปกติของระบบโครงข่าย จำนวนรอบที่ใช้ในการคำนวณเมตริกซ์ *A* และวิธีการที่เราเลือกใช้ในการหาค่าเกณฑ์ในการระบุว่าเกิดความผิดปกติในโครงข่ายหรือไม่ มีผลต่อประสิทธิภาพในการตรวจจับความผิดปกติของระบบโครงข่าย ดังนั้นเราควรที่จะทดสอบเพื่อหาขนาดความกว้างหน้าต่างที่เหมาะสมที่สุดและจำนวนรอบที่ใช้ในการคำนวณเมตริกซ์ *A* ที่เหมาะสมที่สุดเช่นเดียวกัน เพื่อที่จะได้ประสิทธิภาพที่ดีที่สุดในการตรวจจับความผิดปกติของระบบโครงข่าย

บทที่ 5

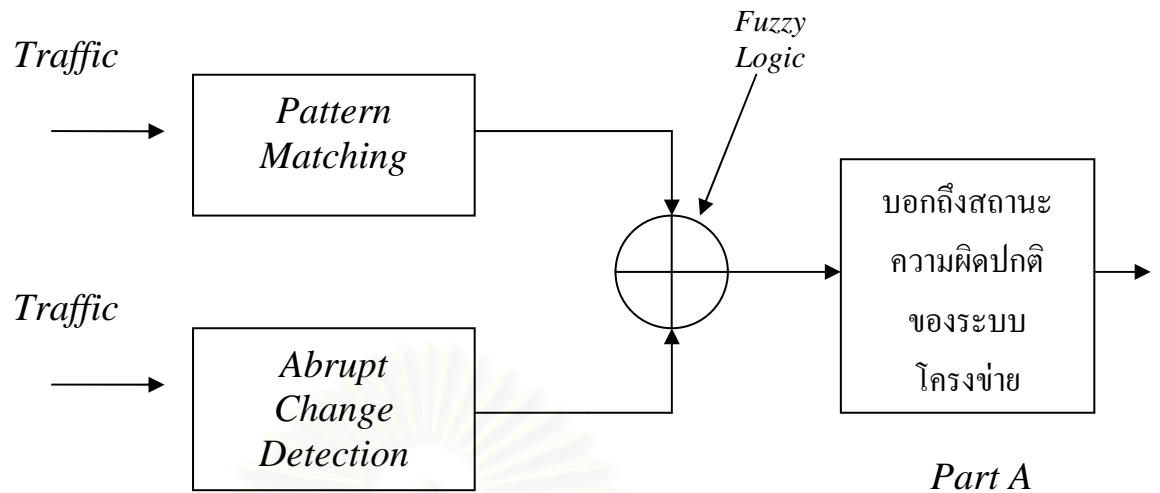
วิธีการตรวจจับความผิดปกติแบบเปรียบเทียบรูปแบบกราฟฟิกร่วมกับการเปลี่ยนแปลงทันทีทันใดโดยใช้กรรมวิธีของฟัซซีในการตัดสินใจ

ในบทที่ผ่านมาเราได้มีการนำเสนอเนื้อหาทางทฤษฎีของวิธีการตรวจจับความผิดปกติของระบบโครงข่ายแบบเปรียบเทียบรูปแบบกราฟฟิก (*Pattern Matching*) และการเปลี่ยนแปลงทันทีทันใด (*Abrupt Change*) ซึ่งได้เห็นถึงข้อดีข้อเสียของวิธีการทั้งสองในการตรวจจับความผิดปกติของระบบโครงข่าย ดังนั้นในบทนี้เราจะนำเสนอวิธีการตรวจจับความผิดปกติของระบบโครงข่ายโดยใช้วิธีการเปรียบเทียบรูปแบบกราฟฟิกร่วมกับการเปลี่ยนแปลงทันทีทันใดโดยใช้กรรมวิธีของฟัซซี (*Fuzzy*) ในการตัดสินใจ โดยที่ฟังก์ชันการเป็นสมาชิกของวิธีการตรวจจับความผิดปกติของระบบโครงข่ายของวิธีการเปรียบเทียบรูปแบบกราฟฟิกและการเปลี่ยนแปลงทันทีทันใดของค่าที่ผิดปกติและไม่ผิดปกติจะเป็นแบบรูปสามเหลี่ยมและสี่เหลี่ยมคางหมู อีกทั้งยังวิเคราะห์ถึงผลของขนาดหน้าต่างที่ใช้ในการตรวจจับความผิดปกติที่มีผลต่อความแน่นอนในการตรวจจับความผิดปกติที่อาจจะเกิดขึ้นในอนาคต

เนื้อหาในบทที่ 5 นี้จะแบ่งเป็น 3 ส่วน โดยส่วนที่ 1 จะเกี่ยวข้องกับวิธีการที่เรานำเสนอในการตรวจจับความผิดปกติแบบเปรียบเทียบรูปแบบกราฟฟิกร่วมกับการเปลี่ยนแปลงทันทีทันใด ส่วนที่ 2 แสดงถึงดัชนีชี้วัดที่ใช้ในการประเมินประสิทธิภาพของวิธีตรวจจับความผิดปกติของระบบโครงข่าย ส่วนที่ 3 จะแสดงถึงผลการทดลองและสรุปผลการทดลอง

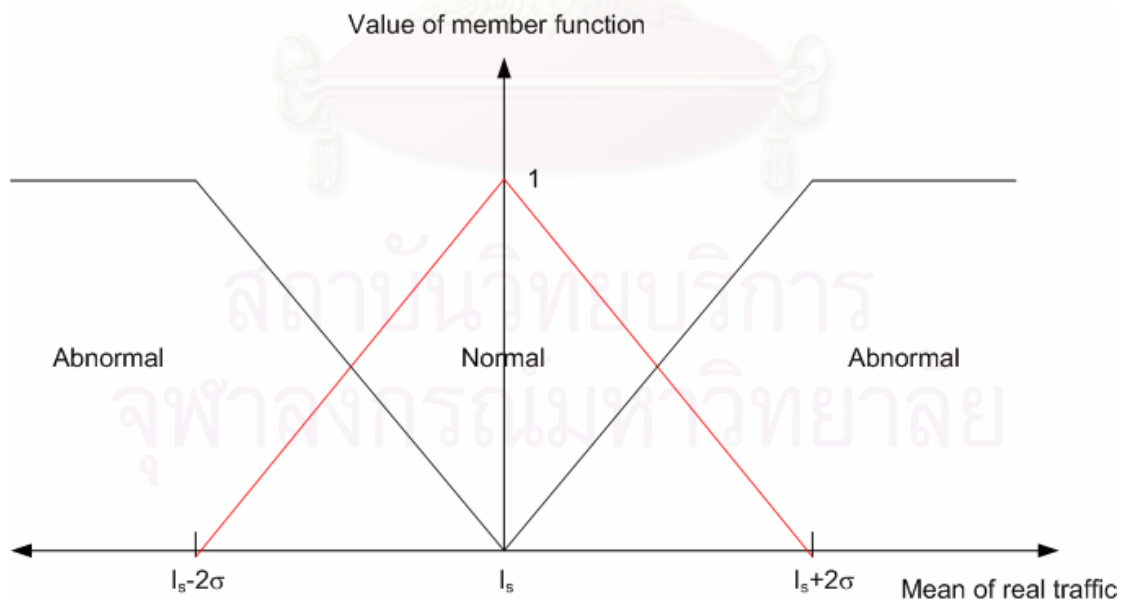
5.1 วิธีการตรวจจับความผิดปกติแบบเปรียบเทียบรูปแบบกราฟฟิกร่วมกับการเปลี่ยนแปลงทันทีทันใดโดยใช้กรรมวิธีของฟัซซีในการตัดสินใจ

โดยการตรวจจับความผิดปกติของกราฟฟิกนี้ เราจะใช้ 2 วิธี ร่วมกันในการตรวจจับความผิดปกติของระบบโครงข่ายเบื้องต้น ในการบอกว่าข้อมูลในช่วงนั้นมีความผิดปกติมากน้อยเพียงใด เราจะนำวิธีการของการตรวจจับความผิดปกติแบบเปรียบเทียบรูปแบบกราฟฟิก และ แบบเปลี่ยนแปลงทันทีทันใด ร่วมกันในการตรวจจับความผิดปกติ โดยที่ใช้กรรมของฟัซซี มาใช้เป็นหลักในการตัดสินใจว่าในใดในระบบโครงข่ายเกิดความผิดปกติหรือไม่ แสดงดังรูปที่ 5.1

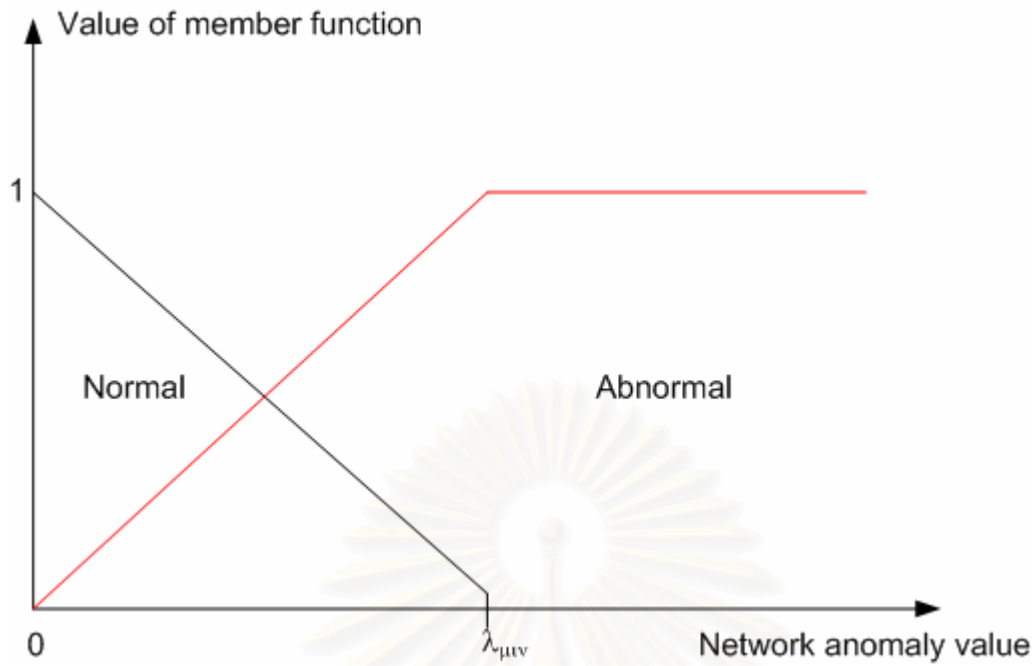


รูปที่ 5.1 การตรวจจับความผิดปกติของระบบโครงข่ายโดยใช้วิธีการเปรียบเทียบรูปแบบทราฟฟิก ร่วมกับการเปลี่ยนแปลงทันทีทันใดโดยใช้กรรมวิธีฟัซซีในการตัดสินใจ

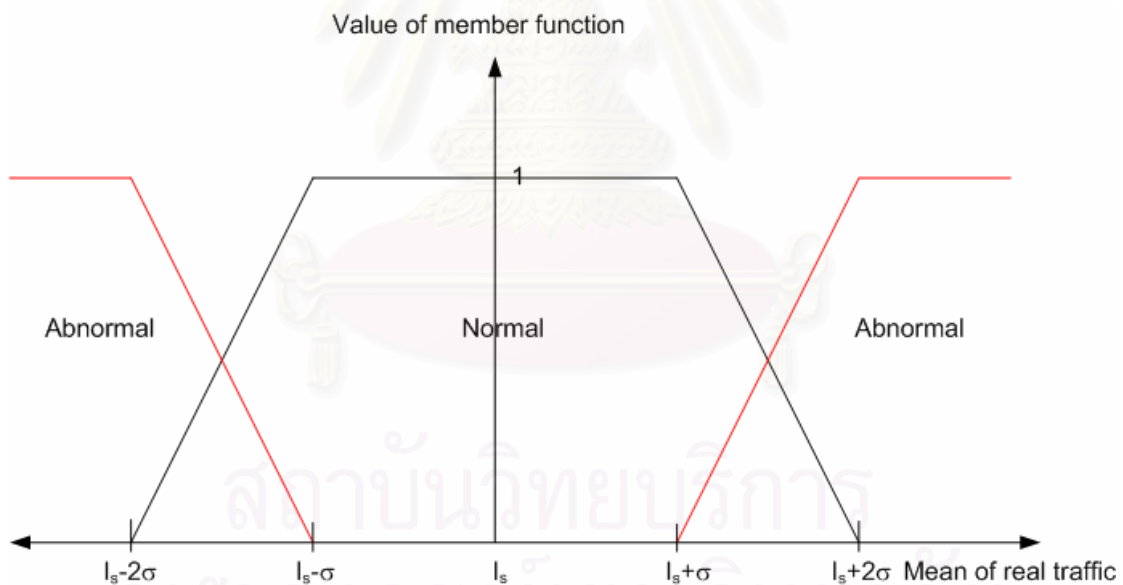
ในการใช้วิธีฟัซซีต้องมีการกำหนดฟังก์ชันการเป็นสมาชิกขึ้นมา ซึ่งในที่นี้เรามีการกำหนดให้ฟังก์ชันการเป็นสมาชิกของวิธีการตรวจจับความผิดปกติของระบบโครงข่ายแบบเปรียบเทียบรูปแบบทราฟฟิกและเปลี่ยนแปลงทันทีทันใด เป็นแบบรูปสามเหลี่ยมและสี่เหลี่ยมคางหมู ประกอบไปด้วย แบบ A และ แบบ B แสดงดังรูปที่ 5.2-5.9



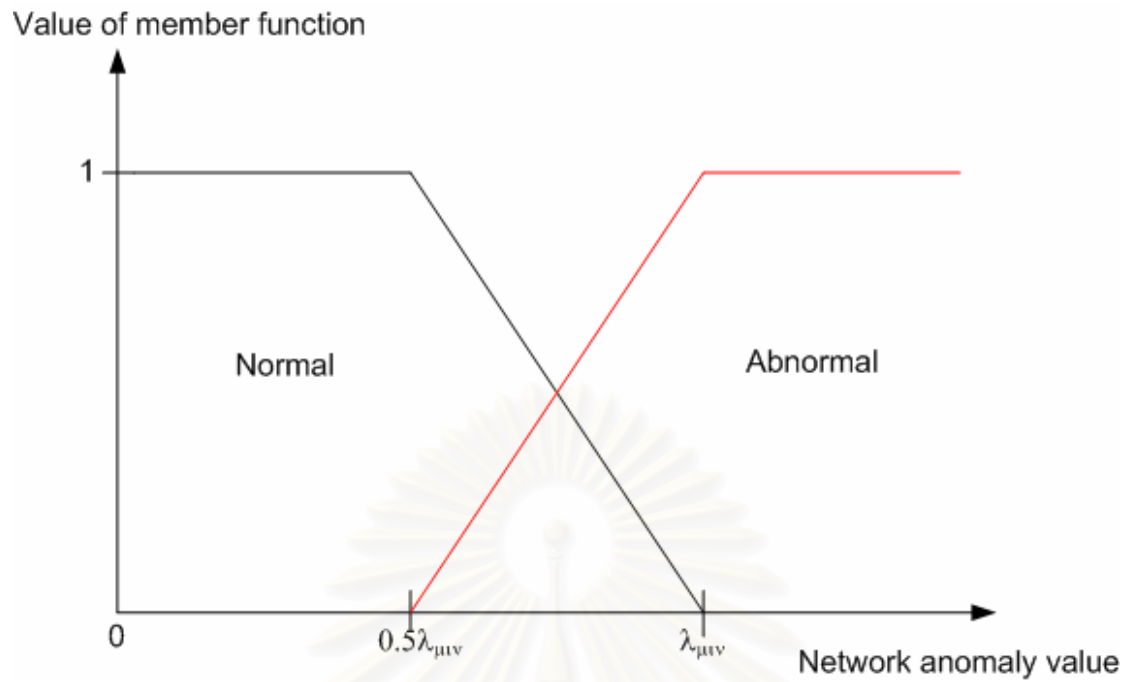
รูปที่ 5.2 ฟังก์ชันการเป็นสมาชิกของ วิธีการตรวจจับความผิดปกติของระบบโครงข่ายแบบ เปรียบเทียบรูปแบบทราฟฟิกแบบสามเหลี่ยม แบบ A



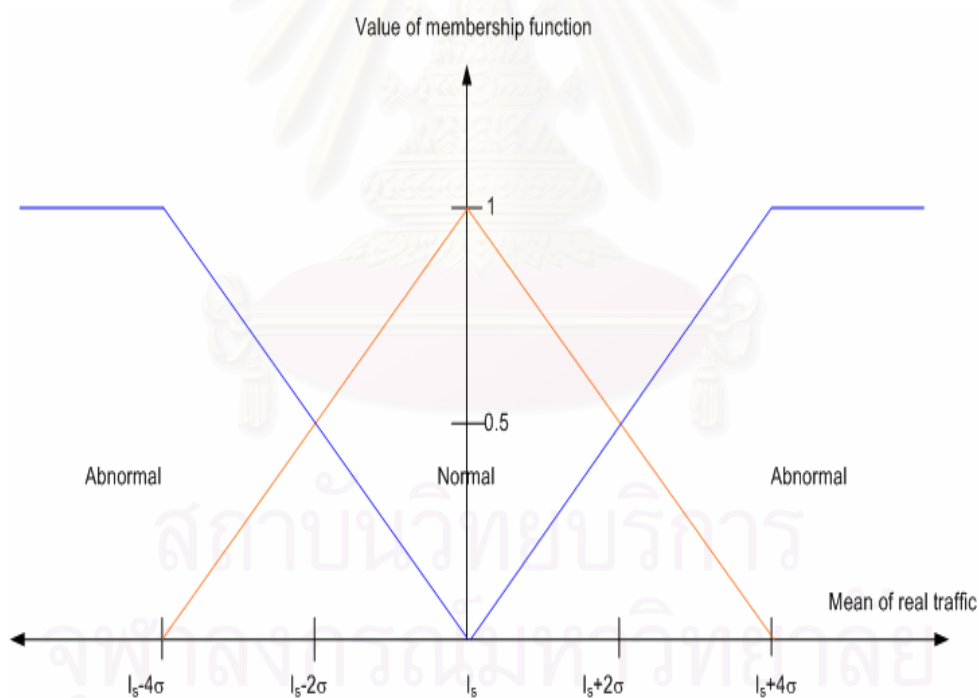
รูปที่ 5.3 ฟังก์ชันการเป็นสมาชิกของวิธีการตรวจจับความผิดปกติของระบบโครงข่ายแบบ
เปลี่ยนแปลงทันทีทันใดแบบสามเหลี่ยม แบบ A



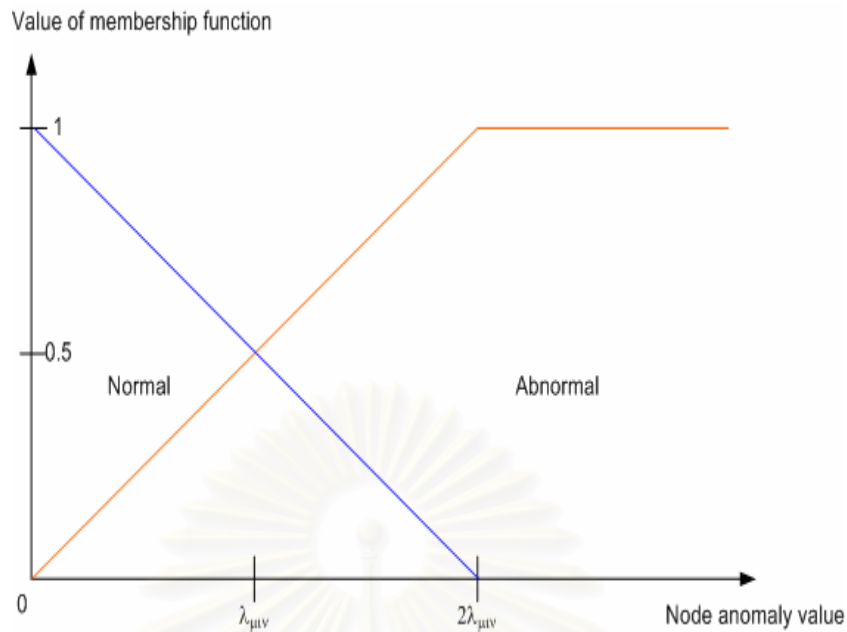
รูปที่ 5.4 ฟังก์ชันการเป็นสมาชิกของวิธีการตรวจจับความผิดปกติของระบบโครงข่ายแบบ
เปรียบเทียบรูปแบบทราฟฟิก แบบสี่เหลี่ยมคางหมู แบบ A



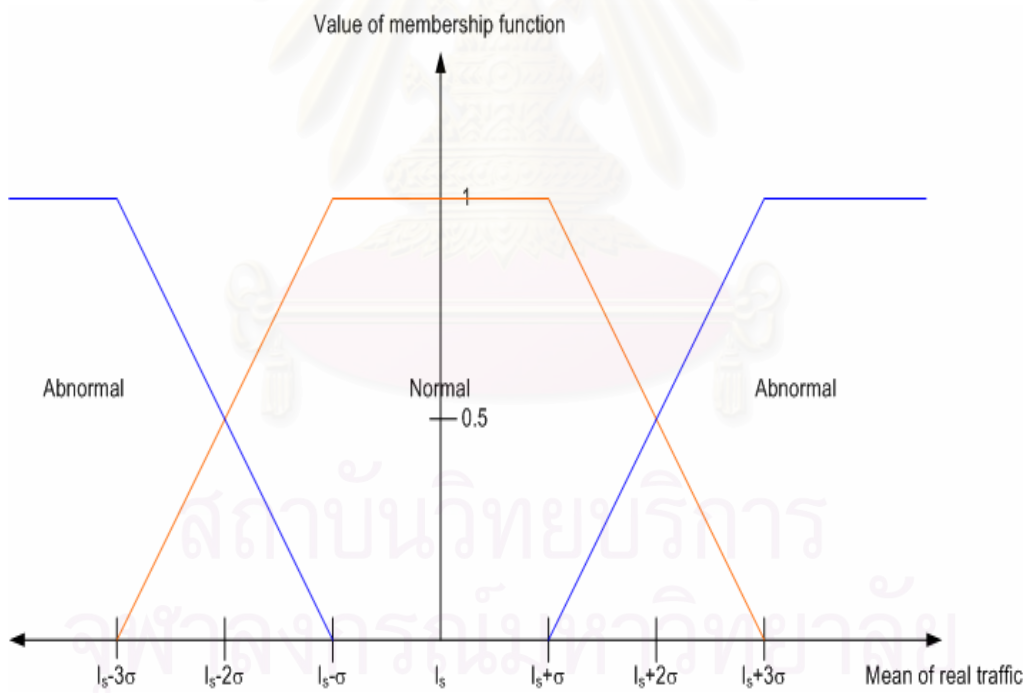
รูปที่ 5.5 ฟังก์ชันการเป็นสมาชิกของวิธีการตรวจจับความผิดปกติของระบบโครงข่ายแบบเปลี่ยนแปลงทันทีทันใด แบบสี่เหลี่ยมคางหมู แบบ A



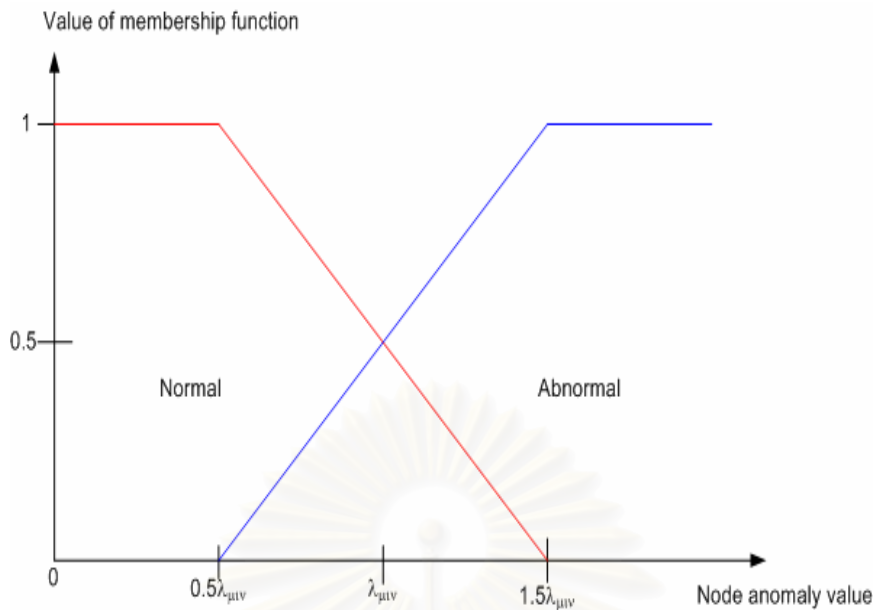
รูปที่ 5.6 ฟังก์ชันการเป็นสมาชิกของ วิธีการตรวจจับความผิดปกติของระบบโครงข่ายแบบเปรียบเทียบรูปแบบกราฟฟิกแบบสามเหลี่ยม แบบ B



รูปที่ 5.7 ฟังก์ชันการเป็นสมาชิกของวิธีการตรวจจับความผิดปกติของระบบโครงข่ายแบบ
เปลี่ยนแปลงทันทีทันใดแบบสามเหลี่ยม แบบ B



รูปที่ 5.8 ฟังก์ชันการเป็นสมาชิกของวิธีการตรวจจับความผิดปกติของระบบโครงข่ายแบบ
เปรียบเทียบรูปแบบทราฟฟิก แบบสี่เหลี่ยมคางหมู แบบ B



รูปที่ 5.9 ฟังก์ชันการเป็นสมาชิกของวิธีการตรวจจับความผิดปกติของระบบโครงข่ายแบบเปลี่ยนแปลงทันทีทันใด แบบสี่เหลี่ยมคางหมู แบบ B

โดยที่ แบบ A นั้นเป็นการกำหนดฟังก์ชันการเป็นสมาชิกแบบอินเอียงไปทางทางด้านความผิดปกติ แต่แบบ B นั้นเป็นการกำหนดฟังก์ชันการเป็นสมาชิกแบบมีความยุติธรรม เนื่องจากวิธีการตรวจจับความผิดปกติแบบเปรียบเทียบรูปแบบทราฟฟิกและแบบทันทีทันใดมีค่าเกณฑ์ของความผิดปกติอยู่ที่ $\pm 2\sigma$ และ λ_{\min} ตามลำดับ ดังนั้นค่านี้จึงกำหนดให้ค่าฟังก์ชันการเป็นสมาชิกของสถานะปกติและสถานะผิดปกติของแต่ละวิธี มีค่าฟังก์ชันการเป็นสมาชิกเป็น 0.5

ในที่นี้กำหนดให้ทั้งวิธีการตรวจจับความผิดปกติแบบเปรียบเทียบรูปแบบทราฟฟิกและแบบทันทีทันใด มีสถานะของโหนดทั้งสิ้น 2 สถานะ คือ 0 แทนสถานะที่ไม่เกิดความผิดปกติ และ 1 แทนสถานะที่เกิดความผิดปกติ หลังจากนั้นต้องมีการกำหนดสถานะของโหนดเมื่อสถานะของแต่ละวิธีในการตรวจจับความผิดปกติแสดงขึ้น แสดงดังตารางที่ 5.1-5.4

		Pattern Matching		
		Normal(0)	Alarm(1)	
Normal(0)	0	0	Abrupt Change Detection	
Alarm(1)	1	1		

ตารางที่ 5.1 การเปลี่ยนสถานะของโหนดเมื่อมีการใช้ข้อมูลแสดงสถานะความผิดปกติของวิธีตรวจจับความผิดปกติแบบเปรียบเทียบรูปแบบทราฟฟิก และ เปลี่ยนแปลงทันทีทันใดในกรณีที่เชื่อในวิธีของการเปลี่ยนแปลงทันทีทันใด

Pattern Matching

	<i>Normal(0)</i>	<i>Alarm(1)</i>	
<i>Normal(0)</i>	0	1	<i>Abrupt</i>
<i>Alarm(1)</i>	0	1	<i>Change</i>

Detection

ตารางที่ 5.2 การเปลี่ยนสถานะของโนดเมื่อมีการใช้ข้อมูลแสดงสถานะความผิดปกติของวิธีตรวจจับความผิดปกติแบบเปรียบเทียบรูปแบบทราฟฟิก และ เปลี่ยนแปลงทันทีทันใดในกรณีที่เกี่ยวข้องในวิธีของการเปรียบเทียบรูปแบบทราฟฟิก

Pattern Matching

	<i>Normal(0)</i>	<i>Alarm(1)</i>	
<i>Normal(0)</i>	0	1	<i>Abrupt</i>
<i>Alarm(1)</i>	1	1	<i>Change</i>

Detection

ตารางที่ 5.3 การเปลี่ยนสถานะของโนดเมื่อมีการใช้ข้อมูลแสดงสถานะความผิดปกติของวิธีตรวจจับความผิดปกติแบบเปรียบเทียบรูปแบบทราฟฟิก และ เปลี่ยนแปลงทันทีทันใด ในกรณีที่เกี่ยวข้องในวิธีของการเปรียบเทียบรูปแบบทราฟฟิกและ เปลี่ยนแปลงทันทีทันใด

Pattern Matching

	<i>Normal(0)</i>	<i>Alarm(1)</i>	
<i>Normal(0)</i>	0	0	<i>Abrupt</i>
<i>Alarm(1)</i>	0	1	<i>Change</i>

Detection

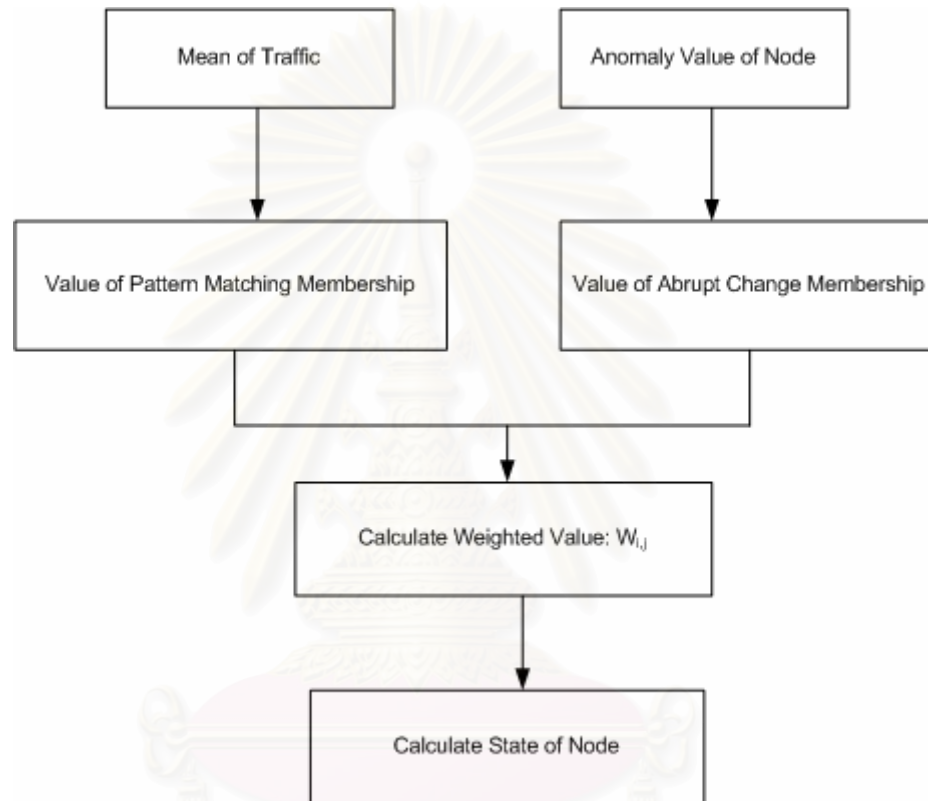
ตารางที่ 5.4 การเปลี่ยนสถานะของโนดเมื่อมีการใช้ข้อมูลแสดงสถานะความผิดปกติของวิธีตรวจจับความผิดปกติแบบเปรียบเทียบรูปแบบทราฟฟิก และ เปลี่ยนแปลงทันทีทันใดในกรณีที่เกี่ยวข้องว่าจะเกิดความผิดปกติขึ้นถ้าสถานะความผิดปกติของวิธีของการเปรียบเทียบรูปแบบทราฟฟิก และเปลี่ยนแปลงทันทีทันใดมีสถานะผิดปกติ

โดยที่ $w_{i,j}$ คือ ค่าถ่วงน้ำหนักของ สถานะที่ i ของวิธีตรวจจับความผิดปกติแบบเปลี่ยนแปลงทันทีทันใดและ สถานะที่ j ของวิธีเปรียบเทียบรูปแบบทราฟฟิก และผลของสถานะของโนดในระบบโครงข่ายหาได้จากสมการที่ (5.1) และ (5.2) ตามลำดับ

$$w_{i,j} = \min\{F_{state}(Abruptchange), F_{state}(Patternmatch)\} \quad (5.1)$$

$$State_of_node = \frac{\sum w_{i,j} * state}{\sum w_{i,j}} \quad (5.2)$$

หลักการในการดำเนินงานของวิธีการตรวจจับความผิดปกติแบบเปรียบเทียบรูปแบบทราฟฟิก ร่วมกับการเปลี่ยนแปลงทันทีทันใดโดยกรรมวิธีการของฟuzzy ในการตัดสินใจแสดงดังรูปที่ 5.10



รูปที่ 5.10 การดำเนินงานของการตรวจจับความผิดปกติโดยใช้ฟuzzy

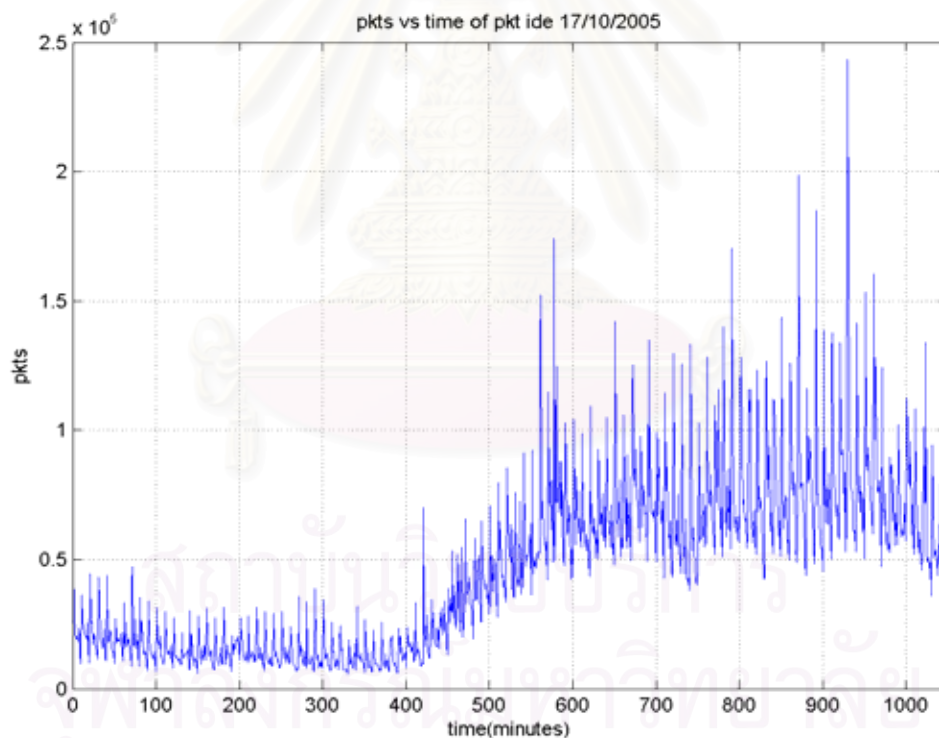
จากรูป 5.10 จะเห็นว่าขั้นตอนการดำเนินงานของวิธีฟuzzy เริ่มจาก วิธีการตรวจจับความผิดปกติแบบเปรียบเทียบรูปแบบทราฟฟิก คำนวณหาค่าเฉลี่ยของทราฟฟิก เช่นเดียวกับวิธีการตรวจจับความผิดปกติแบบทันทีทันใด คำนวณหาค่าความผิดปกติของโหนด หลังจากนั้นนำค่าทั้งสองไปหาฟังก์ชันการเป็นสมาชิกของแต่ละวิธีจากรูปที่ 5.2-5.9 เมื่อคำนวณหาค่าฟังก์ชันการเป็นสมาชิกแล้ว ทำการคำนวณค่าถ่วงน้ำหนักของสถานะที่ i ของวิธีตรวจจับความผิดปกติแบบเปลี่ยนแปลงทันทีทันใดและ สถานะที่ j ของวิธีเปรียบเทียบรูปแบบทราฟฟิก ตามสมการที่ (5.1) หลังจากนั้นจะทำการคำนวณสถานะของโหนดโดยสมการที่ (5.2) โดยถ้าค่าสถานะของโหนดมีค่าใกล้เคียง 0 (สถานะปกติ) มากกว่า 1 (สถานะผิดปกติ) แสดงว่าในขณะนั้นโหนดที่ถูกตรวจจับความผิดปกติอยู่ในสถานะปกติ ในทางตรงกันข้าม โหนดจะอยู่ในสถานะผิดปกติ

5.2 ดัชนีชี้วัดที่ใช้ในการประเมินประสิทธิภาพของวิธีตรวจจับความผิดปกติของระบบโครงข่าย

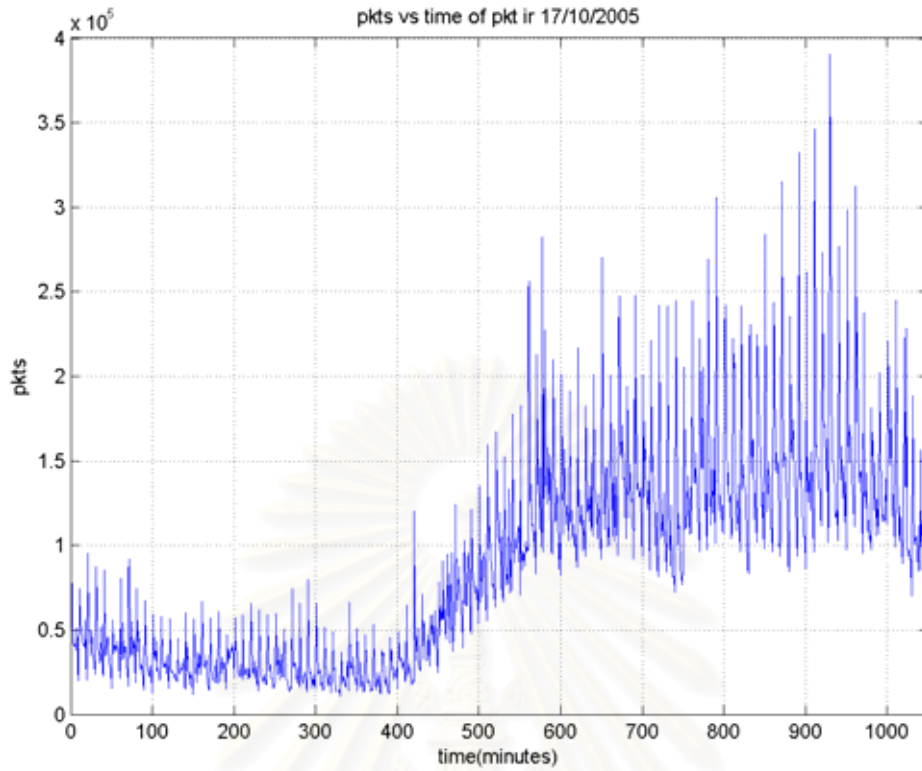
ดัชนีชี้วัดในการประเมินประสิทธิภาพของวิธีตรวจจับความผิดปกติของระบบโครงข่ายในบทนี้จะใช้ดัชนีชี้วัดเหมือนกับดัชนีชี้วัดในบทที่ 4 (หน้าที่ 47-48)

5.3 ผลการทดลองและสรุปผลการทดลอง

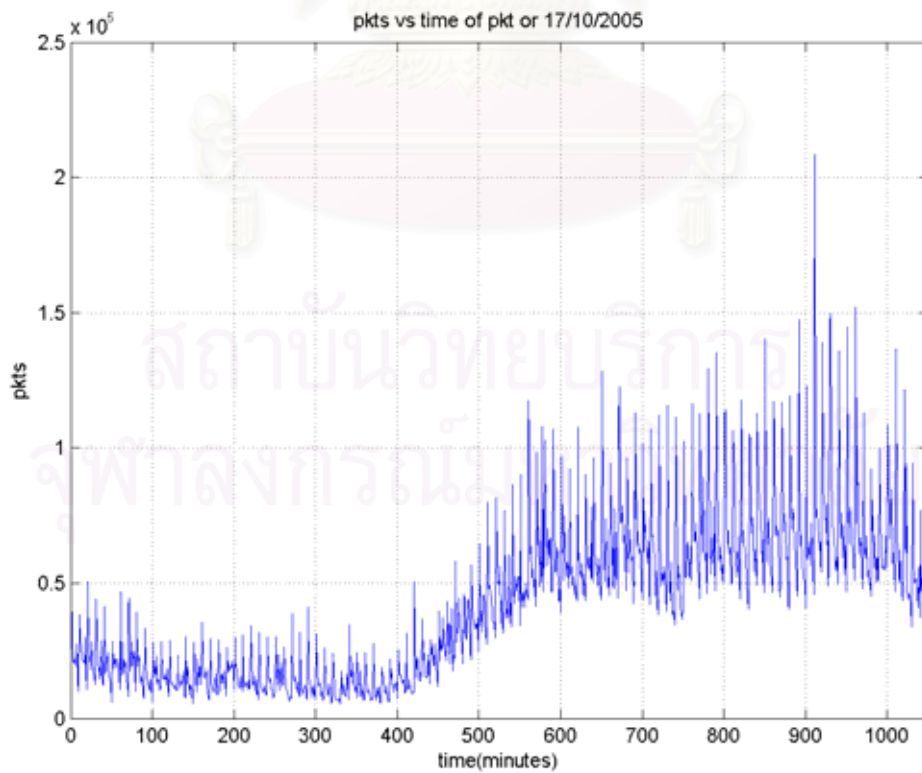
โดยการทดลองนี้เราจะใช้ข้อมูลทราฟฟิกจากโครงข่ายของจุฬาลงกรณ์มหาวิทยาลัย จำนวนทั้งสิ้น 6 วัน ในการตรวจจับความผิดปกติของระบบโครงข่าย ซึ่งประกอบไปด้วย วันที่ 17, 18, 19, 20, 21 และ 24 ของเดือนตุลาคม พ.ศ.2548 ซึ่งแสดงดังรูปที่ 5.11-5.28



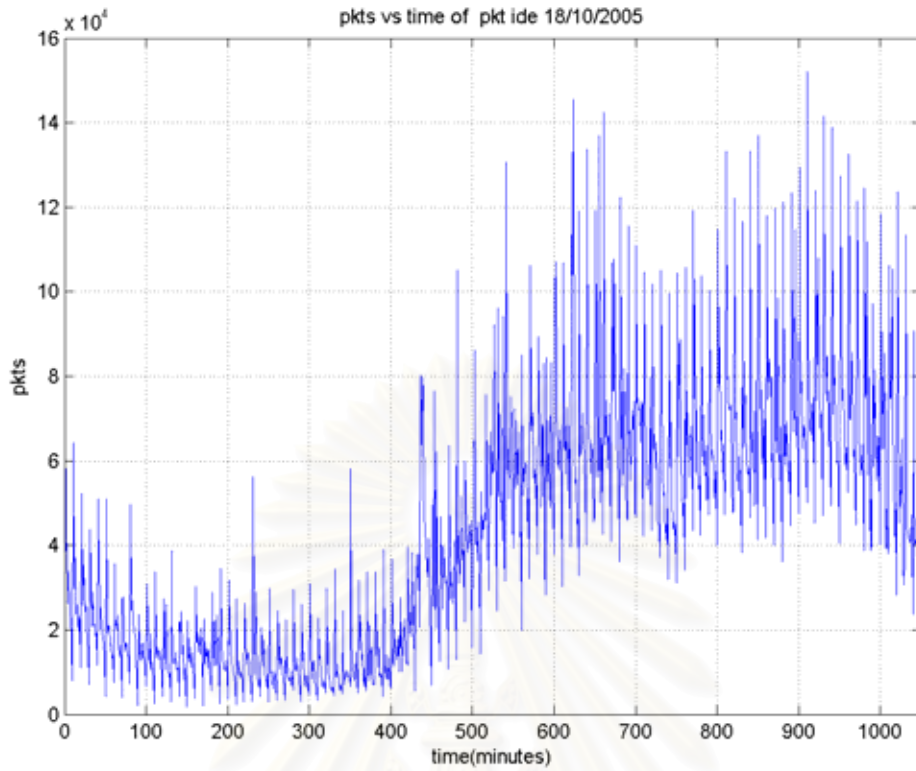
รูปที่ 5.11 ข้อมูล *ipIDE* ของรูลเตอร์ 7513 ในวันที่ 17/10/2005



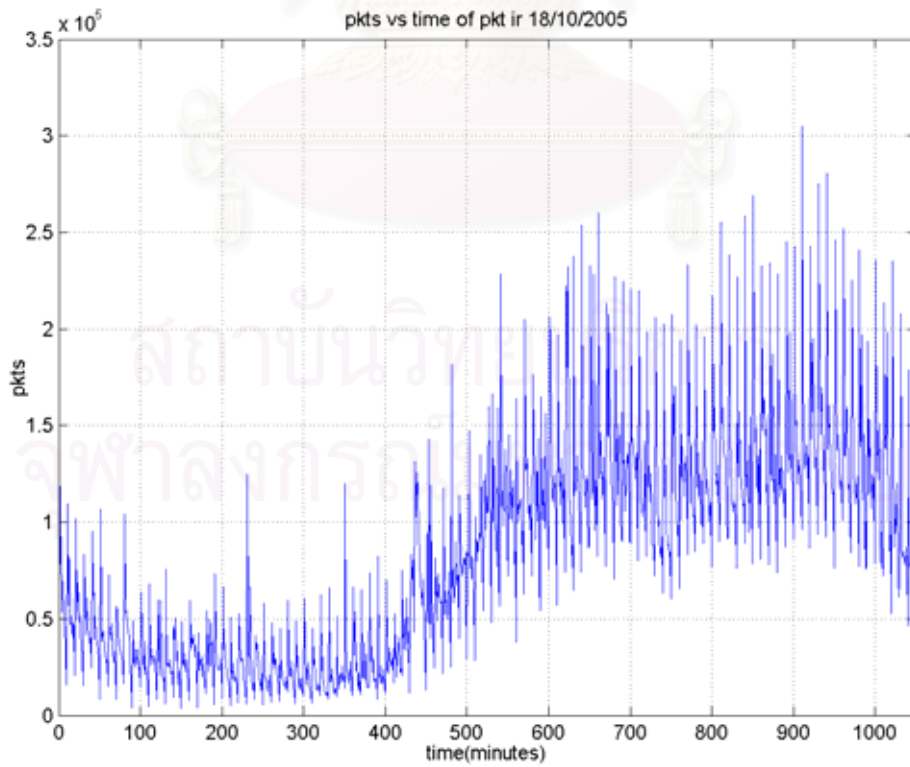
รูปที่ 5.12 ข้อมูล *ipIR* ของรูกทเทอร์ 7513 ในวันที่ 17/10/2005



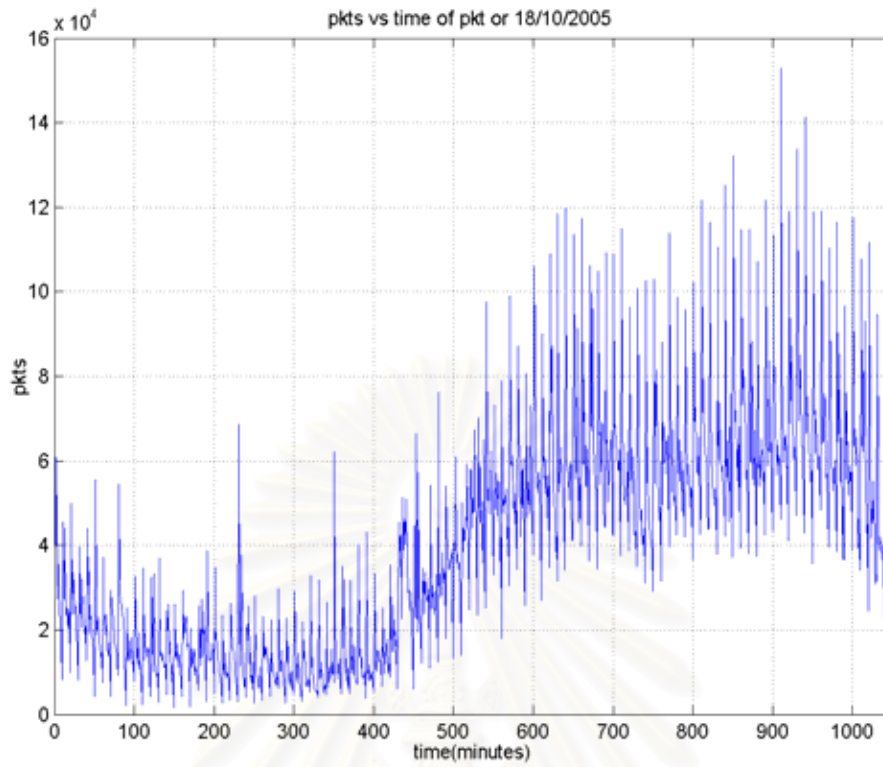
รูปที่ 5.13 ข้อมูล *ipOR* ของรูกทเทอร์ 7513 ในวันที่ 17/10/2005



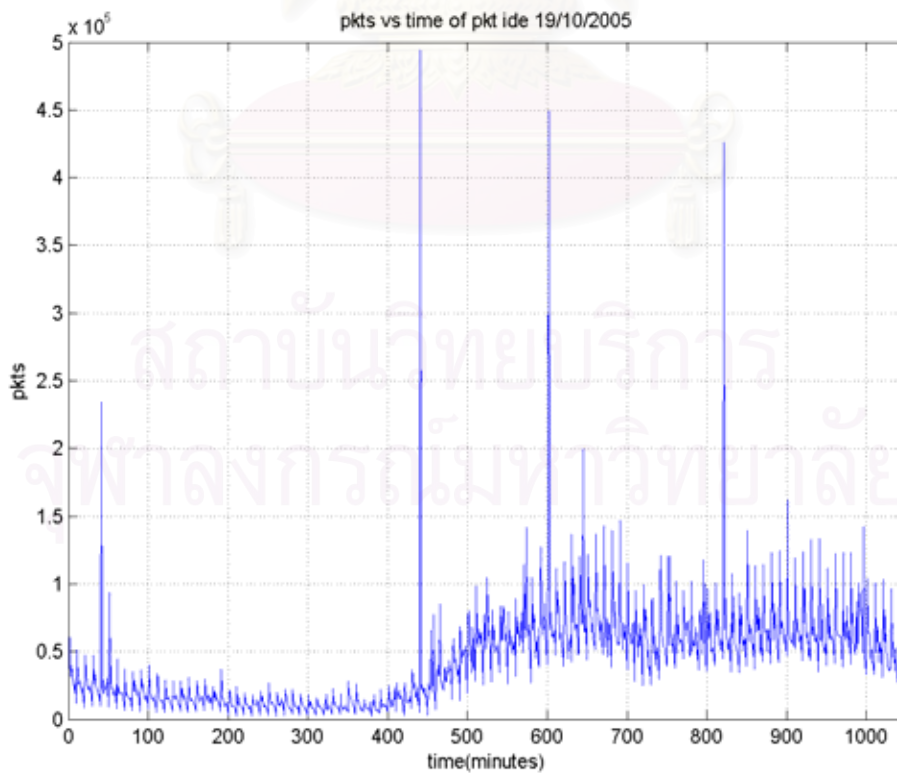
รูปที่ 5.14 ข้อมูล *ipIDE* ของรูกทเทอร์ 7513 ในวันที่ 18/10/2005



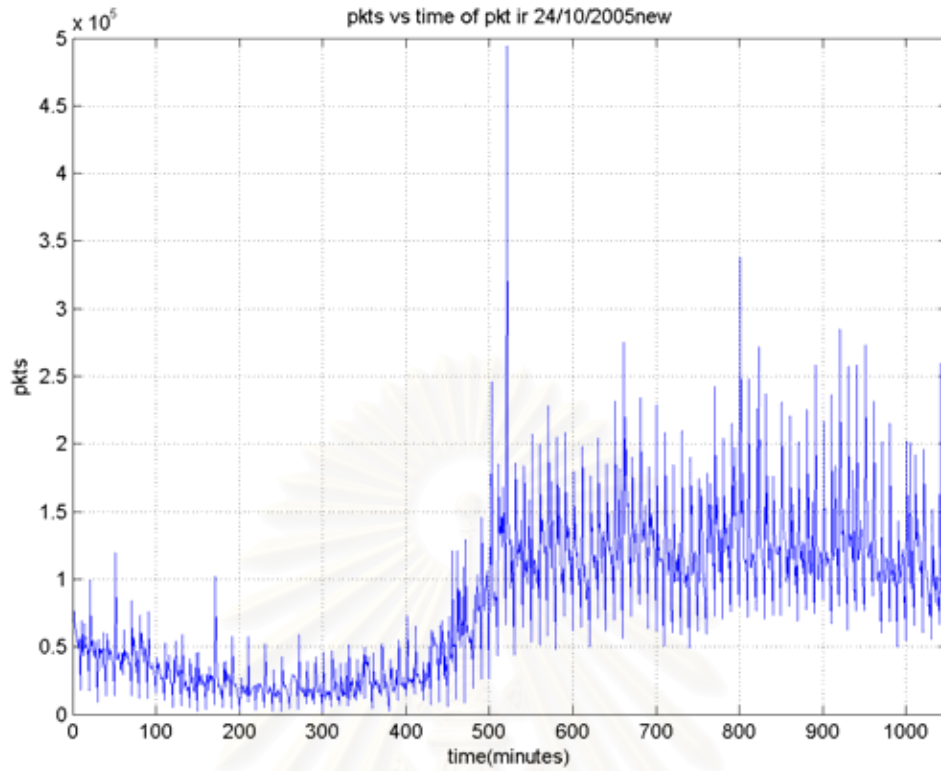
รูปที่ 5.15 ข้อมูล *ipIR* ของรูกทเทอร์ 7513 ในวันที่ 18/10/2005



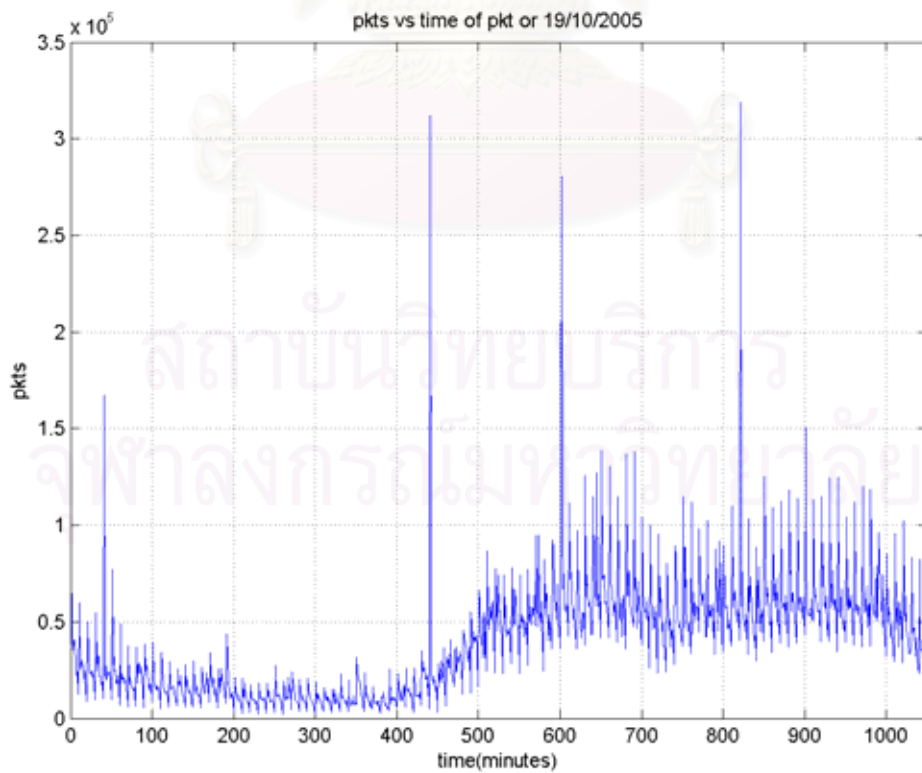
รูปที่ 5.16 ข้อมูล *ipOR* ของรูกทเทอร์ 7513 ในวันที่ 18/10/2005



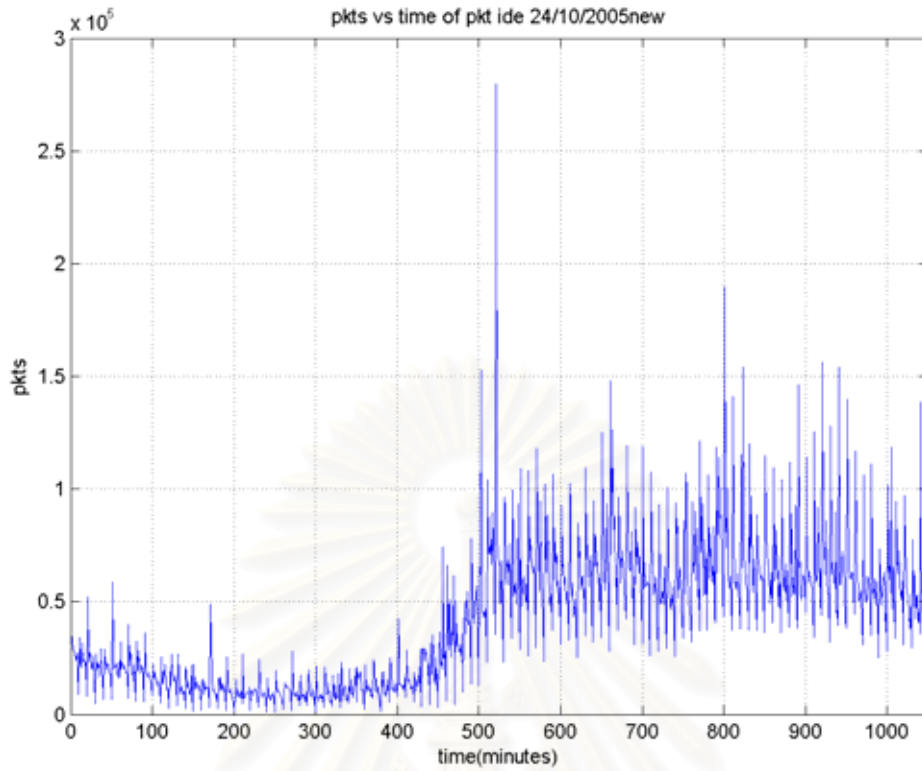
รูปที่ 5.17 ข้อมูล *ipIDE* ของรูกทเทอร์ 7513 ในวันที่ 19/10/2005



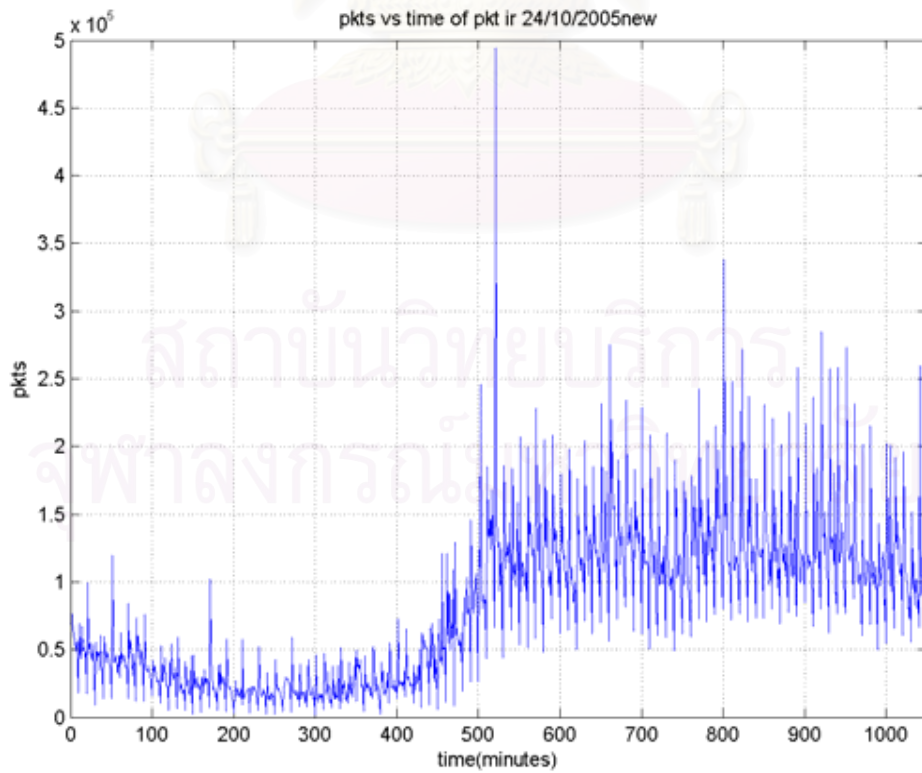
รูปที่ 5.18 ข้อมูล *ipIR* ของรูกทเทอร์ 7513 ในวันที่ 19/10/2005



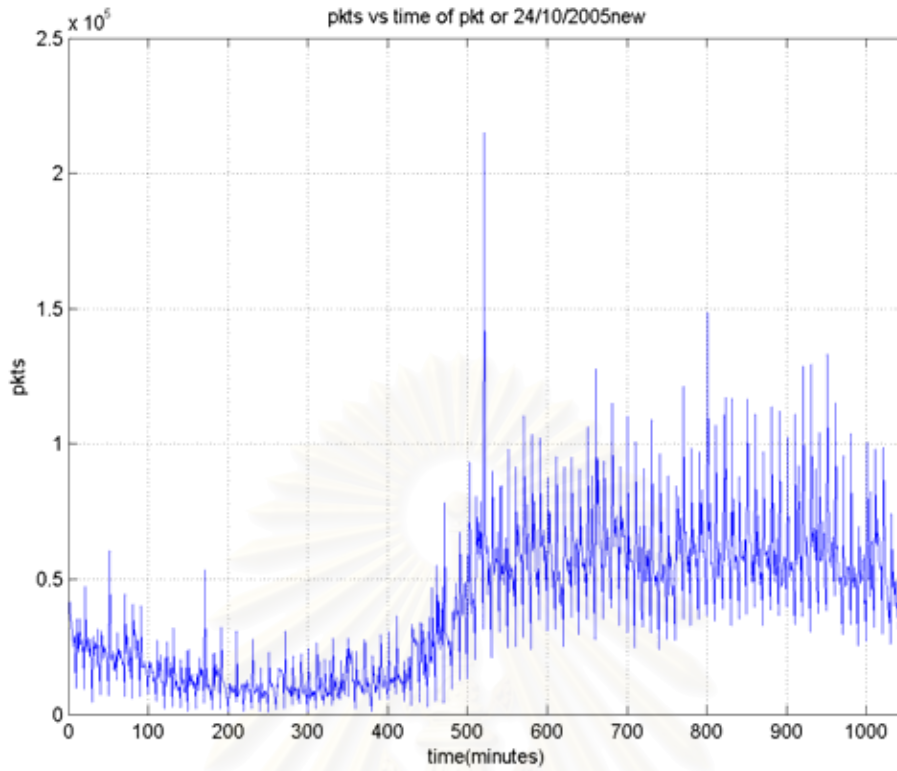
รูปที่ 5.19 ข้อมูล *ipOR* ของรูกทเทอร์ 7513 ในวันที่ 19/10/2005



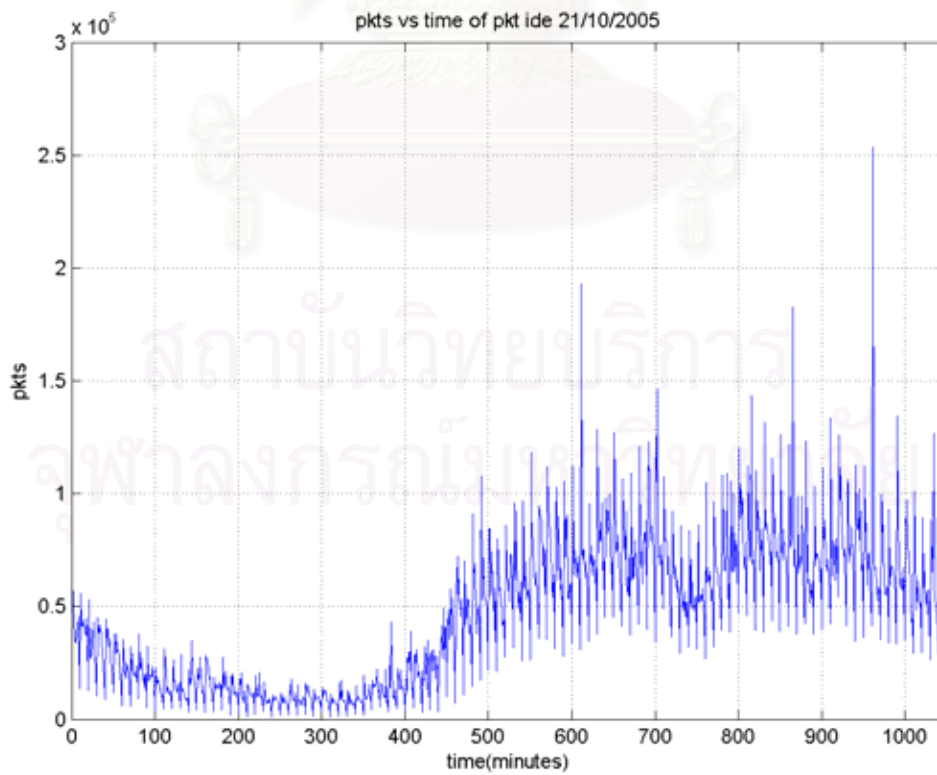
รูปที่ 5.20 ข้อมูล *ipIDE* ของรูกทเทอร์ 7513 ในวันที่ 20/10/2005



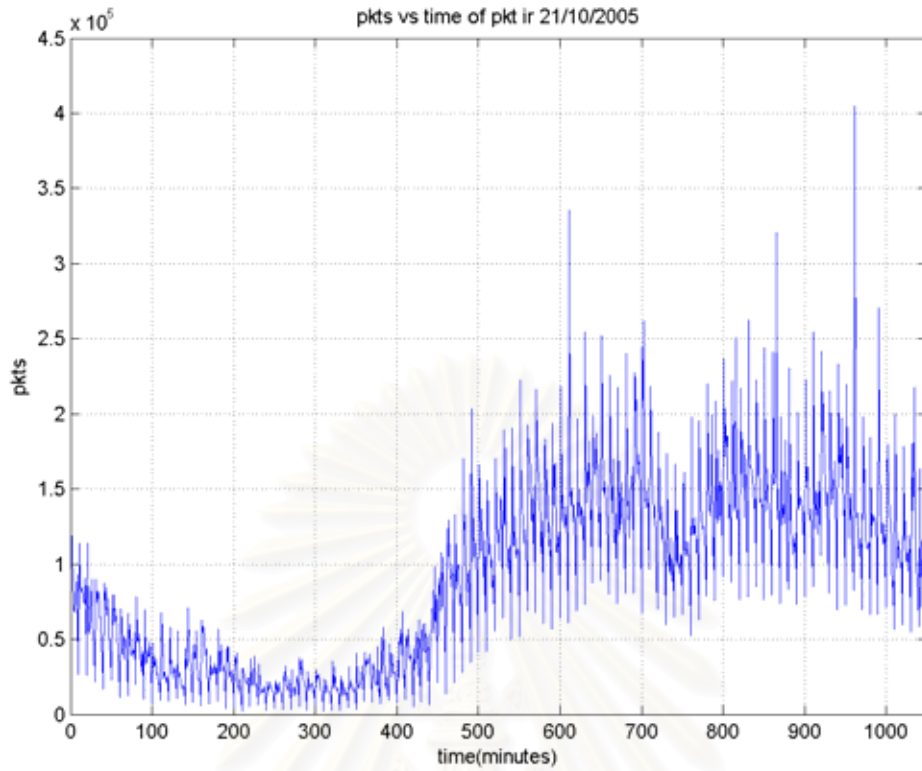
รูปที่ 5.21 ข้อมูล *ipIR* ของรูกทเทอร์ 7513 ในวันที่ 20/10/2005



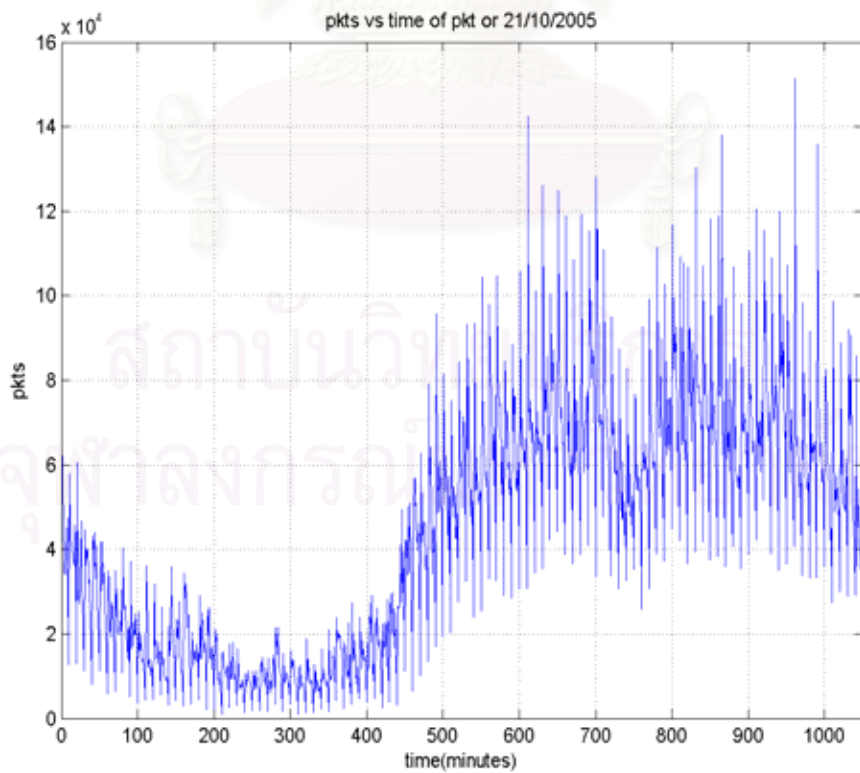
รูปที่ 5.22 ข้อมูล *ipOR* ของรูกทเทอร์ 7513 ในวันที่ 20/10/2005



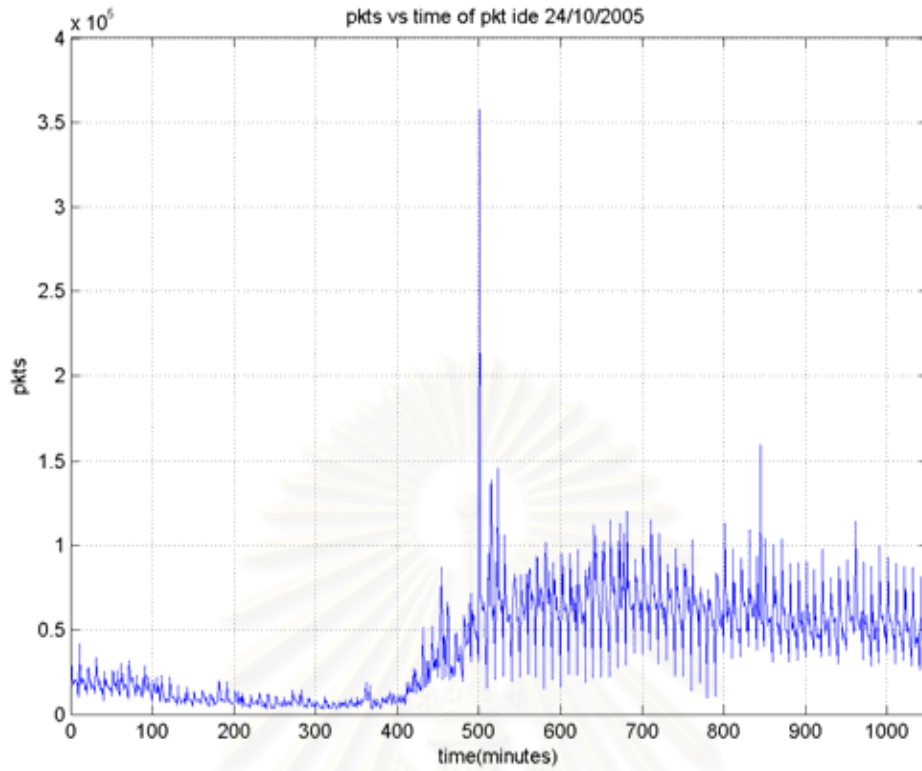
รูปที่ 5.23 ข้อมูล *ipIDE* ของรูกทเทอร์ 7513 ในวันที่ 21/10/2005



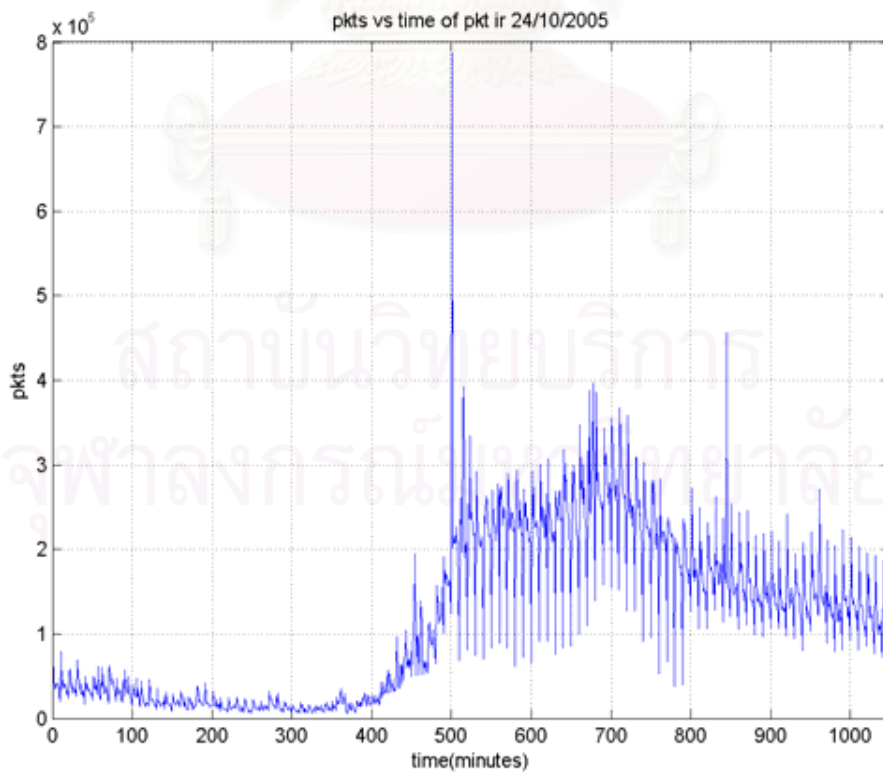
รูปที่ 5.24 ข้อมูล *ipIR* ของรouters 7513 ในวันที่ 21/10/2005



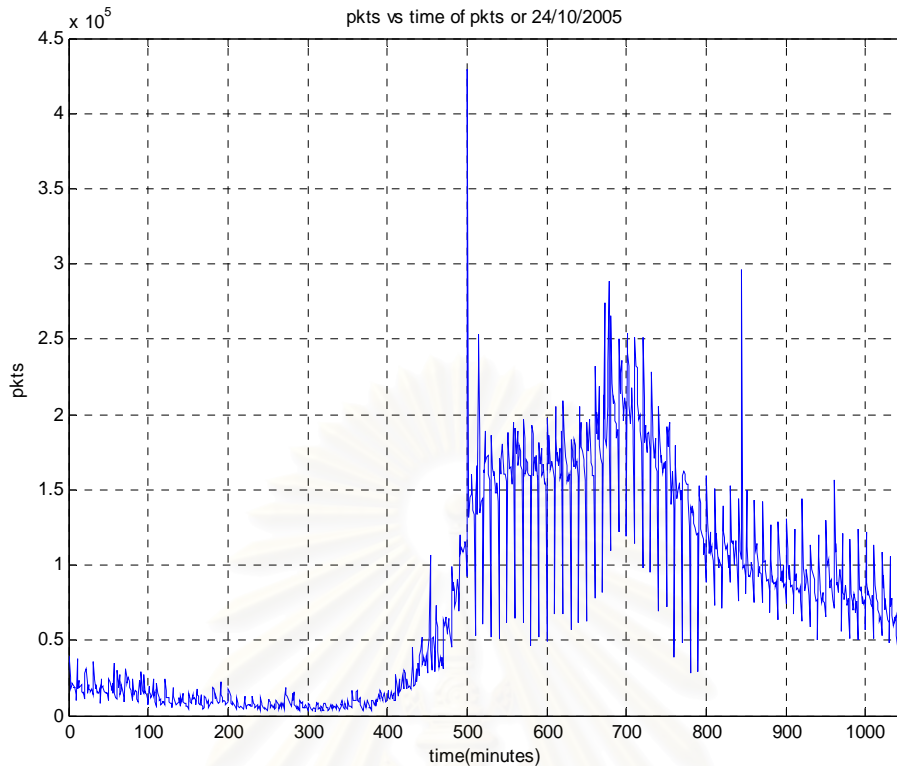
รูปที่ 5.25 ข้อมูล *ipOR* ของรouters 7513 ในวันที่ 21/10/2005



รูปที่ 5.26 ข้อมูล *ipIDE* ของรูกทเทอร์ 7513 ในวันที่ 24/10/2005



รูปที่ 5.27 ข้อมูล *ipIR* ของรูกทเทอร์ 7513 ในวันที่ 24/10/2005



รูปที่ 5.28 ข้อมูล *ipOR* ของรุตเทอร์ 7513 ในวันที่ 24/10/2005

ในการทดลองเพื่อทดสอบประสิทธิภาพในการตรวจจับความผิดปกติของวิธีการพีชชี เรา จะทำการตรวจจับความผิดปกติของระบบโครงข่ายของจุฬาลงกรณ์มหาวิทยาลัยในวันที่ 24 ตุลาคม 2548 และใช้ข้อมูลของวันที่ 17-24 ตุลาคม 2548 สำหรับเป็นฐานข้อมูลในอดีตในการใช้ วิธีการตรวจจับความผิดปกติแบบเปรียบเทียบรูปแบบกราฟฟิก เราได้แบ่งการทดลองออกเป็น 1 ส่วน คือ กำหนดให้จำนวนรอบที่ใช้ในการหาค่าเมตริกซ์ A มีค่าคงที่เท่ากับ 14 รอบ แต่ปรับเปลี่ยนค่าความกว้างของหน้าต่างในการตรวจจับความผิดปกติของระบบโครงข่าย

เนื่องจากข้อมูลกราฟฟิกที่บันทึกได้จากโปรแกรม *NETFLOW* ที่ได้จากโครงข่าย จุฬาลงกรณ์มหาวิทยาลัยนั้น ไม่ได้มีการบันทึกว่าในช่วงเวลาที่ผ่านมาก่อเกิดความผิดปกติขึ้นเมื่อใด ด้วยสาเหตุใด เป็นเวลานานเท่าใด ดังนั้นจากรูปที่ 5.22-5.24 ของกราฟฟิกวันที่ 24 ตุลาคม 2548 เราจึงได้กำหนดให้มีความผิดปกติเกิดขึ้นที่ระบบโครงข่ายที่เวลา 500 นาที ด้วยเหตุผลที่ว่าที่เวลานี้จำนวนแพ็กเก็ตมีความเปลี่ยนแปลงอย่างมากเมื่อเทียบกับช่วงเวลาที่ติดกัน

ในการทดลองนั้นเราได้มีการกำหนดตัวแปรในการแสดงผลของแต่ละวิธีในการตรวจจับ ความผิดปกติของระบบโครงข่ายดังนี้

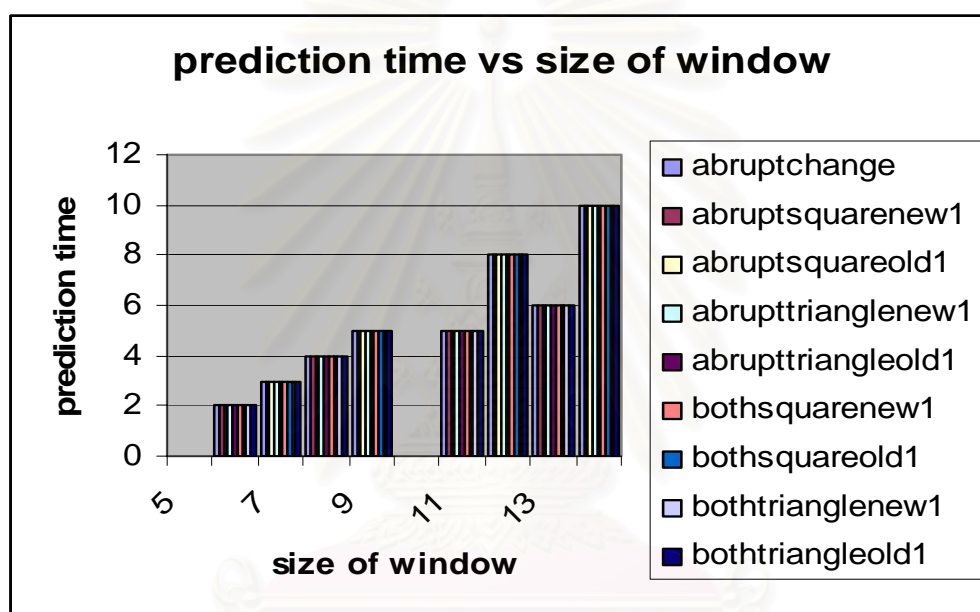
patternmatching หมายถึง การตรวจจับความผิดปกติแบบเปรียบเทียบรูปแบบกราฟฟิก

abruptchange หมายถึง การตรวจจับความผิดปกติแบบทันทีทันใด

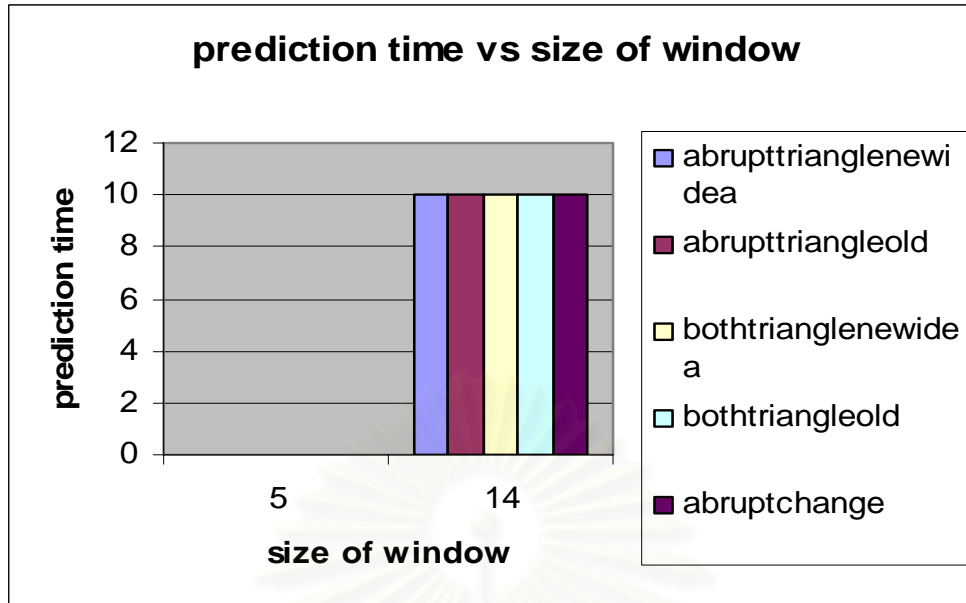
ฟังก์ชันการเป็นสมาชิกแบบสามเหลี่ยม และ ใช้การหาค่าถ่วงน้ำหนักแบบเดิมของวิธีการตรวจจับความผิดปกติแบบเปรียบเทียบรูปแบบทราฟฟิก

5.3.1 จำนวนรอบที่ใช้ในการหาค่าเมตริกซ์ A มีค่าคงที่ 14 รอบ แต่ปรับเปลี่ยนค่าความกว้างของหน้าต่างในการตรวจจับความผิดปกติของระบบโครงข่าย

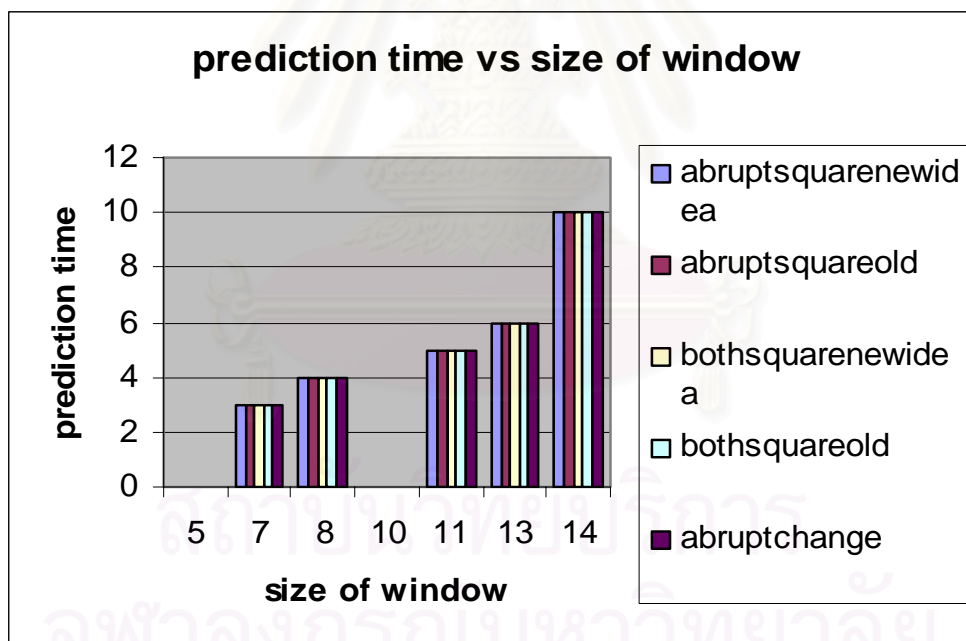
ในการทดลองเพื่อทดสอบประสิทธิภาพของวิธีการตรวจจับความผิดปกติโดยใช้พีชชีได้ผลการทดลองดังรูปที่ 5.29-5.31



รูปที่ 5.29 ความสัมพันธ์ระหว่างเวลาที่สามารรถตรวจจับความผิดปกติในระบบโครงข่ายก่อนเกิดความเสียหายและขนาดหน้าต่างที่ใช้ในการตรวจจับความผิดปกติในระบบโครงข่าย แบบ A



รูปที่ 5.30 ความสัมพันธ์ระหว่างเวลาที่สามารถตรวจจับความผิดปกติในระบบโครงข่ายก่อนเกิดความเสียหายและขนาดหน้าต่างที่ใช้ในการตรวจจับความผิดปกติในระบบโครงข่าย ของฟังก์ชันการเป็นสมาชิกแบบ B



รูปที่ 5.31 ความสัมพันธ์ระหว่างเวลาที่สามารถตรวจจับความผิดปกติในระบบโครงข่ายก่อนเกิดความเสียหายและขนาดหน้าต่างที่ใช้ในการตรวจจับความผิดปกติในระบบโครงข่าย ของฟังก์ชันการเป็นสมาชิกแบบ B

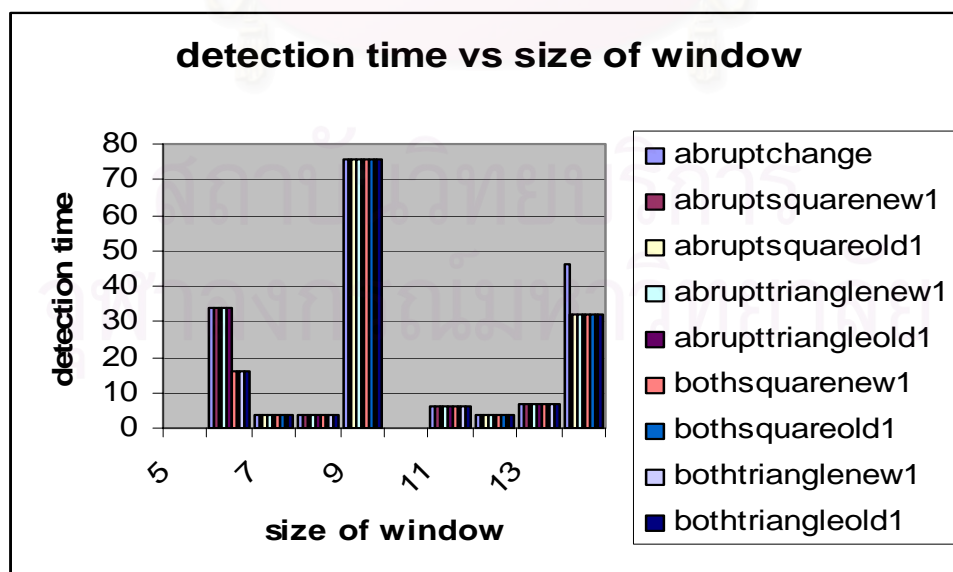
จากผลการทดลองดังรูปที่ 5.29-5.31 จะเห็นได้ว่าขนาดหน้าต่างในการตรวจจับความผิดปกติของระบบโครงข่ายที่แตกต่างกันจะให้ผลของเวลาที่สามารถตรวจจับความผิดปกติใน

ระบบโครงข่ายก่อนเกิดความเสียหายที่แตกต่างกัน จะเห็นได้ว่าเวลาที่สามารถตรวจจับความผิดปกติของระบบโครงข่ายก่อนเกิดความเสียหายมีค่าเท่ากันทุกวิธีเนื่องจาก ลักษณะกราฟฟิกที่เวลาใกล้ช่วงเวลาที่เกิดความผิดปกติให้ค่าความผิดปกติของโหนด ของวิธีการตรวจจับความผิดปกติแบบเปลี่ยนแปลงทันทีทันใด ที่มีค่าสูงมาก เกินค่าเกณฑ์ และค่าเฉลี่ยกราฟฟิกจริงที่วัดได้เกินค่าที่ทำนายได้ของวิธีการตรวจจับความผิดปกติแบบเปรียบเทียบรูปแบบกราฟฟิกดังนั้นทำให้เกินสัญญาณเตือนเกิดขึ้น

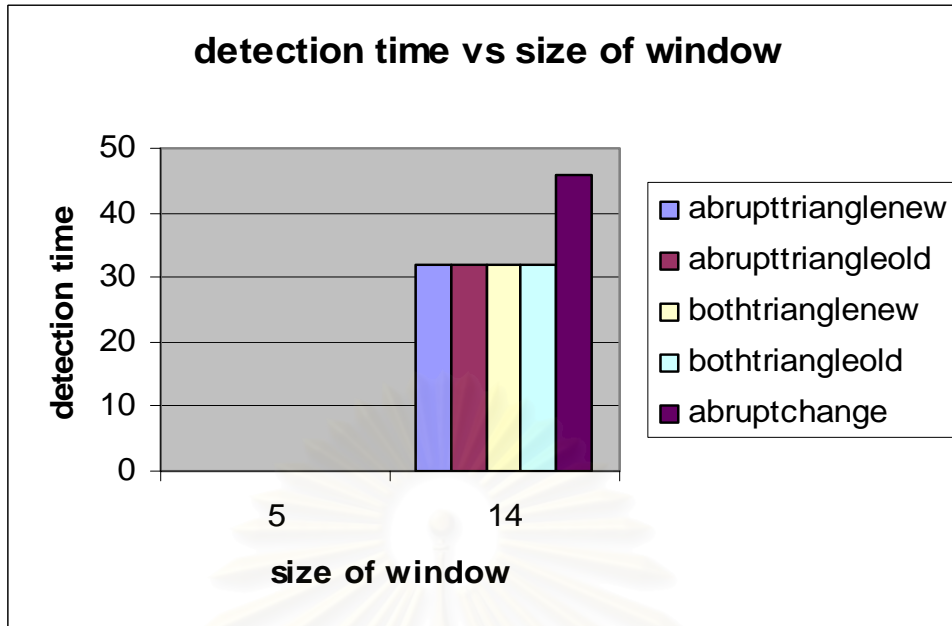
win	$T_p(ipIDE)$
5	230
6	336
7	199

ตารางที่ 5.5 เวลาที่สามารถตรวจจับความผิดปกติก่อนระบบโครงข่ายเกิดความเสียหาย ของวิธีการตรวจจับความผิดปกติแบบเปรียบเทียบรูปแบบกราฟฟิก

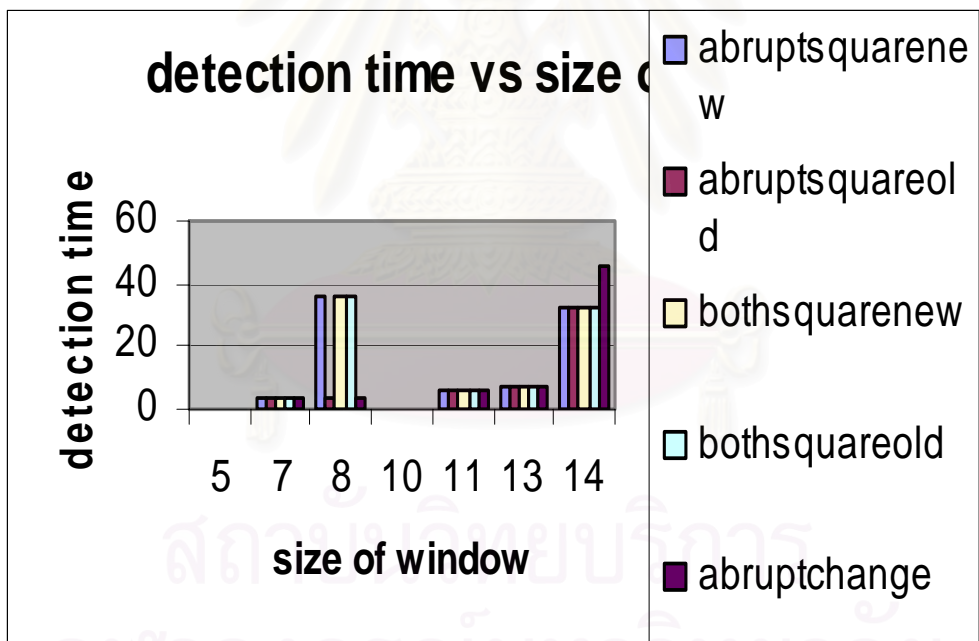
จากผลการทดลองดังตารางที่ 5.5 จะเห็นได้ว่าวิธีการตรวจจับความผิดปกติแบบเปรียบเทียบรูปแบบกราฟฟิกไม่สามารถตรวจจับความผิดปกติก่อนเกิดความเสียหายได้ในบางขนาดหน้าต่าง และที่ขนาดหน้าต่างที่สามารถตรวจจับความผิดปกติก่อนเกิดความเสียหายได้นั้น ค่าเวลาที่สารรถตรวจจับความผิดปกติก่อนเกิดความเสียหายมีค่าสูงมาก เมื่อเปรียบเทียบกับวิธีการตรวจจับความผิดปกติแบบทันทีทันใด และวิธีพีซีซี ดังนั้นวิธีการเปรียบเทียบรูปแบบกราฟฟิกจึงให้ประสิทธิภาพที่แย่กว่าวิธีการตรวจจับความผิดปกติแบบทันทีทันใด และวิธีพีซีซี



รูปที่ 5.32 ความสัมพันธ์ระหว่างเวลาที่สามารถตรวจจับความผิดปกติในระบบโครงข่ายหลังเกิดความเสียหายและขนาดหน้าต่างที่ใช้ในการตรวจจับความผิดปกติในระบบโครงข่าย แบบ A



รูปที่ 5.33 ความสัมพันธ์ระหว่างเวลาที่สามารถตรวจจับความผิดปกติในระบบโครงข่ายหลังเกิด ความเสียหายและขนาดหน้าต่างที่ใช้ในการตรวจจับความผิดปกติในระบบโครงข่าย แบบ B



รูปที่ 5.34 ความสัมพันธ์ระหว่างเวลาที่สามารถตรวจจับความผิดปกติในระบบโครงข่ายหลังเกิด ความเสียหายและขนาดหน้าต่างที่ใช้ในการตรวจจับความผิดปกติในระบบโครงข่าย แบบ B

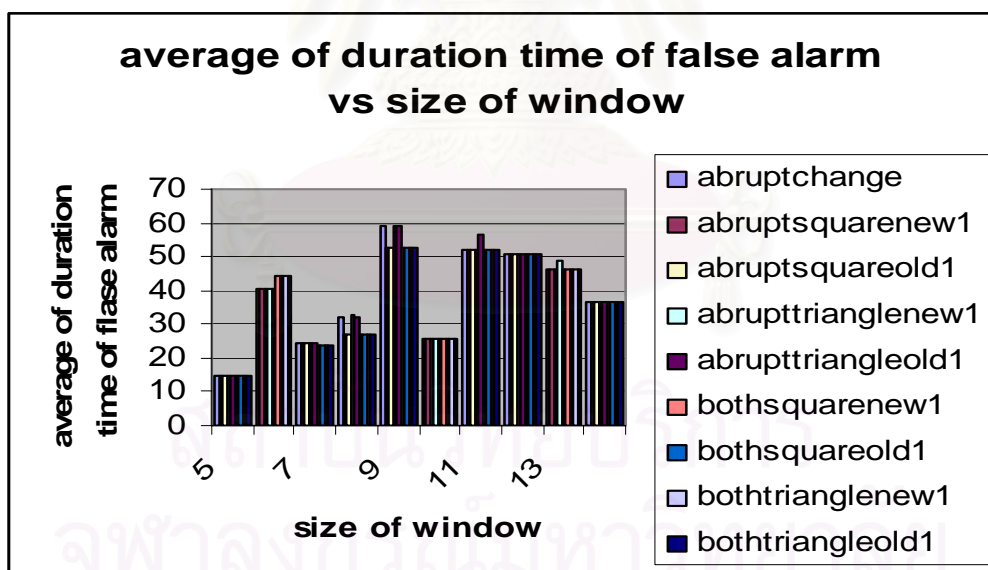
จากผลการทดลองดังรูปที่ 5.32-5.34 จะเห็นได้ว่าขนาดของหน้าต่างในการตรวจจับความผิดปกติของระบบโครงข่ายที่แตกต่างกันจะให้ผลของเวลาที่สามารถตรวจจับความผิดปกติหลังเกิดความเสียหายที่แตกต่างกัน จะเห็นได้ว่าเวลาที่สามารถตรวจจับความผิดปกติของระบบโครงข่ายหลังเกิดความเสียหายมีค่าเท่ากันเกือบทุกขนาดหน้าต่างเนื่องจาก ลักษณะกราฟฟิคที่

เวลาใกล้ช่วงเวลาที่เกิดความผิดปกติให้ค่าความผิดปกติของโนด ของวิธีการตรวจจับความผิดปกติแบบเปลี่ยนแปลงทันทีทันใด ที่มีค่าสูงมาก เกินค่าเกณฑ์ และค่าเฉลี่ยทราฟฟิกจริงที่วัดได้เกินค่าที่ทำนายได้ของวิธีการตรวจจับความผิดปกติแบบเปรียบเทียบรูปแบบทราฟฟิกดังนั้นทำให้เกินสัญญาณเตือนเกิดขึ้น

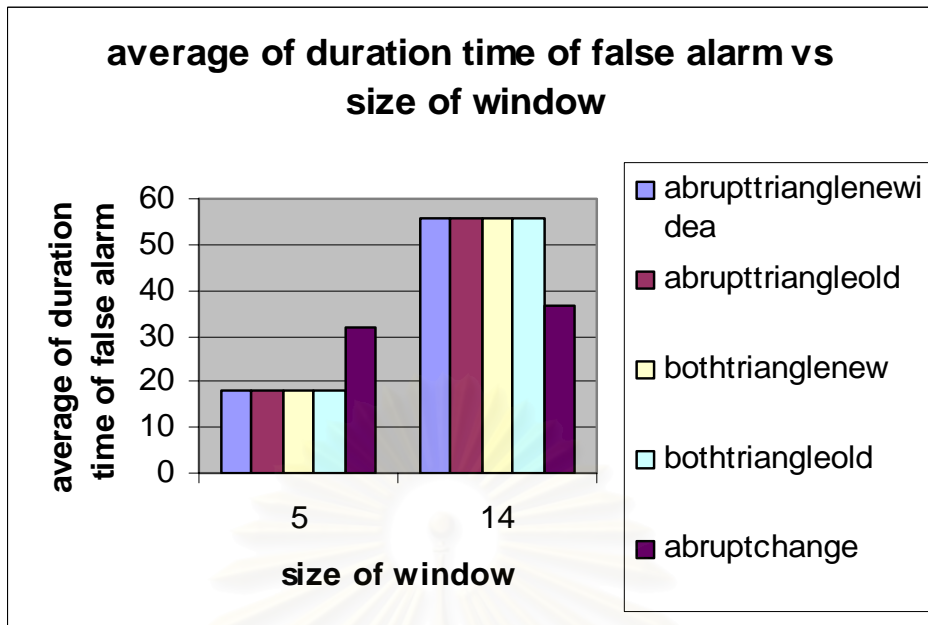
win	$T_d(ipIDE)$
5	5
6	16
7	18

ตารางที่ 5.6 เวลาที่สามารถตรวจจับความผิดปกติหลังระบบโครงข่ายเกิดความเสียหาย ของวิธีการตรวจจับความผิดปกติแบบเปรียบเทียบรูปแบบทราฟฟิก

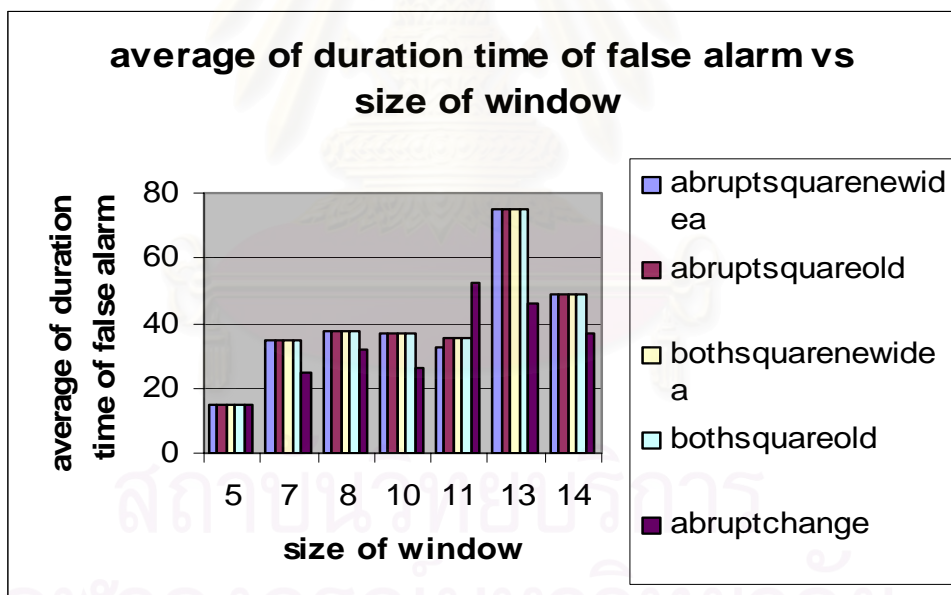
จากผลการทดลองดังตารางที่ 5.6 จะเห็นได้ว่าวิธีการตรวจจับความผิดปกติแบบเปรียบเทียบรูปแบบทราฟฟิกไม่สามารถตรวจจับความผิดปกติหลังเกิดความเสียหายได้ในบางขนาดหน้าต่างต่าง



รูปที่ 5.35 ความสัมพันธ์ระหว่างค่าเฉลี่ยของช่วงเวลาที่จะเกิดสัญญาณเตือนที่ผิดพลาดและขนาดหน้าต่างที่ใช้ในการตรวจจับความผิดปกติในระบบโครงข่าย แบบ A



รูปที่ 5.36 ความสัมพันธ์ระหว่างค่าเฉลี่ยของช่วงเวลาที่จะเกิดสัญญาณเตือนที่ผิดพลาดและขนาดหน้าต่างที่ใช้ในการตรวจจับความผิดปกติในระบบโครงข่าย แบบ B



รูปที่ 5.37 ความสัมพันธ์ระหว่างค่าเฉลี่ยของช่วงเวลาที่จะเกิดสัญญาณเตือนที่ผิดพลาดและขนาดหน้าต่างที่ใช้ในการตรวจจับความผิดปกติในระบบโครงข่าย แบบ B

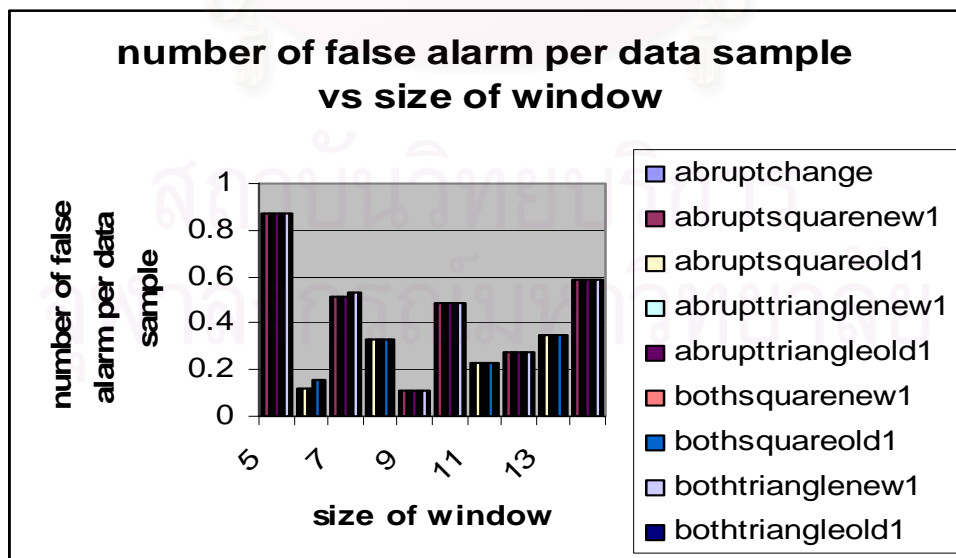
จากผลการทดลองดังรูปที่ 5.35-5.37 จะเห็นได้ว่าการใช้ขนาดหน้าต่างในการตรวจจับความผิดปกติของระบบโครงข่ายที่แตกต่างกันจะให้ผลของค่าเฉลี่ยของช่วงสัญญาณเตือนที่ผิดพลาดที่แตกต่างกัน และการใช้ฟังก์ชันการเป็นสมาชิกของ แบบ A และ แบบ B ให้ผลของค่าเฉลี่ยของช่วงเวลาที่จะเกิดสัญญาณเตือนที่ผิดพลาดที่แตกต่างกัน โดยที่แบบ B นั้นให้ผลของ

ค่าเฉลี่ยของช่วงเวลาที่将会เกิดสัญญาณเตือนที่ผิดพลาดที่สูงกว่าแบบ A เนื่องจากแบบ A มีฟังก์ชันการเป็นสมาชิกโน้มเอียงไปทางด้านความผิดพลาดมากกว่าแบบ B ค่าเฉลี่ยของช่วงเวลาที่将会เกิดสัญญาณเตือนที่ผิดพลาดของแบบ B มีค่าที่สูงกว่า วิธีการตรวจจับความผิดปกติแบบทันทีทันใดอย่างมาก ซึ่งแสดงถึงประสิทธิภาพที่ดีขึ้น แต่ข้อเสียคือในบางขนาดหน้าต่างนั้นแบบ B ไม่สามารถตรวจจับความผิดพลาดได้เลย

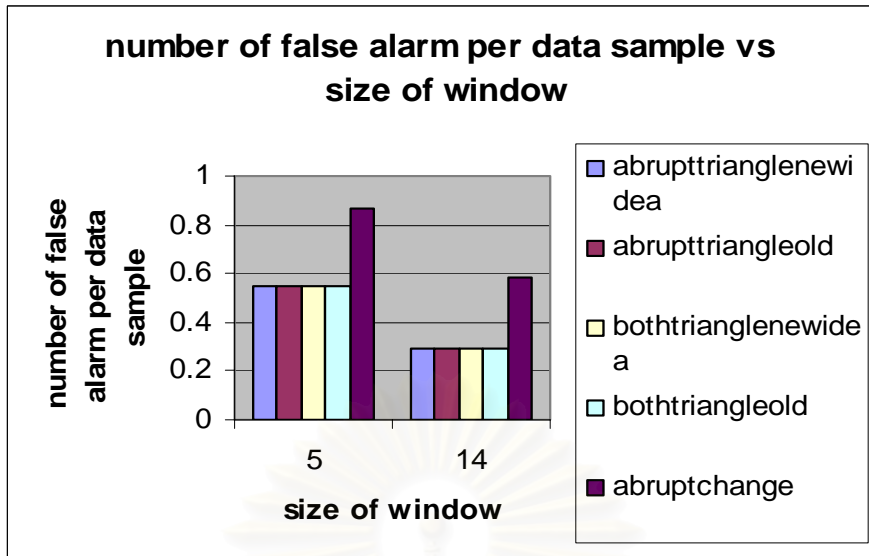
win	$T_f(ipIDE)$
5	-
6	120
7	140

ตารางที่ 5.7 ค่าเฉลี่ยของช่วงเวลาที่将会เกิดสัญญาณเตือนที่ผิดพลาด ของวิธีการตรวจจับความผิดพลาดแบบเปรียบเทียบรูปแบบกราฟฟิก

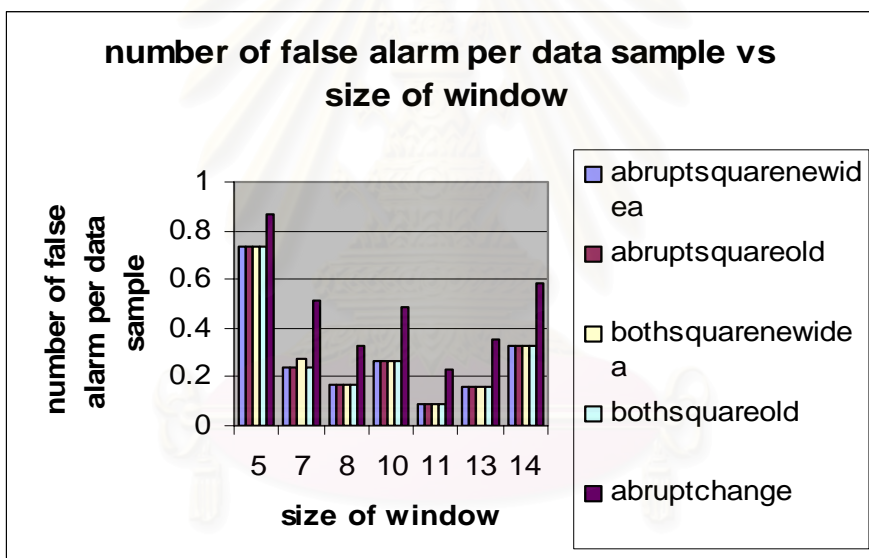
จากผลการทดลองดังตารางที่ 5.7 จะเห็นได้ว่าวิธีการตรวจจับความผิดพลาดแบบเปรียบเทียบรูปแบบกราฟฟิกให้ค่าเฉลี่ยของช่วงเวลาที่将会เกิดสัญญาณเตือนที่ผิดพลาดที่สูงกว่าวิธีการของพีซี ในบางขนาดหน้าต่าง แต่ว่าเมื่อย้อนกลับไปดูถึงเวลาที่ สามารถตรวจจับความผิดพลาดก่อนเกิดความเสียหายนั้น วิธีการตรวจจับความผิดพลาดแบบเปรียบเทียบรูปแบบกราฟฟิกให้ผลที่แย่มากดังนั้นผลของค่าเฉลี่ยของช่วงเวลาที่将会เกิดสัญญาณเตือนที่ผิดพลาดที่สูงไม่สามารถแสดงถึงประสิทธิภาพที่ดีได้



รูปที่ 5.38 ความสัมพันธ์ระหว่างจำนวนสัญญาณเตือนที่ผิดพลาดต่อจำนวนหน้าต่างข้อมูลและขนาดความกว้างของหน้าต่างที่ใช้ในการตรวจจับความผิดพลาด แบบ A



รูปที่ 5.39 ความสัมพันธ์ระหว่างจำนวนสัญญาณเตือนที่ผิดพลาดต่อจำนวนหน้าต่างข้อมูลและขนาดความกว้างของหน้าต่างที่ใช้ในการตรวจจับความผิดปกติ แบบ B



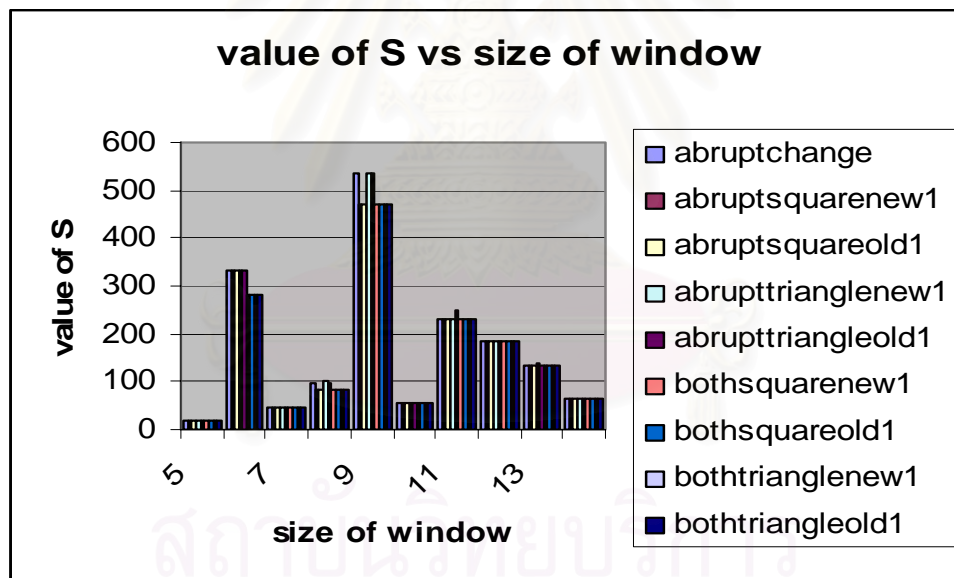
รูปที่ 5.40 ความสัมพันธ์ระหว่างจำนวนสัญญาณเตือนที่ผิดพลาดต่อจำนวนหน้าต่างข้อมูลและขนาดความกว้างของหน้าต่างที่ใช้ในการตรวจจับความผิดปกติ แบบ B

จากผลการทดลองดังรูปที่ 5.38-5.40 จะเห็นได้ว่าการใช้ขนาดหน้าต่างในการตรวจจับความผิดปกติของระบบโครงข่ายที่แตกต่างกันจะให้ผลของจำนวนสัญญาณเตือนที่ผิดพลาดต่อจำนวนหน้าต่างข้อมูลที่แตกต่างกัน และการใช้ฟังก์ชันการเป็นสมาชิกแบบ B ให้ผลของการปรับปรุงจำนวนสัญญาณเตือนที่ผิดพลาดต่อจำนวนหน้าต่างข้อมูล จากการตรวจจับความผิดปกติแบบเปรียบเทียบแบบทราฟฟิก ดีกว่าแบบ A ที่เป็นเช่นนี้เนื่องจากแบบ A มีฟังก์ชันการเป็นสมาชิกโน้มเอียงไปทางความผิดปกติมากกว่าแบบ A เป็นผลให้จำนวนสัญญาณเตือนที่ผิดพลาดมีค่าสูงกว่า แบบ B

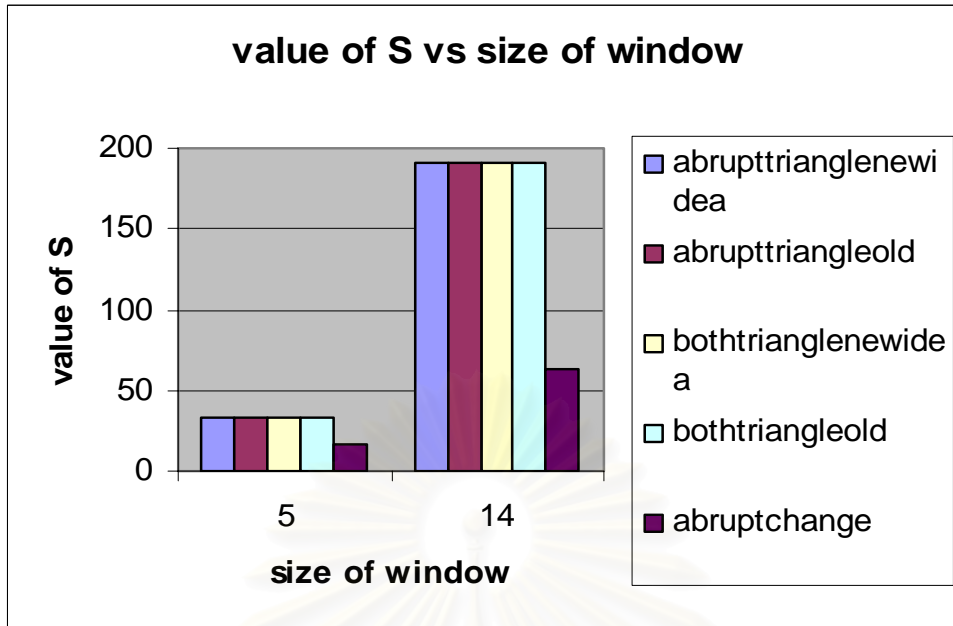
win	$N_r(ipIDE)$
5	0
6	0.0243
7	0.0142

ตารางที่ 5.8 จำนวนสัญญาณเตือนที่ผิดพลาดต่อจำนวนหน้าต่างข้อมูล ของวิธีการตรวจจับความผิดปกติแบบเปรียบเทียบรูปแบบกราฟฟิก

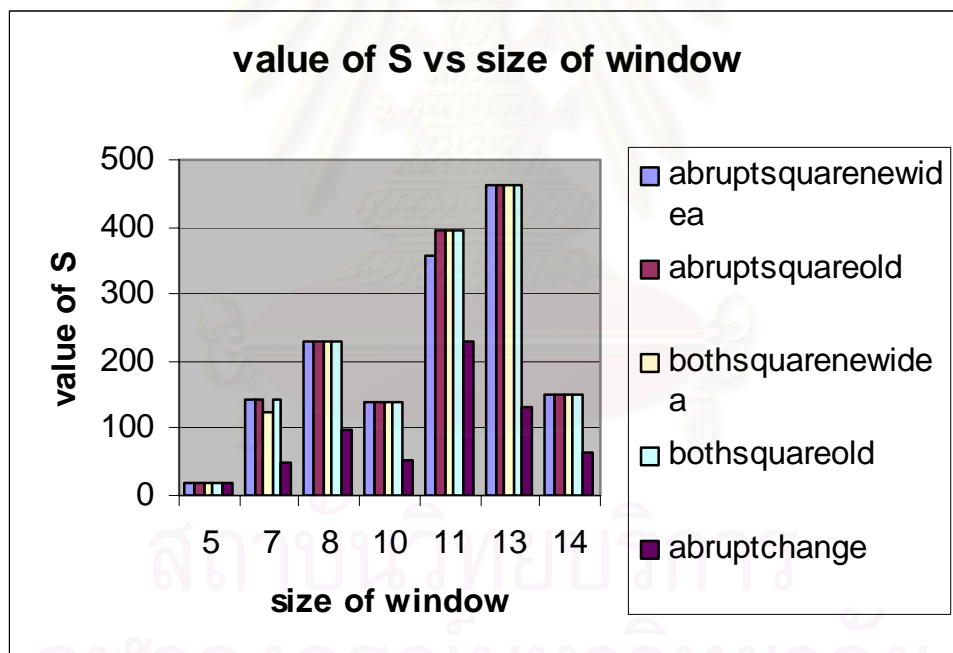
จากผลการทดลองดังตารางที่ 5.8 จะเห็นได้ว่าวิธีการตรวจจับความผิดปกติแบบเปรียบเทียบรูปแบบกราฟฟิกให้จำนวนสัญญาณเตือนที่ผิดพลาดต่อจำนวนหน้าต่างข้อมูลที่ต่ำกว่าวิธีการของพีซี ในบางขนาดหน้าต่าง แต่พื่อเมื่อย้อนกลับไปดูถึงเวลาที่สามารรถตรวจจับความผิดปกติก่อนเกิดความเสียหายนั้น วิธีการตรวจจับความผิดปกติแบบเปรียบเทียบรูปแบบกราฟฟิกให้ผลที่แย่มากดังนั้นผลของค่าเฉลี่ยของช่วงเวลาที่จะเกิดสัญญาณเตือนที่ผิดพลาดที่สูงไม่สามารถแสดงถึงประสิทธิภาพที่ดีได้



รูปที่ 5.41 ความสัมพันธ์ระหว่าง *value of S* และขนาดความกว้างของหน้าต่างที่ใช้ในการตรวจจับความผิดปกติ แบบ A



รูปที่ 5.42 ความสัมพันธ์ระหว่าง *value of S* และขนาดความกว้างของหน้าต่างที่ใช้ในการตรวจจับความผิดปกติ แบบ B



รูปที่ 5.43 ความสัมพันธ์ระหว่าง *value of S* และขนาดความกว้างของหน้าต่างที่ใช้ในการตรวจจับความผิดปกติ แบบ B

จากผลการทดลองดังรูปที่ 5.41-5.43 จะเห็นได้ว่าวิธีการตรวจจับความผิดปกติแบบใช้พีชชี แบบ B ให้ผลที่ดีกว่าแบบ A อย่างมาก และปรับปรุงประสิทธิภาพการตรวจจับความผิดปกติแบบทันทีทันใดทุกขนาดหน้าต่างที่ใช้ในการตรวจจับความผิดปกติ

win	$S(ipIDE)$
5	-
6	4938.27
7	9859.15

ตารางที่ 5.9 ค่า S ของวิธีการตรวจจับความผิดปกติแบบเปรียบเทียบรูปแบบทราฟฟิก

จากผลการทดลองดังตารางที่ 5.9 จะเห็นได้ว่าวิธีการตรวจจับความผิดปกติแบบเปรียบเทียบรูปแบบทราฟฟิกให้ผลของค่า S ที่สูงมาก เมื่อเปรียบเทียบกับวิธีพีชชี แต่ว่าการที่เราจะบอกว่าวิธีการตรวจจับความผิดปกติมีประสิทธิภาพดีหรือไม่ต้องคำนึงถึง เวลาที่สามารถตรวจจับความผิดปกติก่อนระบบโครงข่ายเกิดความเสียหาย ซึ่งวิธีการตรวจจับความผิดปกติแบบเปรียบเทียบรูปแบบทราฟฟิกให้ผลที่แย่มาก ดังนั้น ประสิทธิภาพโดยรวมของวิธีการนี้จึงแยกว่าวิธีการตรวจจับความผิดปกติแบบทันทีทันใด และวิธีการตรวจจับความผิดปกติโดยใช้พีชชี

5.3.2 สรุปผลการทดลอง

จากผลการทดลองจะเห็นได้ว่าประสิทธิภาพในการตรวจจับความผิดปกติของระบบโครงข่ายของวิธีการตรวจจับความผิดปกติแบบเปรียบเทียบรูปแบบทราฟฟิกให้ผลแย่มากที่สุด และการตรวจจับความผิดปกติของระบบโครงข่ายโดยใช้พีชชี แบบ B ปรับปรุงประสิทธิภาพในการตรวจจับความผิดปกติของวิธีการตรวจจับความผิดปกติแบบเปรียบเทียบรูปแบบทราฟฟิกและแบบทันทีทันใด ดีกว่าแบบ A เนื่องจากแบบ A นั้นฟังก์ชันการเป็นสมาชิกมีความโน้มเอียงไปทางความผิดปกติมาก ทำให้จำนวนสัญญาณเตือนที่ผิดพลาดมีจำนวนมากกว่าแบบ B

บทที่ 6

บทสรุปและข้อเสนอแนะ

บทนี้กล่าวถึงบทสรุปของระบบการตรวจจับความผิดปกติในระบบโครงข่ายที่นำเสนอในวิทยานิพนธ์ และข้อเสนอแนะเพิ่มเติม

6.1 บทสรุป

วิทยานิพนธ์ฉบับนี้นำเสนอการปรับปรุงวิธีการตรวจจับความผิดปกติของระบบโครงข่าย 3 ส่วน ในส่วนแรกเป็นการปรับปรุงวิธีการตรวจจับความผิดปกติของการเปรียบเทียบรูปแบบกราฟฟิคด้วยกัน 4 วิธีคือ การเสนอการหาค่าถ่วงน้ำหนักแบบใหม่ การปรับค่าถ่วงน้ำหนักให้เปลี่ยนแปลงตามเวลา การใช้ข้อมูลมากกว่าหนึ่งชนิดข้อมูลร่วมกันในการตรวจจับความผิดปกติ และการใช้ค่าถ่วงน้ำหนักที่เปลี่ยนแปลงตามเวลาร่วมกับการใช้ข้อมูลมากกว่าหนึ่งชนิดข้อมูลในการตรวจจับความผิดปกติ อีกทั้งยังวิเคราะห์ถึงผลของขนาดหน้าต่างที่ใช้ในการตรวจจับความผิดปกติที่มีผลต่อความแน่นอนในการตรวจจับความผิดปกติที่อาจจะเกิดขึ้นในอนาคต โดยการใช้โปรแกรม NS (Network Simulator) ในการก่อเกิดกราฟฟิคและทดลองในการตรวจจับความผิดปกติ จะเห็นได้ว่าการใช้ขนาดหน้าต่างที่สั้นเกินไปในการตรวจจับความผิดปกติของระบบโครงข่าย จะมีผลให้ประสิทธิภาพในการตรวจจับความผิดปกติลดลง ที่เป็นเช่นนี้เนื่องจากจำนวนจุดข้อมูลที่ใช้ในการทำนายค่าเฉลี่ยและความแปรปรวนมีน้อยเกินไปส่งผลให้เกิดความผิดพลาด และชนิดของข้อมูลที่ใช้ในการตรวจจับความผิดปกติที่แตกต่างกันให้ผลของประสิทธิภาพในการตรวจจับความผิดปกติที่แตกต่างกันที่เป็นเช่นนี้เนื่องจากแต่ละชนิดข้อมูลมีความคล้ายคลึงกันระหว่างข้อมูลในอดีตและปัจจุบันที่ต่างกัน วิธีการตรวจจับความผิดปกติของระบบโครงข่ายแบบเปรียบเทียบรูปแบบกราฟฟิคนั้นเหมาะสำหรับตรวจจับความผิดปกติที่เป็นแบบค่าเฉลี่ยของกราฟฟิคเกิดการเปลี่ยนแปลง ซึ่งเกิดในกรณีของ ข่ายเชื่อมโยงเกิดความเสียหาย แต่ไม่เหมาะสำหรับความผิดปกติที่กราฟฟิคมีลักษณะค่าเบี่ยงเบนกราฟฟิคเฉลี่ยเปลี่ยนแปลง เนื่องจากวิธีการตรวจจับความผิดปกติแบบเปรียบเทียบรูปแบบกราฟฟิคใช้ข้อมูลค่าเฉลี่ยของกราฟฟิคในการตรวจจับ และวิธีการที่นำเสนอในการปรับปรุงวิธีการตรวจจับความผิดปกติแบบเปรียบเทียบรูปแบบกราฟฟิคให้ประสิทธิภาพในการตรวจจับความผิดปกติที่ดีขึ้นกว่าวิธีการเดิม

ในส่วนที่สองทำการวิเคราะห์ผลของวิธีการตรวจจับความผิดปกติของระบบโครงข่ายแบบทันทีทันใดโดยใช้กราฟฟิคที่ได้จากโครงข่ายจุฬาลงกรณ์มหาวิทยาลัย ที่รทท 7513 และนำเสนอการเลือกใช้เกณฑ์ในการบอกว่าระบบโครงข่ายเกิดความผิดปกติหรือไม่ด้วยกัน 2 วิธี คือ

การเลือกใช้ค่ากลางของค่าความผิดพลาดของเวกเตอร์ความผิดพลาด และ การเลือกใช้ค่าเฉลี่ยของค่าความผิดพลาดของเวกเตอร์ความผิดพลาด จะเห็นได้ว่าจำนวนหน้าต่างที่ใช้ในการตรวจจับความผิดปกติของระบบโครงข่าย จำนวนรอบที่ใช้ในการคำนวณเมตริกซ์ A และวิธีการที่เราเลือกใช้ในการหาค่าเกณฑ์ในการระบุว่าเกิดความผิดปกติในโครงข่ายหรือไม่ มีผลต่อประสิทธิภาพในการตรวจจับความผิดปกติของระบบโครงข่าย ดังนั้นเราควรที่จะทดสอบเพื่อหาขนาดความกว้างหน้าต่างที่เหมาะสมที่สุดและจำนวนรอบที่ใช้ในการคำนวณเมตริกซ์ A ที่เหมาะสมที่สุดเช่นเดียวกัน เพื่อที่จะได้ประสิทธิภาพที่ดีที่สุดในการตรวจจับความผิดปกติของระบบโครงข่าย

ในส่วนที่สามทำการใช้วิธีการตรวจจับความผิดปกติแบบเปรียบเทียบรูปแบบกราฟฟิก และเปลี่ยนแปลงทันทีทันใด ร่วมกันโดยใช้กรรมวิธีการของพีซีซีในการตัดสินใจว่าในขณะนั้นเกิดความผิดปกติหรือไม่โดยใช้กราฟฟิกที่ได้จากโครงข่ายจุฬาลงกรณ์มหาวิทยาลัย ที่รูทเทอร์ 7513 จากผลการทดสอบจะเห็นได้ว่าประสิทธิภาพในการตรวจจับความผิดปกติของระบบโครงข่ายของวิธีการตรวจจับความผิดปกติแบบเปรียบเทียบรูปแบบกราฟฟิกให้ผลแยกที่สุด และการตรวจจับความผิดปกติของระบบโครงข่ายโดยใช้พีซีซี แบบ B ปรับปรุงประสิทธิภาพในการตรวจจับความผิดปกติของวิธีการตรวจจับความผิดปกติแบบเปรียบเทียบรูปแบบกราฟฟิกและแบบทันทีทันใดดีกว่าแบบ A เนื่องจากแบบ A นั้นฟังก์ชันการเป็นสมาชิกมีความโน้มเอียงไปทางความผิดปกติมาก ทำให้จำนวนสัญญาณเตือนที่ผิดพลาดมีจำนวนมากกว่าแบบ B

6.2 ข้อเสนอแนะ

1. การใช้ระบบการตรวจจับความผิดปกติในระบบโครงข่ายในวิทยานิพนธ์ที่เสนอนี้ เมื่อนำไปใช้ในโครงข่ายต่าง ๆ นั้นควรที่จะเลือกขนาดหน้าต่างที่ใช้ในการตรวจจับความผิดปกติในระบบโครงข่ายให้เหมาะสมเพื่อประสิทธิภาพที่ดีในการตรวจจับความผิดปกติในระบบโครงข่าย

2. เนื่องจากมีข้อจำกัดทางด้านกราฟฟิกในระบบโครงข่ายของจุฬาลงกรณ์มหาวิทยาลัย คือ ไม่มีการบันทึกข้อมูลการเกิดความเสียหายในระบบโครงข่าย และหน่วยความจำของคอมพิวเตอร์ที่บรรจุข้อมูลกราฟิกผ่านโปรแกรม *NETFLOW* มีขนาดไม่ใหญ่นัก เป็นผลให้กราฟฟิกที่นำมาใช้ในการตรวจจับความผิดปกติของระบบโครงข่ายมีจำนวนน้อย ดังนั้นถ้าสามารถหากราฟฟิกของระบบโครงข่ายอื่นที่มีการบันทึกข้อมูลการเกิดความเสียหายในระบบโครงข่าย และหน่วยความจำของคอมพิวเตอร์ที่บรรจุข้อมูลกราฟิกผ่านโปรแกรม *NETFLOW* มีขนาดใหญ่พอ เราสามารถที่จะตรวจสอบประสิทธิภาพของระบบการตรวจจับความผิดปกติของระบบโครงข่ายได้อย่างมีประสิทธิภาพมากขึ้น

รายการอ้างอิง.

1. W.E. Leland, M.S. Taqqu, W. Willinger, and D. V. Wilson. On the Self-Similar Nature of Ethernet Traffic (extended version). IEEE/ACM Trans Networking. (1994) : 1-15.
2. J. L. Vehel, E. Lutton, and C. Tricot. Fractals in Engineering: From Theory to Industrial Applications. New York: Springer-Verlag. (1997) : 185-202.
3. Marina Thottan and Chuanyi Ji. Anomaly Detection in IP Network. IEEE Transactions on Signal Processing. (August 2003) : 2191-2204.
4. L.Lewis. A Case Based Reasoning Approach to the Management of Faults in Communication Networks. in Proc. IEEE INFOCOM. (March 1993) : 1422-1429.
5. A.Lazar, W. Wang, and R. Deng. Models and Algorithms for Network Fault Detection and Identification. in Proc. IEEE Int. Contr. Conf. (November 1992) : 999-1003.
6. C. Hood and C. Ji. Proactive Network Fault Detection. in Proc. IEEE INFOCOM. (April 1997) : 1147-1155
7. S. Papavassiliou, M.Pace, A. Zawadzki, and L.Ho. Implementing Enhanced Network Maintenance for Transaction Access Services: Tools and Applications. Proc. IEEE Int. Contr. Conf. (2000) : 211-215
8. Peter V. de Souza. Statistical Tests and Distance Measures for LPC Coefficients. IEEE Transactions on Acoustics, Speech, and Signal Processing. (December 1997) : 554-559.
9. Yan Qiao and Xie Weixin. A Network IDS with Low False Positive Rate. IEEE Proceedings of the 2002 Congress on Evolutionary Computation. (May 2002) : 1121-1126.

10. Hassan Hajji. Baselineing Network Traffic and Online Faults Detection. IEEE International Conference on Communications. (May 2003) : 301-308.
11. Xiaolin Li, Marc Parizeau and Rejean Plamondon. Training Hidden Markov Models with Multiple Observations-A Combinatorial Method. IEEE Transactions on Pattern Analysis and Machine Intelligence. (April 2000) : 371-377
12. Sung-Bae Cho. Incorporating Soft Computing Techniques Into a Probabilistic Intrusion Detection System. IEEE Transactions on Systems, Man, and Cybernetics-Part C: Applications and Reviews. (May 2002) :154-160
13. Ari S. Nissinen and Heikki Hyotyniemi, Evolutionary Training of Behavior-Based Self-Organizing Mao. IEEE. (1998).
14. Daniel Ramot, Menahem Friedman, Gideon Langholz, and Abraham Kandel, Fello, IEEE. Complex Fuzzy Logic. IEEE Transactions on Fuzzy Systems. (August 2003) : 450-461



ภาคผนวก

สถาบันวิทยบริการ
จุฬาลงกรณ์มหาวิทยาลัย

บทความทางวิชาการที่ได้รับการเผยแพร่

1. ชัยเชษฐ สหายวิจิตร และ พิชัย วัฒนะภราดร. การเฝ้าระวังโครงข่ายเพื่อตรวจจับความผิดปกติ โดยการเปรียบเทียบรูปแบบทราฟฟิก. การประชุมวิชาการทางวิศวกรรมไฟฟ้า ครั้งที่ 28 (ตุลาคม 2548):721-724



สถาบันวิทยบริการ
จุฬาลงกรณ์มหาวิทยาลัย

การเฝ้าระวังโครงข่ายเพื่อตรวจจับความผิดปกติโดยการเปรียบเทียบรูปแบบกราฟฟิค

Network Monitoring for Anomalies Detection based on Modified Pattern Matching Technique

ชัยเชษฐ์ สายวิจิตร และ พิชัย วัฒนะภราดร

ภาควิชาวิศวกรรมไฟฟ้า คณะวิศวกรรมศาสตร์ จุฬาลงกรณ์มหาวิทยาลัย

ถนนพญาไท เขตปทุมวัน กรุงเทพฯ 10330

โทร: 0-2218-6907 โทรสาร: 0-2218-6912 E-mail : Chaiyachet.s@chula.ac.th

บทคัดย่อ

จากความสำคัญและความจำเป็นของการใช้งานของโครงข่ายเพื่อการสื่อสารที่ราบรื่นและต่อเนื่อง บทความนี้นำเสนอวิธีการและขั้นตอนการศึกษาวิธีการตรวจจับความผิดปกติของระบบโครงข่ายของการเปรียบเทียบรูปแบบกราฟฟิค (Pattern Matching) และเสนอการปรับปรุงวิธีการตรวจจับความผิดปกติของการเปรียบเทียบรูปแบบกราฟฟิคด้วยกัน 3 วิธีคือ การปรับค่าถ่วงน้ำหนักให้เปลี่ยนแปลงตามเวลา การใช้ข้อมูลมากกว่าหนึ่งชนิดข้อมูลร่วมกันในการตรวจจับความผิดปกติ และการใช้ค่าถ่วงน้ำหนักที่เปลี่ยนแปลงตามเวลาร่วมกับการใช้ข้อมูลมากกว่าหนึ่งชนิดข้อมูลในการตรวจจับความผิดปกติ อีกทั้งยังวิเคราะห์ถึงผลของขนาดหน้าต่างที่ใช้ในการตรวจจับความผิดปกติที่มีผลต่อความแน่นอนในการตรวจจับความผิดปกติที่อาจจะเกิดขึ้นในอนาคต

คำสำคัญ: ความผิดปกติของระบบโครงข่าย, ค่าถ่วงน้ำหนัก

Abstract

This paper presents methods on network anomaly detection by using Pattern Matching techniques and proposes three methods to improve performance in detecting network anomaly of Pattern Matching method. Three proposed methods utilize time varying weighted value, multiple sets of data, and combining both techniques, respectively. Furthermore, this paper also discuss on the effect of windows size on network anomaly detection.

Keywords : Network Anomaly, Weighted Value

1. คำนำ

ปัจจุบันนี้ ความต้องการการใช้งานของระบบโครงข่ายภายในองค์กรต่างๆมีแนวโน้มที่จะเพิ่มสูงขึ้นเรื่อยๆ มีผลทำให้เกิดการเพิ่มขึ้นของความซับซ้อนภายในระบบการจัดการภายในโครงข่าย ส่งผลให้มีความล้มเหลวภายในโครงข่ายเกิดขึ้นตามความซับซ้อน ภายในระบบโครงข่ายนั้นจะประกอบไปด้วย ไรเตอร์ และ สวิตช์ ซึ่งมีหน้าที่ในการส่งข้อมูลจากต้นทางไปยังปลายทางผ่านเส้นทางที่เหมาะสม โดยที่พฤติกรรมของแต่ละอุปกรณ์นั้น สามารถใช้เป็นตัวช่วยในการบ่งชี้ถึง

สภาวะภายในโครงข่ายขณะนั้นได้ว่ามีลักษณะอย่างไร และคาดการณ์ถึงความผิดปกติที่จะเกิดขึ้นในระบบโครงข่ายในเวลาอันใกล้ ด้วยเหตุดังกล่าวก่อให้เกิดความสนใจเพื่อการค้นคว้าและวิจัยมากมายเกี่ยวกับวิธีการตรวจจับความผิดปกติของระบบโครงข่ายก่อนที่ระบบโครงข่ายจะเกิดความเสียหาย เพื่อที่จะช่วยเตือนผู้ควบคุมดูแลระบบโครงข่าย ทำการตรวจสอบและแก้ไขได้ทันเวลาที่ มีวิธีการตรวจจับความผิดปกติของระบบโครงข่ายหลายวิธีได้ถูกพัฒนาขึ้นเพื่อใช้ในการตรวจจับความผิดปกติ เช่น ปัญญาประดิษฐ์ (Artificial Intelligence) [1] , การเรียนรู้จากเครื่องจักร (Machine Learning) [2], แบบจำลองสถานะของเครื่องจักร (State Machine Modeling) [2] และวิธีการประมวลผลสัญญาณทางสถิติ (Statistical Signal Processing Technique) [3] โดยที่แต่ละวิธีการตรวจจับความผิดปกติของระบบโครงข่ายนั้นมีข้อจำกัดหลายประการเช่น การไม่สามารถตรวจจับความผิดปกติของระบบโครงข่ายที่มีลักษณะใหม่ๆได้ (False Negative Alarm) และ อีกทั้งยังมีกรณีที่มีการส่งสัญญาณเตือนที่ผิดพลาดว่ามีความผิดปกติของระบบโครงข่ายเกิดขึ้นทั้งที่ระบบโครงข่ายยังอยู่ในสภาวะที่ปกติ (False Positive Alarm)

จากเหตุผลที่ได้กล่าวมาข้างต้นนี้ เราจึงได้มีการทำการศึกษาและพัฒนาวิธีการเปรียบเทียบรูปแบบกราฟฟิคให้มีประสิทธิภาพที่ดียิ่งขึ้นโดยใช้ข้อมูลหลายระดับ และทำการเปลี่ยนแปลงค่าถ่วงน้ำหนักของวิธีการ เปรียบเทียบรูปแบบกราฟฟิค ให้เปลี่ยนแปลงตามเวลา และใช้ 2 วิธีที่นำเสนอข้างต้นร่วมกัน และทำการวิเคราะห์ถึงผลของขนาดหน้าต่างที่ใช้ต่อความแน่นอนในการตรวจจับความผิดปกติ โดยเราจะใช้ข้อมูลของ MIB (Management Information Base) ในโทโทรคอลของ SNMP (Simple Network Management Protocol) ในการพิจารณาความผิดปกติของระบบโครงข่าย

2. ทฤษฎีการเปรียบเทียบรูปแบบกราฟฟิค [4]

หลักการการตรวจจับความผิดปกติของข่ายเชื่อมโยงวิธีนี้ จะมีการเก็บค่าข้อมูล เช่น การใช้ประโยชน์ของข่ายเชื่อมโยง (Link Utilization) การสูญหายของแพ็กเกต (Packet Loss) หรือ อัตราของจำนวนไบต์ของข้อมูล(Rate of Byte Counts) ซึ่งจะเก็บข้อมูลของแต่ละวัน แล้วนำข้อมูลนี้มาใช้ในการทำนายข้อมูลปัจจุบันเพื่อใช้ในการตรวจจับความผิดปกติในช่วงเวลานั้น วิธีการตรวจจับนี้จะนำเอาข้อมูล

จริงที่ได้มาเทียบกับข้อมูลที่เรารู้ทำนายไว้ภายในช่วงเวลาที่กำหนด แล้วพิจารณาว่าเกิดความผิดปกติหรือไม่ โดยมีระดับของช่วงค่ามากที่สุดและน้อยที่สุดที่ยอมรับได้ว่าระบบจะไม่ผิดปกติ เป็นช่วงในการเปรียบเทียบ ถ้าค่าที่ได้ไม่อยู่ในช่วงนี้แสดงว่ามีความผิดปกติเกิดขึ้น เป็นผลให้ระบบการจัดการจะส่งสัญญาณ (Alarm) ว่าเกิดความผิดปกติเกิดขึ้น

กำหนดให้ $I(t)$ คือ ค่าเฉลี่ยของกราฟฟิคที่ใช้ในการทำนาคณะกราฟฟิคในปัจจุบัน

$$\text{โดยที่ } I(t) = \alpha(t) + \beta(t) + \varepsilon(t) \quad (1)$$

ซึ่ง $\alpha(t)$ คือ ค่าเฉลี่ยของกราฟฟิคในวันจันทร์ถึงวันศุกร์

$\beta(t)$ คือ ค่าเฉลี่ยของกราฟฟิคในวันเสาร์ วันอาทิตย์ หรือวันหยุดพิเศษ เช่น วันปีใหม่ วันสงกรานต์ วันลงทะเบียน ฯลฯ

$\varepsilon(t)$ คือ ค่าการเบี่ยงเบนของค่าเฉลี่ยของกราฟฟิคของ $\alpha(t)$ และ $\beta(t)$

ซึ่ง $\alpha_j(t)$ หากค่าได้จากการถ่วงน้ำหนักข้อมูลกราฟฟิควันจันทร์ถึงวันศุกร์ในสัปดาห์ที่แล้วโดยไม่รวมวันที่เราสนใจดังสมการที่ 2

$$\alpha_j(t) = \sum_{k \in \{1, \dots, 5\} - \{j\}} c_{j,k} \alpha_k(t) + \zeta \quad (2)$$

ซึ่ง $j = \{1, 2, 3, 4, 5\}$ โดยที่ 1 แทนวันจันทร์ 2 แทนวันอังคาร และอื่นๆ

$k \in \{1, \dots, 5\} - \{j\}$ โดยที่ 1 แทนวันจันทร์ 2 แทนวันอังคาร และอื่นๆ

ζ คือ ค่าที่ช่วยในการปรับให้กราฟฟิคที่เราพิจารณามีค่าเชื่อถือมากยิ่งขึ้น

$c_{j,k}$ คือ ค่าถ่วงน้ำหนักของวันที่ j เทียบกับวันที่ k

$$\text{และ } \sum_k c_{j,k} = 1 \quad (3)$$

$\beta_j(t)$ หากค่าได้จากการถ่วงน้ำหนักข้อมูลกราฟฟิควันเสาร์ วันอาทิตย์ หรือ วันหยุดพิเศษใน 4 สัปดาห์ที่แล้วโดยไม่รวมสัปดาห์ที่สนใจ

$$\beta_j(t) = \sum_{k \in \{1, \dots, 4\} - \{j\}} d_{j,k} \beta_k(t) + \zeta \quad (4)$$

ซึ่ง $j = \{1, 2, 3, 4\}$ โดยที่ 1 แทน หลังจากสัปดาห์ปัจจุบัน 1 สัปดาห์ 2 แทน หลังจากสัปดาห์ปัจจุบัน 2 สัปดาห์ เป็นต้น

$k \in \{1, \dots, 4\} - \{j\}$ โดยที่ 1 แทน หลังจากสัปดาห์ปัจจุบัน 1 สัปดาห์ 2 แทน หลังจากสัปดาห์ปัจจุบัน 2 สัปดาห์ เป็นต้น

$d_{j,k}$ คือ ค่าถ่วงน้ำหนักของสัปดาห์ที่ j เทียบกับสัปดาห์ที่ k

$$\text{และ } \sum_k d_{j,k} = 1 \quad (5)$$

ค่าของ $c_{m,n}$ หาได้จากค่าเฉลี่ยของอัตราส่วนของกราฟฟิคในแต่ละเวลาของกราฟฟิคของวันที่ m กับกราฟฟิคของวันที่ n ส่วนค่าของ $d_{m,n}$ หาได้จากค่าเฉลี่ยของอัตราส่วนของกราฟฟิคในแต่ละเวลา

ของกราฟฟิคของวันหยุดสุดสัปดาห์ของสัปดาห์ที่ m กับกราฟฟิคของวันหยุดสุดสัปดาห์ของสัปดาห์ที่ n ดังสมการที่ 6 และ 7 ตามลำดับ

$$c_{m,n} = \frac{\langle \alpha_m(t) \rangle_t / \langle \alpha_n(t) \rangle}{\langle \alpha_m(t) \rangle_t / \langle \alpha_n(t) \rangle} \quad (6)$$

$$d_{m,n} = \frac{\langle \beta_m(t) \rangle_t / \langle \beta_n(t) \rangle}{\langle \beta_m(t) \rangle_t / \langle \beta_n(t) \rangle} \quad (7)$$

ค่าของ $\varepsilon_{wk,j}(t), \varepsilon_{wked,j}(t)$ สามารถหาได้จากสมการที่ 8 และ 9 ตามลำดับ

$$\langle [\varepsilon_{wk,j}(t)]^2 \rangle_t^{\frac{1}{2}} = \sum_{k \in \{1, \dots, 5\} - \{j\}} c_{j,k} \langle [\varepsilon_{wk,k}(t)]^2 \rangle_t^{\frac{1}{2}} \quad (8)$$

$$\langle [\varepsilon_{wked,j}(t)]^2 \rangle_t^{\frac{1}{2}} = \sum_{k \in \{1, \dots, 4\} - \{j\}} d_{j,k} \langle [\varepsilon_{wked,k}(t)]^2 \rangle_t^{\frac{1}{2}} \quad (9)$$

โดยที่ $\varepsilon_{wk,j}(t)$ คือ ค่าการเบี่ยงเบนของกราฟฟิคของวันที่ j ของวันธรรมดา

$\varepsilon_{wked,j}(t)$ คือ ค่าการเบี่ยงเบนของกราฟฟิคของสัปดาห์ที่ j ของวันหยุดสุดสัปดาห์

ค่าขอบเขตบนและขอบเขตล่างที่ได้จากการทำนายเพื่อใช้ในการตรวจจับความผิดปกติของระบบโครงข่าย แสดงในสมการที่ (10) (11) และ (12) ตามลำดับ

$$\text{Upper Threshold} = I(T_n) + 2\bar{\sigma}(T_n) \quad (10)$$

$$\text{Baseline} = I(T_n) \quad (11)$$

$$\text{Lower Threshold} = I(T_n) - 2\bar{\sigma}(T_n) \quad (12)$$

3. วิธีที่นำเสนอ

จากวิธีการเปรียบเทียบรูปแบบกราฟฟิค ที่กล่าวมานั้นเราจึงได้มีการเสนอการปรับปรุงการตรวจจับความผิดปกติของวิธีการนี้ดังนี้

3.1 การปรับเปลี่ยนค่าถ่วงน้ำหนักให้เปลี่ยนแปลงตามเวลา

$$c_{m,n}(t) = \sum_{i=1}^N \frac{\alpha_{m,i}(t)}{\alpha_{n,i}(t)} \quad (13)$$

3.2 การใช้ข้อมูล 3 ระดับในการตรวจจับความผิดปกติของระบบโครงข่าย ในที่นี้ข้อมูล 3 ระดับประกอบไปด้วย ipIDE, ipOR และ ipIR

ซึ่ง ipIR คือ จำนวนไบต์ของกราฟฟิคทั้งหมดที่เข้าสู่เราเตอร์ในช่วงเวลาหนึ่ง

ipOR คือ จำนวนไบต์ของกราฟฟิคที่ผ่านจากอุปกรณ์ที่ต่อกับเราเตอร์ เข้าสู่เราเตอร์เพื่อส่งออกไปในช่วงเวลาหนึ่ง

ipIDE คือ จำนวนไบต์ของกราฟฟิคที่ผ่านจากเราเตอร์เพื่อเข้าสู่อุปกรณ์ที่ต่อกับเราเตอร์ในช่วงเวลาหนึ่ง

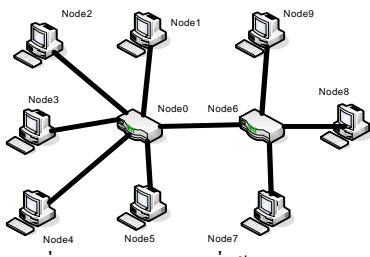
โดยเงื่อนไขที่ระบบโครงข่ายจะไม่ผิดปกติเป็นดังสมการที่ (14)

$$\sum_{i=1}^3 (\bar{I}_i - 2\bar{\sigma}_i) \leq \sum_{i=1}^3 I_i \leq \sum_{i=1}^3 (\bar{I}_i + 2\bar{\sigma}_i) \quad (14)$$

3.3 การใช้การปรับเปลี่ยนค่าถ่วงน้ำหนักให้เปลี่ยนแปลงตามเวลาร่วมกับการใช้ข้อมูล 3 ระดับในการตรวจจับความผิดปกติของระบบโครงข่าย

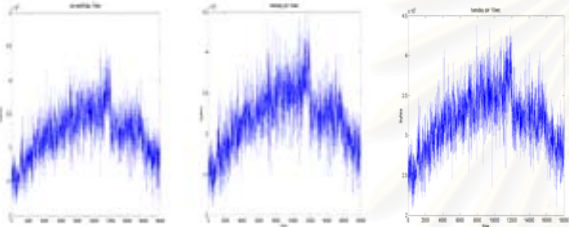
4. ระบบโครงข่ายที่ใช้ในการทดลอง

ระบบโครงข่ายที่ใช้ในการทดลองนี้แสดงดังรูปที่ 1

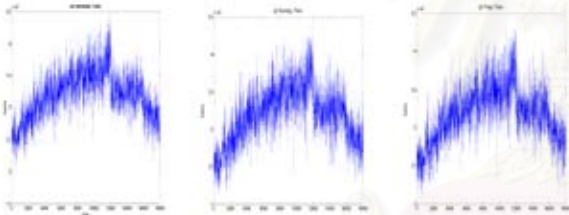


รูปที่. 1 ระบบโครงข่ายที่ใช้ในการทดลอง

โดยที่เราจะทำการกำหนดกราฟฟิกในระบบโครงข่ายนี้โดยใช้โปรแกรม NS(Network Simulator)โดยใช้การส่งข้อมูลแบบ UDP (User Datagram Protocol) ด้วยการกระจายของการส่งข้อมูล แบบ Exponential จำนวนทั้งสิ้น 6 วัน จากช่วงเวลา 0 วินาทีถึงเวลาที่ 18,000 วินาที ดังรูปที่ 2, 3, 4, 5, 6, 7 ตามลำดับ



รูปที่.2 ipIR pastfriday รูปที่.3 ipIR monday รูปที่.4 ipIR tuesday



รูปที่.5 ipIR wendsday รูปที่.6 ipIR Thursday รูปที่.7 ipIR friday

5. ผลการทดลอง

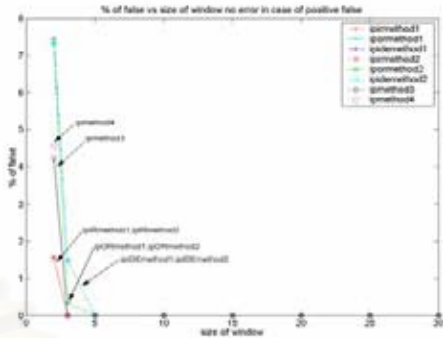
บทความนี้แบ่งการทดลองเป็น 3 ส่วน ซึ่งประกอบไปด้วย

- 1). ไม่มีความผิดปกติเกิดขึ้นในระบบโครงข่าย
- 2). มีความผิดปกติเกิดขึ้นที่ข่ายเชื่อมโยงระหว่าง โหนด 0 และ โหนด 6 ซึ่งแพ็คเกจที่ผ่านข่ายเชื่อมโยงคู่นี้จะสูญหาย 50 เปอร์เซ็นต์ในช่วงเวลา(2,400-4,000) 80 เปอร์เซ็นต์ในช่วงเวลา (9,000-12,000) และ 100 เปอร์เซ็นต์ในช่วงเวลา (15,000-17,000)
- 3). มีความผิดปกติเกิดขึ้นที่โหนด 0 และ โหนด 1 ที่เวลา (3,000-3,100) โดยที่โหนด 1 ส่งข้อมูลไปยังโหนด 0 มากผิดปกติในช่วงเวลานี้ และความผิดปกติเกิดขึ้นที่ทุกโหนดในกรณีนี้ อัตราส่วนระหว่างช่วงเวลาการส่งและหยุดส่งคงที่ แต่ค่าของสองค่านี้เปลี่ยนแปลงในช่วงเวลา(7,000-8,000)

วิธีการตรวจจับความผิดปกติที่จะใช้ในการศึกษานี้คือ วิธีการดั้งเดิมของการเปรียบเทียบรูปแบบกราฟฟิก และวิธีการที่เรานำเสนอ

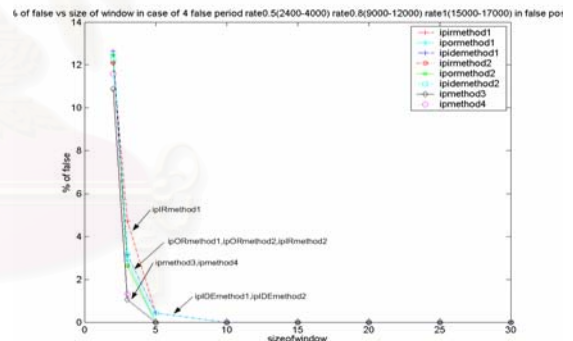
อีกวิธีโดยการเปลี่ยนแปลงคาบของหน้าต่าง(period of window) ในการตรวจจับความผิดปกติของระบบโครงข่าย

5.1 การทดลองความผิดปกติในระบบโครงข่ายแบบที่ 1

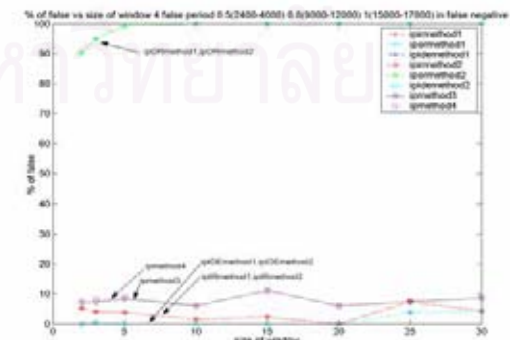


รูปที่.8 ความสัมพันธ์ระหว่างเปอร์เซ็นต์ของfalse positive alarm และขนาดของหน้าต่าง เมื่อไม่เกิดความผิดปกติในระบบโครงข่าย จากผลการทดลองขนาดหน้าต่างที่สั้นจะมีผลให้เกิดการตรวจจับที่ผิดพลาดเกิดขึ้น เช่นขนาดหน้าต่างที่เท่ากับ 2 และ 3 (ดังรูปที่ 8) ที่เป็นเช่นนี้เนื่องจากจำนวนจุดข้อมูลที่ใช้ในการทำนายค่าเฉลี่ยและความแปรปรวนมีน้อยเกินไปทำให้เกิดความผิดพลาด และการใช้ข้อมูลทั้ง 3 ชนิด ร่วมกันในการตรวจจับจะให้ผลของการผิดพลาดที่น้อยกว่าการใช้ผลของข้อมูลชนิดเดียว

5.2 การทดลองความผิดปกติในระบบโครงข่ายแบบที่ 2



รูปที่.9 ความสัมพันธ์ระหว่างเปอร์เซ็นต์ของfalse positive alarm และขนาดของหน้าต่างเมื่อเกิดความผิดปกติในระบบโครงข่ายแบบที่2

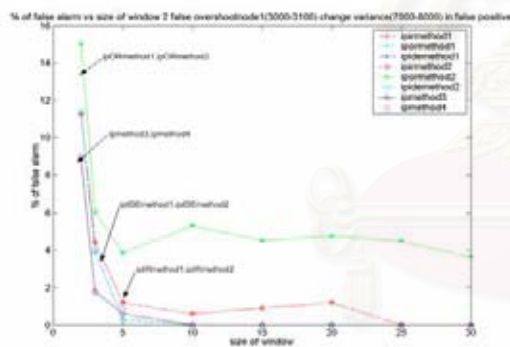


รูปที่.10 ความสัมพันธ์ระหว่างเปอร์เซ็นต์ของfalse negative alarm และขนาดของหน้าต่างเมื่อเกิดความผิดปกติในระบบโครงข่ายแบบที่ 2

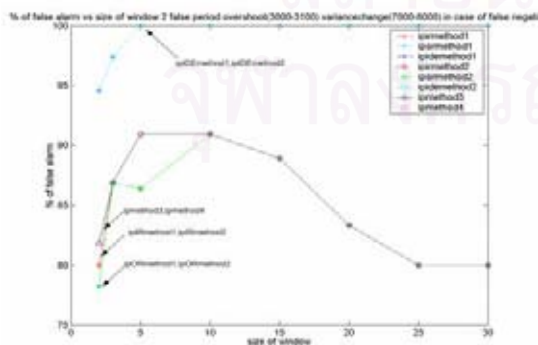
จากผลการทดลองในกรณีของ False Positive Alarm (รูปที่ 9) จะเห็นได้ว่าการลดขนาดของหน้าต่างในการตรวจจับความผิดปกติจะมีผลทำให้ความผิดพลาดในการตรวจจับสูงขึ้น และการใช้ข้อมูลทั้ง 3 ชนิดพร้อมกันในการตรวจจับจะให้ความแม่นยำในการตรวจจับที่คิดว่าการใช้ข้อมูลเพียงชนิดเดียว

ในส่วนของ False Negative Alarm (รูปที่ 10) จะเห็นได้ว่าข้อมูลชนิด ipOR นั้นจะให้ความผิดพลาดที่สูงมากเนื่องจากว่าความผิดปกติของระบบโครงข่ายเกิดขึ้นที่ขั้วเชื่อมโยระหว่างโหนด 0 และ โหนด 6 ซึ่งข้อมูลของ ipOR นั้นจะเก็บค่ากราฟฟิคที่ไหลจากโหนด 1, 2, 3, 4, 5 ไปยังโหนด 0 ซึ่งไม่มีความเกี่ยวข้องกัน ซึ่งถ้านำข้อมูลชนิดนี้มาตรวจจับจะเกิดความผิดพลาดอย่างมาก ส่วนในเรื่องของขนาดของหน้าต่างที่ใช้ในการตรวจจับความผิดปกติของระบบโครงข่ายนั้นขนาดของหน้าต่างมีผลเป็นอย่างมาก เนื่องจากถ้าขนาดหน้าต่างใหญ่เกินไปและไปคาบเกี่ยวกับช่วงที่เกิดความผิดปกติขึ้นเพียงเล็กน้อย ก็จะทำให้เกิดการตรวจจับที่ผิดพลาดเช่นเดียวกับกรณีที่ขนาดของหน้าต่างเล็กเกินไป จำนวนของข้อมูลน้อยเกินไป ที่ใช้ทำนายทำให้เกิดความผิดพลาดเกิดขึ้น และการใช้ข้อมูลทั้ง 3 ชนิดพร้อมกัน จะให้ผลในการตรวจจับมากกว่าการใช้ข้อมูลชนิดเดียวกัน เมื่อเทียบกันโดยใช้ค่าเฉลี่ยเปอร์เซ็นต์ความผิดพลาด

5.3 การทดลองความผิดปกติในระบบโครงข่ายแบบที่ 3



รูปที่.11 ความสัมพันธ์ระหว่างเปอร์เซ็นต์ของfalse positive alarm และขนาดของหน้าต่าง เมื่อเกิดความผิดปกติในระบบโครงข่ายแบบที่ 3



รูปที่.12 ความสัมพันธ์ระหว่างเปอร์เซ็นต์ของfalse negative alarm และขนาดของหน้าต่าง เมื่อเกิดความผิดปกติในระบบโครงข่ายแบบที่ 3

ในส่วนของ False Negative Alarm มีค่าของความผิดพลาดในการตรวจจับความผิดปกติของระบบโครงข่ายที่สูงมาก เนื่องจากวิธีการเปรียบเทียบรูปแบบกราฟฟิค ไม่สามารถที่จะตรวจจับความผิดปกติเนื่องจากค่าความแปรปรวนที่เปลี่ยนแปลงไปได้ ในส่วนของ False Positive Alarm นั้นการใช้ข้อมูล ทั้ง 3 ชนิดพร้อมกันนั้นจะให้ผลที่คิดว่าการใช้ข้อมูลเพียงชนิดเดียว

6.สรุปผลการทดลอง

การใช้ข้อมูลทั้ง 3 ชนิดพร้อมกันนั้นจะช่วยให้การตรวจจับความผิดปกติของระบบโครงข่ายโดยรวมมีประสิทธิภาพดีขึ้น และชนิดของความผิดปกติของระบบโครงข่ายมีผลต่อวิธีการตรวจจับและขนาดของหน้าต่าง ซึ่งถ้าเราเลือกหน้าต่างที่ใช้ในการตรวจจับความผิดปกติในระบบโครงข่ายได้ไม่ดี ก็จะมีผลทำให้เกิดความผิดพลาดได้มากในการตรวจจับความผิดปกติในระบบโครงข่าย ในส่วนของวิธีการใช้ค่าถ่วงน้ำหนักแบบแปรตามเวลานั้น จะเห็นได้จากผลการวิเคราะห์ ผลของการใช้ค่าการเปลี่ยนแปลงค่าถ่วงน้ำหนักตามเวลากับค่าถ่วงน้ำหนักที่มีผลใกล้เคียงกันมาก ที่เป็นเช่นนี้เนื่องจากการทดลองของเราใช้ลักษณะข้อมูลที่ก่อกำเนิดมีลักษณะที่คล้ายคลึงกัน ซึ่งถ้าเรานำวิธีการนี้ไปใช้กับโครงข่ายที่มีลักษณะของกราฟฟิคของข้อมูลคล้ายกันน้อยกว่าการกำเนิดนี้ ผลของการตรวจจับความผิดปกติของระบบโครงข่ายน่าที่จะมีประสิทธิภาพดียิ่งขึ้น

7.เอกสารอ้างอิง

- [1] L. Lewis, "A Case Based Reasoning Approach to The Management of Faults in Communication Networks," *IEEE INFOCOM*, Vol. 3, San Francisco, CA, pp. 1422-1429, Mar. 1993
- [2] A. Lazar, W. Wang, and R. Deng, "Models and Algorithms for Network Fault Detection and Identification: A Review," *Singapore ICCS/ISITA '92. 'Communications on the Move'*, Vol. 3, pp. 999-1003, Nov. 1992
- [3] M. Thottan and C. Ji, "Anomaly Detection in IP Network," *IEEE Transactions on Signal Processing*, Vol. 51, pp. 2191-2204 August 2003
- [4] S. Papavassiliou, M. Pace, A. Zawadzki, and L. Ho, "Implementing Enhanced Network Maintenance for Transaction Access Services: Tools and Applications," *IEEE Int. Contr. Conf*, Vol. 1, pp. 211-215, June 2000
- [5] C. Hood and C. Ji, "Proactive Network Fault Detection," *IEEE INFOCOM*, Vol. 3, Kobe, Japan, pp.1147-1155, Apr. 1997
- [6] P. V. D. Souza, "Statistical Tests and Distance Measures for LPC Coefficients," *IEEE Transactions on Acoustics, Speech, and Signal Processing*, Vol. ASSP-25, No.6, pp. 554-559, December 1997

ประวัติผู้เขียนวิทยานิพนธ์

นายพิชัย วัฒนะภราดร เกิดเมื่อวันที่ 9 มิถุนายน พ.ศ. 2524 สำเร็จการศึกษาปริญญาตรีวิศวกรรมศาสตรบัณฑิต ภาควิชาวิศวกรรมไฟฟ้า คณะวิศวกรรมศาสตร์ จุฬาลงกรณ์มหาวิทยาลัย ในปีการศึกษา 2546 จากนั้นได้ศึกษาต่อในหลักสูตรวิศวกรรมศาสตรมหาบัณฑิต สาขาวิศวกรรมไฟฟ้า ภาควิชาวิศวกรรมไฟฟ้า ที่จุฬาลงกรณ์มหาวิทยาลัย เมื่อ พ.ศ. 2546



สถาบันวิทยบริการ
จุฬาลงกรณ์มหาวิทยาลัย